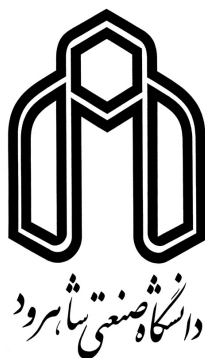


صلى الله عليه وسلم



دانشکده مهندسی مکانیک
گروه طراحی جامدات

بررسی رفتار دینامیکی غیرخطی در سیستم یاتاقان‌های گازی غیرمدور

دانشجو: رضا رشیدی میبیدی

اساتید راهنما:

۱- دکتر اردشیر کرمی محمدی

۲- دکتر فیروز بختیاری نژاد

رساله دکتری جهت اخذ درجه دکتری

بهمین ۸۸



بسمه تعالی

صورتجلسه دفاع از رساله دکتری (ph.D)

بدینوسیله گواهی می شود آقای رضا رشیدی میبیدی دانشجوی دکتری رشته مکانیک - طراحی کاربردی ورودی ۱۳۸۴ در تاریخ ۱۳۸۸/۱۱/۱۸ از رساله خود با عنوان: بررسی رفتار دینامیکی غیر خطی در سیستم پاتاقان های گازی غیر مدور دفاع و یا اخذ نمره ۱۰..... به درجه : دکترتربگ..... نائل گردید.

<input checked="" type="checkbox"/> الف) درجه عالی : نمره ۱۹-۲۰	<input type="checkbox"/> ب) درجه بسیار خوب : نمره ۱۸/۹۹ - ۱۲
<input type="checkbox"/> ج) درجه خوب : نمره ۱۶/۹۹ - ۱۵	<input type="checkbox"/> د) غیر قابل قبول و نیاز به دفاع مجدد دارد
<input type="checkbox"/> ز) رساله نیاز به اصلاحات دارد	

هیئت داوران	نام و نام خانوادگی	مرتبه علمی	اعضای
۱	دکتر اردشیر گرمی محمدی	استاد راهنمای اول	
۲	دکتر فریروز بختیاری نژاد	استاد راهنمای دوم	
۳	استاد راهنما / مشاور		
۴	دکتر مهدی بهزاد	استاد مدعو خارجی	
۵	دکتر اصغر دشتی رحمت آبادی	استاد مدعو خارجی	
۶	دکتر بهروز حسینی	استاد مدعو داخلی	
۷	دکتر محمدجواد مقرنی	استاد مدعو داخلی	
۸	دکتر مهدی فنای کپهتوشی	سرپرست (نماینده) تحصیلات تکمیلی دانشکده	

مدیر محترم تحصیلات تکمیلی دانشگاه

ضمن تأیید مراتب فوق مقرر فرمائید اقدامات لازم بعمل آید.

رئیس دانشکده و رئیس هیات داوران
تاریخ و امضاء

تقدیم به پدر بزرگوار و مادر عزیزم

تقدیم به خواهر و برادر دلسوزم

تقدیم به همسر مهربانم

تشکر و قدردانی

برخود لازم می‌دانم از لطف و عنایت کلیه اساتید بزرگوایم تشکر و قدردانی نمایم. از اساتید راهنمای بزرگوایم آقایان دکتر اردشیر کرمی‌محمدی و دکتر فیروز بختیاری‌نژاد بخاطر راهنمایی‌های مدبرانه و ارزشمند ایشان بی‌نهایت سپاسگزارم. بی‌تردید دقت و حسن خلق و تدبیر ایشان در تدوین رساله بسیار مفید بوده است.

از اساتید گرانقدر آقایان دکتر مهدی بهزاد، دکتر اصغر دشتی رحمت‌آبادی، دکتر بهروز حسنی و دکتر محمدجواد مغربی که در مطالعه و ارشاد رساله نهایت دقت داشته‌اند، تشکر و قدردانی می‌نمایم.

تعهد نامه

اینجانب رضا رشیدی میبیدی دانشجوی دوره دکتری رشته مهندسی مکانیک – طراحی کاربردی دانشکده مکانیک دانشگاه صنعتی شاهرود نویسنده رساله بررسی رفتار دینامیکی غیر خطی در سیستم یاتاقان های گازی غیر مدور تحت راهنمایی دکتر اردشیر کرمی محمدی متعهد می شوم :

- تحقیقات در این پایان نامه / رساله توسط اینجانب انجام شده است و از صحت و اصلیت برخوردار است .
- در استفاده از نتایج پژوهشهای محققان دیگر به مرجع مورد استفاده استناد شده است .
- مطالب مندرج در پایان نامه/رساله تاکنون توسط خود یا فرد دیگری برای دریافت هیچگونه مدرک یا امتیازی در هیچ جا ارائه نشده است .
- کلیه حقوق معنوی این اثر متعلق به دانشگاه صنعتی شاهرود می باشد و مقالات مستخرج با نام «دانشگاه صنعتی شاهرود» و یا « Shahrood University of Technology » به چاپ خواهد رسید .
- حقوق معنوی تمام افرادی که در بدست آمدن نتایج اصلی پایان نامه / رساله تاثیرگذار بوده اند در مقالات مستخرج از پایان نامه/رساله رعایت می گردد .
- در کلیه مراحل انجام این پایان نامه/رساله ، در مواردی که از موجود زنده (یا بافتهای آنها) استفاده شده است ضوابط و اصول اخلاقی رعایت شده است .
- در کلیه مراحل انجام این پایان نامه/رساله ، در مواردی که به حوزه اطلاعات شخصی افراد دسترسی یافته یا از آن استفاده شده است اصل رازداری ، ضوابط و اصول اخلاق انسانی رعایت شده است .

تاریخ :

امضاء دانشجو

مالکیت نتایج و حق نشر

- کلیه حقوق معنوی این اثر و محصولات آن (مقالات مستخرج ، کتاب ، برنامه های رایانه ای ، نرم افزارها و تجهیزات ساخته شده است) متعلق به دانشگاه صنعتی شاهرود می باشد و این مطلب باشد به نحو مقتضی در تولیدات علمی مربوطه ذکر شود .
- استفاده از اطلاعات و نتایج موجود در پایان نامه / رساله بدون ذکر منبع مجاز نمی باشد .

چکیده

در طول چند دهه گذشته یاتاقان‌های گازی مورد توجه بسیاری از پژوهشگران در شاخه علم ترابولوزی به صورت عملی و تئوری واقع شده است. رشد سریع این دسته از یاتاقان‌ها ناشی از بکارگیری آنها در دامنه وسیعی از کاربردهای مهندسی است. از مزایای این دسته از یاتاقان‌ها می‌توان به تمیز و در دسترس بودن روانکار نظیر هوا و کاهش اصطکاک اشاره نمود. ولی پایداری دینامیکی ضعیف این دسته از یاتاقان‌ها بدلیل پایین بودن لزجت روانکار سبب کاهش کارایی آنها در کاربردهای عملی می‌باشد. بنابراین، بررسی رفتار دینامیکی آنها امری لازم و ضروری است تا بتوان با در دست داشتن آن اطلاعات، به شناسایی عیوب سیستم و همچنین از قرارگیری سیستم در آن نواحی که کنترل آن سخت است، جلوگیری نمود.

در این رساله رفتار دینامیکی یاتاقان‌های گازی غیرمدور دو-لب، سه-لب و چهار-لب مورد بررسی قرار می‌گیرد. روش اجزاء محدود به منظور حل معادله رینولدز در حالت دینامیکی بکار گرفته می‌شود تا متغیر فشار در این حالت بدست‌آید. شرایط اولیه برای حالت دینامیکی را می‌توان با تحلیل سیستم در حالت استاتیکی تعیین نمود. جهت دستیابی به متغیر فشار در حالت استاتیکی نیز روش اجزاء محدود بکار گرفته می‌شود. معادلات حرکت مرکز محور و معادله رینولدز در حالت دینامیکی با هم بکار گرفته می‌شوند تا بتوان موقعیت، سرعت و شتاب مرکز محور را در هر مرحله زمانی بدست آورد و از آنها بعنوان شرایط اولیه برای مرحله زمانی بعدی استفاده نمود. برای بررسی نتایج در حالت دینامیکی از ابزارهایی نظیر مدار دینامیکی، فضای حالت، طیف توانی، نگاشت پوانکاره و دیاگرام دوشاخگی استفاده می‌شود.

نتایج بدست‌آمده در این رساله وقوع رفتارهایی نظیر بازگشت به نقطه تعادل استاتیکی، تناوبی و برخورد بین محور و یاتاقان را در حالتی که محور بطور کامل بالانس باشد را نشان می‌دهد. همچنین رفتارهایی نظیر تناوبی، شبه تناوبی و برخورد بین محور و یاتاقان را در حالتی که محور تحت نابالانسی جرمی قرار گرفته قابل مشاهده است. کلیه نتایج فوق با در نظر گرفتن پارامترهایی نظیر عدد یاتاقان، جرم

محور و پریلود به عنوان پارامترهای سیستم حاصل گردیده است. نتایج حاکی از وقوع رفتارهای پایدارتری در مقادیر پایین پارامترهای مذکور می‌باشد که با افزایش آنها از میزان پایداری رفتار کاسته می‌شود. بنابراین با در دست داشتن این اطلاعات می‌توان شرایط سیستم را بگونه‌ای در نظر گرفت تا از وقوع رفتارهای نامناسب جلوگیری شود.

کلمات کلیدی: رفتار دینامیکی، یاتاقان‌های گازی غیرمدور، مدار دینامیکی، نگاشت پوانکاره، دوشاخگی

مجلات:

1. R. Rashidi, A. Karami mohammadi and F. Bakhtiari-Nejad, Effect of Bearing Number on Nonlinear Dynamic Behavior of Aerodynamic Noncircular Journal Bearing Systems, Proceedings of the Institution of Mechanical Engineers, Part J: Journal of Engineering Tribology, 2009.
2. R. Rashidi, A. Karami mohammadi and F. Bakhtiari-Nejad, Preload Effect on Nonlinear Dynamic Behavior of a Rigid Rotor Supported by Noncircular Gas-Lubricated Journal Bearing Systems, Nonlinear Dynamics, 2009.
3. R. Rashidi, A. Karami mohammadi and F. Bakhtiari-Nejad, Rotor Mass Effect on Nonlinear Dynamic Behavior of Aerodynamic Noncircular Journal Bearing Systems, Iranian Journal of Science and Technology, Transaction B: Engineering, 2009.
4. R. Rashidi, A. Karami mohammadi and F. Bakhtiari-Nejad. Preload Effect on Nonlinear Dynamic Behavior of Aerodynamic Two-Lobe Journal Bearings, Journal of Aerospace Science and Technology 2008.

کنفرانس‌ها:

۱. رضا رشیدی میبیدی، اردشیر کرمی محمدی، فیروز بختیاری‌نژاد، بررسی رفتار دینامیکی غیرخطی در سیستم یاتاقان گازی غیرمدور دو-لب، هشتمین کنفرانس بین‌المللی انجمن هوا و فضای ایران، ۱۳۸۷.
۲. رضا رشیدی میبیدی، اردشیر کرمی محمدی، فیروز بختیاری‌نژاد، رفتار دینامیکی غیرخطی در سیستم یاتاقان گازی غیرمدور سه-لب، هفدهمین کنفرانس بین‌المللی مهندسی مکانیک ایران، ۱۳۸۸.

فهرست مطالب

صفحه	عنوان
د.....	تقدیم اثر.....
ه.....	تشکر و قدردانی.....
ز.....	چکیده.....
ط.....	مقالات مستخرج از رساله دکتری.....
س.....	فهرست شکل‌ها.....
دد.....	فهرست جداول.....
هه.....	فهرست علائم.....
۱.....	فصل اول: مقدمه.....
۲.....	۱-۱- مقدمه.....
۳.....	۱-۲- مروری بر کارهای انجام شده.....
۲۰.....	۱-۳- مقدمه‌ای از کار انجام شده در این رساله.....
۲۲.....	فصل دوم: معادلات حاکم بر سیستم یاتاقان‌های گازی غیرمدور.....
۲۳.....	۱-۲- مقدمه.....
۲۵.....	۲-۲- معادلات حاکم.....
۳۰.....	۳-۲- جزئیات حل معادله رینولدز در حالت دینامیکی.....
۳۲.....	۴-۲- جزئیات حل معادله رینولدز در حالت استاتیکی.....
۳۶.....	۵-۲- نحوه تعیین موقعیت تعادلی مرکز محور.....
۴۰.....	فصل سوم: روش حل و جزئیات محاسبات.....

۴۱	۱-۳- مقدمه
۴۱	۲-۳- برنامه اصلی
۴۳	۳-۳- تعیین موقعیت مرکز محور در حالت استاتیکی
۴۳	۱-۳-۳- مش بندی
۴۴	۲-۳-۳- حل معادله رینولدز در حالت استاتیکی
۴۶	۴-۳- تعیین موقعیت مرکز محور در حالت دینامیکی
۵۳	۵-۳- صحه گذاری بر روی نتایج
۵۶	۶-۳- معرفی ابزارها جهت تحلیل نتایج
۵۷	فصل چهارم: ارائه نتایج و بررسی رفتارهای دینامیکی در سیستم یاتاقان گازی غیرمدور دو-لب
۵۸	۱-۴- مقدمه
۵۸	۲-۴- بررسی رفتار دینامیکی با در نظر گرفتن $\lambda = 1, \bar{\rho} = 0$
۵۸	۱-۲-۴- اثر عدد یاتاقان بر روی رفتار دینامیکی
۶۲	۲-۲-۴- اثر جرم محور بر روی رفتار دینامیکی
۶۵	۳-۲-۴- اثر پرلود بر روی رفتار دینامیکی
۶۷	۳-۴- بررسی رفتار دینامیکی با در نظر گرفتن $\lambda = 1/5, \bar{\rho} = 0$
۶۸	۱-۳-۴- اثر عدد یاتاقان بر روی رفتار دینامیکی
۷۱	۲-۳-۴- اثر جرم محور بر روی رفتار دینامیکی
۷۴	۳-۳-۴- اثر پرلود بر روی رفتار دینامیکی
۷۶	۴-۴- بررسی رفتار دینامیکی با در نظر گرفتن $\lambda = 1, \bar{\rho} = 0.1 mm$
۷۶	۱-۴-۴- اثر عدد یاتاقان بر روی رفتار دینامیکی

- ۸۱.....۲-۴-۴ اثر جرم محور بر روی رفتار دینامیکی
- ۸۶.....۳-۴-۴ اثر پریلود بر روی رفتار دینامیکی
- ۹۱.....۵-۴ بررسی رفتار دینامیکی با در نظر گرفتن $\lambda = 1/5, \bar{\rho} = 0/001 mm$
- ۹۱.....۱-۵-۴ اثر عدد یاتاقان بر روی رفتار دینامیکی
- ۹۶.....۲-۵-۴ اثر جرم محور بر روی رفتار دینامیکی
- ۱۰۱.....۳-۵-۴ اثر پریلود بر روی رفتار دینامیکی
- ۱۰۷..... فصل پنجم: ارائه نتایج و بررسی رفتارهای دینامیکی در سیستم یاتاقان گازی غیرمدور سه-لب
- ۱۰۸.....۱-۵ مقدمه
- ۱۰۸.....۲-۵ بررسی رفتار دینامیکی با در نظر گرفتن $\lambda = 1, \bar{\rho} = 0$
- ۱۰۸.....۱-۲-۵ اثر عدد یاتاقان بر روی رفتار دینامیکی
- ۱۱۲.....۲-۲-۵ اثر جرم محور بر روی رفتار دینامیکی
- ۱۱۶.....۳-۲-۵ اثر پریلود بر روی رفتار دینامیکی
- ۱۲۰.....۳-۵ بررسی رفتار دینامیکی با در نظر گرفتن $\lambda = 1/5, \bar{\rho} = 0$
- ۱۲۱.....۱-۳-۵ اثر عدد یاتاقان بر روی رفتار دینامیکی
- ۱۲۵.....۲-۳-۵ اثر جرم محور بر روی رفتار دینامیکی
- ۱۲۹.....۳-۳-۵ اثر پریلود بر روی رفتار دینامیکی
- ۱۳۱.....۴-۵ بررسی رفتار دینامیکی با در نظر گرفتن $\lambda = 1, \bar{\rho} = 0/001 mm$
- ۱۳۱.....۱-۴-۵ اثر عدد یاتاقان بر روی رفتار دینامیکی
- ۱۳۶.....۲-۴-۵ اثر جرم محور بر روی رفتار دینامیکی
- ۱۴۱.....۳-۴-۵ اثر پریلود بر روی رفتار دینامیکی

- ۱۴۸..... $\lambda = 1/5, \bar{\rho} = 0/001 mm$ ۵-۵- بررسی رفتار دینامیکی با در نظر گرفتن
- ۱۴۹..... ۱-۵-۵- اثر عدد یاتاقان بر روی رفتار دینامیکی
- ۱۵۳..... ۲-۵-۵- اثر جرم محور بر روی رفتار دینامیکی
- ۱۵۸..... ۳-۵-۵- اثر پریلود بر روی رفتار دینامیکی
- ۱۶۴..... فصل ششم: ارائه نتایج و بررسی رفتارهای دینامیکی در سیستم یاتاقان گازی غیرمدور چهار-لب
- ۱۶۵..... ۱-۶- مقدمه
- ۱۶۵..... ۲-۶- بررسی رفتار دینامیکی با در نظر گرفتن $\lambda = 1, \bar{\rho} = 0$
- ۱۶۵..... ۱-۲-۶- اثر عدد یاتاقان بر روی رفتار دینامیکی
- ۱۶۹..... ۲-۲-۶- اثر جرم محور بر روی رفتار دینامیکی
- ۱۷۲..... ۳-۲-۶- اثر پریلود بر روی رفتار دینامیکی
- ۱۷۵..... ۳-۶- بررسی رفتار دینامیکی با در نظر گرفتن $\lambda = 1/5, \bar{\rho} = 0$
- ۱۷۵..... ۱-۳-۶- اثر عدد یاتاقان بر روی رفتار دینامیکی
- ۱۷۸..... ۲-۳-۶- اثر جرم محور بر روی رفتار دینامیکی
- ۱۸۱..... ۳-۳-۶- اثر پریلود بر روی رفتار دینامیکی
- ۱۸۳..... ۴-۶- بررسی رفتار دینامیکی با در نظر گرفتن $\lambda = 1, \bar{\rho} = 0/001 mm$
- ۱۸۳..... ۱-۴-۶- اثر عدد یاتاقان بر روی رفتار دینامیکی
- ۱۸۸..... ۲-۴-۶- اثر جرم محور بر روی رفتار دینامیکی
- ۱۹۳..... ۳-۴-۶- اثر پریلود بر روی رفتار دینامیکی
- ۱۹۸..... ۵-۶- بررسی رفتار دینامیکی با در نظر گرفتن $\lambda = 1/5, \bar{\rho} = 0/001 mm$
- ۱۹۸..... ۱-۵-۶- اثر عدد یاتاقان بر روی رفتار دینامیکی

۲۰۳ اثر جرم محور بر روی رفتار دینامیکی
۲۰۹ اثر پرلود بر روی رفتار دینامیکی
۲۱۴ فصل هفتم: نتیجه گیری و پیشنهادات
۲۱۵ ۱-۷- مقدمه
۲۱۶ ۲-۷- نتیجه گیری و جمع بندی نتایج
۲۱۹ ۳-۷- پیشنهادات
۲۲۱ ضمیمه الف: بدون بعد کردن معادله رینولدز
۲۲۴ ضمیمه ب: بدست آوردن رابطه ضخامت فیلم سیال در حالت های استاتیکی و دینامیکی
۲۲۸ ضمیمه ج: معرفی المان خطی مستطیلی و محاسبه نیروهای فیلم سیال روی محور
۲۳۱ منابع
۲۴۳ چکیده به زبان انگلیسی

فهرست شکل ها

عنوان	صفحه
شکل (۱-۲): (الف)- مدل محور صلب قرار گرفته بر روی یاتاقان گازی غیرمدور، (ب)- مدل هندسی یاتاقان غیرمدور دو-لب، (ج)- مدل هندسی یاتاقان غیرمدور سه-لب، (د)- مدل هندسی یاتاقان غیرمدور چهار-لب.....	۲۴
شکل (۲-۲): هندسه یاتاقان غیرمدور (سه-لب) همراه با محورهای مختصات.....	۲۶
شکل (۱-۳): الگوریتم برنامه اصلی.....	۴۲
شکل (۲-۳): ناحیه المان بندی شده بین محور و یاتاقان.....	۴۳
شکل (۳-۳): الگوریتم میدان فشار در حالت استاتیکی.....	۴۵
شکل (۴-۳): الگوریتم تعیین موقعیت مرکز محور با بار مشخص.....	۴۷
شکل (۵-۳): جزئیات بلوک ۲ -.....	۵۰
شکل (۶-۳): الگوریتم محاسبه مشتقات $\{\psi_i\}$	۵۲
شکل (۱-۴): مدار دینامیکی مرکز محور (الف)، فضای حالت مرکز محور (ب) و طیف توانی آن در راستاهای افقی (ج) و عمودی (د) به ازای $A = 15$ (۱-۱-۴) و $A = 19$ (۲-۱-۴) برای یاتاقان دو-لب تحت شرایط $\lambda = 1, \bar{p} = 0$	۶۰
شکل (۲-۴): دیاگرام دوشاخگی در راستاهای افقی (الف) و عمودی (ب) برای یاتاقان دو-لب تحت شرایط $\lambda = 1, \bar{p} = 0$	۶۱
شکل (۳-۴): نگاشت پوانکاره مرکز محور به ازای $A = 15$ (الف) و $A = 19$ (ب) برای یاتاقان دو-لب تحت شرایط $\lambda = 1, \bar{p} = 0$	۶۱

شکل(۴-۴): مدار دینامیکی مرکز محور (الف)، فضای حالت مرکز محور (ب) و طیف توانی آن در

راستاهای افقی (ج) و عمودی (د) به ازای $\bar{m}_r = 10kg$ (۱-۴-۴) و $\bar{m}_r = 15kg$ (۲-۴-۴)

(۲) برای یاتاقان دو-لب تحت شرایط $\lambda = 1, \bar{\rho} = 0$ ۶۳

شکل(۵-۴): دیاگرام دوشاخگی در راستاهای افقی (الف) و عمودی (ب) برای یاتاقان دو-لب تحت شرایط

..... $\lambda = 1, \bar{\rho} = 0$ ۶۴

شکل(۶-۴): نگاشت پوانکاره مرکز محور به ازای $\bar{m}_r = 10$ (الف) و ۱۵ (ب) کیلوگرم برای یاتاقان دو-لب

تحت شرایط $\lambda = 1, \bar{\rho} = 0$ ۶۴

شکل(۷-۴): مدار دینامیکی مرکز محور (الف)، فضای حالت مرکز محور (ب) و طیف توانی آن در

راستاهای افقی (ج) و عمودی (د) به ازای $\delta = 0/52$ (۱-۷-۴) و $\delta = 0/56$ (۲-۷-۴) برای

یاتاقان دو-لب تحت شرایط $\lambda = 1, \bar{\rho} = 0$ ۶۶

شکل(۸-۴): دیاگرام دوشاخگی در راستاهای افقی (الف) و عمودی (ب) برای یاتاقان دو-لب تحت شرایط

..... $\lambda = 1, \bar{\rho} = 0$ ۶۷

شکل(۹-۴): نگاشت پوانکاره مرکز محور به ازای $\delta = 0/52$ (الف) و $0/56$ (ب) برای یاتاقان دو-لب

تحت شرایط $\lambda = 1, \bar{\rho} = 0$ ۶۷

شکل(۱۰-۴): مدار دینامیکی مرکز محور (الف)، فضای حالت مرکز محور (ب) و طیف توانی آن در

راستاهای افقی (ج) و عمودی (د) به ازای $A = 20$ (۱-۱۰-۴) و $A = 27$ (۲-۱۰-۴)

برای یاتاقان دو-لب تحت شرایط $\lambda = 1/5, \bar{\rho} = 0$ ۶۹

شکل(۱۱-۴): دیاگرام دوشاخگی در راستاهای افقی (الف) و عمودی (ب) برای یاتاقان دو-لب تحت شرایط

..... $\lambda = 1/5, \bar{\rho} = 0$ ۷۰

شکل(۴-۱۲): نگاشت پوانکاره مرکز محور به ازای $A = 20$ (الف) و ۲۷ (ب) برای یاتاقان دو-لب تحت

شرایط $\lambda = 1/5, \bar{\rho} = 0$ ۷۰

شکل(۴-۱۳): مدار دینامیکی مرکز محور (الف)، فضای حالت مرکز محور (ب) و طیف توانی آن در

راستاهای افقی (ج) و عمودی (د) به ازای $\bar{m}_r = 15/5 kg$ (۴-۱۳-۱) و $\bar{m}_r = 3 kg$ (۴-۱۳-۲)

۲) برای یاتاقان دو-لب تحت شرایط $\lambda = 1/5, \bar{\rho} = 0$ ۷۲

شکل(۴-۱۴): دیاگرام دوشاخگی در راستاهای افقی (الف) و عمودی (ب) برای یاتاقان دو-لب تحت شرایط

شرایط $\lambda = 1/5, \bar{\rho} = 0$ ۷۳

شکل(۴-۱۵): نگاشت پوانکاره مرکز محور به ازای $\bar{m}_r = 15/5$ (الف) و ۳۱ (ب) کیلوگرم برای یاتاقان

دو-لب تحت شرایط $\lambda = 1/5, \bar{\rho} = 0$ ۷۳

شکل(۴-۱۶): مدار دینامیکی مرکز محور (الف)، فضای حالت مرکز محور (ب) و طیف توانی آن در

راستاهای افقی (ج) و عمودی (د) به ازای $\delta = 0/55$ (۴-۱۶-۱) و $\delta = 0/61$ (۴-۱۶-۲)

برای یاتاقان دو-لب تحت شرایط $\lambda = 1/5, \bar{\rho} = 0$ ۷۵

شکل(۴-۱۷): دیاگرام دوشاخگی در راستاهای افقی (الف) و عمودی (ب) برای یاتاقان دو-لب تحت شرایط

شرایط $\lambda = 1/5, \bar{\rho} = 0$ ۷۶

شکل(۴-۱۸): نگاشت پوانکاره مرکز محور به ازای $\delta = 0/55$ (الف) و $0/61$ (ب) برای یاتاقان دو-لب

تحت شرایط $\lambda = 1/5, \bar{\rho} = 0$ ۷۶

شکل(۴-۱۹): مدار دینامیکی مرکز محور (الف)، فضای حالت مرکز محور (ب) و طیف توانی آن در

راستاهای افقی (ج) و عمودی (د) به ازای $A = 5$ (۴-۱۹-۱)، $A = 15$ (۴-۱۹-۲)،

$A = 17$ (۴-۱۹-۳) و $A = 19$ (۴-۱۹-۴) برای یاتاقان دو-لب تحت

شرایط $\lambda = 1, \bar{\rho} = 0/01 mm$ ۷۹

شکل (۴-۲۰): دیاگرام دوشاخگی در راستاهای افقی (الف) و عمودی (ب) برای یاتاقان دو-لب تحت شرایط

$$80 \dots \dots \dots \lambda = 1, \bar{\rho} = 0/001 mm$$

شکل (۴-۲۱): دیاگرام دوشاخگی محلی ($14 \leq A \leq 20/8$) در راستاهای افقی (الف) و عمودی (ب) برای

$$80 \dots \dots \dots \lambda = 1, \bar{\rho} = 0/001 mm$$

شکل (۴-۲۲): نگاشت پوانکاره مرکز محور به ازای $A = 5$ (الف)، ۱۵ (ب)، ۱۷ (ج) و ۱۹ (د) برای یاتاقان

$$81 \dots \dots \dots \lambda = 1, \bar{\rho} = 0/001 mm$$

شکل (۴-۲۳): مدار دینامیکی مرکز محور (الف)، فضای حالت مرکز محور (ب) و طیف توانی آن در

$$-23-4) \bar{m}_r = 9 kg, (1-23-4) \bar{m}_r = 5/2 kg$$

$$2) \bar{m}_r = 11/6 kg \text{ و } (3-23-4) \bar{m}_r = 17/5 kg$$

$$84 \dots \dots \dots \lambda = 1, \bar{\rho} = 0/001 mm$$

شکل (۴-۲۴): دیاگرام دوشاخگی در راستاهای افقی (الف) و عمودی (ب) برای یاتاقان دو-لب تحت شرایط

$$85 \dots \dots \dots \lambda = 1, \bar{\rho} = 0/001 mm$$

شکل (۴-۲۵): دیاگرام دوشاخگی محلی ($8 \leq \bar{m}_r \leq 17/8 kg$) در راستاهای افقی (الف) و عمودی (ب)

$$85 \dots \dots \dots \lambda = 1, \bar{\rho} = 0/001 mm$$

شکل (۴-۲۶): نگاشت پوانکاره مرکز محور به ازای $\bar{m}_r = 5/2$ (الف)، ۹ (ب)، ۱۱/۶ (ج) و ۱۷/۵ (د)

$$86 \dots \dots \dots \lambda = 1, \bar{\rho} = 0/001 mm$$

شکل (۴-۲۷): مدار دینامیکی مرکز محور (الف)، فضای حالت مرکز محور (ب) و طیف توانی آن در

$$2-27-4) \delta = 0/516, (1-27-4) \delta = 0/42$$

$$3-27-4) \delta = 0/548 \text{ و } (4-27-4) \delta = 0/558$$

$$89 \dots \dots \dots \lambda = 1, \bar{\rho} = 0/001 mm$$

شکل (۴-۲۸): دیاگرام دوشاخگی در راستاهای افقی (الف) و عمودی (ب) برای یاتاقان دو-لب تحت شرایط

۹۰..... $\lambda = 1, \bar{\rho} = 0.001 \text{ mm}$

شکل (۴-۲۹): دیاگرام دوشاخگی محلی ($0.492 \leq \delta \leq 0.56$) در راستاهای افقی (الف) و عمودی (ب)

۹۰..... برای یاتاقان دو-لب تحت شرایط $\lambda = 1, \bar{\rho} = 0.001 \text{ mm}$

شکل (۴-۳۰): نگاشت پوانکاره مرکز محور به ازای $\delta = 0.42$ (الف)، 0.516 (ب)، 0.548 (ج) و 0.558

۹۱..... (د) تحت شرایط $\lambda = 1, \bar{\rho} = 0.001 \text{ mm}$

شکل (۴-۳۱): مدار دینامیکی مرکز محور (الف)، فضای حالت مرکز محور (ب) و طیف توانی آن در

راستاهای افقی (ج) و عمودی (د) به ازای $A = 10$ (۴-۳۱-۱)، $A = 15$ (۴-۳۱-۲)،

$A = 20$ (۴-۳۱-۳) و $A = 25$ (۴-۳۱-۴) برای یاتاقان دو-لب تحت شرایط

۹۴..... $\lambda = 1/5, \bar{\rho} = 0.001 \text{ mm}$

شکل (۴-۳۲): دیاگرام دوشاخگی در راستاهای افقی (الف) و عمودی (ب) برای یاتاقان دو-لب تحت شرایط

۹۵..... $\lambda = 1/5, \bar{\rho} = 0.001 \text{ mm}$

شکل (۴-۳۳): دیاگرام دوشاخگی محلی ($14 \leq A \leq 20/8$) در راستاهای افقی (الف) و عمودی (ب) برای

۹۵..... یاتاقان دو-لب تحت شرایط $\lambda = 1/5, \bar{\rho} = 0.001 \text{ mm}$

شکل (۴-۳۴): نگاشت پوانکاره مرکز محور به ازای $A = 10$ (الف)، 15 (ب)، 20 (ج) و 25 (د) برای یاتاقان

۹۶..... دو-لب تحت شرایط $\lambda = 1/5, \bar{\rho} = 0.001 \text{ mm}$

شکل (۴-۳۵): مدار دینامیکی مرکز محور (الف)، فضای حالت مرکز محور (ب) و طیف توانی آن در

راستاهای افقی (ج) و عمودی (د) به ازای $\bar{m}_r = 5/2 \text{ kg}$ (۴-۳۵-۱)، $\bar{m}_r = 10/33 \text{ kg}$ (۴-۳۵-۲)

(۴-۳۵-۳)، $\bar{m}_r = 15/5 \text{ kg}$ (۴-۳۵-۴) و $\bar{m}_r = 20/66 \text{ kg}$ (۴-۳۵-۴) برای یاتاقان دو-لب تحت

۹۹..... شرایط $\lambda = 1/5, \bar{\rho} = 0.001 \text{ mm}$

شکل (۴-۳۶): دیاگرام دوشاخگی در راستاهای افقی (الف) و عمودی (ب) برای یاتاقان دو-لب تحت شرایط

$$100 \dots \dots \dots \lambda = 1/5, \bar{\rho} = 0/001 mm$$

شکل (۴-۳۷): دیاگرام دوشاخگی محلی ($10 \leq \bar{m}_r \leq 26/6 kg$) در راستاهای افقی (الف) و عمودی (ب)

$$100 \dots \dots \dots \lambda = 1/5, \bar{\rho} = 0/001 mm$$

شکل (۴-۳۸): نگاشت پوانکاره مرکز محور به ازای $\bar{m}_r = 5/2$ (الف)، $10/33$ (ب)، $15/5$ (ج) و $20/66$

$$101 \dots \dots \dots \lambda = 1/5, \bar{\rho} = 0/001 mm$$

شکل (۴-۳۹): مدار دینامیکی مرکز محور (الف)، فضای حالت مرکز محور (ب) و طیف توانی آن در

$$\text{راستاهای افقی (ج) و عمودی (د) به ازای } \delta = 0/45 \text{ (۴-۳۹-۱)، } \delta = 0/5 \text{ (۴-۳۹-۲)،}$$

$$\delta = 0/55 \text{ (۴-۳۹-۳) و } \delta = 0/6 \text{ (۴-۳۹-۴) برای یاتاقان دو-لب تحت شرایط}$$

$$104 \dots \dots \dots \lambda = 1/5, \bar{\rho} = 0/001 mm$$

شکل (۴-۴۰): دیاگرام دوشاخگی در راستاهای افقی (الف) و عمودی (ب) برای یاتاقان دو-لب تحت شرایط

$$105 \dots \dots \dots \lambda = 1/5, \bar{\rho} = 0/001 mm$$

شکل (۴-۴۱): دیاگرام دوشاخگی محلی ($0/51 \leq \delta \leq 0/602$) در راستاهای افقی (الف) و عمودی (ب)

$$105 \dots \dots \dots \lambda = 1/5, \bar{\rho} = 0/001 mm$$

شکل (۴-۴۲): نگاشت پوانکاره مرکز محور به ازای $\delta = 0/45$ (الف)، $0/5$ (ب)، $0/55$ (ج) و $0/6$ (د) برای

$$106 \dots \dots \dots \lambda = 1/5, \bar{\rho} = 0/001 mm$$

شکل (۵-۱): مدار دینامیکی مرکز محور (الف)، فضای حالت مرکز محور (ب) و طیف توانی آن در

$$\text{راستاهای افقی (ج) و عمودی (د) به ازای } A = 20 \text{ (۵-۱-۱)، } A = 22 \text{ (۵-۱-۲)، } A = 25 \text{ (۵-۱-۳)،}$$

$$\text{و } A = 25/2 \text{ (۵-۱-۴) برای یاتاقان سه-لب تحت شرایط } \lambda = 1, \bar{\rho} = 0 \text{ (۵-۱-۱۱).....}$$

شکل (۲-۵): دیاگرام دوشاخگی در راستاهای افقی (الف) و عمودی (ب) برای یاتاقان سه-لب تحت شرایط

$$112 \dots \dots \dots \lambda = 1, \bar{\rho} = 0$$

شکل (۳-۵): نگاشت پوانکاره مرکز محور به ازای $A = 20$ (الف)، ۲۲ (ب)، ۲۴ (پ)، ۲۴/۸ (ت)، ۲۵ (ج)،

$$112 \dots \dots \dots \lambda = 1, \bar{\rho} = 0 \text{ برای یاتاقان سه-لب تحت شرایط}$$

شکل (۴-۵): مدار دینامیکی مرکز محور (الف)، فضای حالت مرکز محور (ب) و طیف توانی آن در

راستاهای افقی (ج) و عمودی (د) به ازای $\bar{m}_r = 12 \text{ kg}$ (۱-۴-۵)، $\bar{m}_r = 17/5 \text{ kg}$ (۴-۴-۵)

۲، $\bar{m}_r = 25/8 \text{ kg}$ (۳-۴-۵) و $\bar{m}_r = 26/6 \text{ kg}$ (۴-۴-۵) برای یاتاقان سه-لب تحت

$$115 \dots \dots \dots \lambda = 1, \bar{\rho} = 0 \text{ شرایط}$$

شکل (۵-۵): دیاگرام دوشاخگی در راستاهای افقی (الف) و عمودی (ب) برای یاتاقان سه-لب تحت شرایط

$$116 \dots \dots \dots \lambda = 1, \bar{\rho} = 0$$

شکل (۶-۵): نگاشت پوانکاره مرکز محور به ازای $\bar{m}_r = 12$ (الف)، ۱۷/۵ (ب)، ۲۰/۷ (پ)، ۲۵ (ت)،

$$116 \dots \dots \dots \lambda = 1, \bar{\rho} = 0 \text{ کیلوگرم برای یاتاقان سه-لب تحت شرایط}$$

شکل (۷-۵): مدار دینامیکی مرکز محور (الف)، فضای حالت مرکز محور (ب) و طیف توانی آن در

راستاهای افقی (ج) و عمودی (د) به ازای $\delta = 0/54$ (۱-۷-۵)، $\delta = 0/59$ (۲-۷-۵)،

$\delta = 0/6$ (۳-۷-۵) و $\delta = 0/602$ (۴-۷-۵) برای یاتاقان سه-لب تحت

$$119 \dots \dots \dots \lambda = 1, \bar{\rho} = 0 \text{ شرایط}$$

شکل (۸-۵): دیاگرام دوشاخگی در راستاهای افقی (الف) و عمودی (ب) برای یاتاقان سه-لب تحت شرایط

$$120 \dots \dots \dots \lambda = 1, \bar{\rho} = 0$$

شکل (۹-۵): نگاشت پوانکاره مرکز محور به ازای $\delta = 0/54$ (الف)، ۰/۵۹ (ب)، ۰/۶ (ج) و ۰/۶۰۲ (د)

$$120 \dots \dots \dots \lambda = 1, \bar{\rho} = 0 \text{ برای یاتاقان سه-لب تحت شرایط}$$

شکل (۱۰-۵): مدار دینامیکی مرکز محور (الف)، فضای حالت مرکز محور (ب) و طیف توانی آن در راستاهای افقی (ج) و عمودی (د) به ازای $A=20$ (۱-۱۰-۵)، $A=26$ (۲-۱۰-۵)، $A=28/6$ (۳-۱۰-۵) و $A=29$ (۴-۱۰-۵) برای یاتاقان سه-لب تحت شرایط $\lambda = 1/5, \bar{\rho} = 0$ ۱۲۳

شکل (۱۱-۵): دیاگرام دوشاخگی در راستاهای افقی (الف) و عمودی (ب) برای یاتاقان سه-لب تحت شرایط $\lambda = 1/5, \bar{\rho} = 0$ ۱۲۴

شکل (۱۲-۵): نگاشت پوانکاره مرکز محور به ازای $A=20$ (الف)، $A=26$ (ب)، $A=28/6$ (ج)، $A=29$ (د) برای یاتاقان سه-لب تحت شرایط $\lambda = 1/5, \bar{\rho} = 0$ ۱۲۴

شکل (۱۳-۵): مدار دینامیکی مرکز محور (الف)، فضای حالت مرکز محور (ب) و طیف توانی آن در راستاهای افقی (ج) و عمودی (د) به ازای $\bar{m}_r = 15/5 kg$ (۱-۱۳-۵)، $\bar{m}_r = 31 kg$ (۲-۱۳-۵)، $\bar{m}_r = 36/4 kg$ (۳-۱۳-۵) و $\bar{m}_r = 36/4 kg$ (۴-۱۳-۵) برای یاتاقان سه-لب تحت شرایط $\lambda = 1/5, \bar{\rho} = 0$ ۱۲۷

شکل (۱۴-۵): دیاگرام دوشاخگی در راستاهای افقی (الف) و عمودی (ب) برای یاتاقان سه-لب تحت شرایط $\lambda = 1/5, \bar{\rho} = 0$ ۱۲۸

شکل (۱۵-۵): نگاشت پوانکاره مرکز محور به ازای $\bar{m}_r = 15/5$ (الف)، 31 (ب)، $36/14$ (ج) و $36/4$ (د) کیلوگرم برای یاتاقان سه-لب تحت شرایط $\lambda = 1/5, \bar{\rho} = 0$ ۱۲۸

شکل (۱۶-۵): مدار دینامیکی مرکز محور (الف)، فضای حالت مرکز محور (ب) و طیف توانی آن در راستاهای افقی (ج) و عمودی (د) به ازای $\delta = 0/5$ (۱-۱۶-۵) و $\delta = 0/6$ (۲-۱۶-۵)، برای یاتاقان سه-لب تحت شرایط $\lambda = 1/5, \bar{\rho} = 0$ ۱۳۰

شکل (۱۷-۵): دیاگرام دوشاخگی در راستاهای افقی (الف) و عمودی (ب) برای یاتاقان سه-لب تحت

شرایط $\lambda = 1/5, \bar{\rho} = 0$ ۱۳۱

شکل (۱۸-۵): نگاشت پوانکاره مرکز محور به ازای $\delta = 0/5$ (الف) و $0/6$ (ب) برای یاتاقان سه-لب

تحت شرایط $\lambda = 1/5, \bar{\rho} = 0$ ۱۳۱

شکل (۱۹-۵): مدار دینامیکی مرکز محور (الف)، فضای حالت مرکز محور (ب) و طیف توانی آن در

راستاهای افقی (ج) و عمودی (د) به ازای $A = 15$ (۱-۱۹-۵) ، $A = 19$ (۲-۱۹-۵) ،

$A = 22$ (۱-۱۹-۵) و $A = 23$ (۲-۱۹-۵) برای یاتاقان سه-لب تحت

شرایط $\lambda = 1, \bar{\rho} = 0/001 mm$ ۱۳۴

شکل (۲۰-۵): دیاگرام دوشاخگی در راستاهای افقی (الف) و عمودی (ب) برای یاتاقان سه-لب تحت

شرایط $\lambda = 1, \bar{\rho} = 0/001 mm$ ۱۳۵

شکل (۲۱-۵): دیاگرام دوشاخگی محلی ($18 \leq A \leq 23/8$) در راستاهای افقی (الف) و عمودی (ب)

برای یاتاقان سه-لب تحت شرایط $\lambda = 1, \bar{\rho} = 0/001 mm$ ۱۳۵

شکل (۲۲-۵): نگاشت پوانکاره مرکز محور به ازای $A = 15$ (الف)، ۲۱ (ب)، ۲۲/۲ (پ) و ۲۲/۶ (ت)،

۲۳ (ج) و ۲۳/۸ (د) برای یاتاقان سه-لب تحت شرایط $\lambda = 1, \bar{\rho} = 0/001 mm$ ۱۳۶

شکل (۲۳-۵): مدار دینامیکی مرکز محور (الف)، فضای حالت مرکز محور (ب) و طیف توانی آن در

راستاهای افقی (ج) و عمودی (د) به ازای $\bar{m}_r = 5/2 kg$ (۱-۲۳-۵) ، $\bar{m}_r = 10/33 kg$ (۵-۲۳)

، $\bar{m}_r = 14/2 kg$ (۱-۲۳-۵) و $\bar{m}_r = 21/9 kg$ (۲-۲۳-۵) برای یاتاقان سه-لب تحت

شرایط $\lambda = 1, \bar{\rho} = 0/001 mm$ ۱۳۹

شکل (۲۴-۵): دیاگرام دوشاخگی در راستاهای افقی (الف) و عمودی (ب) برای یاتاقان سه-لب تحت

شرایط $\lambda = 1, \bar{\rho} = 0/001 mm$ ۱۴۰

شکل (۵-۲۵): دیاگرام دوشاخگی محلی ($10 \leq \bar{m}_r \leq 22/7 \text{ kg}$) در راستاهای افقی (الف) و عمودی (ب)

برای یاتاقان سه-لب تحت شرایط $\lambda = 1, \bar{\rho} = 0/001 \text{ mm}$ ۱۴۰

شکل (۵-۲۶): نگاشت پوانکاره مرکز محور به ازای $\bar{m}_r = 10/33$ (الف)، $14/2$ (ب)، $21/9$ (ج) و $22/2$

(د) کیلوگرم برای یاتاقان سه-لب تحت شرایط $\lambda = 1, \bar{\rho} = 0/001 \text{ mm}$ ۱۴۱

شکل (۵-۲۷): مدار دینامیکی مرکز محور (الف)، فضای حالت مرکز محور (ب) و طیف توانی آن در

راستاهای افقی (ج) و عمودی (د) به ازای $\delta = 0/48$ (۵-۲۷-۱)، $\delta = 0/542$ (۵-۲۷-۲)

(۲)، $\delta = 0/544$ (۵-۲۷-۳)، $\delta = 0/55$ (۵-۲۷-۴)، $\delta = 0/554$ (۵-۲۷-۵)، $\delta = 0/56$ (۵-۲۷-۶)

(۷-۲۷-۷) و $\delta = 0/584$ (۵-۲۷-۸) برای یاتاقان سه-لب تحت

شرایط $\lambda = 1, \bar{\rho} = 0/001 \text{ mm}$ ۱۴۶

شکل (۵-۲۸): دیاگرام دوشاخگی در راستاهای افقی (الف) و عمودی (ب) برای یاتاقان سه-لب تحت

شرایط $\lambda = 1, \bar{\rho} = 0/001 \text{ mm}$ ۱۴۷

شکل (۵-۲۹): دیاگرام دوشاخگی محلی ($0/532 \leq \delta \leq 0/588$) در راستاهای افقی (الف) و عمودی

(ب) برای یاتاقان سه-لب تحت شرایط $\lambda = 1, \bar{\rho} = 0/001 \text{ mm}$ ۱۴۷

شکل (۵-۳۰): نگاشت پوانکاره مرکز محور به ازای $\delta = 0/52$ (الف)، $0/54$ (ب)، $0/544$ (پ)، $0/55$

(ت)، $0/554$ (ج)، $0/56$ (د)، $0/576$ (د)، $0/564$ (ر) برای یاتاقان سه-لب تحت شرایط

شرایط $\lambda = 1, \bar{\rho} = 0/001 \text{ mm}$ ۱۴۸

شکل (۵-۳۱): مدار دینامیکی مرکز محور (الف)، فضای حالت مرکز محور (ب) و طیف توانی آن در

راستاهای افقی (ج) و عمودی (د) به ازای $A = 10$ (۵-۳۱-۱)، $A = 15$ (۵-۳۱-۲)،

$A = 20$ (۵-۳۱-۳) و $A = 25$ (۵-۳۱-۴) برای یاتاقان سه-لب تحت

شرایط $\lambda = 1/5, \bar{\rho} = 0/001 \text{ mm}$ ۱۵۱

شکل (۳۲-۵): دیاگرام دوشاخگی در راستاهای افقی (الف) و عمودی (ب) برای یاتاقان سه-لب تحت

شرایط $\lambda = 1/5, \bar{\rho} = 0/001 mm$ ۱۵۲

شکل (۳۳-۵): دیاگرام دوشاخگی محلی ($16 \leq A \leq 28/2$) در راستاهای افقی (الف) و عمودی (ب)

برای یاتاقان سه-لب تحت شرایط $\lambda = 1/5, \bar{\rho} = 0/001 mm$ ۱۵۲

شکل (۳۴-۵): نگاشت پوانکاره مرکز محور به ازای $A = 15$ (الف)، ۲۰ (ب)، ۲۵ (ج) و ۲۵/۴ (د) برای

یاتاقان سه-لب تحت شرایط $\lambda = 1/5, \bar{\rho} = 0/001 mm$ ۱۵۳

شکل (۳۵-۵): مدار دینامیکی مرکز محور (الف)، فضای حالت مرکز محور (ب) و طیف توانی آن در

راستاهای افقی (ج) و عمودی (د) به ازای $\bar{m}_r = 5/2 kg$ (۱-۳۵-۵)، $\bar{m}_r = 5/2 kg$

(۲-۳۵-۵)، $\bar{m}_r = 18/1 kg$ (۳-۳۵-۵) و $\bar{m}_r = 30 kg$ (۴-۳۵-۵) برای یاتاقان سه-لب

تحت شرایط $\lambda = 1/5, \bar{\rho} = 0/001 mm$ ۱۵۶

شکل (۳۶-۵): دیاگرام دوشاخگی در راستاهای افقی (الف) و عمودی (ب) برای یاتاقان سه-لب تحت

شرایط $\lambda = 1/5, \bar{\rho} = 0/001 mm$ ۱۵۷

شکل (۳۷-۵): دیاگرام دوشاخگی محلی ($10 \leq \bar{m}_r \leq 33/8 kg$) در راستاهای افقی (الف) و عمودی (ب)

برای یاتاقان سه-لب تحت شرایط $\lambda = 1/5, \bar{\rho} = 0/001 mm$ ۱۵۷

شکل (۳۸-۵): نگاشت پوانکاره مرکز محور به ازای $\bar{m}_r = 10/33$ (الف)، ۱۸/۱ (ب)، ۳۰ (ج) و ۲۶/۶ (د)

کیلوگرم برای یاتاقان سه-لب تحت شرایط $\lambda = 1/5, \bar{\rho} = 0/001 mm$ ۱۵۸

شکل (۳۹-۵): مدار دینامیکی مرکز محور (الف)، فضای حالت مرکز محور (ب) و طیف توانی آن در

راستاهای افقی (ج) و عمودی (د) به ازای $\delta = 0/45$ (۱-۳۹-۵)، $\delta = 0/5$ (۲-۳۹-۵)،

$\delta = 0/55$ (۳-۳۹-۵) و $\delta = 0/6$ (۴-۳۹-۵) برای یاتاقان سه-لب تحت

شرایط $\lambda = 1/5, \bar{\rho} = 0/001 mm$ ۱۶۱

شکل (۵-۴۰): دیاگرام دوشاخگی در راستاهای افقی (الف) و عمودی (ب) برای یاتاقان سه-لب تحت

شرایط $\lambda = 1/5, \bar{\rho} = 0/001 mm$ ۱۶۲

شکل (۵-۴۱): دیاگرام دوشاخگی محلی ($0/52 \leq \delta \leq 0/62$) در راستاهای افقی (الف) و عمودی (ب)

برای یاتاقان سه-لب تحت شرایط $\lambda = 1/5, \bar{\rho} = 0/001 mm$ ۱۶۲

شکل (۵-۴۲): نگاشت پوانکاره مرکز محور به ازای $\delta = 0/45$ (الف)، $0/5$ (ب)، $0/55$ (ج) و $0/6$ (د)

برای یاتاقان سه-لب تحت شرایط $\lambda = 1/5, \bar{\rho} = 0/001 mm$ ۱۶۳

شکل (۶-۱): مدار دینامیکی مرکز محور (الف)، فضای حالت مرکز محور (ب) و طیف توانی آن در

راستاهای افقی (ج) و عمودی (د) به ازای $A = 25$ (۶-۱-۱) و $A = 30$ (۶-۱-۲) برای

یاتاقان چهار-لب تحت شرایط $\lambda = 1, \bar{\rho} = 0$ ۱۶۷

شکل (۶-۲): دیاگرام دوشاخگی در راستاهای افقی (الف) و عمودی (ب) برای یاتاقان چهار-لب تحت

شرایط $\lambda = 1, \bar{\rho} = 0$ ۱۶۸

شکل (۶-۳): نگاشت پوانکاره مرکز محور به ازای $A = 25$ (الف) و 30 (ب) برای یاتاقان چهار-لب تحت

شرایط $\lambda = 1, \bar{\rho} = 0$ ۱۶۸

شکل (۶-۴): مدار دینامیکی مرکز محور (الف)، فضای حالت مرکز محور (ب) و طیف توانی آن در

راستاهای افقی (ج) و عمودی (د) به ازای $\bar{m}_r = 31 kg$ (۶-۴-۱) و $\bar{m}_r = 41/3 kg$

برای یاتاقان چهار-لب تحت شرایط $\lambda = 1, \bar{\rho} = 0$ ۱۷۰

شکل (۶-۵): دیاگرام دوشاخگی در راستاهای افقی (الف) و عمودی (ب) برای یاتاقان چهار-لب تحت

شرایط $\lambda = 1, \bar{\rho} = 0$ ۱۷۱

شکل (۶-۶): نگاشت پوانکاره مرکز محور به ازای $\bar{m}_r = 31$ (الف) و $41/3$ (ب) کیلوگرم برای یاتاقان

چهار-لب تحت شرایط $\lambda = 1, \bar{\rho} = 0$ ۱۷۱

شکل (۶-۷): مدار دینامیکی مرکز محور (الف)، فضای حالت مرکز محور (ب) و طیف توانی آن در

راستاهای افقی (ج) و عمودی (د) به ازای $\delta = 0/59$ (۶-۷-۱) و $\delta = 0/62$ (۶-۷-۲)

برای یاتاقان چهار-لب تحت شرایط $\lambda = 1, \bar{\rho} = 0$ ۱۷۳

شکل (۶-۸): دیاگرام دوشاخگی در راستاهای افقی (الف) و عمودی (ب) برای یاتاقان چهار-لب تحت

شرایط $\lambda = 1, \bar{\rho} = 0$ ۱۷۴

شکل (۶-۹): نگاشت پوانکاره مرکز محور به ازای $\delta = 0/59$ (الف) و $0/62$ (ب) برای یاتاقان چهار-لب

تحت شرایط $\lambda = 1, \bar{\rho} = 0$ ۱۷۴

شکل (۶-۱۰): مدار دینامیکی مرکز محور (الف)، فضای حالت مرکز محور (ب) و طیف توانی آن در

راستاهای افقی (ج) و عمودی (د) به ازای $A = 30$ (۶-۱۰-۱) و $A = 45$ (۶-۱۰-۲)

برای یاتاقان چهار-لب تحت شرایط $\lambda = 1/5, \bar{\rho} = 0$ ۱۷۶

شکل (۶-۱۱): دیاگرام دوشاخگی در راستاهای افقی (الف) و عمودی (ب) برای یاتاقان چهار-لب تحت

شرایط $\lambda = 1/5, \bar{\rho} = 0$ ۱۷۷

شکل (۶-۱۲): نگاشت پوانکاره مرکز محور به ازای $A = 30$ (الف) و 45 (ب) برای یاتاقان چهار-لب تحت

شرایط $\lambda = 1/5, \bar{\rho} = 0$ ۱۷۷

شکل (۶-۱۳): مدار دینامیکی مرکز محور (الف)، فضای حالت مرکز محور (ب) و طیف توانی آن در

راستاهای افقی (ج) و عمودی (د) به ازای $\bar{m}_r = 31kg$ (۶-۱۳-۱) و $\bar{m}_r = 41/3kg$ (۶-۱۳-۲)

برای یاتاقان چهار-لب تحت شرایط $\lambda = 1/5, \bar{\rho} = 0$ ۱۷۹

شکل (۶-۱۴): دیاگرام دوشاخگی در راستاهای افقی (الف) و عمودی (ب) برای یاتاقان چهار-لب تحت

شرایط $\lambda = 1/5, \bar{\rho} = 0$ ۱۸۰

شکل (۶-۱۵): نگاشت پوانکاره مرکز محور به ازای $\bar{m}_r = 31$ (الف) و $41/3$ (ب) کیلوگرم برای یاتاقان

چهار-لب تحت شرایط $\lambda = 1/5, \bar{\rho} = 0$ ۱۸۰

شکل (۶-۱۶): مدار دینامیکی مرکز محور (الف)، فضای حالت مرکز محور (ب) و طیف توانی آن در

راستاهای افقی (ج) و عمودی (د) به ازای $\delta = 0/58$ (۶-۱۶-۱) و $\delta = 0/626$ (۶-۱۶-۲)

برای یاتاقان چهار-لب تحت شرایط $\lambda = 1/5, \bar{\rho} = 0$ ۱۸۲

شکل (۶-۱۷): دیاگرام دوشاخگی در راستاهای افقی (الف) و عمودی (ب) برای یاتاقان چهار-لب تحت

شرایط $\lambda = 1/5, \bar{\rho} = 0$ ۱۸۳

شکل (۶-۱۸): نگاشت پوانکاره مرکز محور به ازای $\delta = 0/58$ (الف) و $0/626$ (ب) برای یاتاقان چهار-

لب تحت شرایط $\lambda = 1/5, \bar{\rho} = 0$ ۱۸۳

شکل (۶-۱۹): مدار دینامیکی مرکز محور (الف)، فضای حالت مرکز محور (ب) و طیف توانی آن در

راستاهای افقی (ج) و عمودی (د) به ازای $A = 10$ (۶-۱۹-۱)، $A = 23$ (۶-۱۹-۲)،

$A = 24$ (۶-۱۹-۳) و $A = 29$ (۶-۱۹-۴) برای یاتاقان چهار-لب تحت

شرایط $\lambda = 1, \bar{\rho} = 0/001 mm$ ۱۸۶

شکل (۶-۲۰): دیاگرام دوشاخگی در راستاهای افقی (الف) و عمودی (ب) برای یاتاقان چهار-لب تحت

شرایط $\lambda = 1, \bar{\rho} = 0/001 mm$ ۱۸۷

شکل (۶-۲۱): دیاگرام دوشاخگی محلی ($22 \leq A \leq 30$) در راستاهای افقی (الف) و عمودی (ب) برای

یاتاقان چهار-لب تحت شرایط $\lambda = 1, \bar{\rho} = 0/001 mm$ ۱۸۷

شکل (۶-۲۲): نگاشت پوانکاره مرکز محور به ازای $A = 10$ (الف)، 23 (ب)، 24 (ج) و 27 (د) برای

یاتاقان چهار-لب تحت شرایط $\lambda = 1, \bar{\rho} = 0/001 mm$ ۱۸۸

شکل (۶-۲۳): مدار دینامیکی مرکز محور (الف)، فضای حالت مرکز محور (ب) و طیف توانی آن در

راستاهای افقی (ج) و عمودی (د) به ازای $\bar{m}_r = 10/33 kg$ (۶-۲۳-۱)،

$\bar{m}_r = 20/7 kg$ (۶-۲۳-۲)، $\bar{m}_r = 23/2 kg$ (۶-۲۳-۳) و $\bar{m}_r = 35/1 kg$ (۶-۲۳-۴)

(۴) برای یاتاقان چهار-لب تحت شرایط $\lambda = 1, \bar{\rho} = 0/001 mm$ ۱۹۱

شکل (۶-۲۴): دیاگرام دوشاخگی در راستاهای افقی (الف) و عمودی (ب) برای یاتاقان چهار-لب تحت

شرایط $\lambda = 1, \bar{\rho} = 0/001 mm$ ۱۹۲

شکل (۶-۲۵): دیاگرام دوشاخگی محلی ($22 \leq \bar{m}_r \leq 35/6 kg$) در راستاهای افقی (الف) و عمودی (ب)

برای یاتاقان چهار-لب تحت شرایط $\lambda = 1, \bar{\rho} = 0/001 mm$ ۱۹۲

شکل (۶-۲۶): نگاشت پوانکاره مرکز محور به ازای $\bar{m}_r = 10/33$ (الف)، $23/2$ (ب)، $29/9$ (ج) و $35/1$

(د) کیلوگرم برای یاتاقان چهار-لب تحت شرایط $\lambda = 1, \bar{\rho} = 0/001 mm$ ۱۹۳

شکل (۶-۲۷): مدار دینامیکی مرکز محور (الف)، فضای حالت مرکز محور (ب) و طیف توانی آن در

راستاهای افقی (ج) و عمودی (د) به ازای $\delta = 0/46$ (۶-۲۷-۱)، $\delta = 0/58$ (۶-۲۷-۲)

(۲)، $\delta = 0/608$ (۶-۲۷-۳) و $\delta = 0/62$ (۶-۲۷-۴) برای یاتاقان چهار-لب تحت

شرایط $\lambda = 1, \bar{\rho} = 0/001 mm$ ۱۹۶

شکل (۶-۲۸): دیاگرام دوشاخگی در راستاهای افقی (الف) و عمودی (ب) برای یاتاقان چهار-لب تحت

شرایط $\lambda = 1, \bar{\rho} = 0/001 mm$ ۱۹۷

شکل (۶-۲۹): دیاگرام دوشاخگی محلی ($0/58 \leq \delta \leq 0/624$) در راستاهای افقی (الف) و عمودی (ب)

برای یاتاقان چهار-لب تحت شرایط $\lambda = 1, \bar{\rho} = 0/001 mm$ ۱۹۷

شکل (۶-۳۰): نگاشت پوانکاره مرکز محور به ازای $\delta = 0/46$ (الف)، $0/58$ (ب)، $0/608$ (ج) و $0/62$ (د)

برای یاتاقان چهار-لب تحت شرایط $\lambda = 1, \bar{\rho} = 0/001 mm$ ۱۹۸

شکل (۳۱-۶): مدار دینامیکی مرکز محور (الف)، فضای حالت مرکز محور (ب) و طیف توانی آن در

راستاهای افقی (ج) و عمودی (د) به ازای $A = 15$ (۱-۳۱-۶)، $A = 25$ (۲-۳۱-۶)،

$A = 30$ (۳-۳۱-۶) و $A = 35/4$ (۴-۳۱-۶) برای یاتاقان چهار-لب تحت شرایط

۲۰۱..... $\lambda = 1, \bar{\rho} = 0/001 mm$

شکل (۳۲-۶): دیاگرام دوشاخگی در راستاهای افقی (الف) و عمودی (ب) برای یاتاقان چهار-لب تحت

شرایط ۲۰۲..... $\lambda = 1/5, \bar{\rho} = 0/001 mm$

شکل (۳۳-۶): دیاگرام دوشاخگی محلی ($16 \leq A \leq 28/2$) در راستاهای افقی (الف) و عمودی (ب)

برای یاتاقان چهار-لب تحت شرایط ۲۰۲..... $\lambda = 1/5, \bar{\rho} = 0/001 mm$

شکل (۳۴-۶): نگاشت پوانکاره مرکز محور به ازای $A = 15$ (الف)، ۲۰ (ب)، ۳۰ (پ)، ۲۶/۶ (ت)، ۲۷/۶

(ج)، ۳۱/۴ (د)، ۳۳ (ه) و ۳۵ (ی) برای یاتاقان چهار-لب تحت شرایط

۲۰۳..... $\lambda = 1/5, \bar{\rho} = 0/001 mm$

شکل (۳۵-۶): مدار دینامیکی مرکز محور (الف)، فضای حالت مرکز محور (ب) و طیف توانی آن در

راستاهای افقی (ج) و عمودی (د) به ازای $\bar{m}_r = 15/5 kg$ (۱-۳۵-۶)،

$\bar{m}_r = 18/07 kg$ (۲-۳۵-۶)، $\bar{m}_r = 31 kg$ (۳-۳۵-۶) و $\bar{m}_r = 36/6 kg$ (۴-۳۵-۶)

(۴) برای یاتاقان چهار-لب تحت شرایط ۲۰۶..... $\lambda = 1/5, \bar{\rho} = 0/001 mm$

شکل (۳۶-۶): دیاگرام دوشاخگی در راستاهای افقی (الف) و عمودی (ب) برای یاتاقان چهار-لب تحت

شرایط ۲۰۷..... $\lambda = 1/5, \bar{\rho} = 0/001 mm$

شکل (۳۷-۶): دیاگرام دوشاخگی محلی ($15 \leq \bar{m}_r \leq 44/4 kg$) در راستاهای افقی (الف) و عمودی (ب)

برای یاتاقان چهار-لب تحت شرایط ۲۰۷..... $\lambda = 1/5, \bar{\rho} = 0/001 mm$

شکل (۶-۳۸): نگاشت پوانکاره مرکز محور به ازای $\bar{m}_r = ۱۵/۵$ (الف)، $۱۸/۱$ (ب)، ۳۱ (پ)، $۳۲/۸$ (ت)،

$۳۶/۶$ (ج) و $۴۳/۴$ (د) کیلوگرم برای یاتاقان چهار-لب تحت شرایط

..... $\lambda = ۱/۵, \bar{\rho} = ۰/۰۰۱ mm$ ۲۰۸

شکل (۶-۳۹): مدار دینامیکی مرکز محور (الف)، فضای حالت مرکز محور (ب) و طیف توانی آن در

راستاهای افقی (ج) و عمودی (د) به ازای $\delta = ۰/۵$ (۱-۳۹-۶)، $\delta = ۰/۵۵$ (۲-۳۹-۶)،

$\delta = ۰/۶$ (۳-۳۹-۶) و $\delta = ۰/۶۲$ (۴-۳۹-۶) برای یاتاقان چهار-لب تحت شرایط

..... $\lambda = ۱/۵, \bar{\rho} = ۰/۰۰۱ mm$ ۲۱۱

شکل (۶-۴۰): دیاگرام دوشاخگی در راستاهای افقی (الف) و عمودی (ب) برای یاتاقان چهار-لب تحت

شرایط $\lambda = ۱/۵, \bar{\rho} = ۰/۰۰۱ mm$ ۲۱۲

شکل (۶-۴۱): دیاگرام دوشاخگی محلی ($۰/۵۴ \leq \delta \leq ۰/۶۲۲$) در راستاهای افقی (الف) و عمودی (ب)

برای یاتاقان چهار-لب تحت شرایط $\lambda = ۱/۵, \bar{\rho} = ۰/۰۰۱ mm$ ۲۱۲

شکل (۶-۴۲): نگاشت پوانکاره مرکز محور به ازای $\delta = ۰/۵$ (الف)، $۰/۵۵$ (ب)، $۰/۶$ (ج) و $۰/۶۲$ (د)

برای یاتاقان چهار-لب تحت شرایط $\lambda = ۱/۵, \bar{\rho} = ۰/۰۰۱ mm$ ۲۱۳

شکل (ب-۱): هندسه فضای لقی لب k ام با محور ۲۲۵

شکل (ج-۱): مختصات طبیعی (η, ζ) المان مستطیلی ۲۳۰

فهرست جداول

صفحه	عنوان
۵۴.....	جدول (۱-۳): مقایسه نتایج در حالت استاتیکی.....
	جدول (۲-۳): مقایسه نتایج بدست آمده با روشهای تفاضل محدود (FDM) و اجزاء محدود (FEM) در
۵۵.....	حالت دینامیکی.....

فهرست علائم

سطح محور	A
سطح المان	A^e
مولفه‌های بدون بعد شتاب مرکز محور در جهات افقی و عمودی	A_x, A_y
لقی شعاعی (m)	\bar{C}
کمترین مقدار لقی، موقعی که محور و یاتاقان هم‌مرکز باشند (m)	\bar{C}_m
قطر محور (m)	\bar{D}
تعداد کل المان‌ها در ناحیه فیلم سیال	e_f
مولفه‌های نیروی فیلم سیال روی محور در حالت استاتیکی (N)	$\bar{F}_{X_0}, \bar{F}_{Y_0}$
مولفه‌های بدون بعد نیروی فیلم سیال روی محور در حالت استاتیکی	F_{X_0}, F_{Y_0}
مولفه‌های نیروی فیلم سیال روی محور در حالت دینامیکی (N)	\bar{F}_X, \bar{F}_Y
مولفه‌های بدون بعد نیروی فیلم سیال روی محور در حالت دینامیکی	F_X, F_Y
ضخامت فیلم سیال در حالت دینامیکی (m)	\bar{h}
ضخامت بدون بعد فیلم سیال در حالت دینامیکی	h
ضخامت بدون بعد فیلم سیال در حالت استاتیکی	h_0
طول یاتاقان (m)	\bar{L}
جرم محور (kg)	\bar{m}_r
جرم محور در حالت بدون بعد	m_r
توابع شکل	$N_z, (z = i, j)$
توابع شکل برای هر المان	$N_z^e, (z = i, j)$

تعداد گره در هر المان	n_e
تعداد کل گره‌ها در ناحیه فیلم سیال	n_f
فشار مطلق گاز ($\frac{N}{m^2}$)	\bar{P}^*
فشار نسبی گاز ($\frac{N}{m^2}$)	\bar{P}
فشار نسبی بدون بعد گاز در حالت دینامیکی	P
فشار نسبی گاز در حالت استاتیکی ($\frac{N}{m^2}$)	\bar{P}_0
فشار نسبی بدون بعد گاز در حالت استاتیکی	P_0
فشار محیط ($\frac{N}{m^2}$)	\bar{P}_a
مشتق فشار استاتیکی نسبت به X_{j_0} در حالت بدون بعد	$P_{X_{j_0}}$
مشتق فشار استاتیکی نسبت به Y_{j_0} در حالت بدون بعد	$P_{Y_{j_0}}$
شعاع محور (m)	\bar{R}
مرز المان	S^e
متغیرهای حالت	$S_i, i = 1, 2, 3, 4$
زمان (s)	\bar{t}
زمان در حالت بدون بعد	t
سرعت محیطی محور ($\frac{m}{s}$)	\bar{U}
سرعت محیطی محور در حالت بدون بعد	U
مولفه‌های سرعت مرکز محور ($\frac{m}{s}$)	\bar{V}_X, \bar{V}_Y

مولفه‌های بدون بعد سرعت مرکز محور	V_X, V_Y
بار اعمالی روی محور	\bar{W}_0
مختصات مرکز محور در حالت استاتیکی (m)	$\bar{X}_{j_0}, \bar{Y}_{j_0}$
مختصات بدون بعد مرکز محور در حالت استاتیکی	X_{j_0}, Y_{j_0}
مختصات مرکز محور در حالت دینامیکی (m)	\bar{X}_j, \bar{Y}_j
مختصات بدون بعد مرکز محور در حالت دینامیکی	X_j, Y_j
مختصات اغتشاشی نسبت به موقعیت مرکز محور در حالت استاتیکی (m)	\bar{x}, \bar{y}
مختصات اغتشاشی بدون بعد نسبت به موقعیت مرکز محور در حالت استاتیکی	x, y

فهرست علائم یونانی

پریلود سیستم ($\frac{\bar{C}_m}{C}$)	δ
مختصات محلی در المان مستطیلی	η, ζ
متغیر اصلاح کننده فشار	η_0
نسبت طول یاتاقان به قطر محور ($\frac{\bar{L}}{D}$)	λ
عدد یاتاقان یا تراکم پذیری ($A = \frac{6\bar{\mu}\bar{\omega}_0\bar{R}^2}{P_a\bar{C}_m^2}$)	A
لزجت روانکار ($\frac{N.s}{m^2}$)	$\bar{\mu}$
مختصات محیطی	$\bar{\theta}$
مختصات زاویه‌ای، اندازه‌گیری شده نسبت به راستای مثبت محور X ،	θ

شکل (۲-۲)

زاویه بین خط‌المركزین یاتاقان و لب k ام با محور X	θ_0^k
زاویه شروع لب k ام با محور X	θ_1^k
زاویه پایان لب k ام با محور X	θ_2^k
نابالانسی جرمی محور (m)	$\bar{\rho}$
نابالانسی جرمی محور در حالت بدون بعد	ρ
سرعت زاویه‌ای محور در حالت استاتیکی ($\frac{rad}{s}$)	$\bar{\omega}_0$
سرعت زاویه‌ای محور در حالت دینامیکی ($\frac{rad}{s}$)	$\bar{\omega}$
مختصات طولی یاتاقان، اندازه‌گیری شده از وسط یاتاقان (m)	$\bar{\xi}$
مختصات طولی یاتاقان در حالت بدون بعد	ξ
متغیر تابع بدون بعد در حالت دینامیکی	Ψ
متغیر تابع بدون بعد در حالت دینامیکی برای المان	Ψ^e
متغیر تابع بدون بعد در حالت استاتیکی	Ψ_0
متغیر تابع بدون بعد در حالت استاتیکی برای المان	Ψ_0^e
مشتق متغیر تابع، Ψ_0 ، نسبت به X_0 در حالت بدون بعد	Ψ_{0,x_0}
مشتق متغیر تابع، Ψ_0 ، نسبت به Y_0 در حالت بدون بعد	Ψ_{0,y_0}
مشتق زمانی متغیر تابع	$\dot{\Psi}$

فهرست بالانویس‌ها

اشاره به المان e

اشاره به ناحیه سیال f

اشاره به لب k ام k

شماره تکرار r

فهرست زیرنویس‌ها

اشاره به حالت استاتیکی 0

شمارنده i

شمارنده j

فصل اول

مقدمه

۱-۱ مقدمه

تحقیقات گسترده انجام شده بصورت عملی و تئوری روی یاتاقان‌های روانکاری شده با گاز طی پنج دهه گذشته حاکی از توجه بسیاری از اندیشمندان در شاخه علم تراپولوژی^۱ روی این دسته از یاتاقان‌ها می‌باشد. یاتاقان‌های گازی با خصوصیات ویژه‌ای که نسبت به یاتاقان‌های روغنی دارند، می‌توانند شرایط پایداری را در دوره‌های بسیار بالا همراه با اتلاف انرژی و آلاینده‌گی در سطح پایین در بسیاری از زمینه‌های کاربردی با شرایط سخت و طاقت‌فرسا ایجاد نمایند. از مزایای بکارگیری این دسته از یاتاقان‌ها نسبت به یاتاقان‌های روغنی، می‌توان به فراوانی روانکار نظیر هوا، پایداری روانکار در بازه وسیعی از تغییرات دمایی، جلوگیری از پدیده کاویتاسیون^۲، کاهش اتلاف انرژی و عدم نیاز به سیستم خنک‌کاری اشاره کرد.

توربوماشین‌های سریع، سیستم‌های پیش‌ران‌ش در هواپیما، ماشین‌های ابزار با دور بالا، صنایع غذایی و داروسازی، راکتورهای هسته‌ای، لوازم دندانپزشکی و تجهیزات جانبی کامپیوتر از جمله مواردی است که یاتاقان‌های گازی بدلیل ویژگی‌های ذکر شده، بکارگرفته می‌شوند.

علی‌رغم برخورداری از ویژگی‌های جذاب نامبرده، این دسته از یاتاقان‌ها بدلیل پائین بودن لزجت روانکار، عملکرد استاتیکی و دینامیکی ضعیف‌تری نسبت به یاتاقان‌های روغنی دارند و این باعث کاهش کارایی آنها در عمل می‌شود.

مسأله پائین بودن ظرفیت تحمل بار در سیستم یاتاقان‌های هیدرودینامیکی را می‌توان با افزایش ابعاد و کاهش لقی شعاعی بهبود بخشید. لقی شعاعی کوچک به عملیات پرداخت سطح کاری بهتر و در نتیجه افزایش هزینه ساخت منجر می‌شود. اما مسأله پایداری خطی و بررسی رفتار دینامیکی غیرخطی، تحت اغتشاشات صورت‌گرفته در سیستم نسبت به یاتاقان‌های روغنی (بدلیل پائین بودن لزجت روانکار) بسیار مهمتر می‌باشد. بکارگیری سیستم یاتاقان‌های گازی در دوره‌های بالا بر اهمیت این موضوع می‌افزاید. لذا

^۱ . Tribology

^۲ . Cavitation

بررسی رفتار دینامیکی غیرخطی، و اثر تغییر پارامترهای سیستم بر آن، امری لازم و ضروری است تا بتوان با قراردادن سیستم در محدوده کاری مناسب، از خطرات احتمالی جلوگیری کرد.

تحلیل یاتاقان‌های گازی بصورت تئوری کار بسیار دشواری است. تئوری روانکاری گاز، در واقع بسط تئوری روانکاری فیلم سیال تراکم‌ناپذیر رینولدز^۱ است. شکل معادله رینولدز که میدان فشار را در فیلم سیال تراکم‌ناپذیر بیان می‌کند بصورت یک معادله دیفرانسیل جزئی^۲ غیرهمگن مرتبه دوم می‌باشد. در روانکاری با گاز، تراکم‌پذیری فیلم سیال، معادله رینولدز را به شکل غیرخطی تبدیل می‌کند و مشتق زمانی متغیر فشار بصورت صریح ظاهر می‌شود. لذا بررسی سیستم در حالت استاتیکی و همچنین حالت دینامیکی در یاتاقان‌های گازی نسبت به یاتاقان‌های روغنی بسیار پیچیده‌تر می‌باشد.

در این رساله، بررسی رفتار دینامیکی غیرخطی در سیستم یاتاقان‌های گازی غیرمدور مورد بررسی قرار گرفته است که در ادامه این فصل مروری بر کارهای انجام شده در این زمینه ارائه می‌گردد.

۲-۱ مروری بر کارهای انجام شده

اولین بار در سال ۱۸۹۷، کینگز بری [۱] در مطالعات عملی خود از هوا به عنوان روانکار استفاده نمود و این نقطه شروع تحقیقات در رابطه با یاتاقان‌های گازی بود. سپس در سال ۱۹۱۳، هاریسون [۲] یاتاقان‌های بلند را مورد مطالعه قرارداد. وی فرض کرد متوسط ضخامت فیلم روانکار در فضای لقی شعاعی محور یکسان باشد. بعد از این تقریباً به مدت چهار سال به غیر از چندین کار عملی، تحقیقات دیگری در این زمینه صورت نپذیرفت و آنهم عمدتاً به علت مشکلات حل معادلات غیرخطی حاکم بر مسأله بود.

کاتو و سودا [۳]، آسمان [۴-۶] و الرود و برگدورفر [۷] روش‌هایی برای حل یاتاقان‌های بلند ارائه کردند. اگرچه روش‌های حل مورد استفاده محدودیت داشتند و حتی برای پارامترهای غیرکاربردی مورد

^۱ . Reynolds

^۲ . Partial differential equation

استفاده قرار می‌گرفتند، ولی اثر بسیار زیادی از نظر کیفی در فهم مسأله و پیشرفتهایی در بهبود حل مسایل داشته‌اند.

با پیشرفت ماشین‌های محاسباتی، ریموندی [۸] و استرنلیچت [۹] روش تفاضل محدود^۱ را به منظور حل معادلات دیفرانسیل حاکم بر مسأله یاتاقان‌های گازی با طول کوتاه بکار گرفتند. ریموندی طی مطالعه خود با در نظر گرفتن روش تفاضل محدود، مشخصه‌های استاتیکی برای نسبت طول به قطرهای ۱، ۲ و ۵/۰ در محدوده تغییرات نسبت خروج از مرکزی ۰/۸ - ۰/۱ برای اعداد یاتاقان مختلف را بدست آورد. استرنلیچت نیز با بکارگیری روش تکرار روی معادله رینولدز به شکل تفاضل محدود به مشخصه‌های استاتیکی دست یافت که با نتایج بدست‌آمده توسط ریموندی مطابقت داشت. روشی که استرنلیچت بکار گرفت بگونه‌ای بود که می‌توان آنرا برای یاتاقان‌ها با اشکال مختلف هم بکار گرفت.

طی چهاردهه گذشته، از میان روشهای عددی، روش اجزاء محدود^۲ بدلیل مناسب بودن آن در بکارگیری هندسه‌های ناپیوسته، مورد استفاده قرار گرفت. روش اجزاء محدود در سال ۱۹۶۹ توسط ردی [۱۰] برای روانکار تراکم‌ناپذیر و در سال ۱۹۷۰ توسط ردی و چو [۱۱] برای روانکار تراکم‌پذیر بکار گرفته شد. سپس چنین روشی در روانکاری با سیال تراکم‌پذیر برای مسایل مختلف توسط محققین صورت گرفت [۱۲-۱۶]. در حل عددی مستقیم معادله یاتاقان گازی، رهد و اُه [۱۷-۱۸] با تعریف مشتق فریچت^۳ از تابع و بکارگیری روش تکرار نیوتن^۴، روشی بسیار مناسب برای حل مسایل در این زمینه ارائه دادند. بکارگیری این روش اضافه بر دقت بالا، زمان محاسبات را نیز کاهش می‌دهد. چنین روشی در حل بسیاری از مسایل روانکاری بکار گرفته شده است [۱۹-۲۶].

^۱. Finite difference

^۲. Finite element

^۳. Frechet derivative

^۴. Newton iteration method

تحلیل دینامیکی یاتاقان‌های هیدرودینامیکی در کاربردهای عملی اهمیت خاصی دارد. چنین مسأله-ای در سه نوع مطرح می‌گردد.

- در نوع اول آن، پدیده تشدید و وقوع آن در سیستم مورد بررسی قرار می‌گیرد که لازم است فرکانس‌های طبیعی^۱ سیستم شناسائی شود تا با جلوگیری از قرارگرفتن سرعت دورانی محور در فرکانس‌های طبیعی آن از وقوع چنین پدیده‌ای جلوگیری نمود. برای تعیین فرکانس‌های طبیعی، مدلسازی محور و یاتاقان توسط جرم و فنر صورت گرفته است [۲۷]. در این مدلسازی، اینرسی و خصوصیات ارتجاعی سیستم که شامل نیروهای ارتجاعی از طرف فیلم سیال و تکیه‌گاه یاتاقان می‌باشد، در نظر گرفته شده تا سرعت بحرانی سیستم تعیین شود. تغییرات در مقادیر سرعت بحرانی بر حسب سختی یاتاقان روی نمودار، توسط اسمالی و مالانسکی [۲۸] و ردی و سامرز-اسمیت [۲۹] گزارش شده است.

- در نوع دوم، مرز پایداری سیستم با تعیین سرعت در آستانه ناپایداری با در نظر گرفتن چرخش محور در فضای لقی یاتاقان مورد بررسی قرار می‌گیرد. این شکل از ناپایداری با ناپایداری نوع اول کاملاً متفاوت است؛ بگونه‌ایکه برای سرعت محور کوچکتر از سرعت در آستانه ناپایداری، پایداری مجانبی، برای سرعت محور برابر با سرعت در آستانه ناپایداری، پایداری مرزی و برای سرعت محور بیشتر از سرعت در آستانه ناپایداری، رشد سریع اغتشاش، صورت گرفته که منجر به ناپایداری سیستم می‌شود. برای اولین بار وجود این نوع ناپایداری و بررسی آن روی یاتاقان‌های روغنی با آزمایش توسط نیوکیرک و تیلور [۳۰] صورت گرفت تا اینکه در سال ۱۹۴۶، هاج [۳۱] با آزمایش نشان داد تحت شرایطی که حرکت چرخشی اتفاق می‌افتد، ظرفیت تحمل بار یاتاقان در سیستم یاتاقان‌های روغنی ناگهان کاهش می‌یابد و حتی می‌تواند به مقدار صفر برسد. تلاشهای بسیاری بعد از کار هاج روی یاتاقان‌ها صورت گرفت که در ادامه به کارهای انجام شده روی یاتاقان‌های گازی اشاره می‌شود.

^۱. Natural frequencies

در سال ۱۹۵۹ ویتلی و بتز [۳۲] پایداری را در سیستم یاتاقان گازی مورد بررسی قراردادند. آنها نشان دادند چگونه شکل تعمیم‌یافته معادله رینولدز، کاهش ظرفیت تحمل بار یاتاقان را در وقوع چرخش محور در فضای لقی یاتاقان بیان می‌کند. رینولدز و گروس [۳۳] با انجام آزمایشات گسترده‌ای روی یاتاقان‌های گازی، پایداری آنها را مورد بررسی قراردادند. آنها با بکارگیری هوا بعنوان روانکار، اثر پارامترهای مختلف نظیر: نسبت طول به قطر، خروج از مرکز، جرم محور و نابالانسی^۱ آن را روی سرعت بحرانی مورد مطالعه قراردادند.

ویتلی و همکارانش [۳۴] و استرنلیچت و وین [۳۵] آزمایش‌هایی مشابه با کارهای صورت‌گرفته توسط رینولدز و گروس انجام دادند. کار انجام شده در مرجع [۳۴] در واقع ادامه آزمایشات انجام شده توسط ویتلی و بتز بود که نشان دادند؛ مدهای چرخشی^۲، به جرم، لختی سیستم و سختی دینامیکی فیلم سیال (گاز) بستگی دارد. همچنین آنها نشان دادند با اعمال شیارهای محوری، بهبودی قابل ملاحظه‌ای روی پایداری سیستم صورت می‌گیرد که همراه با کاهش ظرفیت تحمل بار یاتاقان می‌باشد. در سال ۱۹۶۳ استرنلیچت و وین [۳۵]، اغتشاش اولیه و شروع حرکت چرخشی محور را برای پارامترهای مختلف نظیر: لقی یاتاقان، بار و جرم محور مورد مطالعه قرار دادند. همچنین ظرفیت تحمل بار یاتاقان و مشخصه‌های ارتعاشاتی محور و یاتاقان را برای چندین نسبت طول به قطر و قرارگیری موقعیت‌های مختلف سوراخ بر روی یاتاقان، تعیین کردند.

آزمایشات دیگری توسط استرنلیچت و وین [۳۶] صورت‌گرفت تا اثرات هندسه یاتاقان، تعداد و موقعیت شیارها و سوراخ‌ها را روی پایداری سیستم نشان دهند. با انجام آزمایش‌هایی، سیموسن [۳۷] پایداری محور انعطاف‌پذیر نصب شده بر روی یاتاقان‌های گازی و دایتون و چاسمن [۳۸] پایداری محور را با در نظر گرفتن نابالانسی جرمی آن مورد بررسی قراردادند.

¹ . Out of balance

² . Whirling modes

در سال ۱۹۶۳ آسمان [۳۹] معادله رینولدز خطی شده را برای سیستم یاتاقان‌های هیدرودینامیکی و بلند به منظور بدست آوردن موقعیت تعادلی و بررسی پایداری آن حل کرد. چن و پن [۴۰] با اعمال روش گالرکین^۱ روی معادله رینولدز، پایداری یاتاقان‌های گازی کوتاه را مورد بررسی قرار دادند. نتایج آنها بدلیل ساده‌سازی معادله رینولدز در حذف بعضی از عبارات‌ها شامل متغیر Ph از دقت کافی برخوردار نبود. لاند [۴۱] محور انعطاف‌پذیر و مارش و سیمونز [۴۲] با در نظر گرفتن یاتاقان انعطاف‌پذیر، پایداری را در سیستم یاتاقان‌های گازی مدور مورد بررسی قرار دادند. آنها در بررسی خود از معادله رینولدز خطی شده جهت دستیابی به محدوده پایداری سیستم استفاده کردند.

بررسی‌های انجام شده به صورت آزمایشی و تئوری نشان دادند که یاتاقان‌های مدور در دوره‌های بالا ناپایدار می‌باشند [۳۹-۴۲]. بنابراین تلاش برای دستیابی به یاتاقان‌هایی که در دوره‌های بالا نیز پایدار باشند، صورت گرفت. یاتاقان‌های ضد چرخشی نظیر یاتاقان‌های کفشی^۲، یاتاقان‌های متخلخل^۳، یاتاقان‌های با شیار جناقی^۴، یاتاقان‌های تحت فشار خارجی^۵ و یاتاقان‌های غیرمدور^۶ از جمله انواع یاتاقان‌هایی هستند که می‌توانند محدوده پایداری داشته باشند. در این زمینه تحقیقات زیادی طی سال‌های ۱۹۸۰-۲۰۰۴ با در نظر گرفتن روانکار روغن انجام شده است [۴۳-۵۳] که در ادامه به چند مورد در زمینه یاتاقان‌های گازی اشاره می‌شود.

لاند [۵۴] یاتاقان گازی غیرمدور سه-لب^۷ و یاتاقان کفشی را مورد بررسی قرار داد. وی چهار ضرایب دینامیکی سختی و میرایی را با در نظر گرفتن نوسانات در نزدیکی نقطه تعادل استاتیکی و اعمال روش خطی‌سازی بصورت توابعی از بار استاتیکی اعمال شده روی محور، سرعت چرخشی و فرکانس چرخش

¹ . Galerkin method

² . Pad bearings

³ . Porous bearings

⁴ . Herringbone-grooved bearings

⁵ . Hydrostatic bearings

⁶ . Noncircular bearings

⁷ . Three-lobe

بدست آورد و از آنها برای یافتن سرعت در آستانه ناپایداری استفاده نمود. لاند در بررسی خود نشان داد که یاتاقان غیرمدور سه-لب در حالت بدون بار نسبت به یاتاقان مدور پایدارتر است.

پینکوس [۵۵] یاتاقان‌های گازی سه-لب و بیضوی^۱ را در ادامه کارهای لاند مورد مطالعه قرارداد. وی در تحلیل دینامیکی خود از عبارت $\partial P/\partial t$ صرفنظر کرده است. لذا کاربرد دینامیکی آن محدود به اعداد یاتاقان پایین می‌شد. پینکوس نشان داد که یاتاقان‌های گازی سه-لب و بیضوی نسبت به یاتاقان مدور پایدارتر می‌باشند.

در سال ۱۹۸۳ چاندرا و همکارانش [۵۶-۵۸] یاتاقان‌های غیرمدور دو-لب^۲ (بیضوی و انحراف از حالت بیضوی)، سه-لب و چهار-لب^۳ را مورد مطالعه قراردادند. آنها در تحلیل دینامیکی خود از همان روش ارائه شده در مرجع [۵۴] استفاده کرده و تأثیر پارامترهای مختلف نظیر بارگذاری خارجی و عدد یاتاقان^۴ بر روی پایداری و مقایسه پایداری این دسته از یاتاقان‌ها با یکدیگر را انجام دادند. بررسی زوایای نصب [۲۲] و انحراف^۵ [۲۶-۲۵]، پرلود^۶ [۲۳] و پارامترهای هندسی نظیر ابعاد [۲۴] روی مشخصه‌های استاتیکی و پایداری سیستم، از جمله کارهای دیگری است که بر روی یاتاقان‌های گازی غیرمدور صورت گرفته شده است. نتایج این تحقیقات حاکی از آن است که با انتخاب زوایای نصب و انحراف همچنین نسبت طول به قطر مناسب و با کاهش مقدار پرلود می‌توان به اتلاف انرژی کمتر و پایداری بیشتری در سیستم یاتاقان-های گازی غیرمدور دست یافت.

تحقیقات انجام شده بصورت عملی و تئوری روی یاتاقان‌های متخلخل، بیشتر بودن ضرایب سختی و میرایی را در این دسته از یاتاقان‌ها نسبت به یاتاقان‌های غیرمتخلخل نشان می‌دهند. این عامل سبب پایداری بیشتر این دسته از یاتاقان‌ها شده تا در تجهیزات اندازه‌گیری و ماشین‌های ابزار دقیق با دور بالا و

¹ . Elliptical

² . Two-lobe

³ . Four-lobe

⁴ . Bearing number

⁵ . Mount and tilt angles

⁶ . Preload

توربوماشین‌های برودتی کوچک بکارگرفته شوند [۵۹-۶۱]. همچنین با در نظر گرفتن منبع فشار خارجی می‌توان کاهش صدا در طول چرخش و کاهش اصطکاک در ابتدا و انتهای حرکت را به ویژگی‌های آن اضافه نمود.

در سال ۱۹۶۴، اسنک و ین [۶۲] با در نظر گرفتن جریان یک بعدی در یاتاقان گازی متخلخل، حل اغتشاشی^۱ برای یاتاقان‌های کوتاه بکارگرفتند. اسنک و الول [۶۳] نتایج [۶۲] را بصورت آزمایشگاهی مورد بررسی قرار دادند. سینها و همکارانش [۶۴] یاتاقان‌های مخروطی^۲ متخلخل تحت فشار خارجی را در نظر گرفتند. آنها با روش تفاضل محدود، معادلات انرژی و مومنتم بهم وابسته را حل نموده و در ادامه مشخصه‌های مختلف یاتاقان را بدست آوردند.

وجود شیارهای جناقی روی یاتاقان باعث پمپ‌کردن روانکار به داخل محیط سیال شده که می‌تواند سبب کاهش نشتی جریان و افزایش پایداری سیستم یاتاقان شود. تئوری شیار باریک برای اولین بار در سال ۱۹۶۳ توسط وهر و پان [۶۵] بیان شد و در ادامه توسط وهر و چو [۶۶] برای بررسی سیستم یاتاقان گازی با شیارهای جناقی تحت شرایط هم‌مرکزی بکارگرفته شد.

در سال ۱۹۷۱، هم‌رک و فلمینگ [۶۷] پارامترهای بهینه‌ای برای بیشترین ظرفیت تحمل بار شعاعی در سیستم یاتاقان‌های گازی هیدرودینامیکی همراه با شیار جناقی تعیین کردند. بررسی مشخصه‌های استاتیکی و دینامیکی در چنین سیستم‌هایی توسط کوبایاشی [۶۸] با روش چندشبکه‌ای^۳ مورد بررسی قرار گرفت. همگرایی بالا در حل معادله بخصوص در اعداد یاتاقان بالا از مزایای روش حل وی است. فاریا [۶۹] با بکارگیری روش عددی اجزاء محدود^۴، اثر شیارهای جناقی را روی زاویه مشخصه، ظرفیت تحمل بار یاتاقان و ضرایب دینامیکی در دوره‌های بالا بدست آورد.

^۱ . Perturbation method

^۲ . Conical bearings

^۳ . Multigrid

^۴ . Finite element method

محدودیت‌هایی که در دستیابی به محدوده پایداری سیستم با روش خطی‌سازی معادلات وجود داشت [۲۶-۲۲] و [۵۶-۵۸]، بررسی‌ها را بسوی تحلیل غیرخطی پاسخ گذرای سیستم سوق داد. در این روش تحلیل، با در نظر گرفتن معادلات حرکت و رینولدز با همدیگر، پایداری محور حول نقطه تعادل استاتیکی مورد بررسی قرار می‌گیرد. علی‌رغم تحقیقات گسترده انجام‌شده با این روش روی یاتاقان‌های روغنی [۷۰-۸۱] تحقیقات کمی روی یاتاقان‌های گازی صورت‌گرفته که در ادامه به برخی از کارهای انجام شده در این زمینه اشاره می‌شود.

کاستلی و الرود [۸۲] روشی را برای حل مسأله پایداری بیان کردند که مجموعه کاملی از معادلات غیرخطی در برداشت. ایشان با انتگرال‌گیری بصورت عددی موقعیت مرکز محور را متناظر با هر حالت هندسی و شرایط اولیه کاری تعیین کردند. اگر شعاع مسیر مارپیچ مرکز محور در جهت افزایش بود نشان از ناپایداری و اگر در جهت کاهش آن قرار می‌گرفت نشان از پایداری آن می‌بود. از معایب این روش می‌توان به طولانی بودن زمان جهت بررسی پایداری سیستم یاتاقان‌های گازی هیدرودینامیکی اشاره کرد. در سال ۱۹۹۲ رحمت‌آبادی [۸۳] محدوده پایداری را در سیستم یاتاقان‌های گازی با حل همزمان معادلات حرکت و رینولدز بدست‌آورد. وی در ابتدا با بدست‌آوردن محدوده پایداری با روش خطی‌سازی- شده سه ناحیه پایدار مجانبی، چرخه حدی و ناپایدار که با اغتشاش نسبت به حالت تعادل استاتیکی صورت می‌گیرد، مشخص کرد. این همان کاری بود که توسط چاندرا و همکارانش قبلاً انجام شده بود [۴۰]. رحمت‌آبادی نشان داد که با در نظر گرفتن شرایط کاری در هر یک از نواحی بدست‌آمده در حالت خطی‌شده و با اعمال شتاب به محوری که در وضعیت تعادل استاتیکی قرار گرفته، می‌توان با حل همزمان معادلات حرکت و رینولدز به محدوده پایداری نسبت به حالت خطی‌شده دست‌یافت. یاتاقان‌های مدور، دو-لب، سه-لب و چهار-لب، از جمله یاتاقان‌های مورد بررسی در کار وی است.

پیکوس [۸۴] در سال ۲۰۰۰ روش مداری^۱ را جهت بررسی پایداری سیستم یاتاقان‌های گازی مورد استفاده در ماشین‌های کوچک بکارگرفت. وی با در نظر گرفتن روش شبه طیفی^۲، کارآیی طرح خود را افزایش داد. این روش اجازه می‌دهد که تکرار حل عددی در زمان اجرا به گونه‌ای تنظیم شود تا از خطای بریدگی در خروج از مرکزیت بالا و محاسبات غیرضروری در خروج از مرکزیت پائین اجتناب شود. پیکوس وجود مدهای چرخشی با دامنه بالا قبل و بعد از سرعت در آستانه ناپایداری را نشان داد.

یانگ و همکارانش [۸۵]، معادله رینولدز را در حالت غیرخطی با اعمال روش تفاضل محدود جهت دستیابی به دو آستانه ناپایداری بجای یکی، با تغییر وضعیت سیستم از حالت پایدار به ناپایدار، حل نموده‌اند. آنها نشان دادند، با ثابت در نظر گرفتن سایر پارامترها، موقعی که جرم محور از محدوده جرم آن در آستانه ناپایداری بالایی تجاوز کند، سیستم ناپایدار می‌شود؛ چنانچه جرم محور از محدوده جرم آن در آستانه ناپایداری پایین کمتر باشد؛ سیستم پایدار است و موقعی که جرم محور بین محدوده جرم محور در آستانه ناپایداری بالایی و پایینی قرار گیرد، پایداری سیستم به دامنه اغتشاش آن بستگی دارد. در نظر گرفتن مقادیر نسبت طول به قطر و بارگذاری خارجی بعنوان پارامتر پایداری به جای جرم محور در آستانه ناپایداری نیز در کار ایشان دیده می‌شود.

در سال ۲۰۰۹ آل بندر [۸۶] در ابتدا مشخصه‌های استاتیکی یاتاقان‌های گازی هیدرواستاتیکی را که مورد نیاز در مسایل طراحی می‌باشد، بدست آورد. وی در ادامه جهت کامل کردن کار خود جهت بررسی پایداری با مطالعه روشهایی که بمنظور دستیابی به مشخصه‌های دینامیکی بکار گرفته شده، روش اغتشاش هارمونیک^۳ را انتخاب می‌کند. این روش از دقت بالایی در تخمین ضرایب سختی در این دسته از یاتاقان-ها برخوردار بود. وی دستیابی به عملکرد در سطح بالا را با بکارگیری این روش، با مثالهای کاربردی نشان داد.

¹ . Orbital method

² . Quasi-spectral method

³ . Harmonic perturbation method

بررسی ارتعاشات شعاعی در محور عمودی تحت فشار خارجی توسط کولمبو و همکارانش [۸۷] مورد بررسی قرار گرفت. ایشان در بررسی خود با حل همزمان معادله وابسته به زمان رینولدز، با معادلات حرکت مرکز محور، محدوده پایداری سیستم را تعیین کرده و اثرات در نظر گرفتن یک و دو منبع تأمین فشار خارجی روی آن را مورد مطالعه قرار دادند.

• در نوع سوم تحلیل دینامیکی، رفتار دینامیکی غیرخطی در سیستم یاتاقان و محور مورد بررسی قرار می‌گیرد. در ادامه به کارهای انجام شده در این زمینه بر روی یاتاقان‌های با روانکار تراکم‌پذیر و تراکم-ناپذیر اشاره می‌شود.

گروس و زاکماناگلو [۸۸] حل‌های اغتشاشی را برای محورهای بسیار بلند در سیستم یاتاقان‌های هیدرودینامیکی بکار گرفتند. حل‌های اغتشاشی در بازه وسیعی از پارامتری هندسی معتبر بوده و همچنین از دقت بالایی برخوردار بودند. در سال ۱۹۷۸، هلمز و همکارانش [۸۹] اولین مقاله‌ای را که حاکی از رفتار نامنظم سیستم یاتاقان و محور بود، منتشر کردند. ایشان معادلات حرکت محور را با روش مسأله مقدار اولیه بصورت عددی برای محوری که بر روی یاتاقان‌های کوتاه قرار گرفته، حل نمودند. در این مقاله نتیجه‌گیری شد که سطح‌های متوسطی از نابالانسی و خروج از مرکزیت بالا منجر به پاسخ نامنظم در سرعت‌های بالاتر از مقدار بحرانی می‌شود. زها و همکارانش [۹۰] رفتار شبه تناوبی^۱ در یک سیستم یاتاقان و محور صلب تحت فشار هیدرواستاتیکی را مورد بررسی قرار دادند. آنها نشان دادند که برای مقادیر بالایی از نابالانسی و ناهمترازی استاتیکی، حل‌های شبه تناوبی طی آنالیز دوشاخگی^۲ از حل‌های تناوبی با افزایش سرعت به دو برابر سرعت بحرانی حاصل می‌شود. بررسی‌های آزمایشی و تئوری گزارش شده با

^۱ . Quasi-preiodic

^۲ . Bifurcation analysis

آدیلتا و همکارانش [۹۱-۹۳] وجود رفتارهای تناوبی، شبه تناوبی و آشوبی^۱ را در سیستم‌های یاتاقان کوتاه و روتور^۲ در حالت صلب به ازای پارامترهای مختلف سیستم نشان دادند.

تماس بین روتور و استاتور^۳ از رایجترین اشکالاتی است که در سیستم‌های دورانی صورت می‌گیرد و می‌تواند در اثر بروز عیب دیگری در سیستم بوجود آید. موقعی که تماس اتفاق می‌افتد، تماس جزئی در ابتدا صورت می‌گیرد و بصورت تناوبی تغییر تنش بین محور و سیستم در زمان‌های کوتاه شکل گرفته که می‌تواند رفتارهای پیچیده را در سیستم سبب شود. رفته‌رفته تماس لحظه‌ای منجر به تماس‌های کاملتر شده که عملکرد عادی سیستم را ناممکن می‌سازد.

بتی [۹۴] در سال ۱۹۸۵ یک مدل ریاضی برای نیروهای تماسی، جهت تشخیص این عیب بکارگرفت و آن را بصورت تئوری و آزمایشگاهی مورد ارزیابی قرارداد. در تشخیص عیوب ماشین‌های دورانی، بخاطر پیچیدگی رفتار سیستم دربرخی عیب‌ها، در نظر گرفتن ارتعاش آشوبی و پدیده دوشاخگی می‌تواند در تشخیص صحیح این عیوب مفید باشند، که ارتعاش آشوبی به عنوان یک ابزار جهت ارزیابی برای تشخیص عیب بکارگرفته شده است [۹۵].

برون و همکارانش [۹۶] مدل ساده‌ای از یک روتور صلب با یاتاقان‌های گازی کوتاه را مورد مطالعه قراردادند و با بکارگیری تئوری یاتاقان‌های کوتاه نشان دادند در صورتیکه نیروی نابالاسی روتور از مقدار بار وزنی تجاوز کند، روتور رفتار آشوبناک از خود نشان می‌دهد. زلینسکی و کاپیتانیاک [۹۷] روشی را برای کنترل دوشاخگی هوف^۴ در محورهای قرارگرفته روی یاتاقان‌های گازی کوتاه بکارگرفتند. آنها نشان دادند که با در نظر گرفتن ضرایب سختی و میرایی مناسب برای رینگ^۵ هوایی قرارگرفته بین یاتاقان و بدنه می‌-

^۱ . Chaotic

^۲ . Rotor

^۳ . Stator

^۴ . Hopf bifurcation

^۵ . Ring

توان از وقوع چنین پدیده‌ای که می‌تواند سبب آسیب رساندن به یاتاقان در دورهای بالا شود، جلوگیری نمود.

در سال ۱۹۹۷، فولل و زنگسونگ [۹۸] ارتعاشات تناوبی، شبه تناوبی و آشوبی در یک سیستم یاتاقان روغنی کوتاه با در نظر گرفتن محور بدون جرم، انعطاف‌پذیر همراه با میرائی، اثر تماسی بین روتور و استاتور را مورد مطالعه قرار دادند. ایشان با در نظر گرفتن سرعت چرخش، میرائی سیستم و نابالانسی به عنوان پارامترهای کنترلی سیستم، رفتارهای تناوبی، شبه تناوبی، آشوبی و راههای رسیدن به آشوب را با رسم مدارهای دینامیکی، دیاگرام دوشاخگی و نگاشت پوانکاره^۱ نشان دادند.

چن و یا [۹۹] روتور انعطاف‌پذیر قرار گرفته روی یاتاقان‌های روغنی همراه با سیستم تعلیق غیرخطی را مورد مطالعه قرار دادند. نتایج عددی نشان دادند با وجود اینکه معادلات حرکت مرکز روتور و یاتاقان بهم وابسته هستند، مسیرهای حالت مرکز روتور حرکت آرام و یکنواخت و متقارن را نشان می‌دهند حال آنکه مسیرهای حالت مرکز یاتاقان نامنظم هستند. آنها اهمیت تعلیق غیرخطی را در سیستم یاتاقان‌های روغنی نشان دادند بگونه‌ای که به ازای برخی از پارامترهای سیستم، سیستم رفتار نامنظم داشته و جاذب‌گرهای شگرف ظاهر می‌شوند که می‌تواند منجر به آشوبی شدن رفتار سیستم شود. از آنجا که پیش‌بینی و کنترل رفتارهای آشوبی خیلی مشکل است لذا آن مهم است که حرکت آشوبی شناسایی شود تا از وقوع آن جلوگیری بعمل آید.

در سال ۲۰۰۱ وانگ و چن [۱۰۰] رفتار غیرخطی محور صلب را در سیستم یاتاقان‌های گازی مدور مورد بررسی قرار دادند. آنها با حل همزمان معادله رینولدز جهت دستیابی به مقادیر لحظه‌ای فشار با معادلات حرکت محور، رفتار سیستم را مورد مطالعه قرار دادند. همچنین آنها به منظور دستیابی به مقدار فشار، از روش تفاضل محدود جهت حل معادله رینولدز استفاده کرده و روش S.O.R^۲ را برای کاهش مدت

^۱. Poincare map

^۲. Successive over relaxation method

زمان محاسبات بکارگرفتند. بررسی‌های انجام شده با فضای حالت^۱، طیف پاسخ^۲، نگاشت پوانکاره و آنالیز دوشاخگی حاکی از آن است که با در نظر گرفتن جرم محور و سرعت آن به عنوان پارامترهای کنترلی سیستم، می‌توان به رفتارهای پریودیکی، دو، سه و چهار پریودیکی دست یافت.

کارپنکو و همکارانش [۱۰۱] پاسخ دینامیکی غیرخطی محور قرار گرفته در فضای لقی با رینگ فتری و همچنین در ادامه کار خود اثر پیش‌بارگذاری رینگ فتری روی پاسخ دینامیکی را مورد مطالعه قرار داده [۱۰۲] و با کمک دیاگرام دوشاخگی، انتقال رفتار سیستم از حالت تناوبی به شبه تناوبی و آشوبی را نشان دادند. ایشان اثر پارامترهایی نظیر سختی، میرایی ویسکوز^۳ و نابالانسی جرمی روی رفتار دینامیکی سیستم مورد بررسی قرار داده و چگونگی اثر آنها با تغییر پارامترهای مذکور روی رفتار دینامیکی سیستم نشان دادند.

در سال ۲۰۰۴ جیان‌پینگ و همکارانش [۱۰۳] با در نظر گرفتن مدلی پیوسته برای محوری که روی یاتاقان‌های روغنی کوتاه قرار گرفته، به مطالعه رفتار دینامیکی آن پرداختند. آنها روش عددی اجزاء محدود را برای مدل پیوسته محور انتخاب کرده و نیروهای اعمالی روی محور را با حل تحلیلی که برای یاتاقان کوتاه وجود دارد، محاسبه نمودند. روش انتگرال‌گیری مستقیم نیمارک^۴ و اصل جمع آثار^۵، دو روشی بود که آنها در بررسی خود بکار گرفته تا با در نظر گرفتن سرعت دورانی محور به عنوان پارامتر کنترلی سیستم چگونگی وقوع رفتارهای پیچیده را در سیستم نشان دهند. همچنین، جیان‌پینگ و همکارانش در بررسی خود، مدل گسسته محور را نیز در نظر گرفته و میزان خطایی که بین این دو مدل در نتایج می‌تواند وجود داشته باشد را نشان دادند.

¹ . State space

² . Power spectra

³ . Viscose

⁴ . Neimark direct integral method

⁵ . Super-position principle

قین و همکارانش [۱۰۴] رفتار دینامیکی محور پله‌ای بکارگرفته‌شده در پمپ اکسیژن موتوری که در یک انتهای آن روتور قرار گرفته و توسط دو یاتاقان نگهداری می‌شود، مورد بررسی قرار دادند. آنها در تحلیل خود تماس بین روتور و محفظه آن در نظر گرفته و با استفاده از روش ماتریس انتقال^۱، معادلات حرکت را استخراج کرده و با روش انتگرال‌گیری نیمارک رفتارهای پیچیده نظیر تناوبی، شبه‌تناوبی و آشوبی، همچنین راه‌های آشوبی شدن رفتار سیستم را نشان دادند. در این بررسی پارامترهایی نظیر: سرعت دورانی، میزان نابالانسی و میرایی خارجی به عنوان پارامترهای کنترلی سیستم در نظر گرفته شده است.

در سال ۲۰۰۴، وانگ و همکارانش [۱۰۵] رفتار غیرخطی محور انعطاف‌پذیر و روتور قرار گرفته بر روی آن در سیستم یاتاقان‌های گازی مدور را مورد بررسی قرار دادند. آنها از همان روش ارائه شده در مرجع [۱۰۰] استفاده کرده و با فرض بدون جرم در نظر گرفتن محور و نابالانسی جرمی برای روتور با ابزارهایی نظیر فضای حالت، طیف پاسخ، نگاشت پوانکاره و آنالیز دوشاخگی، نشان دادند که با تغییر پارامترهایی نظیر جرم روتور و سرعت آن به عنوان پارامترهای کنترلی سیستم، می‌توان به رفتارهای پریودیکی، دو، سه و چهار پریودیکی دست یافت.

وانگ و همکارش [۱۰۶] با کوتاه در نظر گرفتن یاتاقان گازی مدور، مدل ارائه شده در مرجع [۱۰۰] را با همان روش ولی با تغییر پارامترهای کنترلی به عدد یاتاقان و عدد فشردگی^۲ مورد مطالعه قرار داده و وقوع رفتارهای تناوبی، دو و چهار پریودیکی را در این دسته از سیستمها به ازای اعداد یاتاقان و فشردگی پایین نشان دادند.

اغلب از فیلم سیال فشرده به عنوان میراگر در ماشین‌های دورانی با دور بالا جهت فراهم کردن میرایی خارجی اضافی به سیستم محور-یاتاقان به منظور کاهش رفتارهای نامنظم و حذف مسأله ناپایداری در سیستم بکار گرفته می‌شود. کاربرد بیشتر این میراگرها در موتورهای توربین گاز هواپیما می‌باشد که

¹ . Transmission matrix

² . Squeeze number

معمولاً بر روی یاتاقان‌های غلتشی که تقریباً خواص میرایی از خود نشان نمی‌دهند، نصب می‌شوند. اگرچه این میراگرهای فیلم سیال فشرده جزء اجزای ماشین به شدت پایدار هستند ولی عملکرد آنها در بعضی از پارامترها ممکن است ارتعاشات ناخواسته بوجود آورد. لذا بررسی پارامترهای طراحی نظیر مشخصه یاتاقان، بار، جرم روی پدیده دوشاخگی محور انعطاف‌پذیر قرارگرفته بر روی میراگر فیلم سیال فشرده بدون فنرهای متمرکزکننده با بکارگیری روش انتگرال‌گیری مستقیم توسط عنایت حسین [۱۰۷] صورت-گرفته تا وقوع رفتارهای دو و چهار پرودیکی و شبه تناوبی را نشان‌دهد. عنایت حسین ادامه کار خود را در همین زمینه با اضافه کردن فنرهای نگهدارنده به مدل انجام‌داد [۱۰۸].

وانگ و خوانساری [۱۰۹] با بکارگیری تئوری دوشاخگی هوف، مشخصه‌های استاتیکی و دینامیکی محور صلب قرارگرفته بر روی یاتاقان‌های روغنی کوتاه را با درنظرگرفتن جریان آشفته^۱ برای روانکار بدست‌آوردند. در این مطالعه، آنها نشان‌دادند که جریان آشفته اثر چشمگیری روی ضرایب دینامیکی و مدار تناوبی دارد.

در سال ۲۰۰۶، وانگ [۱۱۰] رفتار غیرخطی در یک سیستم یاتاقان گازی کوتاه، متخلخل و تحت فشار هیدرواستاتیکی را با فرض صلب‌بودن محور مورد بررسی قراردادده است. وی نیز از همان روش ارائه شده در مرجع [۱۰۰] برای دستیابی به مقادیر فشار و موقعیت مرکز محور استفاده کرده تا با درنظرگرفتن جرم محور و عدد یاتاقان به عنوان پارامترهای کنترلی سیستم، وجود رفتارهای تناوبی و شبه تناوبی را با ابزارهای لازم نشان دهد.

زنگ و منگ [۱۱۱] پایداری محوری که در ماشین‌های کوچک بکارگرفته می‌شود را با تحلیل دوشاخگی مورد بررسی قراردادند. آنها با درنظرگرفتن اثر تماس بین محور و بدنه و تغییر پارامترهای سیستم نظیر: ضرایب سختی و میرایی، ضریب اصطکاک، نابالانسی جرمی محور و سرعت دورانی، وقوع

^۱ . Turbulent flow

رفتارهای پیچیده در سیستم، شامل رفتارهای تناوبی، شبه تناوبی و آشوبی را نشان دادند. در این مطالعه، علاوه بر دیاگرام دوشاخگی ابزارهایی نظیر سری زمانی^۱، نگاشت پوانکاره، طیف توانی و فضای حالت برای بهتر نشان دادن رفتارهای مختلف سیستم با تغییر پارامترها استفاده شده است.

در سال ۲۰۰۷ وانگ [۱۱۲] رفتار غیرخطی سیستم یاتاقان گازی را با در نظر گرفتن شیارهای جناقی روی آن و با فرض صلب بودن محور مورد بررسی قرارداد. وی و همکارانش همان مسأله را با فرض انعطاف-پذیر بودن محور [۱۱۳] و با اعمال یاتاقان گازی کوتاه [۱۱۴] نیز مورد مطالعه قرار دادند. آنها با بکارگیری روش اشاره شده در مرجع [۱۰۰] و همچنین با بکارگیری همان ابزارها، عدد یاتاقان و جرم محور را به عنوان پارامترهای کنترلی سیستم در نظر گرفته و محدوده پارامترهایی را که در آن سیستم رفتارهای -تناوبی و شبه تناوبی از خود نشان می‌دهد، مشخص نمودند. همچنین وانگ و همکارانش [۱۱۵] رفتار غیرخطی در یک سیستم یاتاقان گازی کوتاه با در نظر گرفتن محور انعطاف‌پذیر مورد بررسی قرار دادند. آنها نیز با بکارگیری روش اشاره شده در مرجع [۱۰۰] و همان ابزارها، جرم روتور و عدد فشردگی را بعنوان پارامترهای کنترلی سیستم در نظر گرفته و در بررسی خود، وجود رفتارهای تناوبی، دو و چهار پریودیکی را برای مرکز محور در جهات افقی و عمودی نشان داده‌اند. در ادامه، روش هیبریدی^۲ که ترکیبی از روش-های تبدیل دیفرانسیلی^۳ و تفاضل محدود است برای بررسی رفتار دینامیکی غیرخطی یک محور انعطاف-پذیر تحت یاتاقان‌های گازی کروی توسط وانگ [۱۱۶] صورت گرفت. وی نیز در این مدل محدوده‌هایی که در آن رفتارهای تناوبی و شبه تناوبی با تغییر عدد یاتاقان و جرم محور صورت می‌گیرد را شناسایی کرد.

چانگ‌جیان و چن رفتارهای تناوبی، شبه تناوبی و آشوبی را در سیستم یاتاقان‌های روغنی طویل، انعطاف‌پذیر همراه با تعلیق غیرخطی و اثرتماسی [۱۱۷] و بدون در نظر گرفتن اثرتماسی با محیط روانکار آشفته [۱۱۸] نشان دادند. همچنین آنها سیستم یاتاقان‌های روغنی کوتاه را با در نظر گرفتن اثر تماسی و

^۱ . Time series

^۲ . Hybrid method

^۳ . Differential transformation

محیط روانکار آشفته [۱۱۹] و محور انعطاف‌پذیر قرار گرفته روی یاتاقان‌های متخلخل [۱۲۰] نیز مورد مطالعه قرار دادند. آنها با بکارگیری روش رانگ-کاتا^۱ جهت حل معادلات دینامیکی و ابزارهایی نظیر: دیاگرام دوشاخگی، نگاشت پوانکاره، طیف توانی و فضای حالت و در نظر گرفتن پارامتر بدون بعد سرعت به عنوان پارامتر کنترلی سیستم، محدوده پارامترهایی که به ازای آنها رفتارهای غیرخطی متفاوت در سیستم صورت می‌گیرد را مشخص نموده و در ضمن از نماهای لیاپانوفی^۲ برای مطمئن شدن وقوع رفتار آشوبی در برخی نواحی، استفاده کرده‌اند. مشابه با چنین تحقیقاتی، شن و همکارانش [۱۲۱] رفتار دینامیکی یاتاقان روغنی کوتاه را با در نظر گرفتن اثر تماسی و نابالانسی مورد مطالعه قرار دادند.

اضافه کردن افزودنیها به روانکار می‌تواند باعث بهبودی خواص استاتیکی و دینامیکی سیستم شود. لذا در این زمینه نیز تحلیل‌های غیرخطی با بکارگیری روانکار غیرنیوتنی^۳ صورت گرفته است. بررسی رفتار دینامیکی غیرخطی یاتاقان و روتور انعطاف‌پذیر همراه با سیستم تعلیق غیرخطی با یاتاقان‌های کوتاه [۱۲۲-۱۲۳]، فرض محیط روانکار آشفته [۱۲۴] و همچنین متخلخل در نظر گرفتن یاتاقان [۱۲۵] از جمله کارهای انجام شده با بکارگیری روانکار غیرنیوتنی می‌باشد.

تحقیقات بعمل آمده، حاکی از بهتر بودن عملکرد دینامیکی یاتاقان‌های گازی غیرمدور نسبت به یاتاقان مدور می‌باشد. از مزایای دیگری که در بکارگیری این دسته از یاتاقان‌ها می‌توان به آن اشاره کرد، استفاده در فضاهایی است که بدلیل محدودیت فضا امکان بکارگیری یاتاقان مدور نباشد و حتی ممکن است که یاتاقان غیرمدور نیز نسبت به حالت تقارن خود انحراف داشته و یا بچرخد.

مطالب اشاره شده در بالا، اهمیت مطالعه روی سیستم یاتاقان‌های لغزشی را نشان می‌دهند. بررسی مشخصه‌های استاتیکی، بدست آوردن ضرایب سختی و میرایی، تحلیل پایداری بر مبنای تئوری خطی-ساز شده و تحلیل پاسخ گذرای این دسته از یاتاقان‌ها با در نظر گرفتن سیال نیوتنی و غیرنیوتنی، تراکم-

^۱ . Runge-Kutta method

^۲ . Lyapunov exponents

^۳ . Non-Newtonian lubricant

پذیر و تراکم‌ناپذیر، هندسه یاتاقان مدور و غیرمدور، متخلخل یا غیرمتخلخل بودن یاتاقان، وجود شیارهای جناقی و غیره از جمله مواردی است که مورد مطالعه قرار گرفته است. علاوه بر این، بررسی‌ها نشان داده است که در زمینه بررسی رفتار دینامیکی غیرخطی نیز تحقیقات گسترده‌ای روی موارد مذکور صورت گرفته است که در این تحقیقات هندسه یاتاقان غیرمدور در نظر گرفته نشده است. با توجه به محاسن اشاره شده در مورد با غیرمدور بودن یاتاقان، انتظار آن می‌رود که در این زمینه نیز تحقیقات انجام شود. بنابراین در کار حاضر چنین مسأله‌ای مورد بررسی قرار می‌گیرد که در ادامه به آن اشاره می‌شود.

۱-۳ مقدمه‌ای از کار انجام شده در این رساله

در این رساله، رفتار دینامیکی غیرخطی محور صلب قرار گرفته بر روی یاتاقان‌های گازی غیرمدور دو-لب، سه-لب و چهار-لب مورد مطالعه قرار می‌گیرد. بدلیل هندسه ناپیوسته یاتاقان، جهت حل معادله غیرخطی رینولدز از روش عددی اجزاء محدود استفاده شده تا بتوان مشتق زمانی متغیر حالت تعریف شده را بدست آورد. به منظور دستیابی به موقعیت محور در هر لحظه زمانی، معادلات حرکت مرکز محور همراه با معادله رینولدز حل می‌شوند. بدین منظور، با تعریف متغیرهای جابجایی و سرعت در راستاهای افقی و عمودی و همچنین متغیر حالت فشار، به عنوان متغیرهای حالت، و تبدیل معادلات به شکل معادلات دیفرانسیل مرتبه اول، روش رانگ-کاتا جهت حل آنها بکار گرفته می‌شود. اولین قدم در تحلیل دینامیکی، تعیین موقعیت تعادلی سیستم در وضعیت استاتیکی آن می‌باشد. لذا روش عددی اجزاء محدود با روش تکرار نیوتن جهت همگرایی متغیر حالت تعریف شده بکار گرفته می‌شود.

فصل دوم به روابط در حالت‌های استاتیکی و دینامیکی مدل در نظر گرفته شده، اشاره دارد. در این

فصل نحوه حل معادله رینولدز در حالت‌های استاتیکی و دینامیکی و چگونگی تعیین موقعیت تعادلی

مرکز محور در حالت استاتیکی بیان می‌گردد. فصل سوم به روش حل و جزئیات محاسبات روابط بیان شده در فصل دوم اختصاص دارد.

جهت شناسائی رفتار سیستم از ابزارهایی نظیر مدار دینامیکی^۱، فضای حالت، طیف‌های توانی، دیاگرام دوشاخگی و نگاشت پوانکاره استفاده شده است. در فصل‌های چهارم، پنجم و ششم به ترتیب نتایج بدست‌آمده از طریق این ابزارها برای یاتاقان‌های دو-لب، سه-لب و چهار-لب ارائه می‌گردد. در این فصل‌ها با در نظر گرفتن پارامترهایی نظیر جرم محور، عدد یاتاقان و پریلود به عنوان پارامترهای کنترلی سیستم، رفتارهای غیرخطی در سیستم یاتاقان‌های گازی غیرمدور برای محور صلب بالانس و نابالانس در دو نسبت طول به قطر ۱ و ۱/۵ شناسائی می‌شود. نتیجه‌گیری و پیشنهاد موضوعاتی که در ادامه این رساله می‌توان انجام داد در فصل هفتم بیان می‌گردد.

^۱. Dynamic orbit

فصل دوم

معادلات حاکم بر سیستم یاتاقان‌های گازی غیرمدور

۲-۱ مقدمه

در این فصل، معادلات ریاضی که برای حل مسأله اشاره شده در فصل قبل مورد نیاز می‌باشد، بدست آورده می‌شود. در استخراج روابط ریاضی، فرضیات در نظر گرفته شده بدین صورت است:

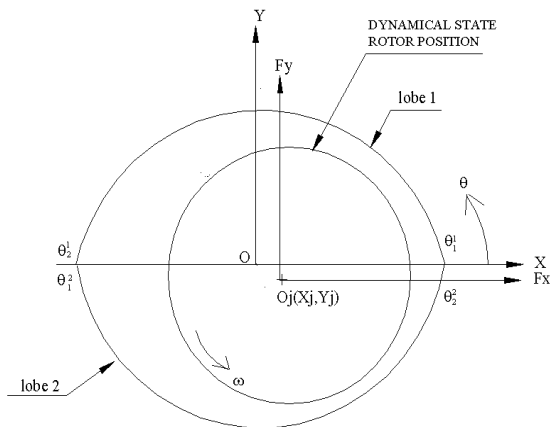
الف- در مورد روانکار:

- ۱- روانکار، سیال تراکم‌پذیر و نیوتنی است.
- ۲- مقدار فشار در جهت ضخامت روانکار ثابت است.
- ۳- فرض عدم لغزش بین روانکار و سطوح مرزی وجود دارد.
- ۴- جریان سیال، آرام و یکنواخت است.
- ۵- لزجت روانکار در سرتاسر فیلم سیال ثابت است.
- ۶- نیروهای اینرسی روانکار ناچیز است.

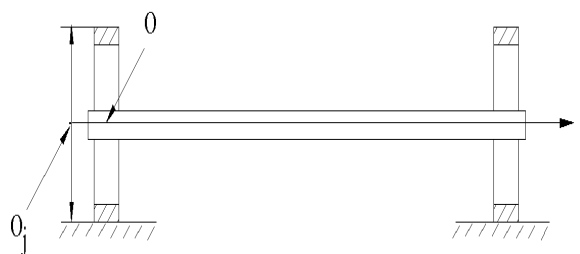
ب- در مورد محور و یاتاقان:

- ۱- محور (روتور)، یاتاقان و نشیمنگاه یاتاقان صلب هستند.
 - ۲- محور (روتور) و یاتاقان در طی عملکرد خود بصورت موازی هم قرار می‌گیرند.
- هدف اصلی تعیین موقعیت مرکز محور در فضای لقی یاتاقان در حالت دینامیکی می‌باشد تا با کمک آن داده‌ها و ابزارهایی نظیر، مدار دینامیکی، فضای حالت، طیف توانی، دیاگرام دوشاخگی و نگاشت پوانکاره بتوان نوع رفتار سیستم را شناسائی کرد. بدین منظور معادلات حرکت مرکز محور در جهات افقی و عمودی برای محور صلبی که بر روی دو یاتاقان (دو- لب، سه- لب و چهار- لب) مطابق با شکل (۲-۱) قرار گرفته، نوشته می‌شود. در قسمت راست معادله حرکت، نیروهای اعمال شده از طرف فیلم سیال روی محور ظاهر می‌شود که باید در هر لحظه زمانی تعیین شوند. بنابراین حل معادله رینولدز در حالت

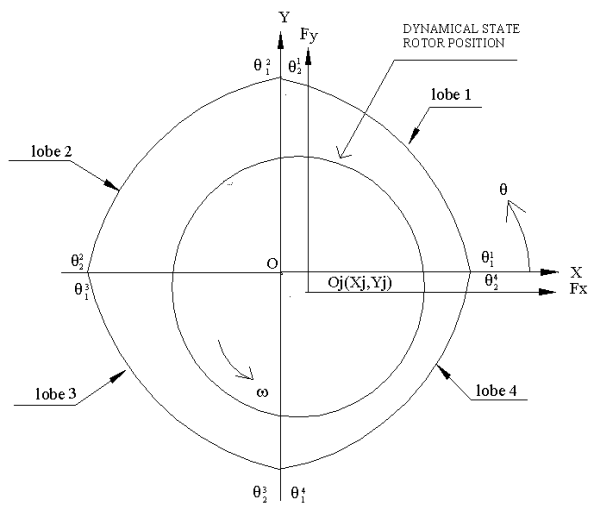
دینامیکی مورد نیاز می‌باشد تا بتوان مقادیر فشار لحظه‌ای بدست آورد و با انتگرال‌گیری آن روی سطح محور، مؤلفه‌های نیروی فیلم سیال را تعیین نمود.



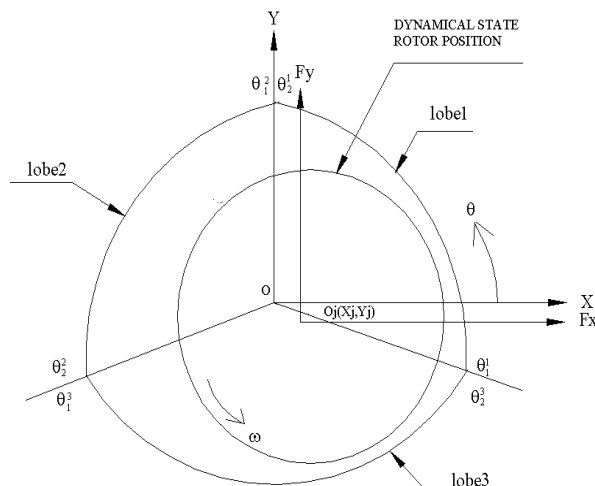
(ب)



(الف)



(د)



(ج)

شکل (۱-۲): (الف) - مدل محور صلب قرار گرفته بر روی یاتاقان گازی غیرمدور، (ب) - مدل هندسی یاتاقان غیرمدور دو-لب، (ج) - مدل هندسی یاتاقان غیرمدور سه-لب، (د) - مدل هندسی یاتاقان غیرمدور چهار-لب

جهت تعیین مقادیر لحظه‌ای فشار به ضخامت فیلم سیال که خود به موقعیت مرکز محور در فضای لقی یاتاقان بستگی دارد، احتیاج است. لذا با حل همزمان معادلات حرکت مرکز محور و رینولدز می‌توان به موقعیت‌های جدید مرکز محور و مقادیر فشار مربوطه دست‌یافت.

در بخش (۲-۲) معادلات دینامیکی حاکم بر حرکت مرکز محور در جهات افقی و عمودی آورده شده است. در این بخش، همچنین با تعریف متغیرهای حالت، معادلات به شکل معادلات دیفرانسل مرتبه اول تبدیل شده است. روش عددی اجزاء محدود جهت حل معادله دیفرانسیل غیرخطی رینولدز در حالت دینامیکی بکارگرفته شده تا بتوان مشتق زمانی متغیر حالت تعریف شده را بدست آورد. جزئیات حل معادله رینولدز در حالت دینامیکی در بخش (۳-۲) آمده است.

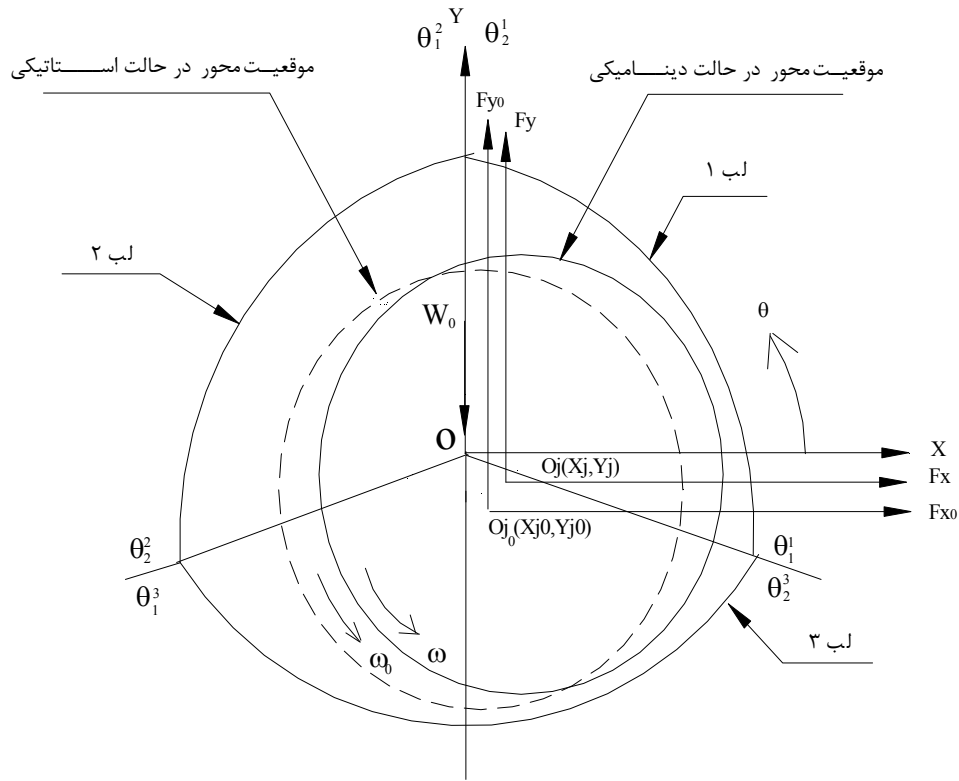
اولین مرحله در حل معادلات دینامیکی محور، تعیین موقعیت تعادلی محور در حالت استاتیکی و مقادیر فشار مربوطه جهت در نظر گرفتن آن بعنوان شرایط اولیه در حالت دینامیکی می‌باشد. بدین منظور نیز از روش عددی اجزاء محدود و روش تکرار نیوتن جهت همگرایی آن استفاده شده است. جزئیات حل معادله رینولدز در حالت استاتیکی در بخش (۴-۲) مورد مطالعه قرار می‌گیرد و نحوه تعیین موقعیت تعادلی مرکز محور در حالت استاتیکی در بخش (۵-۲) آورده شده است.

جزئیات محاسبات موارد ذکر شده، در این بخش آورده نشده و در فصل سوم مورد مطالعه قرار می‌گیرند.

۲-۲ معادلات حاکم

در یک سیستم یاتاقان و محور که محور دارای سرعت یکنواخت می‌باشد و بار وارد بر سیستم نیز ثابت است مرکز محور در یک موقعیت ثابت قرار می‌گیرد و فضای لقی بین محور و یاتاقان همواره شکل ثابتی خواهد داشت. این وضعیت، حالت استاتیکی سیستم یاتاقان را تعریف می‌کند. هرگونه اغتشاش در سیستم

نظیر تغییر در سرعت محور و یا تغییر در بار سیستم سبب می‌شود که محور در موقعیت ثابتی قرار نگیرد و سیستم یاتاقان حالت دینامیکی به خود بگیرد. شکل (۲-۲) این دو وضعیت را برای شکل هندسی یاتاقان غیرمدور سه-لب نشان می‌دهد.



شکل (۲-۲): هندسه یاتاقان غیرمدور (سه-لب) همراه با محورهای مختصات

در این شکل دستگاه مختصات مرجع OXY در مرکز یاتاقان قرار گرفته است. O_{j_0} و O_j به ترتیب موقعیت‌های مرکز محور در حالت‌های استاتیکی و دینامیکی می‌باشند. وضعیت مرکز محور در حالت دینامیکی را می‌توان با مختصات اغتشاشی که نسبت به موقعیت محور در حالت استاتیکی سنجیده می‌شود، بدین صورت بیان کرد:

$$\bar{x} = \bar{X}_j - \bar{X}_{j_0}, \bar{y} = \bar{Y}_j - \bar{Y}_{j_0} \quad (1-2)$$

در این رابطه $(\bar{X}_{j_0}, \bar{Y}_{j_0})$ و (\bar{X}_j, \bar{Y}_j) به ترتیب مختصات محور در حالتهای استاتیکی و دینامیکی می‌باشند. با اغتشاش صورت گرفته شده از حالت استاتیکی، محور حرکت خود را حول وضعیت تعادلی خودش با زمان آغاز می‌کند. بنابراین (\bar{X}_j, \bar{Y}_j) و (\bar{x}, \bar{y}) توابع صریحی از زمان به صورت

$$\begin{aligned} \bar{X}_j &= \bar{X}_j(t) & , & \bar{Y}_j = \bar{Y}_j(t) \\ \bar{x} &= \bar{x}(t) & , & \bar{y} = \bar{y}(t) \end{aligned} \quad (۲-۲)$$

می‌باشند.

در وضعیت استاتیکی بدلیل برقراری تعادل نیرویی بین بارگذاری خارجی و نیروهای هیدرودینامیکی فیلم سیال، نیروهای هیدرودینامیکی فیلم سیال در غیاب اغتشاش، نامتغیر با زمان می‌باشند. اما به هر دلیل با اغتشاش صورت گرفته شده در سیستم، مؤلفه‌های نیروی فیلم سیال به موقعیت محور در حالت دینامیکی و در نتیجه به هندسه فیلم سیال بستگی دارد. بنابراین محور تحت نیروهای غیرتعادلی فیلم سیال قرار می‌گیرد.

معادلات حرکت محور در وضعیت دینامیکی بدین صورت می‌توان نوشت:

$$\bar{m}_r \frac{d^2 \bar{x}}{dt^2} = (\bar{F}_X - \bar{F}_{X_0}) + \bar{m}_r \bar{\rho} \bar{\omega}^2 \cos \bar{\omega} t \quad (۳-۲)$$

$$\bar{m}_r \frac{d^2 \bar{y}}{dt^2} = (\bar{F}_Y - \bar{F}_{Y_0}) + \bar{m}_r \bar{\rho} \bar{\omega}^2 \sin \bar{\omega} t \quad (۴-۲)$$

در این روابط \bar{m}_r و $\bar{\omega}$ بترتیب جرم و سرعت زاویه محور هستند و $\bar{\rho}$ اشاره به میزان نابالانسی جرم محور دارد. همچنین، $(\bar{F}_{X_0}, \bar{F}_{Y_0})$ و (\bar{F}_X, \bar{F}_Y) به ترتیب مؤلفه‌های نیروی فیلم سیال روی محور در حالتهای استاتیکی و دینامیکی می‌باشند.

با در نظر گرفتن تقارن می‌توان مدل سیستم یاتاقان و محور نشان داده شده در شکل (۲-۱) الف)) را

فقط با یک یاتاقان در هر انتها و نصف جرم محور بصورت متمرکز بر روی آن در نظر گرفت.

مؤلفه‌های نیروی فیلم سیال روی محور را با انتگرال گیری فشار روی سطح آن و با صرف نظر از نیروی

برشی ویسکوز روانکار به صورت

$$\begin{Bmatrix} \bar{F}_X - \bar{F}_{X_0} \\ \bar{F}_Y - \bar{F}_{Y_0} \end{Bmatrix} = - \iint_A (\bar{P} - \bar{P}_0) \begin{Bmatrix} \cos \theta \\ \sin \theta \end{Bmatrix} d\bar{\theta} d\bar{\xi} \quad (5-2)$$

بدست می‌آیند. در این رابطه A اشاره به سطح فشار روی محور دارد. $\bar{P}_0 = \bar{P}_0(\bar{X}_{j_0}, \bar{Y}_{j_0})$ و $\bar{P} = \bar{P}(\bar{X}_j, \bar{Y}_j, \bar{V}_x, \bar{V}_y, \bar{t})$ به ترتیب مؤلفه‌های فشار روی محور در حالت‌های استاتیکی و دینامیکی می‌باشند.

به منظور بی‌بعدسازی معادلات حرکت، متغیرهای بدون بعد

$$x = \frac{\bar{x}}{C_m}, y = \frac{\bar{y}}{C_m}$$

و گروه‌های بدون بعد زیر

$$F_X = \frac{\bar{F}_X}{\bar{P}_a \bar{R}^2}, F_{X_0} = \frac{\bar{F}_{X_0}}{\bar{P}_a \bar{R}^2}, F_Y = \frac{\bar{F}_Y}{\bar{P}_a \bar{R}^2}, F_{Y_0} = \frac{\bar{F}_{Y_0}}{\bar{P}_a \bar{R}^2}, m_r = \frac{\bar{m}_r \bar{C}_m \bar{\omega}^2}{\bar{P}_a \bar{R}^2}, \rho = \frac{\bar{m}_r \bar{\rho} \bar{\omega}^2}{\bar{P}_a \bar{R}^2}, t = \bar{\omega} \bar{t}$$

تعریف می‌شوند که با جایگذاری آنها در معادلات (۲-۳) و (۲-۴) روابط به شکل بدون بعد

$$A_x = \frac{d^2 x}{dt^2} = \frac{F_X - F_{X_0}}{m_r} + \frac{\rho}{m_r} \cos t \quad (6-2)$$

$$A_y = \frac{d^2 y}{dt^2} = \frac{F_Y - F_{Y_0}}{m_r} + \frac{\rho}{m_r} \sin t \quad (7-2)$$

تبدیل می‌شوند.

با تعریف متغیرهای حالت به صورت

$$\begin{aligned} S_1 &= x \\ S_2 &= y \\ S_3 &= V_x \\ S_4 &= V_y \end{aligned} \quad (8-2)$$

معادلات حرکت به فرم فضای حالت زیر تبدیل می‌شوند.

$$\frac{dS_1}{dt} = S_3 \quad (9-2)$$

$$\frac{dS_2}{dt} = S_4 \quad (10-2)$$

$$\frac{dS_3}{dt} = \frac{F_X - F_{X_0}}{m_r} + \frac{\rho}{m_r} \cos t \quad (11-2)$$

$$\frac{dS_4}{dt} = \frac{F_Y - F_{Y_0}}{m_r} + \frac{\rho}{m_r} \sin t \quad (12-2)$$

روابط (۹-۲) ... (۱۲-۲) معادلات مرتبه اول غیرخطی هستند.

جهت حل رابطه (۵-۲) لازم است تا مقادیر فشار در حالت‌های استاتیکی و دینامیکی مشخص شوند.

بدین منظور معادله رینولدز برای فیلم سیال تراکم‌پذیر هم‌دما بصورت زیر در نظر گرفته می‌شود [۱۱۳].

$$\frac{\partial}{\partial \theta} \left\{ h^3 (P+1) \frac{\partial P}{\partial \theta} \right\} + \frac{\partial}{\partial \xi} \left\{ h^3 (P+1) \frac{\partial P}{\partial \xi} \right\} = A \left[U \frac{\partial}{\partial \theta} + 2 \frac{\partial}{\partial t} \right] \{ (P+1)h \} \quad (13-2)$$

در این معادله θ و ξ به ترتیب اشاره به راستاهای محیطی و طولی یاتاقان دارند. U سرعت محیطی محور چرخان و

$$h = h(X_j, Y_j, \theta) \quad (14-2)$$

ضخامت فیلم سیال می‌باشند. A عدد بدون بعدی است که آنرا عدد یاتاقان یا عدد تراکم‌پذیری می‌خوانند. معادله (۱۳-۲) در حالت بدون بعد بیان شده که جزئیات بی‌بعدسازی آن در ضمیمه- الف آورده شده است.

از معادله (۱۳-۲) می‌توان توزیع فشار را در حالت دینامیکی موقعی که وابستگی زمانی وجود دارد،

بدست آورد. این معادله در حالت استاتیکی به صورت

$$\frac{\partial}{\partial \theta} \left\{ h_0^3 (P_0+1) \frac{\partial P_0}{\partial \theta} \right\} + \frac{\partial}{\partial \xi} \left\{ h_0^3 (P_0+1) \frac{\partial P_0}{\partial \xi} \right\} = A \frac{\partial}{\partial \theta} \{ (P_0+1) h_0 \} \quad (15-2)$$

نوشته می‌شود. در این رابطه

$$h_0 = h_0(X_{j_0}, Y_{j_0}, \theta) \quad (16-2)$$

ضخامت فیلم سیال در حالت استاتیکی می‌باشد. روابط مربوط به ضخامت فیلم سیال در حالت‌های استاتیکی و دینامیکی در ضمیمه- ب آورده شده است.

۳-۲ جزئیات حل معادله رینولدز در حالت دینامیکی

معادله (۱۳-۲)، معادله دیفرانسیل جزئی غیرخطی است که برای حل آن روش عددی بکارگرفته می‌شود تا بتوان آنرا به صورت مسأله مقدار اولیه تبدیل کرد. لذا روش عددی اجزاء محدود برای رسیدن به چنین هدفی پیشنهاد می‌شود. با تعریف متغیر تابع

$$\Psi = \Psi(t) = Ph \quad (۱۷-۲)$$

و جایگذاری آن در رابطه (۱۳-۲)، معادله رینولدز به صورت زیر ساده می‌شود.

$$\frac{\partial}{\partial \theta} \left\{ h(\Psi + h) \frac{\partial \Psi}{\partial \theta} - (\Psi + h) \Psi \frac{\partial h}{\partial \theta} \right\} + \frac{\partial}{\partial \xi} \left\{ h(\Psi + h) \frac{\partial \Psi}{\partial \xi} \right\} = \Lambda \left(U \frac{\partial}{\partial \theta} + 2 \frac{\partial}{\partial t} \right) (\Psi + h) \quad (۱۸-۲)$$

مشتق زمانی متغیر حالت فشار تعریف شده را می‌توان از رابطه بالا بدست آورد و آنرا به صورت

$$\begin{aligned} \frac{\partial \Psi}{\partial t} = \frac{1}{2\Lambda} \frac{\partial}{\partial \theta} \left\{ h(\Psi + h) \frac{\partial \Psi}{\partial \theta} - (\Psi + h) \Psi \frac{\partial h}{\partial \theta} \right\} + \frac{1}{2\Lambda} \frac{\partial}{\partial \xi} \left\{ h(\Psi + h) \frac{\partial \Psi}{\partial \xi} \right\} - \\ \frac{1}{2} U \frac{\partial}{\partial \theta} (\Psi + h) - \frac{\partial h}{\partial t} \end{aligned} \quad (۱۹-۲)$$

بیان کرد.

روش اجزاء محدود با گسسته‌سازی ناحیه متغیر میدان به مجموعه‌ای از المانها با اندازه کوچک و در نظر گرفتن تابع قابل قبول از متغیر میدان در درون المان آغاز می‌شود. متغیر Ψ میدان را در ناحیه المان بندی شده می‌توان به صورت

$$\Psi^e = \sum_{j=1}^{n_e} N_j^e \Psi_j(t) \quad (۲۰-۲)$$

تقریب‌زد. n_e تعداد گره‌ها در هر المان، N_j^e ها توابع شکل و Ψ_j ها مقادیر گره‌ای از Ψ در هر زمان t می‌باشند.

با بکارگیری اصل گالرکین روی معادله (۱۹-۲) برای هر المان، رابطه

$$\iint_{A^e} \left[\frac{\partial \Psi^e}{\partial t} - \frac{1}{2\Lambda} \frac{\partial}{\partial \theta} \left\{ h(\Psi^e + h) \frac{\partial \Psi^e}{\partial \theta} - (\Psi^e + h) \Psi^e \frac{\partial h}{\partial \theta} \right\} - \frac{1}{2\Lambda} \frac{\partial}{\partial \xi} \left\{ h(\Psi^e + h) \frac{\partial \Psi^e}{\partial \xi} \right\} \right. \\ \left. + \frac{1}{2} U \frac{\partial}{\partial \theta} (\Psi^e + h) + \frac{\partial h}{\partial t} \right] N_i^e d\theta d\xi = 0 \quad (21-2)$$

بدست می‌آید. در این رابطه A^e اشاره به سطح المان دارد و N_i^e توابع درونیابی است که متغیر میدان، Ψ را در هر المان بدست می‌آورد.

با اعمال رابطه (20-2) در رابطه (21-2) و انتگرال‌گیری جزءبه‌جزء از آن و در نهایت ساده‌سازی

رابطه، معادلات اجزاء محدود به شکل ماتریسی برای هر المان به صورت

$$[F]^e \{\dot{\Psi}\}^e = \{V\}^e + \{Q\}^e \quad (22-2)$$

بدست می‌آیند. هر کدام از مؤلفه‌ها به شکل زیر بیان می‌شوند.

$$F_{ij}^e = \iint_{A^e} N_i^e N_j^e d\theta d\xi \quad (23-2)$$

$$V_i^e = -\frac{1}{2\Lambda} \iint_{A^e} (\Psi^e + h) \left\{ h \left(\frac{\partial \Psi^e}{\partial \theta} \frac{\partial N_i^e}{\partial \theta} + \frac{\partial \Psi^e}{\partial \xi} \frac{\partial N_i^e}{\partial \xi} \right) - \left(\Psi^e \frac{\partial h}{\partial \theta} + \Lambda U \right) \frac{\partial N_i^e}{\partial \theta} \right\} d\theta d\xi \\ - \iint_{A^e} \frac{\partial h}{\partial t} N_i^e d\theta d\xi \quad (24-2)$$

$$Q_i^e = \int_{S^e} (\Psi^e + h) \left\{ h \frac{\partial \Psi^e}{\partial \theta} - \Psi^e \frac{\partial h}{\partial \theta} - \Lambda U \right\} N_i^e d\xi + \int_{S^e} (\Psi^e + h) h \frac{\partial \Psi^e}{\partial \xi} N_i^e d\theta \quad (25-2)$$

که S^e اشاره به مرز هر المان دارد.

با اعمال رابطه (22-2) برای تمام المانها در میدان، رابطه را در حالت کلی به صورت زیر می‌توان

نوشت.

$$[F]_{n_f \times n_f} \{\dot{\Psi}\}_{n_f \times 1} = \{V\}_{n_f \times 1} + \{Q\}_{n_f \times 1} \quad (26-2)$$

که n_f تعداد کل گره‌ها در میدان سیال تشکیل می‌دهد.

برای حل معادله (26-2) نیاز به شرایط مرزی برای متغیر Ψ و مشتق آن $\dot{\Psi}$ است که می‌توان این

شرایط را با توجه به شرایط مرزی برای فشار بدین صورت در نظر گرفت.

$$\begin{aligned}
\Psi(\theta_1^k, \xi, t) &= \Psi(\theta_2^k, \xi, t) = 0 \\
\dot{\Psi}(\theta_1^k, \xi, t) &= \dot{\Psi}(\theta_2^k, \xi, t) = 0 \\
\Psi(\theta, \pm\lambda, t) &= 0 \\
\dot{\Psi}(\theta, \pm\lambda, t) &= 0
\end{aligned}
\tag{۲۷-۲}$$

در هر لحظه‌ای که وضعیت سینماتیکی محور مشخص شود، معادله (۲۶-۲) دو متغیر Q_i و Ψ_i شامل می‌شود که باید تعیین شوند. در گره‌های داخلی ناحیه المان‌بندی شده، شار Q_i صفر است و Ψ_i نامشخص می‌باشد. همچنین در گره‌های روی مرزهای خارجی ($\xi = \pm\lambda$) و لبه‌های ابتدا و انتهای هر یک از لب‌ها (θ_1^k, θ_2^k) ، Ψ_i مشخص است و Q_i نامشخص می‌باشد. لذا معادله (۲۶-۲) به همان تعداد معادلات، مجهولات دارد که با کمک شرایط مرزی بدست می‌آیند. با حل این معادلات

$$\{\dot{\Psi}\}_{n_f \times 1} = \{g\}_{n_f \times 1}
\tag{۲۸-۲}$$

است که،

$$g_i = g_i(P, S_1, S_2, S_3, S_4, t) \quad ; i = 1, 2, \dots, n_f
\tag{۲۹-۲}$$

بنابراین مسأله در حالت دینامیکی به یک مسأله مقدار اولیه با معادلات زیر خلاصه می‌شود.

$$\begin{aligned}
\frac{dS_i}{dt} &= f_i(P, S_1, S_2, S_3, S_4, t) \quad i = 1, 2, 3, 4 \\
\frac{d\Psi_i}{dt} &= g_i(P, S_1, S_2, S_3, S_4, t) \quad i = 1, 2, \dots, n_f
\end{aligned}
\tag{۳۰-۲}$$

که در لحظه $t = 0$ متغیرهای تعریف شده به صورت

$$\begin{aligned}
S_1 = S_2 = S_3 = S_4 &= 0 \\
\Psi = \Psi_0 = P_0 h_0
\end{aligned}
\tag{۳۱-۲}$$

بیان می‌شوند.

۴-۲ جزئیات حل معادله رینولدز در حالت استاتیکی

ضخامت فیلم سیال و توزیع فشار در حالت استاتیکی مستقل از زمان می‌باشند. لذا می‌توان رابطه (۲-۱۸)

را در حالت استاتیکی به صورت

$$\frac{\partial}{\partial \theta} \left\{ h_0 (\Psi_0 + h_0) \frac{\partial \Psi_0}{\partial \theta} - (\Psi_0 + h_0) \Psi_0 \frac{\partial h_0}{\partial \theta} \right\} + \frac{\partial}{\partial \xi} \left\{ h_0 (\Psi_0 + h_0) \frac{\partial \Psi_0}{\partial \xi} \right\} = A \frac{\partial (\Psi_0 + h_0)}{\partial \theta} \quad (۲-۳۲)$$

در نظر گرفت. در این معادله مطابق با رابطه (۲-۱۷)

$$\Psi_0 = P_0 h_0 \quad (۲-۳۳)$$

و شرایط مرزی اعمال شده در این حالت

$$\begin{aligned} \Psi_0(\theta_1^k, \xi) &= \Psi_0(\theta_2^k, \xi) = 0 \\ \Psi_0(\theta, \pm \lambda) &= 0 \end{aligned} \quad (۲-۳۴)$$

می‌باشند. معادله دیفرانسیل (۲-۳۲)، معادله‌ای است غیرخطی که برای حل آن نیز روش عددی اجزاء محدود و روش تکرار نیوتن جهت همگرایی آن بکار گرفته می‌شود.

مقادیر گره‌ای اصلاح شده متغیر میدان، Ψ_0 ، در ناحیه المان بندی شده بعد از r مرتبه تکرار به صورت

$$\{\Psi_0\}^{r+1} = \{\Psi_0\}^r + \{\eta_0\}^r \quad (۲-۳۵)$$

خواهد بود که η_0 متغیر اصلاح کننده روی Ψ_0 می‌باشد. در این حالت شرایط مرزی برای متغیر اصلاح کننده نیز مشابه با رابطه (۲-۳۴) به صورت

$$\begin{aligned} \eta_0(\theta_1^k, \xi) &= \eta_0(\theta_2^k, \xi) = 0 \\ \eta_0(\theta, \pm \lambda) &= 0 \end{aligned} \quad (۲-۳۶)$$

است. روش تکرار، معادله (۲-۳۵)، حل معادله (۲-۳۲) را به تعیین مقدار متغیر اصلاح کننده، η_0 ، تبدیل می‌کند.

در ابتدا جهت حل معادله رینولدز، اصل گالرکین روی معادله (۲-۳۲) برای هر المان در ناحیه مش-

بندی شده به صورت

$$G(\Psi_0^e) = \iint_{A^e} \left[\frac{\partial}{\partial \theta} \left\{ h_0(\Psi_0^e + h_0) \frac{\partial \Psi_0^e}{\partial \theta} - (\Psi_0^e + h_0) \Psi_0^e \frac{\partial h_0}{\partial \theta} \right\} + \frac{\partial}{\partial \xi} \left\{ h_0(\Psi_0^e + h_0) \frac{\partial \Psi_0^e}{\partial \xi} \right\} - \Lambda \frac{\partial(\Psi_0^e + h_0)}{\partial \theta} \right] N_i^e d\theta d\xi \quad (37-2)$$

و بر روی کل المان‌های تعریف شده در ناحیه فیلم سیال به صورت

$$G(\Psi_0) = \sum_{e=1}^{e_f} \iint_{A^e} \left[\frac{\partial}{\partial \theta} \left\{ h_0(\Psi_0^e + h_0) \frac{\partial \Psi_0^e}{\partial \theta} - (\Psi_0^e + h_0) \Psi_0^e \frac{\partial h_0}{\partial \theta} \right\} + \frac{\partial}{\partial \xi} \left\{ h_0(\Psi_0^e + h_0) \frac{\partial \Psi_0^e}{\partial \xi} \right\} - \Lambda \frac{\partial(\Psi_0^e + h_0)}{\partial \theta} \right] N_i^e d\theta d\xi \quad (38-2)$$

بکارگرفته می‌شود. در این رابطه e_f به تعداد المان در ناحیه سیال اشاره دارد و N_i^e توابع درونیاب برای هر دو متغیر Ψ_0 و η_0 می‌باشند. در این حالت متغیرهای حالت فشار و اصلاح‌کننده در هر المان را می‌توان با

اعمال توابع شکل، N_j^e ، بر روی مقادیر گره‌ای Ψ_{0j} و η_{0j} به ترتیب به صورت

$$\Psi_0^e = \sum_{j=1}^{n_e} N_j^e \Psi_{0j} \quad (39-2)$$

$$\eta_0^e = \sum_{j=1}^{n_e} N_j^e \eta_{0j} \quad (40-2)$$

بدست آورد.

مشتق فریجت^۱ $G(\Psi_0)$ به صورت

$$\eta_0 G'(\Psi_0) = \lim_{\Delta \rightarrow 0} \frac{\partial}{\partial \Delta} G(\Psi_0 + \Delta \eta_0) \quad (41-2)$$

تعریف می‌شود [۱۷-۱۸]. لذا مشتق فریجت $G(\Psi_0)$ با جایگذاری $\Psi_0 + \Delta \eta_0$ بجای Ψ_0 در معادله (۲-)

(۳۸) و با مشتق‌گیری جزئی نسبت به Δ و قراردادن $\Delta = 0$ بدست می‌آید. بنابراین

¹. Frechet derivative

$$\eta_0 G'(\Psi_0) = \sum_{e=1}^{e_f} \iint_{A^e} \left[\frac{\partial}{\partial \theta} \left\{ (\Psi_0^e + h_0) h_0 \frac{\partial \eta_0^e}{\partial \theta} + h_0 \frac{\partial \Psi_0^e}{\partial \theta} \eta_0^e - (2\Psi_0^e + h_0) \frac{\partial h_0}{\partial \theta} \eta_0^e \right\} \right. \\ \left. + \frac{\partial}{\partial \xi} \left\{ (\Psi_0^e + h_0) h_0 \frac{\partial \eta_0^e}{\partial \xi} + h_0 \frac{\partial \Psi_0^e}{\partial \xi} \eta_0^e \right\} - \Lambda \frac{\partial \eta_0^e}{\partial \theta} \right] N_i^e d\theta d\xi \quad (42-2)$$

مطابق با روش تکرار نیوتن، متغیر اصلاح کننده را می توان با معادله

$$\eta_0 G'(\Psi_0) + G(\Psi_0) = 0 \quad (43-2)$$

بدست آورد.

با جایگذاری معادلات (38-2) و (42-2) در معادله (43-2)

$$\sum_{e=1}^{e_f} \iint_{A^e} \left[\frac{\partial}{\partial \theta} \left\{ (\Psi_0^e + h_0) h_0 \left(\frac{\partial \eta_0^e}{\partial \theta} + \frac{\partial \Psi_0^e}{\partial \theta} \right) - \frac{\partial h_0}{\partial \theta} \left((2\Psi_0^e + h_0) \eta_0^e + (\Psi_0^e + h_0) \Psi_0^e \right) + h_0 \frac{\partial \Psi_0^e}{\partial \theta} \eta_0^e \right\} \right. \\ \left. + \frac{\partial}{\partial \xi} \left\{ (\Psi_0^e + h_0) h_0 \left(\frac{\partial \eta_0^e}{\partial \xi} + \frac{\partial \Psi_0^e}{\partial \theta} \right) + h_0 \frac{\partial \Psi_0^e}{\partial \xi} \eta_0^e \right\} - \Lambda \frac{\partial}{\partial \theta} (\eta_0^e + \Psi_0^e + h_0) \right] N_i^e d\theta d\xi = 0 \quad (44-2)$$

معادله ای خطی بر حسب متغیر اصلاح کننده η_0 بدست می آید.

با اعمال رابطه (40-2) در رابطه (44-2) و انتگرال گیری جزء به جزء از آن و در نهایت ساده سازی

رابطه، معادلات اجزاء محدود به شکل ماتریسی برای هر المان به صورت

$$[F]^e \{\eta_0\}^e = \{V\}^e + \{Q\}^e \quad (45-2)$$

نوشته می شود. هر کدام از مؤلفه های ماتریس های $[F]^e$ ، $\{V\}^e$ و $\{Q\}^e$ عبارتند از:

$$F_{ij}^e = \iint_{A^e} (\Psi_0^e + h_0) h_0 \left[\frac{\partial N_i^e}{\partial \theta} \frac{\partial N_j^e}{\partial \theta} + \frac{\partial N_i^e}{\partial \xi} \frac{\partial N_j^e}{\partial \xi} \right] + \left\{ h_0 \left[\frac{\partial \Psi_0^e}{\partial \theta} \frac{\partial N_i^e}{\partial \theta} + \frac{\partial \Psi_0^e}{\partial \xi} \frac{\partial N_i^e}{\partial \xi} \right] N_j^e \right\} d\theta d\xi \\ - \iint_{A^e} \left\{ (h_0 + 2\Psi_0^e) \frac{\partial h_0}{\partial \theta} + \Lambda \right\} \frac{\partial N_i^e}{\partial \theta} N_j^e d\theta d\xi \quad (46-2)$$

$$V_i^e = - \iint_{A^e} (\Psi_0^e + h_0) h_0 \left[\frac{\partial \Psi_0^e}{\partial \theta} \frac{\partial N_i^e}{\partial \theta} + \frac{\partial \Psi_0^e}{\partial \xi} \frac{\partial N_i^e}{\partial \xi} \right] d\theta d\xi + \iint_{A^e} \left\{ (h_0 + \Psi_0^e) \left(\Psi_0^e \frac{\partial h_0}{\partial \theta} + \Lambda \right) \right\} \frac{\partial N_i^e}{\partial \theta} d\theta d\xi \quad (47-2)$$

$$Q_i^e = \int_{S^e} \left[(\Psi_0^e + h_0) h_0 \frac{\partial}{\partial \theta} (\Psi_0^e + \eta_0^e) - \left\{ (\Psi_0^e + 2\eta_0^e) \Psi_0^e + h_0 (\Psi_0^e + \eta_0^e) \right\} \frac{\partial h_0}{\partial \theta} \right. \\ \left. + \Lambda (\Psi_0^e + \eta_0^e + h_0) + h_0 \eta_0^e \frac{\partial \Psi_0^e}{\partial \theta} \right] N_i^e d\xi + \int_{S^e} \left[(\Psi_0^e + h_0) h_0 \frac{\partial}{\partial \xi} (\Psi_0^e + \eta_0^e) + h_0 \eta_0^e \frac{\partial \Psi_0^e}{\partial \xi} \right] N_i^e d\theta \quad (48-2)$$

با اعمال رابطه (2-45) برای تمام المانها در میدان، رابطه را در حالت کلی به صورت زیر می‌توان نوشت.

$$[F]_{n_f \times n_f} \{ \eta_0 \}_{n_f \times 1} = \{ V \}_{n_f \times 1} + \{ Q \}_{n_f \times 1} \quad (49-2)$$

روابط (2-49) خطی هستند و شامل دو متغیر گره‌ای η_0 (اصلاح‌کننده متغیر حالت) و Q (جریان) می‌باشند که باید تعیین شوند. مقدار متغیر اصلاح‌کننده در مرزها $(\xi = \pm \lambda, \theta = \theta_1^k, \theta_2^k)$ مشخص است و مقدار آن صفر می‌باشد، آن جریان Q است که باید در مرزها تعیین شود. با در نظر گرفتن اینکه در نواحی داخلی $(-\lambda < \xi < \lambda, \theta_1^k < \theta < \theta_2^k)$ چشمه و چاهی وجود ندارد، مقدار جریان خالص در گره‌های داخلی صفر است و متغیر اصلاح‌کننده مجهول می‌باشد. بنابراین در هر گره یکی از دو متغیر مجهول است و حل معادله (2-49) را ممکن می‌سازد.

۲-۵ نحوه تعیین موقعیت تعادلی مرکز محور

اولین مرحله در شناسایی رفتار دینامیکی سیستم یاتاقان و محور، مشخص کردن موقعیت تعادلی مرکز محور در فضای لقی یاتاقان با شرایط کاری معین می‌باشد.

فرضی که در بارگذاری خارجی در نظر گرفته شده این است که بار اعمالی در راستای عمودی و در جهت منفی محور Y می‌باشد. لذا با مشخص بودن مقدار بار عمودی، W_0 ، موقعیت تعادلی مرکز محور را می‌توان با حل معادلات زیر بدست آورد.

$$\begin{cases} F_{X_0}(X_{j_0}, Y_{j_0}) = 0 \\ F_{Y_0}(X_{j_0}, Y_{j_0}) - W_0 = 0 \end{cases} \quad (50-2)$$

با حدس موقعیت تعادل استاتیکی محور، (X_{j_0}, Y_{j_0}) ، معادله (2-50) با روش تکرار زیر

$$\begin{bmatrix} X_{j_0} \\ Y_{j_0} \end{bmatrix}_{k+1} = \begin{bmatrix} X_{j_0} \\ Y_{j_0} \end{bmatrix}_k - [J]_k^{-1} \begin{bmatrix} F_{X_0} \\ F_{Y_0} - W_0 \end{bmatrix}_k \quad (51-2)$$

حل می‌شود. در این معادله k اشاره به شماره تکرار و $[J]$ ماتریس ژاکوبین^۱ می‌باشند. مؤلفه‌های ماتریس ژاکوبین را می‌توان با انتگرال‌گیری از مشتقات فشار به صورت

$$[J]^T = \begin{bmatrix} \frac{\partial F_{X_0}}{\partial X_{j_0}} & \frac{\partial F_{Y_0}}{\partial X_{j_0}} \\ \frac{\partial F_{X_0}}{\partial Y_{j_0}} & \frac{\partial F_{Y_0}}{\partial Y_{j_0}} \end{bmatrix}^T = - \int_{-\lambda}^{\lambda} \int_0^{2\pi} \begin{bmatrix} P_{X_{j_0}} \\ P_{Y_{j_0}} \end{bmatrix} [\cos \theta \quad \sin \theta] d\theta d\xi \quad (52-2)$$

بدست‌آورد. در این رابطه

$$P_{X_{j_0}} = \frac{\partial P_0}{\partial X_{j_0}}, \quad P_{Y_{j_0}} = \frac{\partial P_0}{\partial Y_{j_0}}$$

مشتقات فشار نامیده می‌شوند.

معادلات حاکم بر مشتقات فشار، $P_{X_{j_0}}, P_{Y_{j_0}}$ ، را با توجه به متغیر حالت تعریف شده، Ψ_0 ، به صورت زیر

بدست می‌آیند.

$$P_Z = \frac{1}{h_0} \frac{\partial \Psi_0}{\partial Z} - \frac{\Psi_0}{h_0^2} \frac{\partial h_0}{\partial Z} \quad ; Z = X_{j_0}, Y_{j_0} \quad (53-2)$$

به منظور محاسبه مشتقات فشار $P_Z(Z = X_{j_0}, Y_{j_0})$ ، مشتقات متغیر حالت $\Psi_{0z}(Z = X_{j_0}, Y_{j_0})$ محاسبه

می‌شوند. مشتقات متغیر حالت، $\Psi_{0z}(Z = X_{j_0}, Y_{j_0})$ ، را می‌توان با مشتق‌گیری از معادله رینولدز در حالت

استاتیکی نسبت به X_{j_0} و Y_{j_0} بدست آورد.

با مشتق‌گیری از معادله (۳۲-۲) نسبت به X_{j_0} و Y_{j_0} معادله

¹. Jacobian matrix

$$\begin{aligned} & \frac{\partial}{\partial \theta} \left[\left\{ \frac{\partial h_0}{\partial Z} \frac{\partial \Psi_0}{\partial \theta} - \Psi_{0z} \frac{\partial h_0}{\partial \theta} + h_0 \frac{\partial \Psi_{0z}}{\partial \theta} - \Psi_0 \frac{\partial}{\partial \theta} \left(\frac{\partial h_0}{\partial Z} \right) \right\} (\Psi_0 + h_0) + \right. \\ & \left. \left(h_0 \frac{\partial \Psi_0}{\partial \theta} - \Psi_0 \frac{\partial h_0}{\partial \theta} \right) \Psi_{0z} + \frac{\partial h_0}{\partial Z} \left(h_0 \frac{\partial \Psi_0}{\partial \theta} - \Psi_0 \frac{\partial h_0}{\partial \theta} \right) - \Lambda \frac{\partial \Psi_{0z}}{\partial \theta} - \Lambda \frac{\partial}{\partial \theta} \left(\frac{\partial h_0}{\partial Z} \right) \right] + \quad (54-2) \\ & \frac{\partial}{\partial \xi} \left[\left(\Psi_{0z} + \frac{\partial h_0}{\partial Z} \right) \frac{\partial \Psi_0}{\partial \xi} h_0 + (\Psi_0 + h_0) \left\{ \frac{\partial h_0}{\partial Z} \frac{\partial \Psi_0}{\partial \xi} + h_0 \frac{\partial \Psi_{0z}}{\partial \xi} \right\} \right] = 0 \end{aligned}$$

که $Z = X_{j_0}, Y_{j_0}$ می باشد، بدست می آید. معادله (54-2)، معادله دیفرانسیل خطی است که برای حل آن روش عددی اجزاء محدود بکار گرفته می شود.

با در نظر گرفتن مقادیر تقریبی برای مؤلفه های مشتقات متغیر حالت $\Psi_{0z}(Z = X_{j_0}, Y_{j_0})$ به صورت

$$\Psi_{0z}^e = \sum_{j=1}^{n_e} N_j^e \Psi_{0zj} \quad (55-2)$$

و با بکارگیری اصل گالرکین روی معادله (54-2) برای هر المان، معادلات اجزاء محدود بدست می آیند.

$$\begin{aligned} & \iint_{A^e} \left[\frac{\partial}{\partial \theta} \left\{ (\Psi_0^e + h_0) \left(\frac{\partial h_0}{\partial Z} \frac{\partial \Psi_0^e}{\partial \theta} - \Psi_{0z}^e \frac{\partial h_0}{\partial \theta} + h_0 \frac{\partial \Psi_{0z}^e}{\partial \theta} - \Psi_0^e \frac{\partial}{\partial \theta} \left(\frac{\partial h_0}{\partial Z} \right) \right) \right\} + \right. \\ & \left. \left(h_0 \frac{\partial \Psi_0^e}{\partial \theta} - \Psi_0^e \frac{\partial h_0}{\partial \theta} \right) \Psi_{0z}^e + \frac{\partial h_0}{\partial Z} \left(h_0 \frac{\partial \Psi_0^e}{\partial \theta} - \Psi_0^e \frac{\partial h_0}{\partial \theta} \right) - \Lambda \Psi_{0z}^e - \Lambda \frac{\partial}{\partial \theta} \left(\frac{\partial h_0}{\partial Z} \right) \right] + \quad (56-2) \\ & \frac{\partial}{\partial \xi} \left[\left(\Psi_{0z}^e + \frac{\partial h_0}{\partial Z} \right) \frac{\partial \Psi_0^e}{\partial \xi} h_0 (\Psi_0^e + h_0) \left\{ \frac{\partial h_0}{\partial Z} \frac{\partial \Psi_0^e}{\partial \xi} + h_0 \frac{\partial \Psi_{0z}^e}{\partial \xi} \right\} \right] N_i^e d\theta d\xi = 0 \end{aligned}$$

با جایگذاری رابطه (55-2) در رابطه (56-2) و انتگرال گیری جزء به جزء از آن و در نهایت ساده سازی

رابطه، معادلات اجزاء محدود به شکل ماتریسی برای هر المان به صورت

$$[F_Z]^e \{ \Psi_{0z} \}^e + \{ Q_Z \}^e = \{ H_Z \}^e \quad (57-2)$$

نوشته می شود که مؤلفه های هر کدام از آنها با روابط زیر بیان می شوند.

$$\begin{aligned} F_{ij}^e = & \iint_{A^e} \left[(\Psi_0^e + h_0) h_0 \left[\frac{\partial N_i^e}{\partial \theta} \frac{\partial N_j^e}{\partial \theta} + \frac{\partial N_i^e}{\partial \xi} \frac{\partial N_j^e}{\partial \xi} \right] - \Lambda \frac{\partial N_i^e}{\partial \theta} \frac{\partial N_j^e}{\partial \theta} \right. \\ & \left. + \left\{ \left(h_0 \frac{\partial \Psi_0^e}{\partial \theta} - (h_0 + 2\Psi_0^e) \frac{\partial h_0}{\partial \theta} \right) \frac{\partial N_i^e}{\partial \theta} N_j^e + h_0 \frac{\partial \Psi_0^e}{\partial \xi} \frac{\partial N_i^e}{\partial \xi} N_j^e \right\} \right] d\theta d\xi \quad (58-2) \end{aligned}$$

$$H_i^e = \iint_{A^e} \left[\left(-(\Psi_0^e + h_0) \frac{\partial h_0}{\partial Z} - h_0 \frac{\partial h_0}{\partial Z} \right) \left[\frac{\partial \Psi_0^e}{\partial \theta} \frac{\partial N_i^e}{\partial \theta} + \frac{\partial \Psi_0^e}{\partial \xi} \frac{\partial N_i^e}{\partial \xi} \right] \right. \\ \left. + \left\{ \left(\Psi_0^e + h_0 \right) \Psi_0^e \frac{\partial}{\partial \theta} \left(\frac{\partial h_0}{\partial Z} \right) + \frac{\partial h_0}{\partial Z} \frac{\partial h_0}{\partial \theta} \Psi_0^e + \Lambda \left(\frac{\partial h_0}{\partial Z} \right) \right\} \frac{\partial N_i^e}{\partial \theta} \right] d\theta d\xi \quad (59-2)$$

$$Q_i^e = \int_{S^e} - \left[\left(\Psi_{0z}^e + \frac{\partial h_0}{\partial Z} \right) \left(h_0 \frac{\partial \Psi_0^e}{\partial \theta} - \Psi_0^e \frac{\partial h_0}{\partial \theta} \right) + \left(\Psi_0^e + h_0 \right) \left(-\frac{\partial h_0}{\partial Z} \frac{\partial \Psi_0^e}{\partial \theta} + \Psi_0^e \frac{\partial}{\partial \theta} \left(\frac{\partial h_0}{\partial Z} \right) \right. \right. \\ \left. \left. + \frac{\partial h_0}{\partial \theta} \Psi_{0z}^e - h_0 \frac{\partial \Psi_{0z}^e}{\partial \theta} \right) + \Lambda \left\{ \Psi_{0z}^e + \frac{\partial}{\partial \theta} \left(\frac{\partial h_0}{\partial Z} \right) \right\} \right] N_i^e d\xi \quad (60-2) \\ + \int_{S^e} \left[-\frac{\partial \Psi_0^e}{\partial \xi} h_0 \Psi_{0z}^e - \frac{\partial h_0}{\partial Z} h_0 \frac{\partial \Psi_0^e}{\partial \xi} - \left(\Psi_0^e + \eta_0^e \right) \left\{ \frac{\partial h_0}{\partial Z} \frac{\partial \Psi_0^e}{\partial \xi} + h_0 \Psi_{0z}^e \right\} \right] N_i^e d\theta$$

در این روابط

$$\frac{\partial h_0}{\partial Z} = \begin{cases} -\cos \theta & \text{for } \frac{\partial \Psi_0}{\partial X_{j0}} \\ -\sin \theta & \text{for } \frac{\partial \Psi_0}{\partial Y_{j0}} \end{cases}$$

می‌باشد.

با در نظر گرفتن رابطه (2-57) برای هر یک از المانهایی که میدان سیال تشکیل می‌دهند، می‌توان

معادلات حاکم بر محیط سیال را در حالت دینامیکی به صورت

$$[F_z] \{ \Psi_{0z} \} + \{ Q_z \} = \{ H_z \} \quad (61-2)$$

نوشت. شرایط مرزی برای این حالت نیز به گونه‌ای است که مقدار Ψ_{0z} بر روی مرزهای میدان جریان

صفر می‌باشد و مقدار Q_z در تمام گره‌های داخلی صفر است. ($\xi = \pm \lambda, \theta = \theta_1^k, \theta_2^k$)

فصل سوم
روش حل و جزئیات محاسبات

۳-۱ مقدمه

در فصل گذشته، معادلاتی را که وضعیت سیستم یاتاقان گازی را در حالت‌های استاتیکی و دینامیکی مشخص می‌کنند، ارائه گردید. جزئیات حل عددی این معادلات در این فصل بیان می‌شود. بخش (۳-۲) اشاره به روند کلی محاسبات همراه با الگوریتمی که برنامه کامپیوتری بر اساس آن نوشته شده، دارد. قبل از بررسی رفتار سیستم در حالت دینامیکی نیاز به متغیر فشار در حالت استاتیکی به منظور بکارگیری آن به عنوان شرایط اولیه در حالت دینامیکی، همچنین تعیین موقعیت محور در حالت استاتیکی می‌باشد. لذا به همین منظور در بخش‌های (۳-۳) و (۳-۴) به ترتیب جزئیات حل عددی معادله رینولدز در حالت‌های استاتیکی و دینامیکی ارائه می‌گردد. صحنه‌گذاری بر روی نتایج با توجه به الگوریتم ارائه شده، موضوعی است که در بخش (۳-۵) مورد بررسی قرار می‌گیرد و در پایان این فصل، بخش (۳-۵)، ابزارهای بکارگیری شده جهت تحلیل نتایج معرفی می‌شوند.

۳-۲ برنامه اصلی

شکل (۳-۱) الگوریتم برنامه کامپیوتری برای حالت‌های استاتیکی و دینامیکی سیستم یاتاقانهای روانکاری شده با گاز را بیان می‌کند. با اجرای این برنامه می‌توان موارد زیر را به دست آورد:

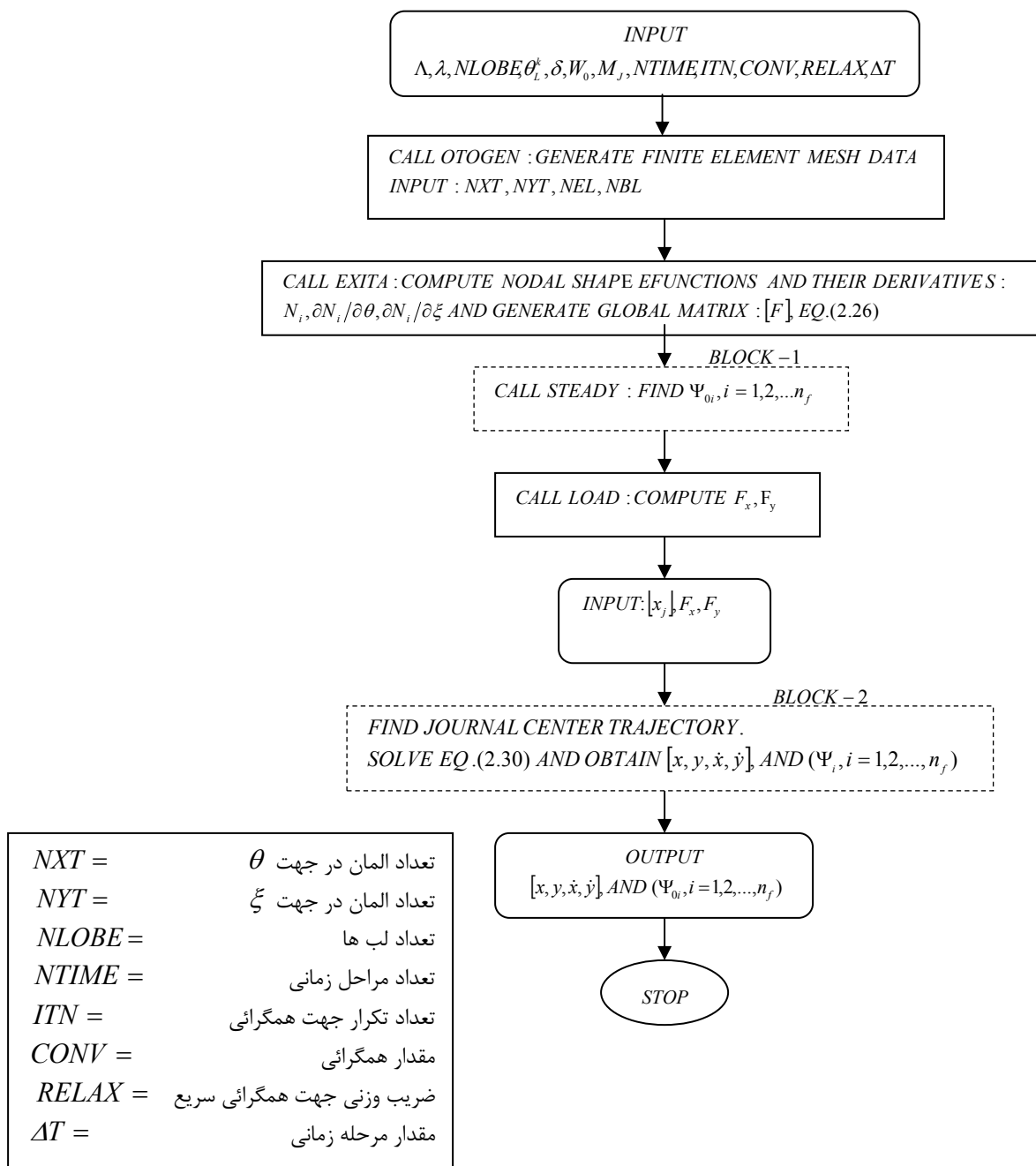
الف) میدان فشار و موقعیت محور در حالت استاتیکی

ب) میدان فشار و موقعیت لحظه‌ای محور در حالت دینامیکی

نتایج قسمت الف برای قسمت ب مورد نیاز می‌باشد.

در سیستم یاتاقان و محور، به دلیل وجود تقارن پروفیل فشار اطراف صفحه‌ای که از وسط یاتاقان ($\xi = 0$) می‌گذرد، معادله (۲-۱۳) برای نیمی از طول یاتاقان به کار گرفته می‌شود تا محاسبات در زمان کمتری صورت گیرد. بلوک-۱ از شکل (۳-۱) مقادیر فشار در حالت استاتیکی گره‌هایی که توسط

زیربرنامه OTOGEN تولیدشده، محاسبه می‌کند. در این بلوک روش تکرار به منظور تعیین موقعیت تعادلی مرکز محور به کار گرفته می‌شود.



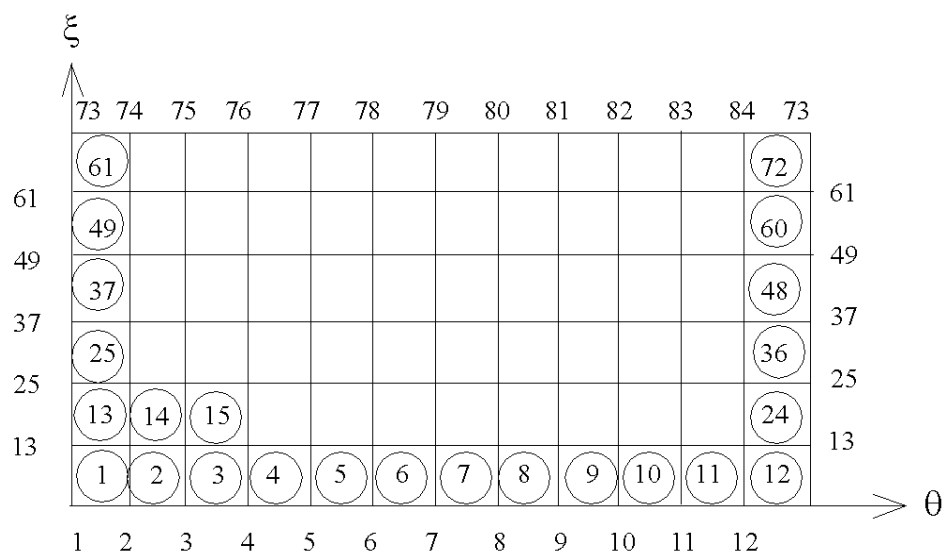
شکل (۳-۱): الگوریتم برنامه اصلی

برای عدد تراکم‌پذیری A ، بارگذاری خارجی W_0 و جرم محور m_r ، بلوک ۲- موقعیت لحظه‌ای محور را در حالت دینامیکی با توجه به شرایط اولیه اعمالی تعیین می‌کند تا بتوان با در نظر گرفتن ابزارهای لازم روی آن رفتار سیستم را در این حالت مورد بررسی قرار داد.

۳-۳ تعیین موقعیت محور در حالت استاتیکی

۳-۳-۱ مش بندی

اولین مرحله در بکارگیری روش عددی اجزاء محدود، مش بندی ناحیه می‌باشد. در این برنامه زیربرنامه‌ای به نام OTOGEN بدین منظور تهیه شده که در شروع ناحیه سیال را با المان تعریف شده شبکه بندی می‌کند. ناحیه جریان در سیستم یاتاقان‌های گازی به شکل مستطیلی برای هر یک از لب‌های یاتاقان غیر-مدور در نظر گرفته می‌شود. بنابراین المان‌های بکار گرفته شده از نوع المان ایزوپارامتریک^۱ مستطیلی چهار گره‌ای (خطی) می‌باشد که جزئیات آن در ضمیمه-ج آورده شده است. شکل (۲-۳) ناحیه المان بندی- شده همراه با شماره‌های المان و گره نشان می‌دهد.



شکل (۲-۳): ناحیه المان بندی شده بین محور و یاتاقان

¹ . Isoparametric

به دنبال زیربرنامه OTOGEN، زیربرنامه EXIETA به منظور تشکیل توابع شکل، مشتقات آن و نیز بردارهایی جهت بکارگیری انتگرال عددی به روش گوس-کوادرچر^۱ فراخوانی می‌شود. همچنین در این زیربرنامه ماتریس ضرایب $[F]$ ، در حالت دینامیکی که مستقل از زمان است و در طول محاسبات ثابت می‌باشد، تشکیل می‌شود تا از تکرار آن در هر مرحله زمانی جلوگیری بعمل آید.

۳-۳-۲ حل معادله رینولدز در حالت استاتیکی

مطابق با روابط بخش (۳-۲) حل معادله رینولدز در حالت استاتیکی، مستلزم بکارگیری روش تکرار است که معادله (۳۵-۲) آن را بیان می‌کند. با داشتن مقادیر $\{\Psi_0\}$ مقادیر $\{\eta_0\}$ از معادله خطی (۴۹-۲) بدست می‌آید و از معادله (۳۵-۲) مقادیر جدید $\{\Psi_0\}$ برای تکرار بعدی تعیین می‌شوند.

شکل (۳-۳) الگوریتم کامپیوتری برای حل معادله (۴۹-۲) به منظور دستیابی به مقادیر $\{\eta_0\}$ فراهم می‌کند. جزئیات بلوک ۱- در این شکل مشخص شده است.

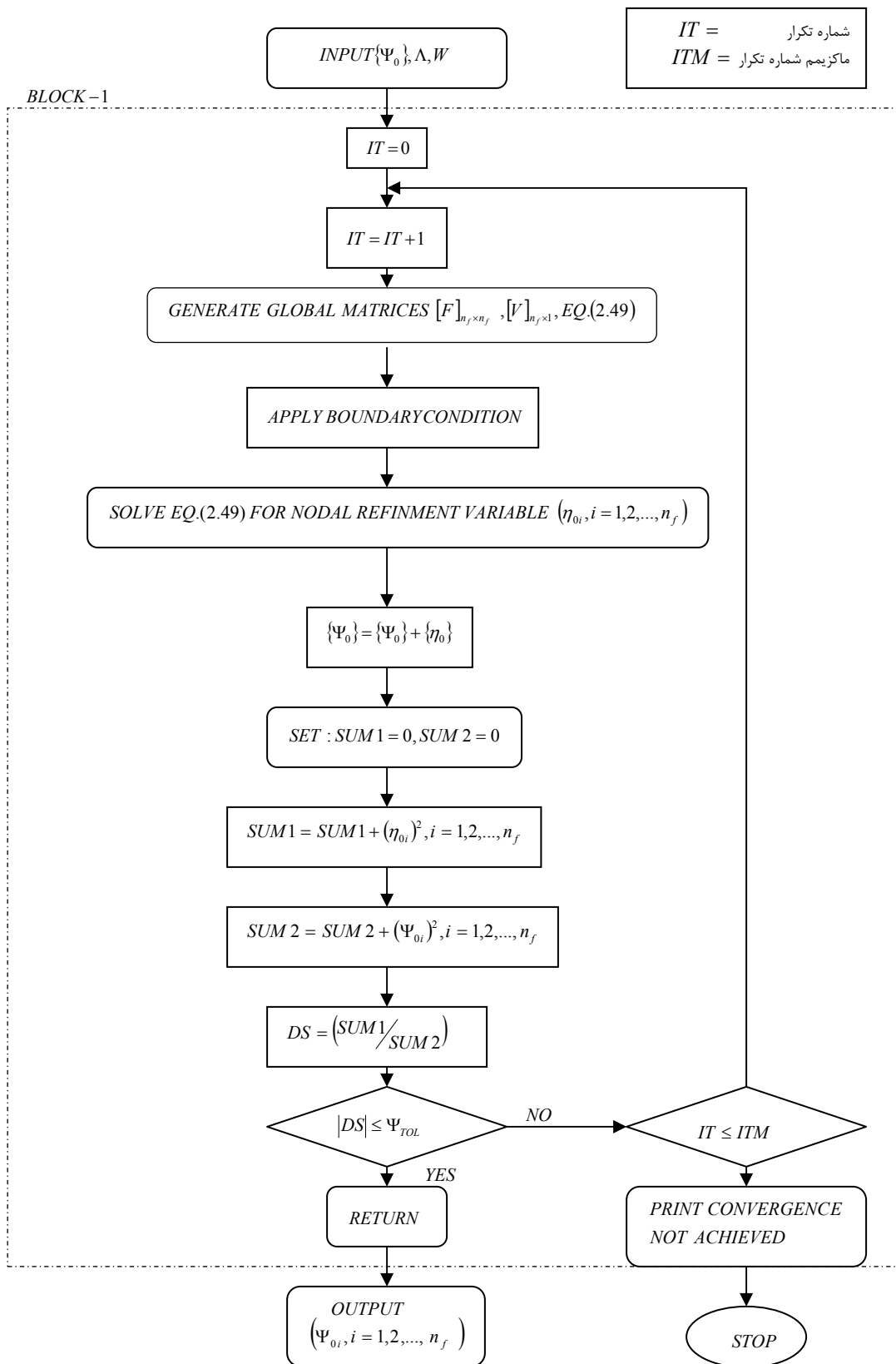
معیار همگرایی در نظر گرفته شده جهت خاتمه دادن به تکرار در رابطه (۳۵-۲) به این صورت است که نسبت مجموع مربعات متغیر اصلاح کننده به مجموع مربعات متغیر Ψ_0 در هر گره کمتر یا مساوی عدد بسیار کوچک Ψ_{TOL} شود.

این عبارت به صورت رابطه ریاضی زیر

$$\frac{\sum_{i=1}^n (\eta_{oi})^2}{\sum_{i=1}^n (\Psi_{oi})^2} \leq \Psi_{TOL} \quad (۱-۳)$$

بیان می‌شود. در این رساله مقدار $\Psi_{TOL} = 10^{-4}$ در نظر گرفته شده است. مقادیر اولیه $\{\Psi_0\}$ اغلب صفر فرض می‌شوند، ولی می‌توان با توجه به پارامترهای یاتاقان (W_0, A) ، مقادیر اولیه $\{\Psi_0\}$ را بگونه‌ای انتخاب کرد که تعداد دفعات تکرار را کاهش داد.

^۱. Gauss-quadrature



شکل (۳-۳): الگوریتم میدان فشار در حالت استاتیکی

موقعیت تعادلی مرکز محور در حالت استاتیکی را می‌توان با اعمال روابط ارائه‌شده در بخش (۲-۴) و با فرض مشخص بودن عدد تراکم‌پذیری و بارگذاری خارجی در نظر گرفته‌شده در راستای منفی محور Y بدست آورد. شکل (۳-۴) اشاره به الگوریتمی جهت پیدا کردن موقعیت مرکز محور با بار مشخص دارد.

۴-۳ تعیین موقعیت مرکز محور در حالت دینامیکی

مطابق با روابط بیان شده در بخش (۲-۲) حل معادله رینولدز در حالت دینامیکی همراه با حل معادلات حرکت می‌باشد. محاسبات جهت تعیین موقعیت مرکز محور در این حالت با موقعیت تعادلی مرکز محور در حالت استاتیکی و پروفیل فشار مربوطه بدست آمده در بخش (۳-۲) آغاز می‌شود. قرارگیری محور در حالت دینامیکی می‌تواند ناشی از اغتشاش صورت گرفته‌شده در سیستم بدلیل تغییر در بارگذاری خارجی، تغییر در دور محور و یا نابالانسی جرمی محور باشد.

یک مقدار زمانی مناسب ΔT به منظور انتگرال‌گیری از معادلات (۲-۳۰) جهت دستیابی به مقادیر متغیرهای سینماتیکی مرکز محور و متغیر فشار در نظر گرفته می‌شود. در هر مرحله زمانی N ام مقادیر بدست آمده $[x, y, \dot{x}, \dot{y}, \Psi_i, i = 1, 2, \dots, n_f]$ به عنوان نقطه شروع انتگرال‌گیری برای مرحله $(N + 1)$ ام در نظر گرفته می‌شوند. بنابراین:

$$\begin{aligned} [x, y, \dot{x}, \dot{y}, \Psi_i, i = 1, 2, \dots, n_f]_{N+1} &= [x, y, \dot{x}, \dot{y}, \Psi_i, i = 1, 2, \dots, n_f]_N \\ &+ \Delta [x, y, \dot{x}, \dot{y}, \Psi_i, i = 1, 2, \dots, n_f]_N \end{aligned} \quad (۲-۳)$$

که $\Delta [x, y, \dot{x}, \dot{y}, \Psi_i, i = 1, 2, \dots, n_f]_N$ تغییرات مقادیر بدست آمده در مرحله زمانی N ام می‌باشد.

مطابق با الگوریتم ارائه شده در شکل (۳-۱) رفتار سیستم در حالت دینامیکی را می‌توان با اعمال هرگونه شرایط اولیه متغیرهای سینماتیکی مرکز محور، مورد بررسی قرارداد. جزئیات بلوک ۲ - در شکل (۳-۵) نشان داده شده است. در کار حاضر روش رانگ - کاتا جهت انتگرال‌گیری از معادلات (۲-۳۰) بکار گرفته می‌شود و مقدار $\Delta T = \pi/300$ پیشنهاد می‌گردد.

زیربرنامه DYNAMIC، مشتقات $\dot{\Psi}_i (i = 1, 2, \dots, n_f)$ را برای روش انتگرال گیری پیشنهادی محاسبه می کند که در شکل (۳-۶) نشان داده شده است.

در هر مرحله زمانی روش گوس-سایدل^۱ جهت حل دستگاه معادلات (۲-۲۶) به منظور دستیابی به متغیر $\dot{\Psi}_i (i = 1, 2, \dots, n_f)$ بکار گرفته می شود. در شکل (۳-۷) جزئیات روش محاسباتی برای محاسبه $\{\dot{\Psi}\}$ نشان داده شده است. در این روش ماتریس ضرایب $[F]$ در معادله (۲-۲۶) را با تقسیم تمام ضرایب ردیف i ام به $f_{i,i} (i = 1, 2, \dots, n_f)$ نرمال می شود تا ماتریس ضرایب جدید $[F']$ به صورت

$$[F'] = \begin{bmatrix} 1 & f'_{1,2} & \cdot & \cdot & \cdot & f'_{1,n_f} \\ & 1 & \cdot & \cdot & \cdot & f'_{2,n_f} \\ \cdot & \cdot & \cdot & \cdot & \cdot & \cdot \\ \cdot & \cdot & \cdot & \cdot & \cdot & \cdot \\ \cdot & \cdot & \cdot & \cdot & \cdot & \cdot \\ f'_{n_f,1} & f'_{n_f,2} & \cdot & \cdot & \cdot & 1 \end{bmatrix} \quad (3-3)$$

بدست آید. در این ماتریس $f'_{i,j} = f_{i,j} / f_{i,i}$ می باشد.

ضرایب ماتریس $\{V_q\}$ نیز به $f_{i,i}$ تقسیم می شوند تا $\{V'_q\}$ بدست آید. لذا $V'_{q_i} = V_{q_i} / f_{i,i}$ بردار $\{\dot{\Psi}\}$ بعد از تکرار K ام به صورت زیر اصلاح می شود:

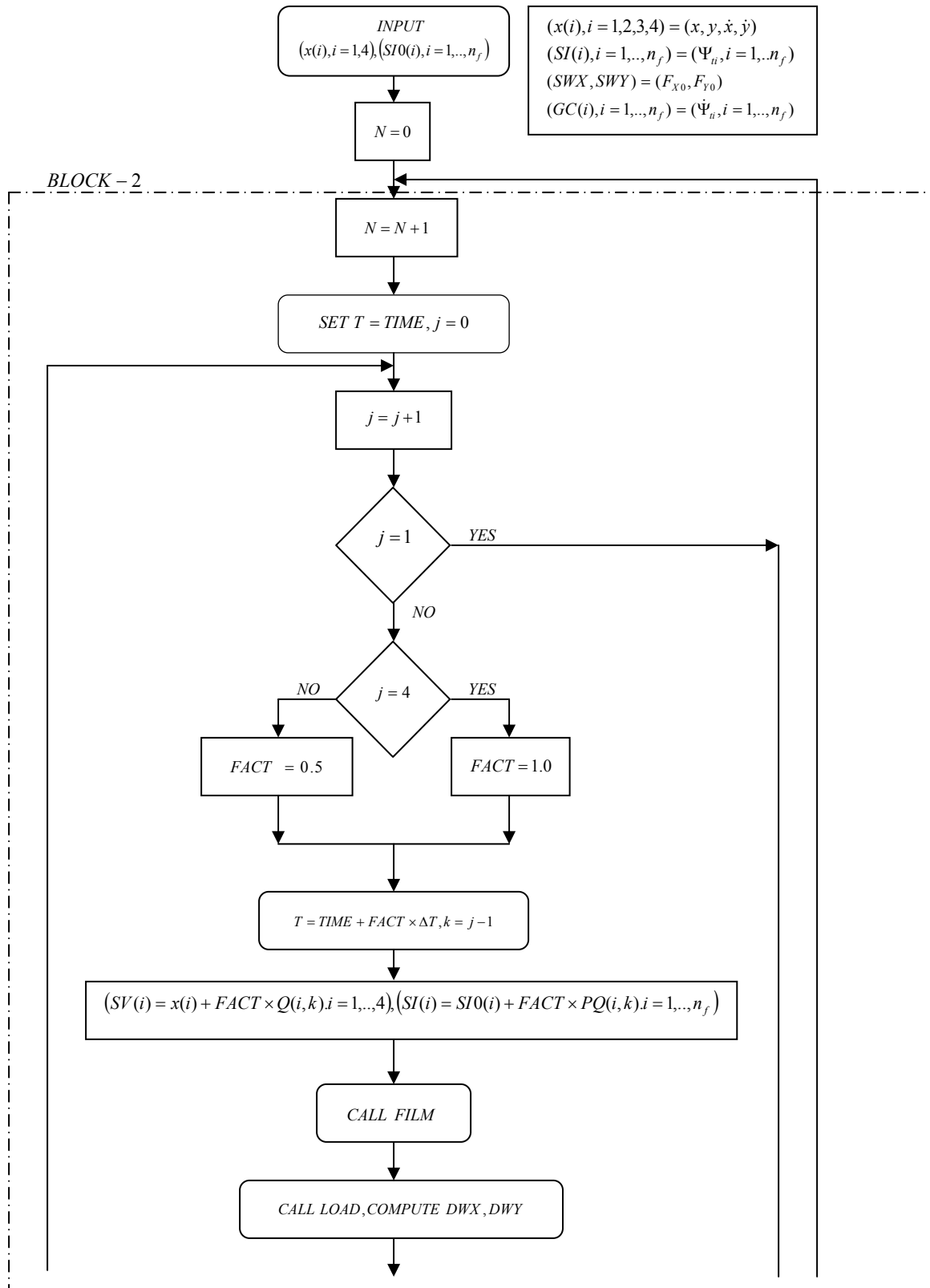
$$\dot{\Psi}_{i,K+1} = V'_{q_i} - \left[\sum_{j=1}^{i-1} f'_{i,j} \dot{\Psi}_{j,K+1} + \sum_{j=i+1}^{n_f} f'_{i,j} \dot{\Psi}_{j,K} \right] \quad i = 1, 2, \dots, n_f \quad (4-3)$$

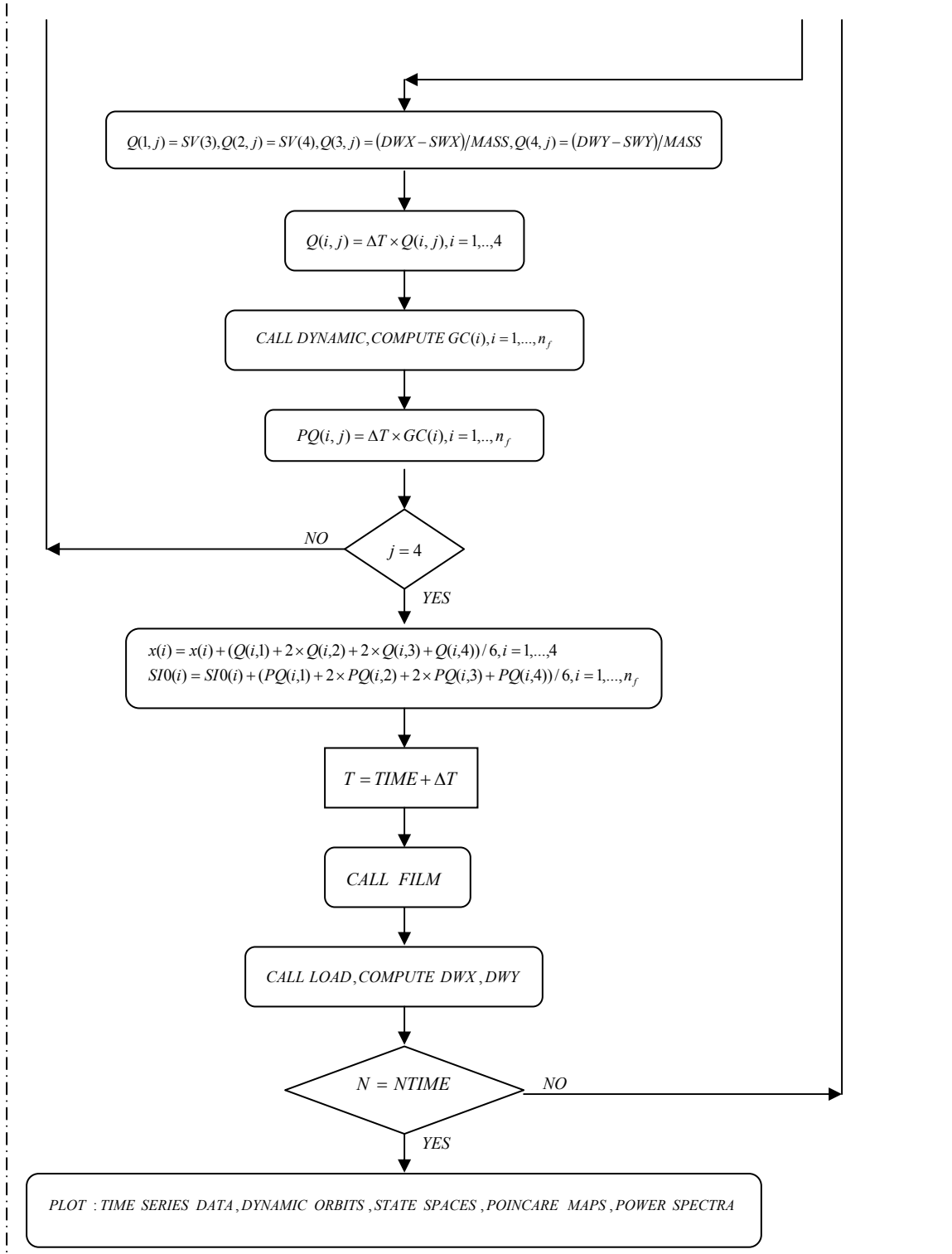
تا حل تقریبی جدید

$$[\dot{\Psi}]_{K+1} = [\dot{\Psi}_1, \dot{\Psi}_2, \dots, \dot{\Psi}_{n_f}]_{K+1} \quad (5-3)$$

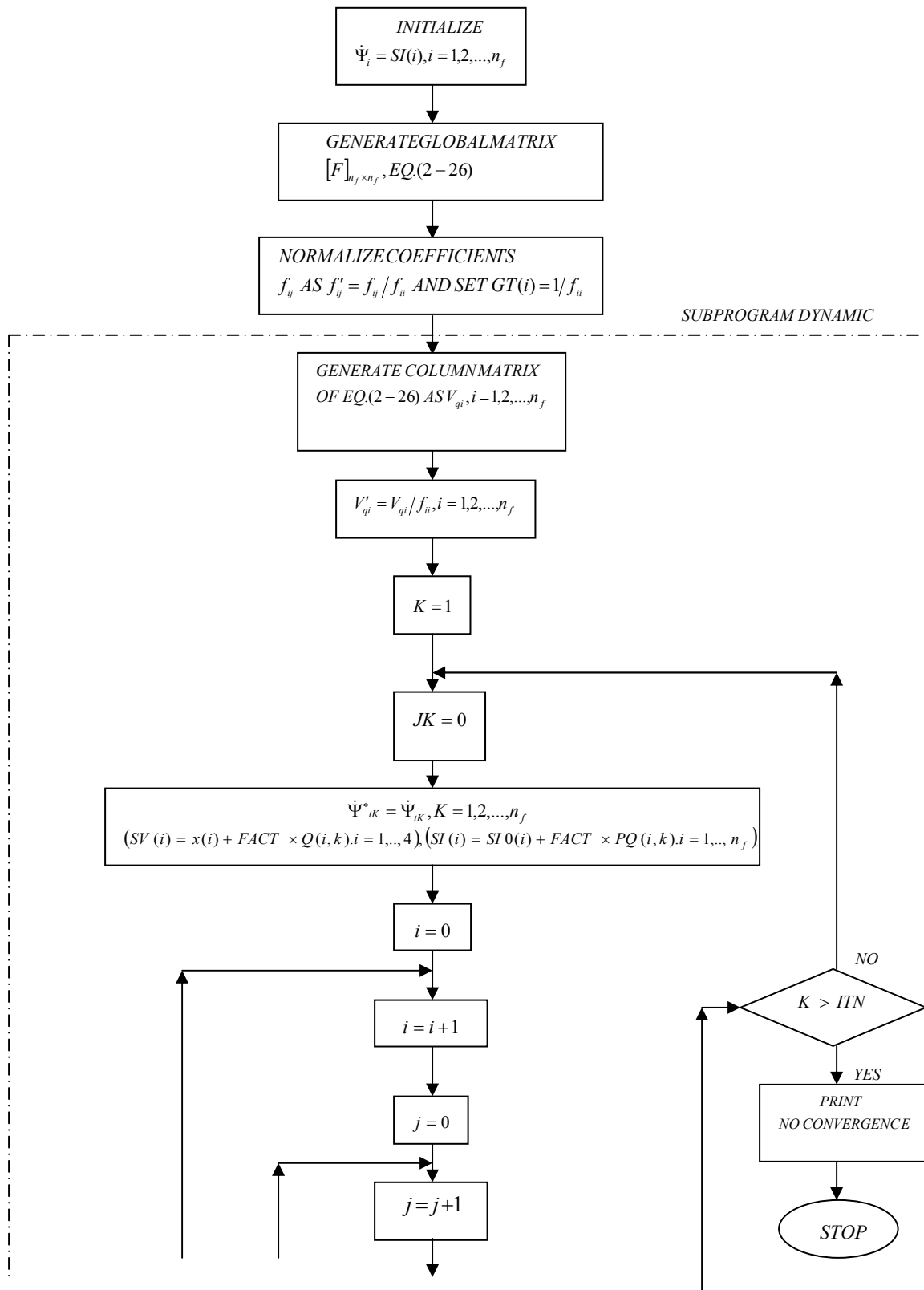
بدست آید.

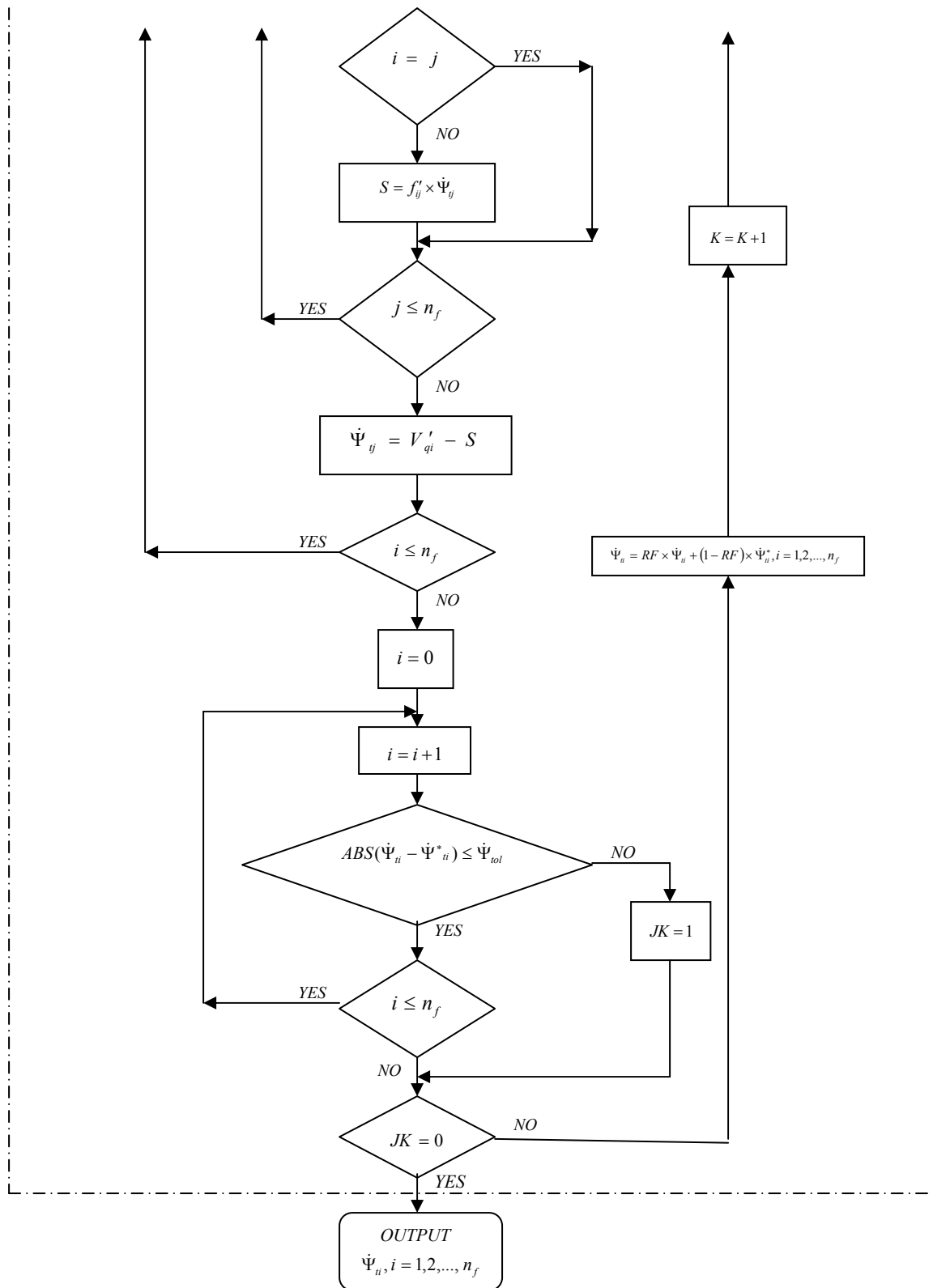
¹ . Gauss-Siedel





شکل (۵-۳): جزئیات بلوک ۲ -





شكل (٣-٦): الكوريتم محاسبه مشتقات $\{\Psi_i\}$

معیار همگرایی بکارگرفته شده روی مقادیر گره‌ای $\{\dot{\Psi}\}$ به صورت

$$|\dot{\Psi}_{i,K+1} - \dot{\Psi}_{i,K}| \leq \dot{\Psi}_{tol} \quad i = 1, 2, \dots, n_f \quad (6-3)$$

می‌باشد که در کار حاضر مقدار $\dot{\Psi}_{tol} = 10^{-6}$ در نظر گرفته شده است.

به منظور سریع همگراشدن، از مقادیر $\dot{\Psi}_i$ بدست‌آمده در دو مرحله نهایی برای محاسبه $\dot{\Psi}_{i,K+1}$ معادله (۴-۳) استفاده می‌شود. این مقادیر با در نظر گرفتن ضریب وزنی RF در معادله (۴-۳) به صورت

$$\dot{\Psi}_{j,K} = RF \times \dot{\Psi}_{j,K} + (1 - RF) \times \dot{\Psi}_{j,(K-1)} \quad (7-3)$$

بکار گرفته می‌شوند. در کار حاضر مقدار این ضریب 0.5 در نظر گرفته شده است.

۳-۵ صحت‌گذاری بر روی نتایج

جهت اطمینان از عملکرد صحیح برنامه تهیه شده جهت دستیابی به اهداف ارائه شده، نتایج در دو مرحله مورد ارزیابی قرار می‌گیرند. از آنجا که نقطه شروع محاسبات تعیین موقعیت تعادلی محور تحت شرایط کاری در نظر گرفته شده می‌باشد، لذا مقایسه‌ای بین نتایج بدست‌آمده و نتایج گزارش شده در مرجع [۵۸] صورت گرفته است. مقایسه بین دو نتایج در جدول (۳-۱) آورده شده است. تطابق خوبی بین نتایج مشاهده می‌شود که حاکی از عملکرد صحیح برنامه کامپیوتری تا این مرحله می‌باشد.

جهت ارزیابی نتایج در حالت دینامیکی، مطابق با کارهای ارائه شده توسط وانگ و همکارانش، روش تفاضل محدود به منظور حل معادله رینولدز بکار گرفته می‌شود و بجای استفاده از روش رانگ-کاتا جهت دستیابی به مقادیر جابجایی، سرعت و شتاب مرکز محور، معادلات جابجایی، سرعت و شتاب در جهات افقی و عمودی نوشته می‌شود تا در ابتدا شتاب سپس سرعت و در نهایت جابجایی محور در مراحل مختلف زمانی بدست آورده شود [۱۰۰، ۱۰۵-۱۰۶].

جدول (۱-۳) مقایسه نتایج در حالت استاتیکی

*نتایج بدست آمده در مرجع [۵۸] $\lambda = 1, \delta = 0.5$						
Λ	W_0	TYPE	X_{j0}	Y_{j0}	X_{j0}^*	Y_{j0}^*
0.1	0.01	Two- lobe	0.244	-0.002	0.257	-0.002
		Three- lobe	0.217	-0.005	0.223	-0.004
		Four- lobe	0.233	-0.003	0.240	-0.004
0.5	0.05	Two- lobe	0.242	-0.014	0.254	-0.014
		Three- lobe	0.218	-0.014	0.224	-0.018
		Four- lobe	0.232	-0.015	0.238	-0.023
1	0.1	Two- lobe	0.236	-0.026	0.246	-0.028
		Three- lobe	0.216	-0.035	0.222	-0.044
		Four- lobe	0.232	-0.032	0.234	-0.046
2	0.2	Two- lobe	0.217	-0.050	0.224	-0.053
		Three- lobe	0.209	-0.071	0.211	-0.082
		Four- lobe	0.231	-0.081	0.23	-0.085
5	0.5	Two- lobe	0.160	-0.103	0.166	-0.111
		Three- lobe	0.192	-0.146	0.194	-0.147
		Four- lobe	0.227	-0.154	0.231	-0.159
10	1	Two- lobe	0.126	-0.178	0.122	-0.174
		Three- lobe	0.212	-0.200	0.212	-0.215
		Four- lobe	0.268	-0.241	0.277	-0.243
20	2	Two- lobe	0.087	-0.272	0.091	-0.276
		Three- lobe	0.286	-0.324	0.272	-0.323
		Four- lobe	0.380	-0.406	0.375	-0.400

در جدول (۲-۳) مقایسه‌ای بین نتایج بدست‌آمده از این دو روش تحت شرایط در نظر گرفته شده در حالت دینامیکی صورت گرفته است. مشاهده می‌شود که تطابق خوبی بین نتایج بدست‌آمده از این دو روش وجود دارد و صحت الگوریتم و برنامه کامپیوتری نوشته شده بر اساس آن را تایید می‌کند.

جدول (۲-۳) مقایسه نتایج بدست‌آمده با روشهای تفاضل محدود (FDM^۱) و اجزاء محدود (FEM^۲) در حالت دینامیکی

$\bar{W}_0 = 506.5N, \bar{m}_r = 25.8Kg$ $\lambda = 1, \Lambda = 20, \bar{\rho} = 0.001mm$								
Type	Preload	Methods	x			y		
			$\tau = 10$	$\tau = 100$	$\tau = 1000$	$\tau = 10$	$\tau = 100$	$\tau = 1000$
Two-lobe	0.4	FEM	-0.041972	-0.036867	0.062038	0.025430	-0.019359	-0.015659
		FDM	-0.041974	-0.035860	0.061688	0.024744	-0.019265	-0.015123
	0.5	FEM	0.070029	-0.087053	0.002880	0.012823	-0.004511	-0.013407
		FDM	0.068351	-0.086471	0.003743	0.013035	-0.004903	-0.013310
Three-lobe	0.4	FEM	0.028359	-0.003712	0.032841	0.011121	-0.026038	-0.001293
		FDM	-0.028234	-0.003483	0.032571	0.010846	-0.025769	-0.001100
	0.5	FEM	0.007453	-0.068915	0.028037	0.048758	-0.046692	-0.047228
		FDM	0.006315	-0.068272	0.028657	0.048503	-0.047095	-0.046474
Four-lobe	0.4	FEM	-0.023384	-0.001091	0.025544	0.005796	-0.021814	0.004614
		FDM	-0.023120	-0.000923	0.025179	0.005398	-0.021432	0.004777
	0.5	FEM	-0.004808	-0.047774	0.039389	0.051686	-0.056584	-0.020057
		FDM	-0.006051	-0.046378	0.039635	0.050113	-0.056449	-0.018700

¹ . Finite difference method

² . Finite element method

۳-۶ معرفی ابزارها جهت تحلیل نتایج

در فصل‌های بعدی با توجه به الگوریتم ارائه شده در این فصل و بکارگیری برنامه کامپیوتری، رفتار دینامیکی در سیستم یاتاقان‌های گازی غیرمدور دو-لب، سه-لب و چهار-لب مورد بررسی قرار می‌گیرد. تعداد ۶۰۰۰۰۰ مرحله زمانی از داده‌های بدست‌آمده در سری زمانی بکارگرفته نمی‌شوند تا با صرف‌نظر از حالت گذرای سیستم، رفتار آن در حالت پایدار دینامیکی مورد تجزیه و تحلیل قرار گیرد.

از ابزارهایی نظیر مدار دینامیکی و فضای حالت به منظور بررسی میزان نظم در رفتار سیستم استفاده می‌شود. جهت بررسی فرکانس‌های غالب در سیستم، همچنین تشخیص رفتار سیستم، طیف‌های توانی در راستاهای افقی و عمودی بکارگرفته می‌شوند. نگاشت پوانکاره بعنوان ابزاری جهت تشخیص نوع رفتار سیستم استفاده می‌شود. برای رسم آن ابتدا مقطع پوانکاره‌ای که میدان جریان سیستم را قطع کند، در نظر گرفته می‌شود. هر نقطه روی این صفحه، نقطه‌ای از سری زمانی با یک بازه زمانی ثابت T است که در سیستم‌های وابسته زمانی معمولاً T همان دوره تناوب نیروی محرک خارجی است. تصویر مقطع پوانکاره روی صفحه $x-y$ اشاره به نگاشت پوانکاره در سیستم دینامیکی مورد نظر دارد. از نقاط بدست‌آمده در نگاشت پوانکاره به منظور رسم دیاگرام دوشاخگی استفاده می‌شود تا با تغییر پارامترهای در نظر گرفته شده برای سیستم، چگونگی وقوع تغییرات کیفی که در رفتار آن اتفاق می‌افتد، مشاهده شود.

فصل چهارم

ارائه نتایج و بررسی رفتارهای دینامیکی در سیستم یاتاقان گازی غیرمدور دو-لب

۱-۴ مقدمه

در این فصل با توجه به الگوریتم ارائه شده در فصل سوم رفتار سیستم در حالتی که محور روی دو یاتاقان گازی غیرمدور دو-لب نگهداری می‌شود، مورد بررسی قرار می‌گیرد. اطلاعات بکارگرفته شده در این بررسی عبارتند از [۱۰۰، ۱۰۵]:

شعاع محور $\bar{R} = 0.05 m$ ، لقی شعاعی $\bar{C} = 3 \times 10^{-5} m$ ، لزجت روانکار $\bar{\mu} = 1/8 \times 10^{-5} kg/ms$

در بخش‌های (۲-۴) و (۳-۴) نتایج برای حالتی که سیستم به طور کامل بالانس باشد به ترتیب برای نسبت طول به قطرهای ۱ ([۵۸-۵۶] و [۲۲-۲۶]) و ۱/۵ ([۱۰۰، ۱۰۵]) مورد بررسی قرار می‌گیرد. همچنین نتایج برای حالتی که نابالانسی جرمی در سیستم وجود داشته باشد، به ترتیب برای نسبت‌های طول به قطر ۱ و ۱/۵ در بخش‌های (۴-۴) و (۵-۴) مورد مطالعه قرار می‌گیرد.

در بخش‌های مذکور پارامترهایی نظیر عدد یاتاقان، جرم محور و پریلود، در این دو نسبت طول به قطر تحت شرایطی که محور به طور کامل بالانس باشد و یا نابالانسی جرمی برای آن در نظر گرفته شود، مورد بررسی قرار گرفته تا نواحی که در آن رفتارهای مختلف با تغییر پارامترهای مذکور صورت می‌گیرد، شناسایی شود.

۲-۴ بررسی رفتار دینامیکی با در نظر گرفتن $\lambda = 1, \bar{\rho} = 0$

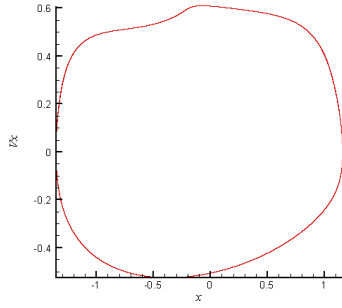
در این بخش با فرض بالانس بودن کامل محور در حالتی که نسبت طول به قطر یاتاقان واحد باشد، اثرات عدد یاتاقان، جرم محور و پریلود روی رفتار دینامیکی سیستم مورد بررسی قرار می‌گیرد.

۱-۲-۴ اثر عدد یاتاقان بر روی رفتار دینامیکی

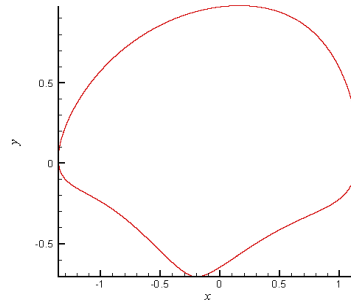
با در نظر گرفتن بارگذاری خارجی و جرم محور به ترتیب برابر با $\bar{W} = 506/5 N$ و $\bar{m}_r = 25/8 kg$ ، همچنین مقدار پریلود برابر با $\delta = 0/6$ تاثیر عدد یاتاقان روی رفتار سیستم مورد بررسی قرار می‌گیرد.

شکل‌های (۴-۱-۱-الف، ب) و (۴-۱-۲-الف، ب) به ترتیب مدارهای دینامیکی و فضای حالت را در اعداد یاتاقان ۱۵ و ۱۹ نشان می‌دهند. نتایج حاکی از وقوع رفتار منظم در این اعداد می‌باشد. شکل‌های (۴-۱-۱-ج، د) و (۴-۱-۲-ج، د) به ترتیب طیف‌های توانی را در راستاهای افقی و عمودی برای اعداد یاتاقان مذکور نشان می‌دهند. طیف‌های توانی KT -پریودیک بودن رفتار را در این اعداد تایید می‌کنند.

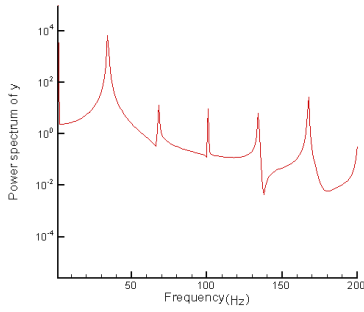
دیگرام دوشاخگی در شکل‌های (۴-۲-الف، ب) تغییرات کیفی که در رفتار سیستم با تغییر مقدار پارامتر آن، عدد یاتاقان، در راستاهای افقی و عمودی صورت می‌گیرد را نشان می‌دهد. مشاهده می‌شود که به ازای اعداد یاتاقان کوچکتر از $A = 14/8$ سیستم به موقعیت تعادلی اولیه خود باز می‌گردد. با افزایش عدد یاتاقان و قرارگیری آن در محدوده $14/8 \leq A \leq 21/6$ سیستم رفتار تناوبی از خود نشان می‌دهد. نگاشت‌های پوانکاره در اعداد یاتاقان ۱۵ و ۱۹ نشان داده شده در شکل‌های (۴-۳-الف، ب) وقوع چنین رفتاری را با حضور یک نقطه تنها در این صفحه تایید می‌کنند. با افزایش مجدد عدد یاتاقان از مقدار $A = 21/6$ برخورد بین محور و یاتاقان صورت می‌گیرد. لذا می‌توان در این مورد با قراردادن پارامتر سیستم در مقدار مناسب آن از وقوع رفتار نامناسب جلوگیری نمود.



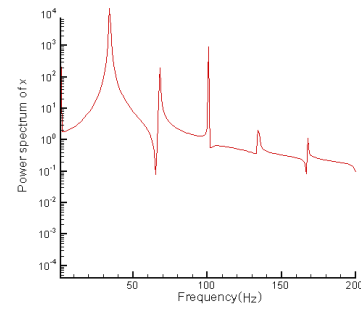
(ب) - ۱-۱-۴



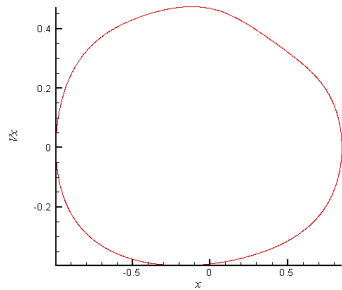
(الف) - ۱-۱-۴



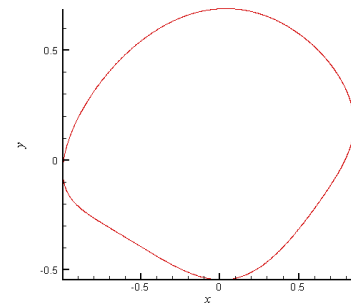
(د) - ۱-۱-۴



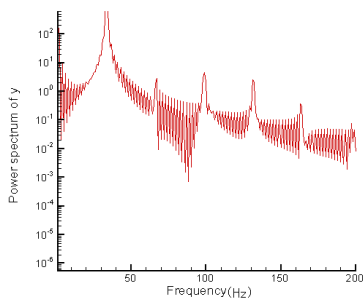
(ج) - ۱-۱-۴



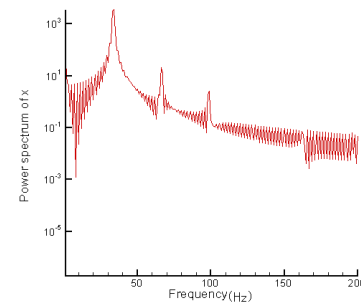
(ب) - ۲-۱-۴



(الف) - ۲-۱-۴

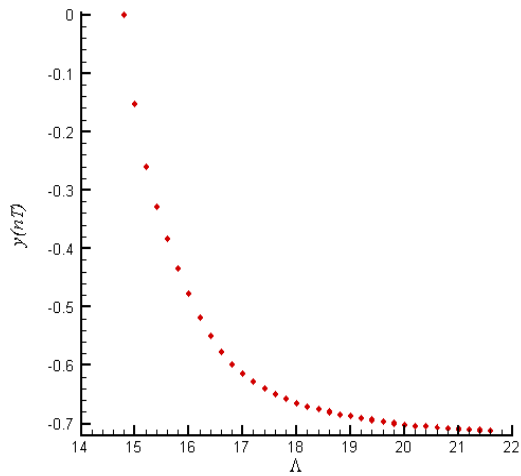


(د) - ۲-۱-۴

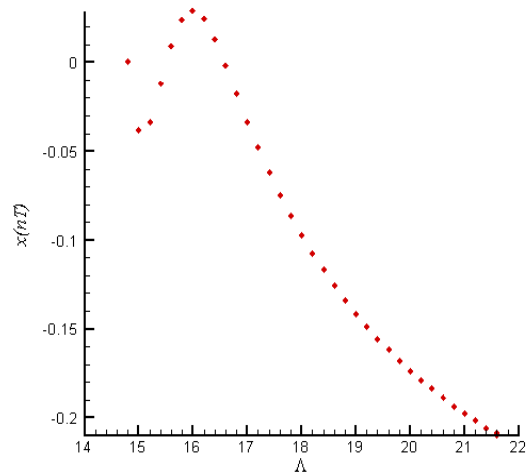


(ج) - ۲-۱-۴

ادامه شکل (۱-۴): مدار دینامیکی مرکز محور (الف)، فضای حالت مرکز محور (ب) و طیف توانی آن در راستاهای افقی (ج) و عمودی (د) به ازای $A = 15$ (۱-۱-۴) و $A = 19$ (۲-۱-۴) برای یاتاقان دو-لب تحت شرایط $\lambda = 1, \bar{\rho} = 0$

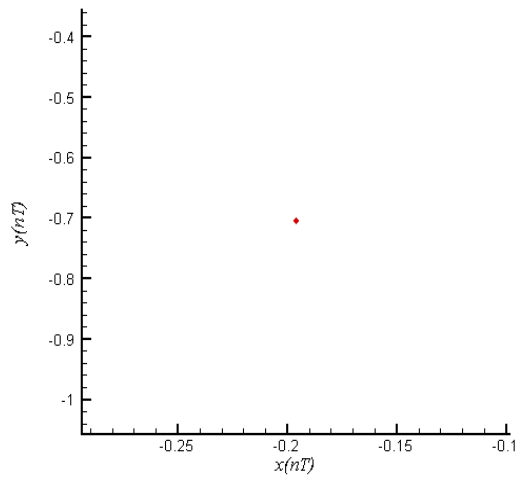


(ب)

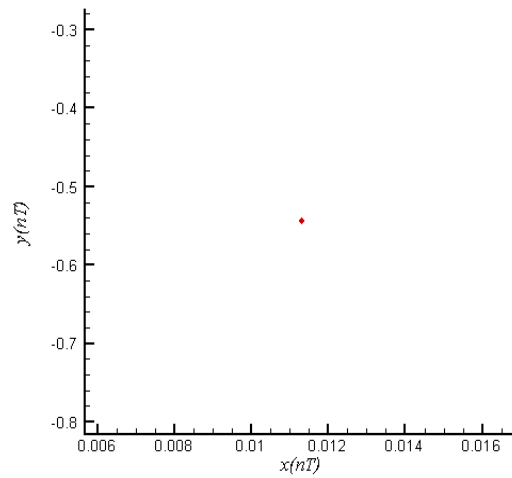


(الف)

شکل (۲-۴): دیاگرام دوشاخگی در راستاهای افقی (الف) و عمودی (ب) برای یاتاقان دو-لب تحت شرایط $\lambda = 1, \bar{\rho} = 0$



(ب)



(الف)

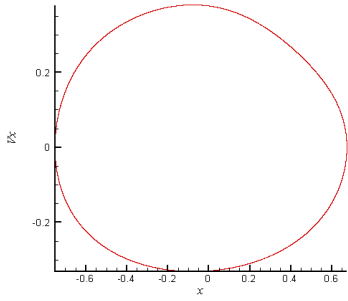
شکل (۳-۴): نگاشت پوانکاره مرکز محور به ازای $A = 15$ (الف) و ۱۹ (ب) برای یاتاقان دو-لب تحت $\lambda = 1, \bar{\rho} = 0$

۲-۲-۴ اثر جرم محور بر روی رفتار دینامیکی

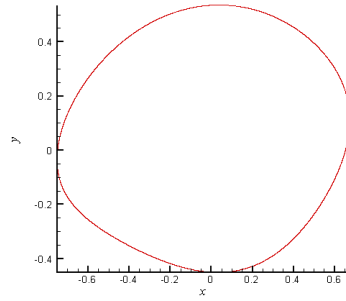
با در نظر گرفتن بارگذاری خارجی و عدد یاتاقان به ترتیب برابر با $\bar{W} = 5.6/5 N$ و $A = 25$ ، همچنین مقدار پریلود برابر با $\delta = 0/6$ تاثیر جرم محور روی رفتار سیستم مورد بررسی قرار می‌گیرد.

شکل‌های (۴-۴-۱-الف، ب) و (۴-۴-۲-الف، ب) به ترتیب مدارهای دینامیکی و فضای حالت را به ازای جرم‌های محور ۱۰ و ۱۵ کیلوگرم نشان می‌دهند. نتایج حاکی از وقوع رفتار منظم در این اعداد می‌باشد. شکل‌های (۴-۴-۱-ج، د) و (۴-۴-۲-ج، د) به ترتیب طیف‌های توانی را در راستاهای افقی و عمودی برای جرم‌های مذکور نشان می‌دهد. طیف‌های توانی KT -پریودیک بودن رفتار را در این اعداد تایید می‌کنند.

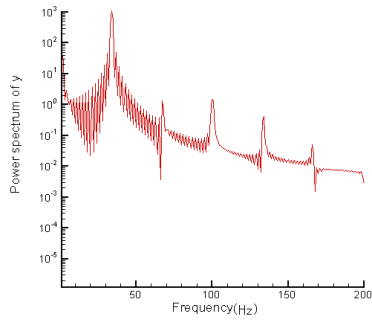
دیاگرام دوشاخگی در شکل‌های (۴-۵-الف، ب) تغییرات کیفی که در رفتار سیستم با تغییر مقدار پارامتر آن، جرم محور، در راستاهای افقی و عمودی صورت می‌گیرد را نشان می‌دهد. مشاهده می‌شود که برای مقادیر جرم محور کوچکتر از $\bar{m}_r = 8/78 kg$ سیستم به موقعیت تعادلی اولیه خود باز می‌گردد. با افزایش جرم محور و قرارگیری آن در محدوده $8/78 \leq \bar{m}_r \leq 19/62 kg$ سیستم رفتار تناوبی از خود نشان می‌دهد. نگاشت‌های پوانکاره به ازای جرم‌های محور ۱۰ و ۱۵ کیلوگرم نشان داده شده در شکل‌های (۴-۶-الف، ب) وقوع چنین رفتاری را با حضور یک نقطه تنها در این صفحه تایید می‌کنند. با افزایش مجدد جرم محور از مقدار $\bar{m}_r = 19/62 kg$ برخورد بین محور و یاتاقان صورت می‌گیرد. لذا می‌توان در این مورد با قراردادن پارامتر سیستم در مقدار مناسب آن از وقوع رفتار نامناسب جلوگیری نمود.



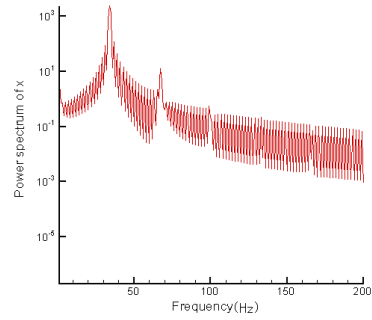
(ب) - ۱-۴-۴



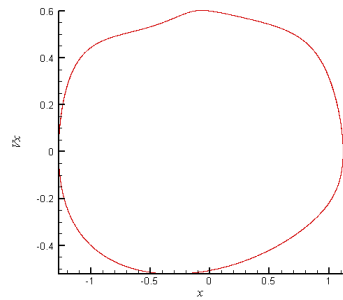
(الف) - ۱-۴-۴



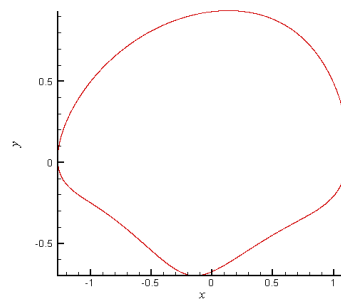
(د) - ۱-۴-۴



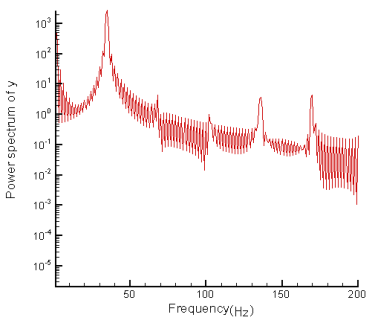
(ج) - ۱-۴-۴



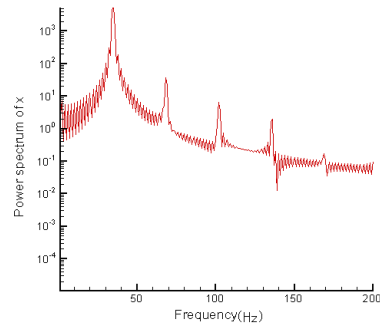
(ب) - ۲-۴-۴



(الف) - ۲-۴-۴

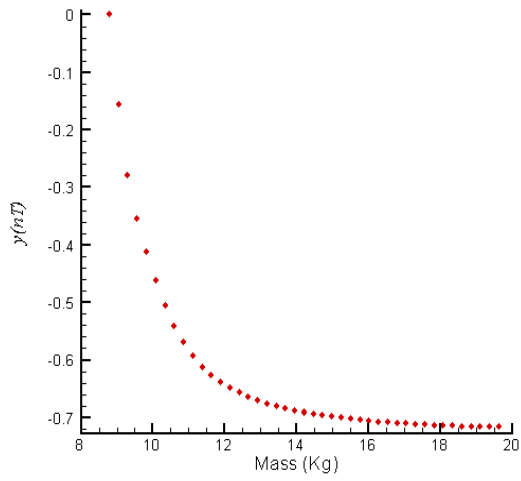


(د) - ۲-۴-۴

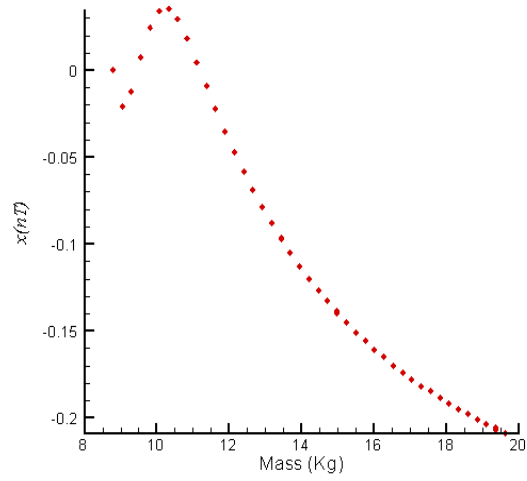


(ج) - ۲-۴-۴

شکل (۴-۴): مدار دینامیکی مرکز محور (الف)، فضای حالت مرکز محور (ب) و طیف توانی آن در راستاهای افقی (ج) و عمودی (د) به ازای $\bar{m}_r = 1.0 \text{ kg}$ و $\bar{m}_r = 15 \text{ kg}$ برای یاتاقان دو-لب تحت شرایط $\lambda = 1, \rho = 0$

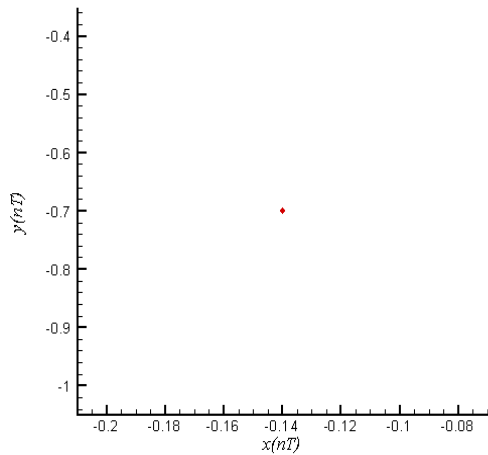


(ب)

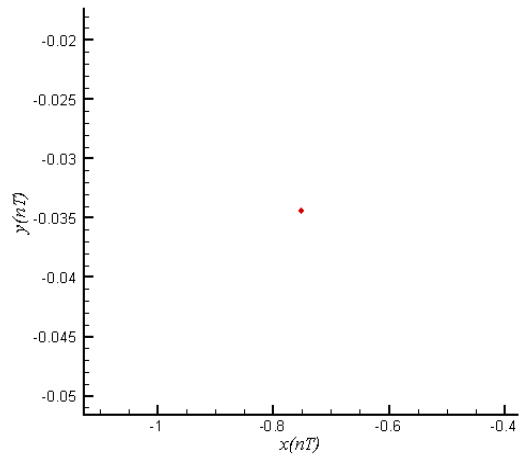


(الف)

شکل (۴-۵): دیاگرام دوشاخگی در راستاهای افقی (الف) و عمودی (ب) برای یاتاقان دو-لب تحت شرایط $\lambda = 1, \bar{\rho} = 0$



(ب)



(الف)

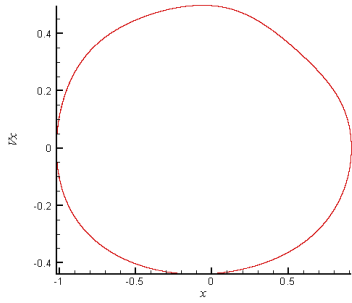
شکل (۴-۶): نگاشت پوانکاره مرکز محور به ازای $\bar{m}_r = 10$ (الف) و ۱۵ (ب) کیلوگرم برای یاتاقان دو-لب تحت شرایط $\lambda = 1, \bar{\rho} = 0$

۴-۲-۳ اثر پریلود بر روی رفتار دینامیکی

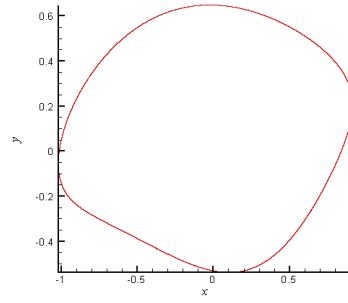
با در نظر گرفتن بارگذاری خارجی و عدد یاتاقان به ترتیب برابر با $\bar{W} = 5.06/5 N$ و $A = 25$ ، همچنین مقدار جرم محور برابر با $\bar{m}_r = 25/8 kg$ تاثیر پارامتر پریلود روی رفتار سیستم مورد بررسی قرار می‌گیرد.

شکل‌های (۴-۷-۱-الف، ب) و (۴-۷-۲-الف، ب) به ترتیب مدارهای دینامیکی و فضای حالت را به ازای مقادیر پریلود ۰/۵۲ و ۰/۵۶ نشان می‌دهند. نتایج حاکی از وقوع رفتار منظم در این اعداد می‌باشد. شکل‌های (۴-۷-۱-ج، د) و (۴-۷-۲-ج، د) به ترتیب طیف‌های توانی را در راستاهای افقی و عمودی برای مقادیر پریلود مذکور نشان می‌دهند. طیف‌های توانی KT -پریلودیک بودن رفتار را در این اعداد تایید می‌کنند.

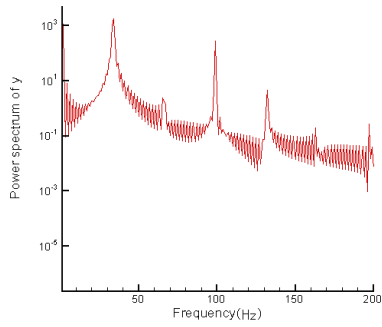
دیگرام دوشاخگی در شکل‌های (۴-۸-الف، ب) تغییرات کیفی که در رفتار سیستم با تغییر مقدار پارامتر آن، پریلود، در راستاهای افقی و عمودی صورت می‌گیرد را نشان می‌دهد. مشاهده می‌شود که برای مقادیر پریلود کوچکتر از $\delta = 0/498$ سیستم به موقعیت تعادلی اولیه خود باز می‌گردد. با افزایش مقدار پریلود و قرارگیری آن در محدوده $0/498 \leq \delta \leq 0/568$ سیستم رفتار تناوبی از خود نشان می‌دهد. نگاشت‌های پوانکاره به ازای مقادیر پریلود ۰/۵۲ و ۰/۵۶ نشان داده شده در شکل‌های (۴-۹-الف، ب) وقوع چنین رفتاری را با حضور یک نقطه تنها در این صفحه تایید می‌کنند. با افزایش مجدد مقدار پریلود از $\delta = 0/568$ برخورد بین محور و یاتاقان صورت می‌گیرد. لذا می‌توان در این مورد با قراردادن پارامتر سیستم در مقدار مناسب آن از وقوع رفتارهای نامناسب جلوگیری کرد.



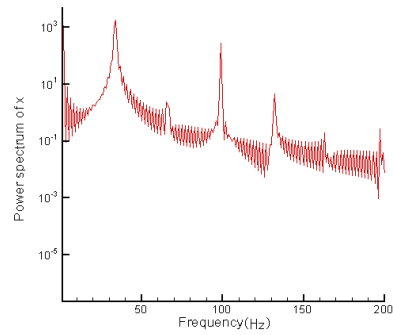
(ب) - ۱-۷-۴



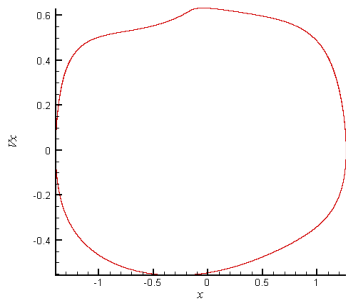
(الف) - ۱-۷-۴



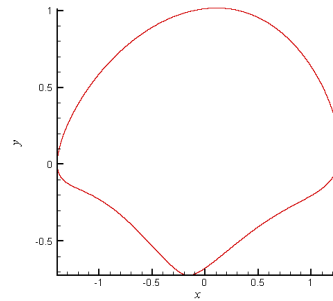
(د) - ۱-۷-۴



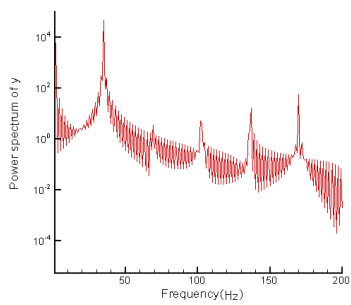
(ج) - ۱-۷-۴



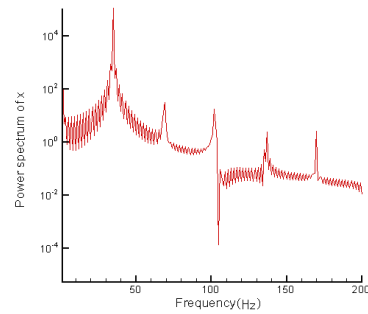
(ب) - ۲-۷-۴



(الف) - ۲-۷-۴

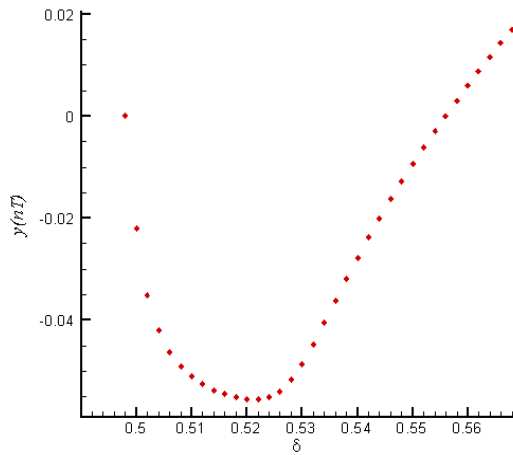


(د) - ۲-۷-۴

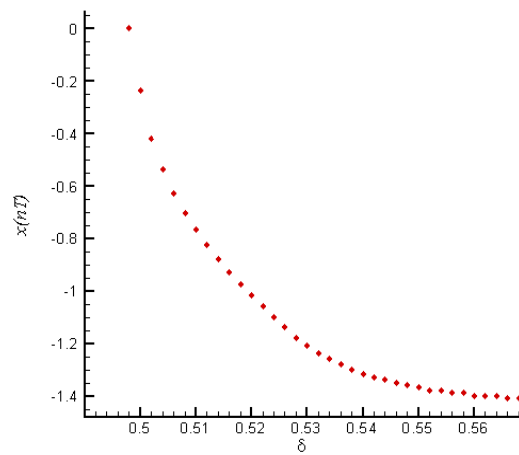


(ج) - ۲-۷-۴

شکل (۷-۴): مدار دینامیکی مرکز محور (الف)، فضای حالت مرکز محور (ب) و طیف توانی آن در راستاهای افقی (ج) و عمودی (د) به ازای $\delta = 0.52$ (۱-۷-۴) و $\delta = 0.56$ (۲-۷-۴) برای یاتاقان دو-لب تحت شرایط $\lambda = 1, \bar{p} = 0$

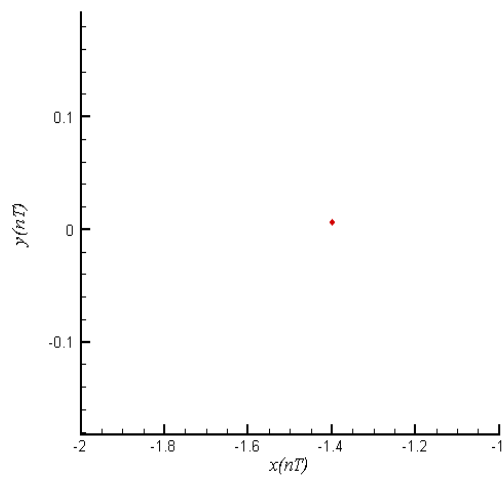


(ب)

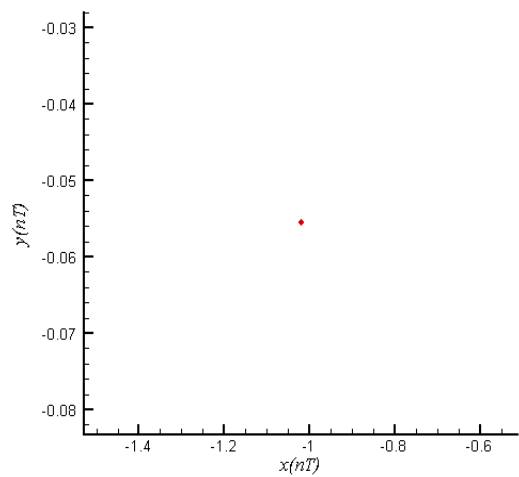


(الف)

شکل (۴-۸): دیاگرام دوشاخگی در راستاهای افقی (الف) و عمودی (ب) برای یاتاقان دو-لب تحت شرایط $\lambda = 1, \bar{\rho} = 0$



(ب)



(الف)

شکل (۴-۹): نگاشت پوانکاره مرکز محور به ازای $\delta = 0.52$ (الف) و 0.56 (ب) برای یاتاقان دو-لب تحت شرایط

$$\lambda = 1, \bar{\rho} = 0$$

۳-۴ بررسی رفتار دینامیکی با در نظر گرفتن $\lambda = 1/5, \bar{\rho} = 0$

در این بخش با فرض بالانس بودن کامل محور در حالتی که نسبت طول به قطر یاتاقان $1/5$ باشد، اثرات

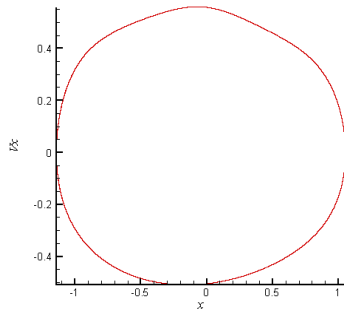
عدد یاتاقان، جرم محور و پریلود روی رفتار دینامیکی سیستم مورد بررسی قرار می‌گیرد.

۴-۳-۱ اثر عدد یاتاقان بر روی رفتار دینامیکی

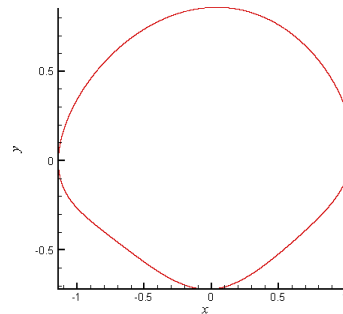
با در نظر گرفتن بارگذاری خارجی و جرم محور به ترتیب برابر با $\bar{W} = 5.6/5 N$ و $\bar{m}_r = 25/8 kg$ ، همچنین مقدار پریلود برابر با $\delta = 0/6$ تاثیر عدد یاتاقان روی رفتار سیستم مورد بررسی قرار می‌گیرد. شکل‌های (۴-۱۰-۱-الف، ب) مدار دینامیکی و فضای حالت را در عدد یاتاقان $A = 20$ نشان می‌دهند. وقوع رفتار منظم به ازای این مقدار از عدد یاتاقان مشاهده می‌شود. همانطور که در شکل‌های (۴-۱۰-۲-الف، ب) نشان داده شده است، با افزایش عدد یاتاقان به $A = 27$ میزان نظم در رفتار سیستم کاهش می‌یابد.

شکل‌های (۴-۱۰-۱-ج، د) و (۴-۱۰-۲-ج، د) به ترتیب طیف‌های توانی را در راستاهای افقی و عمودی برای اعداد یاتاقان ۲۰ و ۲۷ نشان می‌دهند. طیف‌های توانی KT -پریودیک بودن رفتار را در این اعداد از یاتاقان نشان می‌دهند.

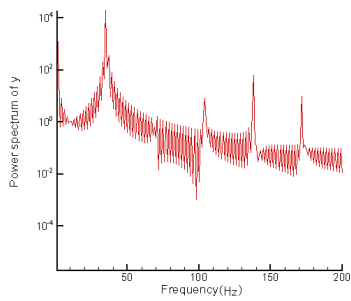
دیاگرام دوشاخگی در شکل‌های (۴-۱۱-الف، ب) تغییرات کیفی که در رفتار سیستم با تغییر مقدار پارامتر آن، عدد یاتاقان، در راستاهای افقی و عمودی صورت می‌گیرد را نشان می‌دهد. مشاهده می‌شود که برای مقادیر عدد یاتاقان کوچکتر از $A = 16/2$ سیستم به موقعیت تعادلی اولیه خود باز می‌گردد. با افزایش عدد یاتاقان و قرارگیری آن در محدوده $16/2 \leq A < 25/8$ سیستم رفتار تناوبی از خود نشان می‌دهد. نگاشت پوانکاره به ازای عدد یاتاقان $A = 20$ نشان داده شده در شکل (۴-۱۲-الف) وقوع چنین رفتاری را تایید می‌کند. در محدوده $25/8 \leq A < 27/6$ سیستم رفتار دو-پریودیکی از خود نشان می‌دهد. نگاشت پوانکاره نشان داده شده در شکل (۴-۱۲-ب) با حضور دو نقطه به ازای عدد یاتاقان $A = 27$ ، وقوع چنین رفتاری را تایید می‌کند. با افزایش مجدد عدد یاتاقان از مقدار $A = 27/6$ برخورد بین محور و یاتاقان صورت می‌گیرد. لذا می‌توان در این مورد با قراردادن پارامتر سیستم در مقدار مناسب خود از وقوع رفتارهای نامناسب جلوگیری نمود.



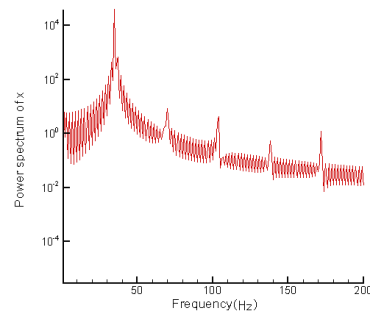
(ب) - ۱-۱۰-۴



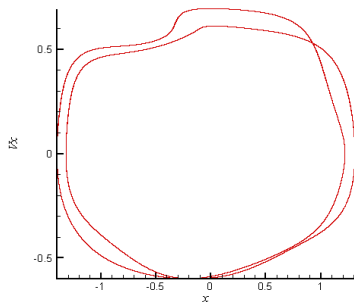
(الف) - ۱-۱۰-۴



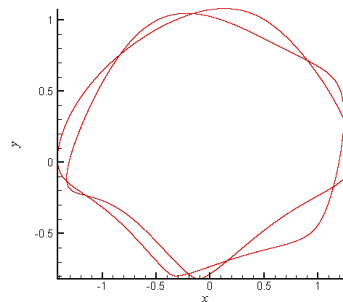
(د) - ۱-۱۰-۴



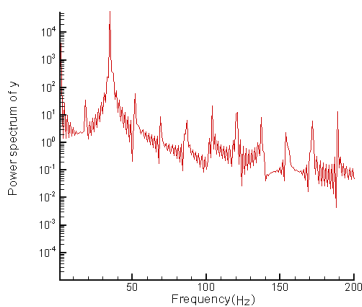
(ج) - ۱-۱۰-۴



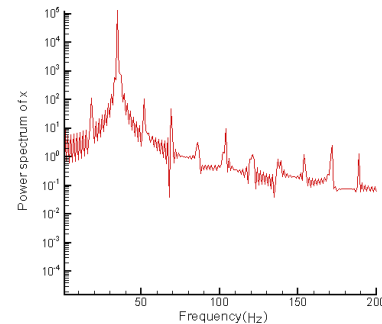
(ب) - ۲-۱۰-۴



(الف) - ۲-۱۰-۴

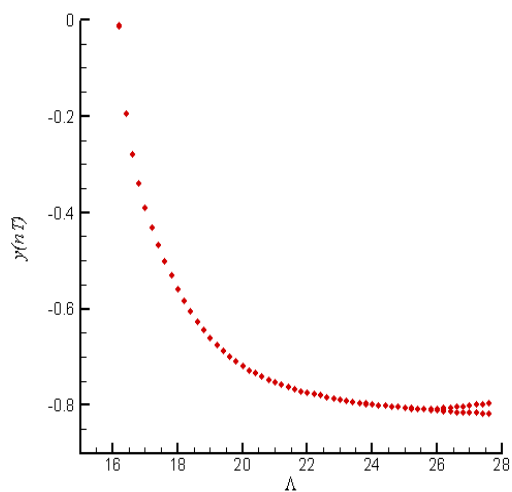


(د) - ۲-۱۰-۴

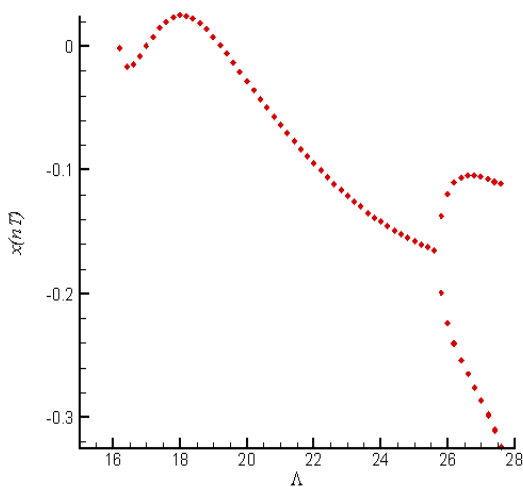


(ج) - ۲-۱۰-۴

شکل (۱۰-۴): مدار دینامیکی مرکز محور (الف)، فضای حالت مرکز محور (ب) و طیف توانی آن در راستاهای افقی (ج) و عمودی (د) به ازای $A = 20$ و $A = 27$ برای (۱-۱۰-۴) و (۲-۱۰-۴) برای یاتاقان دو-لب تحت شرایط $\lambda = 1/5, \bar{\rho} = 0$



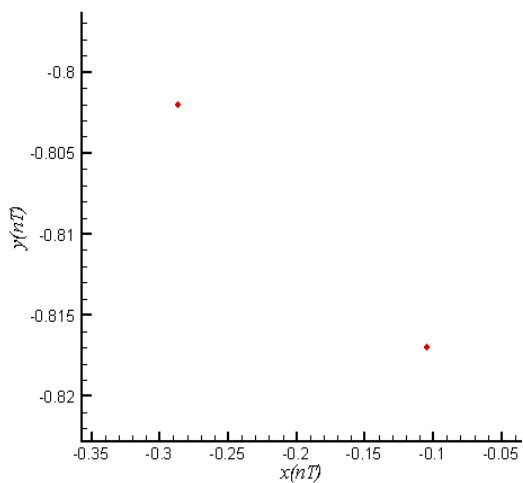
(ب)



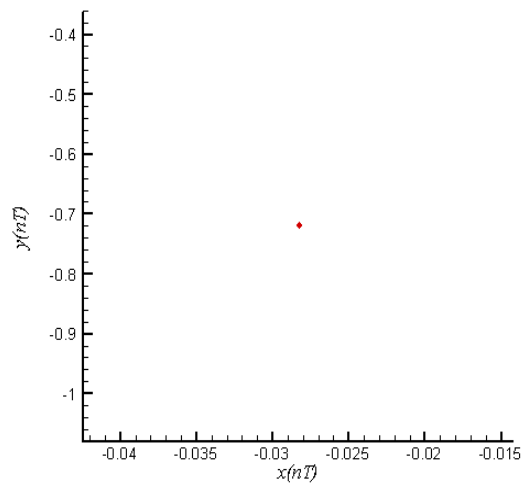
(الف)

شکل (۴-۱۱): دیاگرام دوشاخگی در راستاهای افقی (الف) و عمودی (ب) برای یاتاقان دو-لب تحت شرایط

$$\lambda = 1/5, \bar{\rho} = 0.$$



(ب)



(الف)

شکل (۴-۱۲): نگاشت پوانکاره مرکز محور به ازای $\lambda = 20$ (الف) و ۲۷ (ب) برای یاتاقان دو-لب تحت شرایط

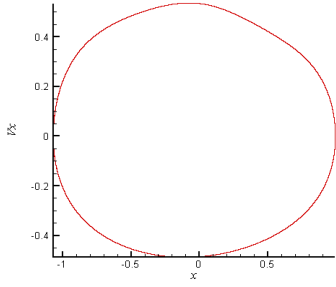
$$\lambda = 1/5, \bar{\rho} = 0.$$

۳-۲ اثر جرم محور بر روی رفتار دینامیکی

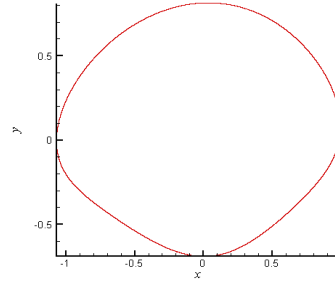
با در نظر گرفتن بارگذاری خارجی و عدد یاتاقان به ترتیب برابر با $\bar{W} = 5.06/5 N$ و $A = 25$ ، همچنین مقدار پریلود برابر با $\delta = 0/6$ تاثیر جرم محور روی رفتار سیستم مورد بررسی قرار می‌گیرد.

شکل‌های (۴-۱۳-۱-الف، ب) مدار دینامیکی و فضای حالت را به ازای جرم محور $\bar{m}_r = 15/5 kg$ نشان می‌دهند. رفتار منظم در این مقدار از جرم محور مشاهده می‌شود. همانطور که در شکل‌های (۴-۱۳-۲-الف، ب) نشان داده شده است، با افزایش جرم محور به $\bar{m}_r = 31 kg$ نظم در رفتار سیستم کاهش می‌یابد. شکل‌های (۴-۱۳-۱-ج، د) و (۴-۱۳-۲-ج، د) به ترتیب طیف‌های توانی را در راستاهای افقی و عمودی برای جرم‌های محور مذکور نشان می‌دهند. طیف‌های توانی KT -پریودیک بودن رفتار را در این مقادیر نشان می‌دهند.

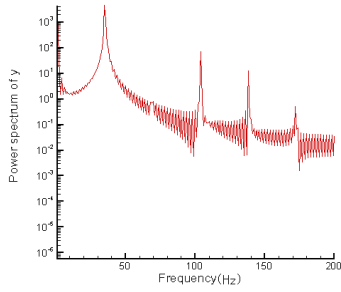
دیاگرام دوشاخگی در شکل‌های (۴-۱۴-الف، ب) تغییرات کیفی که در رفتار سیستم با تغییر مقدار پارامتر آن، جرم محور، در راستاهای افقی و عمودی صورت می‌گیرد را نشان می‌دهد. مشاهده می‌شود که برای مقادیر جرم محور کوچکتر از $\bar{m}_r = 10/84 kg$ سیستم به موقعیت تعادلی اولیه خود باز می‌گردد. با افزایش جرم محور و قرارگیری آن در محدوده $10/84 \leq \bar{m}_r \leq 27/14 kg$ سیستم رفتار تناوبی از خود نشان می‌دهد. نگاشت پوانکاره به ازای جرم محور $\bar{m}_r = 15/5 kg$ نشان‌دهنده در شکل (۴-۱۵-الف) وقوع چنین رفتاری را تایید می‌کند. در محدوده $27/14 < \bar{m}_r \leq 31/24 kg$ سیستم رفتار دو-پریودیکی از خود نشان می‌دهد. نگاشت پوانکاره با حضور دو نقطه در شکل (۴-۱۵-ب) به ازای جرم محور $\bar{m}_r = 31 kg$ وقوع چنین رفتاری را تایید می‌کند. با افزایش مجدد جرم محور از مقدار $\bar{m}_r = 31/24 kg$ برخورد بین محور و یاتاقان صورت می‌گیرد. لذا می‌توان در این مورد با قراردادن پارامتر سیستم در مقدار مناسب از وقوع رفتارهای نامناسب جلوگیری نمود.



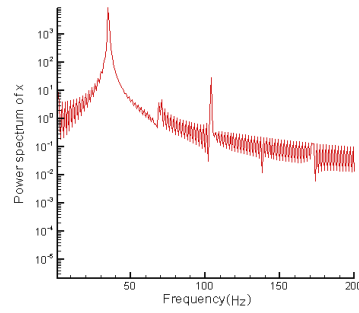
(ب) - ۱-۱۳-۴



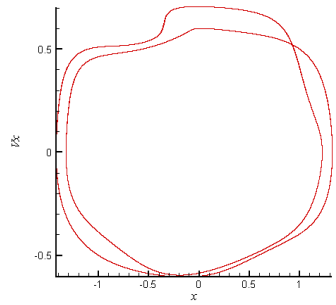
(الف) - ۱-۱۳-۴



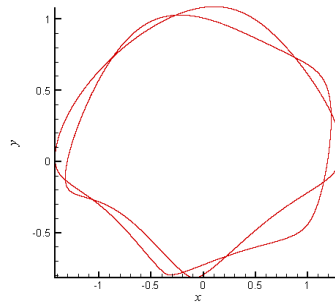
(د) - ۱-۱۳-۴



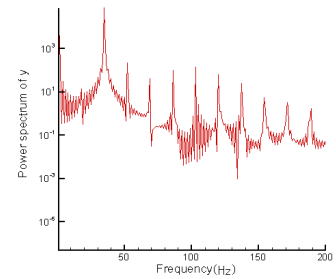
(ج) - ۱-۱۳-۴



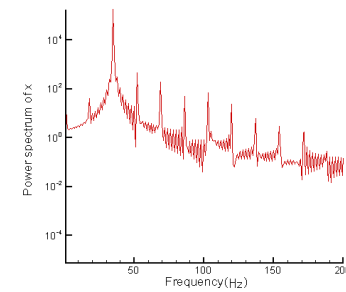
(ب) - ۲-۱۳-۴



(الف) - ۲-۱۳-۴

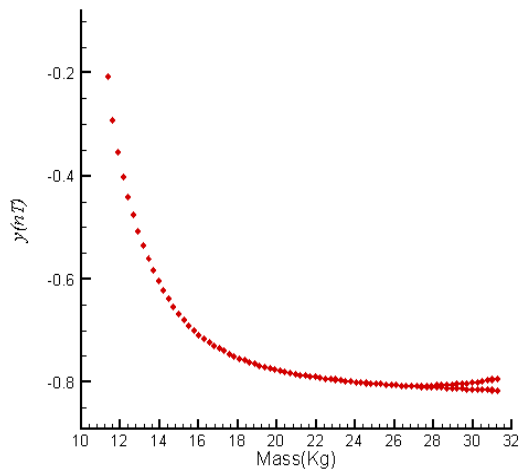


(د) - ۲-۱۳-۴

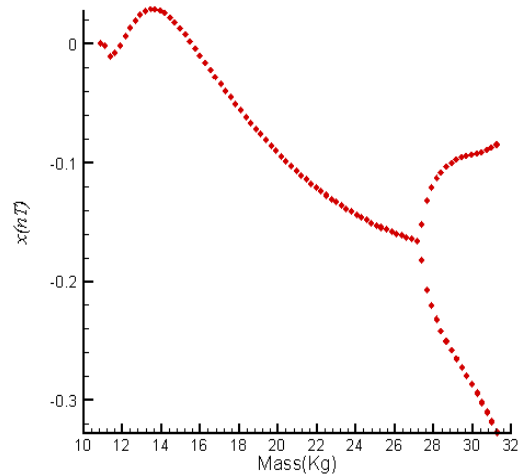


(ج) - ۲-۱۳-۴

شکل (۱۳-۴): مدار دینامیکی مرکز محور (الف)، فضای حالت مرکز محور (ب) و طیف توانی آن در راستاهای افقی (ج) و عمودی (د) به ازای $\bar{m}_r = 15/5 kg$ و $\bar{m}_r = 31 kg$ برای یاتاقان دو-لب تحت شرایط $\lambda = 1/5, \bar{\rho} = 0$.

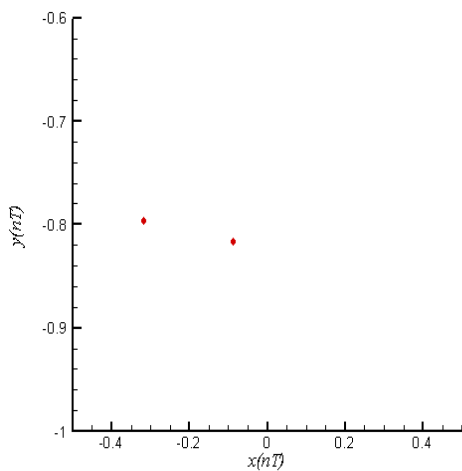


(ب)

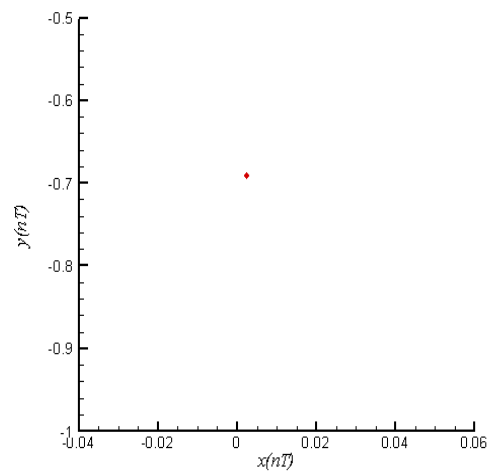


(الف)

شکل (۴-۱۴): دیاگرام دوشاخگی در راستاهای افقی (الف) و عمودی (ب) برای یاتاقان دو-لب تحت شرایط $\lambda=1/5, \bar{\rho}=0$



(ب)



(الف)

شکل (۴-۱۵): نگاشت پوانکاره مرکز محور به ازای $\bar{m}_r = 15/5$ (الف) و ۳۱ (ب) کیلوگرم برای یاتاقان دو-لب تحت شرایط $\lambda=1/5, \bar{\rho}=0$.

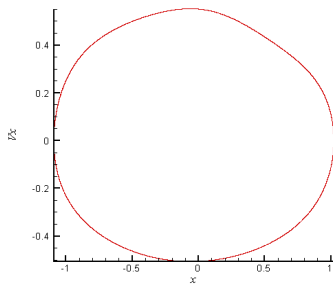
۳-۳-۴ اثر پریلود بر روی رفتار دینامیکی

با در نظر گرفتن بارگذاری خارجی و عدد یاتاقان به ترتیب برابر با $\bar{W} = 5.06/5 N$ و $A = 25$ ، همچنین جرم محور برابر با $\bar{m}_r = 25/8 kg$ تاثیر پارامتر پریلود روی رفتار سیستم مورد بررسی قرار می‌گیرد.

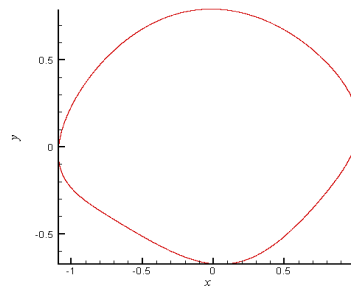
شکل‌های (۴-۱۶-۱-الف، ب) مدار دینامیکی و فضای حالت را به ازای مقدار پریلود $\delta = 0/55$ نشان می‌دهند. رفتار منظم به ازای این مقدار از پریلود مشاهده می‌شود. مطابق با شکل‌های (۴-۱۶-۲-الف، ب) با افزایش مقدار پریلود به $\delta = 0/61$ میزان نظم در رفتار سیستم کاهش می‌یابد.

شکل‌های (۴-۱۶-۱-ج، د) و (۴-۱۶-۲-ج، د) به ترتیب طیف‌های توانی را در راستاهای افقی و عمودی برای مقادیر پریلود مذکور نشان می‌دهند. طیف‌های توانی KT -پریودیک بودن رفتار را در این مقادیر نشان می‌دهند.

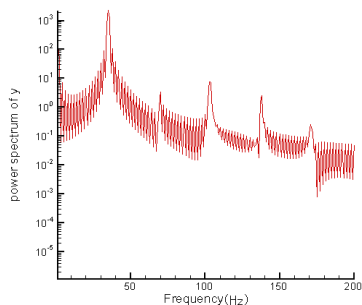
دیاگرام دوشاخگی در شکل‌های (۴-۱۷-الف، ب) تغییرات کیفی که در رفتار سیستم با تغییر مقدار پارامتر آن، پریلود، در راستاهای افقی و عمودی صورت می‌گیرد را نشان می‌دهد. مشاهده می‌شود که برای مقادیر پریلود کوچکتر از $\delta = 0/522$ سیستم به موقعیت تعادلی اولیه خود باز می‌گردد. با افزایش مقدار پریلود و قرارگیری آن در محدوده $0/608 \leq \delta \leq 0/522$ سیستم رفتار تناوبی از خود نشان می‌دهد. نگاشت پوانکاره به ازای مقدار پریلود $\delta = 0/55$ نشان داده شده در شکل (۴-۱۸-الف) وقوع چنین رفتاری را تایید می‌کند. در محدوده $0/622 \leq \delta < 0/608$ سیستم رفتار دو-پریودیکی از خود نشان می‌دهد و نگاشت پوانکاره در شکل (۴-۱۸-ب) به ازای مقدار پریلود $\delta = 0/61$ وقوع چنین رفتاری را تایید می‌کند. با افزایش مجدد مقدار پریلود از $\delta = 0/622$ برخورد بین محور و یاتاقان صورت می‌گیرد. لذا می‌توان در این مورد با قراردادن پارامتر سیستم در مقدار مناسب، از وقوع رفتارهای نامناسب جلوگیری نمود.



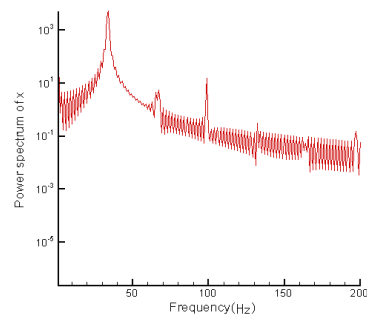
(ب) - ۱-۱۶-۴



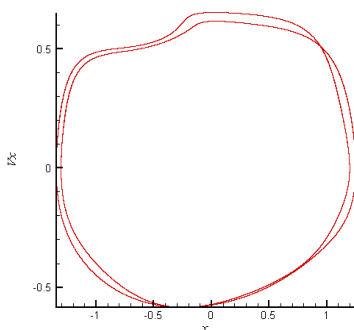
(الف) - ۱-۱۶-۴



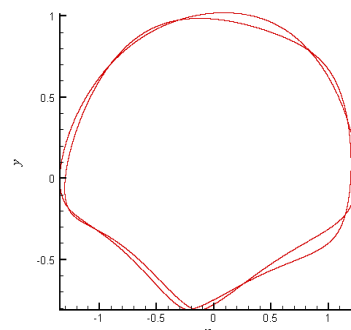
(د) - ۱-۱۶-۴



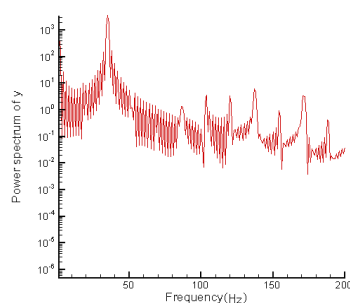
(ج) - ۱-۱۶-۴



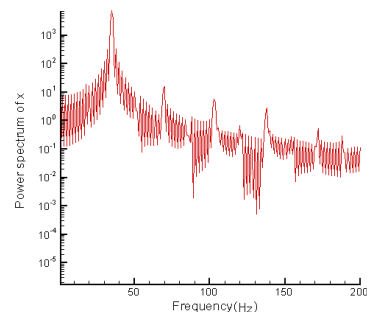
(ب) - ۲-۱۶-۴



(الف) - ۲-۱۶-۴

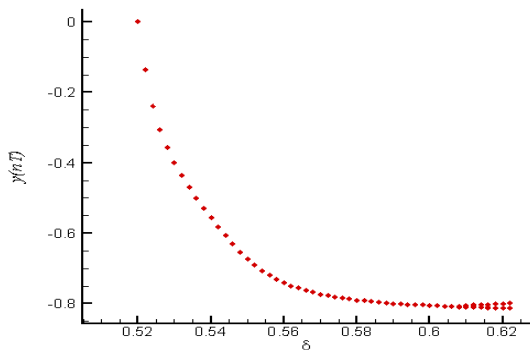


(د) - ۲-۱۶-۴

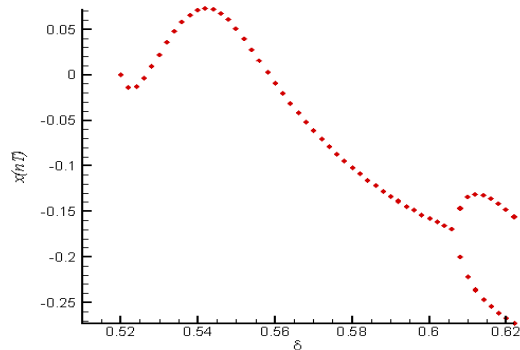


(ج) - ۲-۱۶-۴

شکل (۱۶-۴): مدار دینامیکی مرکز محور (الف)، فضای حالت مرکز محور (ب) و طیف توانی آن در راستاهای افقی (ج) و عمودی (د) به ازای $\delta = 0/55$ و $\delta = 0/61$ برای یاتاقان دو-لب تحت شرایط $\lambda = 1/5$, $\bar{\rho} = 0$

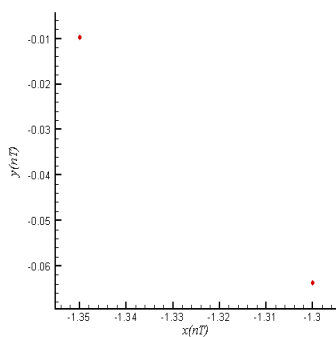


(ب)

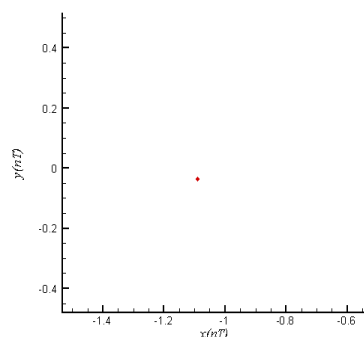


(الف)

شکل (۴-۱۷): دیاگرام دوشاخگی در راستاهای افقی (الف) و عمودی (ب) برای یاتاقان دو-لب تحت شرایط $\lambda=1/5, \bar{\rho}=0$



(ب)



(الف)

شکل (۴-۱۸): نگاشت پوانکاره مرکز محور به ازای $\delta=0/55$ (الف) و $0/61$ (ب) برای یاتاقان دو-لب تحت شرایط

$$\lambda=1/5, \bar{\rho}=0$$

۴-۴ بررسی رفتار دینامیکی با در نظر گرفتن $\lambda = 1, \bar{\rho} = 0/001 mm$

در این بخش با فرض نابالانسی جرمی محور در حالتی که نسبت طول به قطر یاتاقان واحد باشد، اثرات

عدد یاتاقان، جرم محور و پریلود روی رفتار دینامیکی سیستم مورد بررسی قرار می‌گیرد.

۴-۴-۱ اثر عدد یاتاقان بر روی رفتار دینامیکی

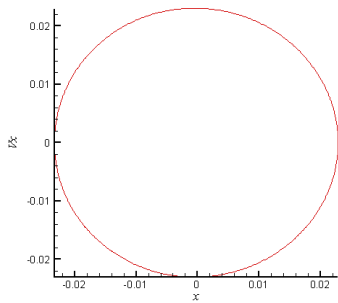
با در نظر گرفتن بارگذاری خارجی و جرم محور به ترتیب برابر با $\bar{W} = 5.06/5 N$ و $\bar{m}_r = 25/8 kg$ و

همچنین مقدار پریلود برابر با $\delta = 0/6$ تاثیر عدد یاتاقان روی رفتار سیستم مورد بررسی قرار می‌گیرد.

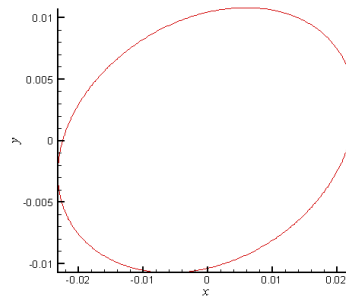
شکل‌های (۴-۱۹-۱-الف، ب) به ترتیب مدارهای دینامیکی و فضای حالت را به ازای عدد یاتاقان $A = 5$ نشان می‌دهند. نتایج حاکی از وقوع رفتار منظم در این عدد می‌باشد. با افزایش عدد یاتاقان به مقدار $A = 15$ بی‌نظمی در رفتار سیستم به شدت افزایش می‌یابد. چنین رفتاری در شکل‌های (۴-۱۹-۲-الف، ب) نشان داده شده است. با افزایش مجدد عدد یاتاقان به مقادیر ۱۷ و ۱۹، شکل‌های (۴-۱۹-۳-الف، ب) و (۴-۱۹-۴-الف، ب) به ترتیب تکرار وقوع رفتارهای منظم و نامنظم را نشان می‌دهند. شکل‌های (۴-۱۹-۱-ج، د) الی (۴-۱۹-۴-ج، د) طیف‌های توانی را در راستاهای افقی و عمودی برای اعداد یاتاقان مذکور نشان می‌دهند. فرکانس‌های غالب در وقوع رفتار سیستم در این شکل‌ها مشخص است. با مشاهده این شکل‌ها انتظار وقوع رفتارهای تناوبی و شبه تناوبی می‌رود.

شکل‌های (۴-۲۰-الف، ب) تغییرات کیفی که در رفتار سیستم با تغییر پارامتر آن، عدد یاتاقان، در محدوده $2 \leq A \leq 20/8$ صورت می‌گیرد، نشان می‌دهند. دیاگرام دوشاخگی محلی در شکل‌های (۴-۲۱-الف، ب) تغییرات را در محدوده $14 \leq A \leq 20/8$ نشان می‌دهد. مشاهده می‌شود که برای اعداد یاتاقان کوچکتر از $A = 15$ سیستم رفتار تناوبی از خود نشان می‌دهد. نگاشت پوانکاره در شکل (۴-۲۲-الف) به ازای $A = 5$ ، وقوع چنین رفتاری را با حضور یک نقطه تنها در این صفحه تایید می‌کند. با افزایش عدد یاتاقان و قرارگیری آن در محدوده $15 \leq A \leq 16/6$ سیستم رفتار شبه تناوبی از خود نشان می‌دهد. نگاشت پوانکاره به ازای عدد یاتاقان $A = 15$ نشان داده شده در شکل (۴-۲۲-ب) وقوع چنین رفتاری را با تشکیل یک منحنی بسته در این صفحه تایید می‌کند. در محدوده $16/6 < A \leq 18/2$ کاهش در میزان بی‌نظمی و شکل‌گیری رفتار از نوع دو-پریودیکی انتظار می‌رود و نگاشت پوانکاره در شکل (۴-۲۲-ج) وقوع چنین رفتاری را با حضور دو نقطه در این صفحه به ازای عدد یاتاقان $A = 17$ نشان می‌دهد. در محدوده $18/2 < A \leq 20/8$ رفتار شبه تناوبی مشاهده می‌شود و نگاشت پوانکاره چنین رفتاری را به ازای عدد یاتاقان $A = 19$ در شکل (۴-۲۲-د) تایید می‌کند. با افزایش مجدد عدد

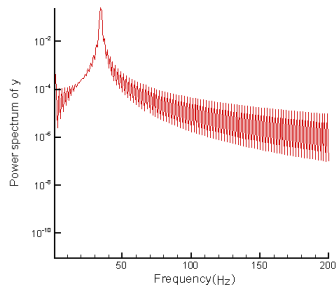
یاتاقان از مقدار $A = 20/8$ برخوردار بین محور و یاتاقان صورت می‌گیرد. لذا می‌توان در این مورد با قراردادن پارامتر سیستم در مقدار مناسب از وقوع رفتارهای نامناسب جلوگیری نمود.



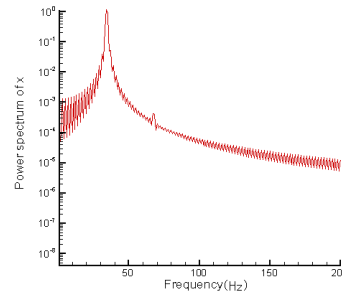
(ب) -۱-۱۹-۴



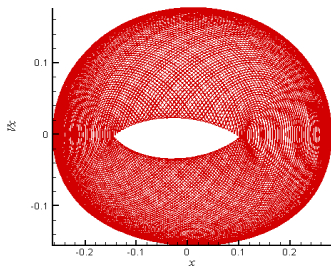
(الف) -۱-۱۹-۴



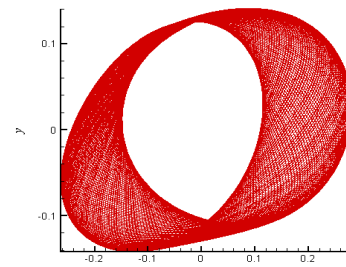
(د) -۱-۱۹-۴



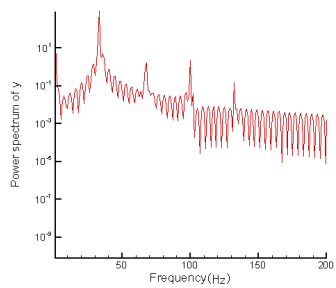
(ج) -۱-۱۹-۴



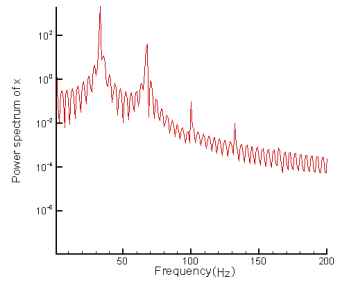
(ب) -۲-۱۹-۴



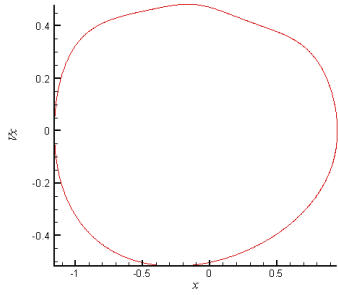
(الف) -۲-۱۹-۴



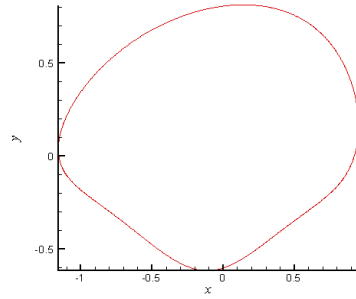
(د) -۲-۱۹-۴



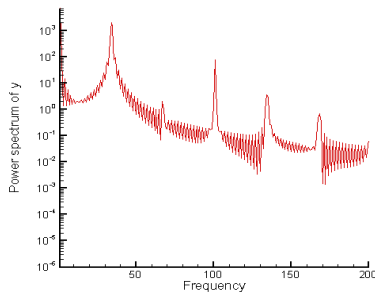
(ج) -۲-۱۹-۴



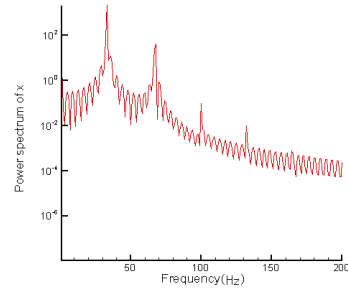
(ب) -۳-۱۹-۴



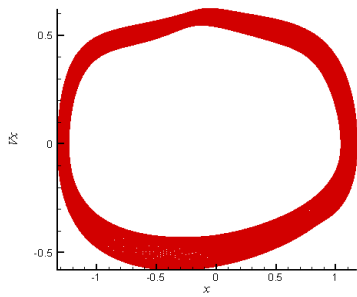
(الف) -۳-۱۹-۴



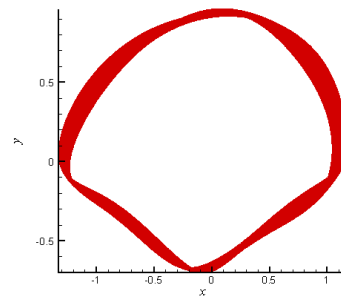
(د) -۳-۱۹-۴



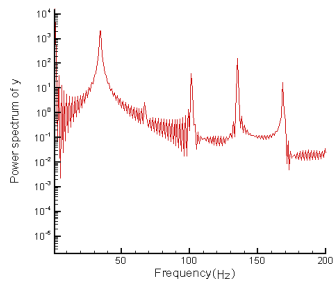
(ج) -۳-۱۹-۴



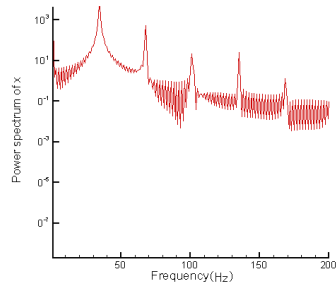
(ب) -۴-۱۹-۴



(الف) -۴-۱۹-۴



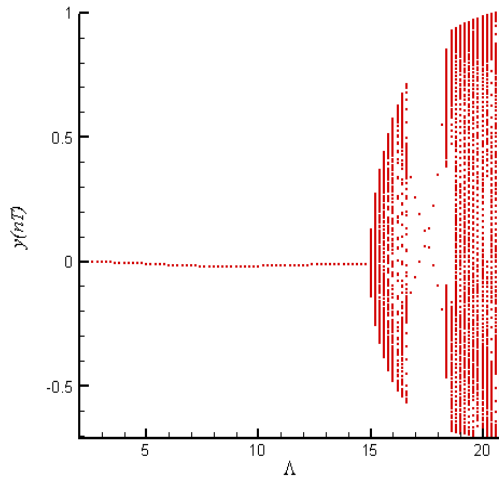
(د) -۴-۱۹-۴



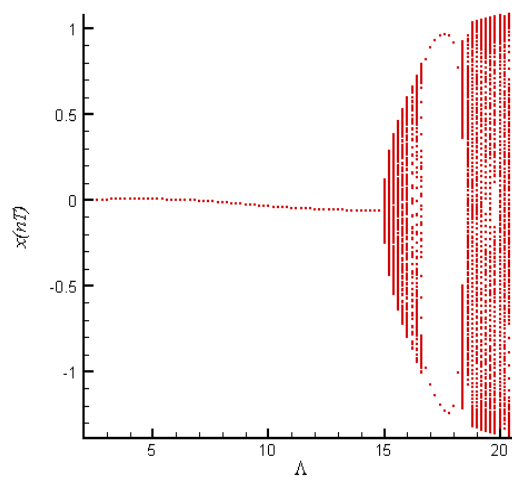
(ج) -۴-۱۹-۴

شکل (۱۹-۴): مدار دینامیکی مرکز محور (الف)، فضای حالت مرکز محور (ب) و طیف توانی آن در راستاهای افقی (ج) و عمودی (د) به ازای $A = 5$ ، $A = 15$ ، $A = 17$ ، $A = 19$ و $A = 19$ برای یاتاقان دو-

لب تحت شرایط $\lambda = 1$, $\bar{\rho} = 0.001 mm$



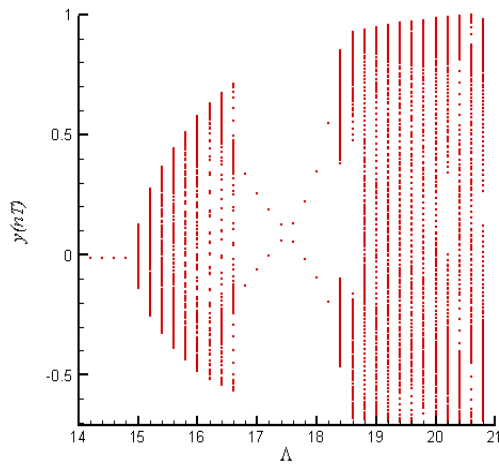
(ب)



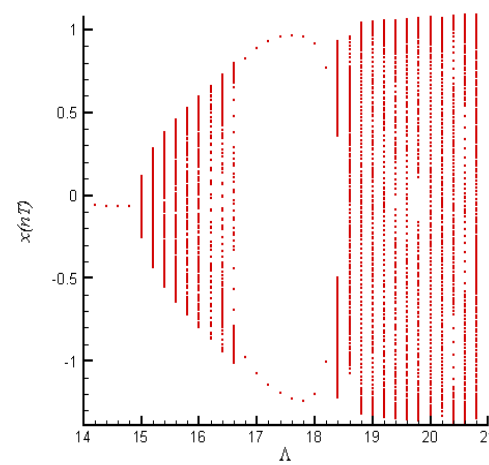
(الف)

شکل (۴-۲۰): دیاگرام دوشاخگی در راستاهای افقی (الف) و عمودی (ب) عمودی برای یاتاقان دو-لب تحت شرایط

$$\lambda = 1, \bar{\rho} = 0.001 \text{ mm}$$



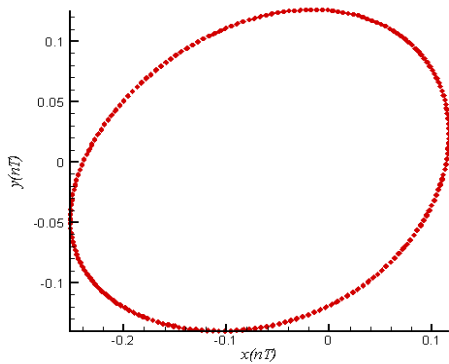
(ب)



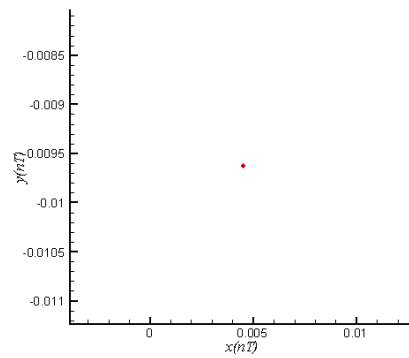
(الف)

شکل (۴-۲۱): دیاگرام دوشاخگی محلی ($14 \leq \Lambda \leq 20/8$) در راستاهای افقی (الف) و عمودی (ب) برای یاتاقان دو-لب

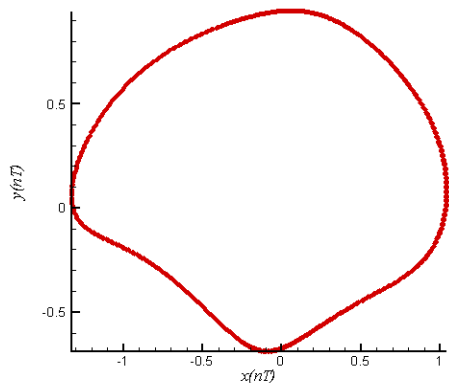
$$\text{تحت شرایط } \lambda = 1, \bar{\rho} = 0.001 \text{ mm}$$



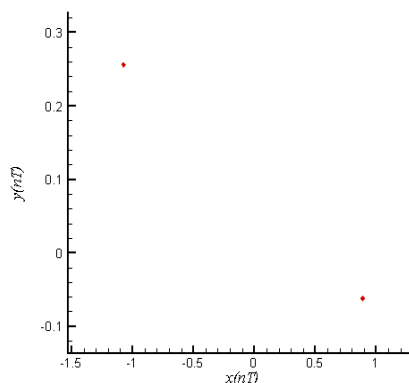
(ب)



(الف)



(د)



(ج)

شکل (۴-۲۲): نگاشت پوانکاره مرکز محور به ازای $A = 5$ (الف)، ۱۵، (ب)، ۱۷، (ج) و ۱۹ (د) برای یاتاقان دو-لب تحت شرایط $\lambda = 1, \bar{\rho} = 0.001 \text{ mm}$

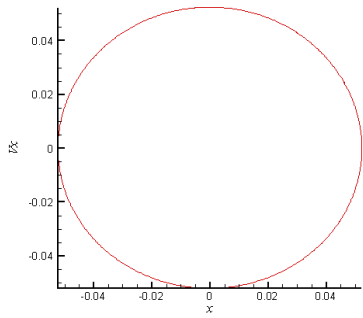
۴-۴-۲ اثر جرم محور بر روی رفتار دینامیکی

با در نظر گرفتن بارگذاری خارجی و عدد یاتاقان به ترتیب برابر با $\bar{W} = 5.06/5 \text{ N}$ و $A = 25$ ، همچنین مقدار پریلود برابر با $\delta = 0.06$ تاثیر جرم محور روی رفتار سیستم مورد بررسی قرار می‌گیرد.

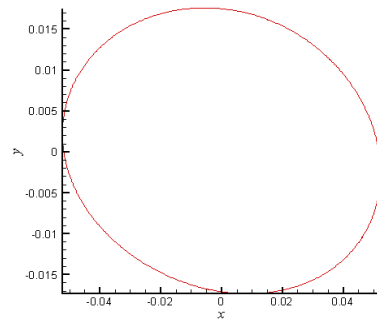
شکل‌های (۴-۲۳-۱-الف، ب) به ترتیب مدارهای دینامیکی و فضای حالت را به ازای مقدار جرم محور $\bar{m}_r = 5/2 \text{ kg}$ نشان می‌دهند. نتایج حاکی از وقوع رفتار منظم در این مقدار از جرم محور می‌باشد. با افزایش جرم محور به مقدار $\bar{m}_r = 9 \text{ kg}$ بی‌نظمی در رفتار سیستم افزایش می‌یابد. چنین رفتاری در شکل‌های (۴-۲۳-۲-الف، ب) نشان داده شده است. با افزایش مجدد جرم محور به مقادیر $11/6$ و

۱۷/۵ کیلوگرم، شکل‌های (۴-۲۳-۳-الف، ب) و (۴-۲۳-۴-الف، ب) به ترتیب تکرار وقوع رفتارهای منظم و نامنظم را نشان می‌دهند. شکل‌های (۴-۲۳-۱-ج، د) الی (۴-۲۳-۴-ج، د) طیف‌های توانی را در راستاهای افقی و عمودی برای جرم‌های مذکور نشان می‌دهند. فرکانس‌های غالب در وقوع رفتار سیستم در این شکل‌ها مشخص است. با مشاهده این شکل‌ها انتظار وقوع رفتارهای تناوبی و شبه تناوبی می‌رود.

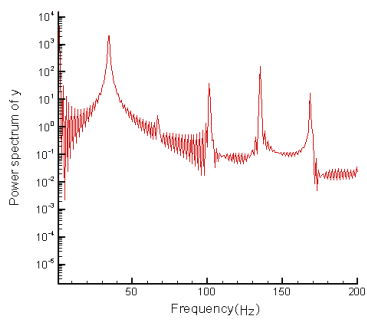
دیاگرام دوشاخگی در شکل‌های (۴-۲۴-الف، ب) تغییرات کیفی رفتار سیستم با تغییر پارامتر آن، جرم محور، در محدوده $17/8 \text{ kg} \leq \bar{m}_r \leq 2/8$ ، نشان می‌دهد. شکل‌های (۴-۲۵-الف، ب) دیاگرام دوشاخگی محلی را در محدوده $8 \text{ kg} \leq \bar{m}_r \leq 17/8 \text{ kg}$ نشان می‌دهند. مشاهده می‌شود برای جرم‌های محور کوچکتر از $\bar{m}_r = 9 \text{ kg}$ سیستم رفتار تناوبی از خود نشان می‌دهد. نگاشت پوانکاره در شکل (۴-۲۶-الف) به ازای $\bar{m}_r = 5/2 \text{ kg}$ ، وقوع چنین رفتاری را با حضور یک نقطه تنها در این صفحه تایید می‌کند. با افزایش جرم محور و قرارگیری آن در محدوده $9 \leq \bar{m}_r \leq 9/3 \text{ kg}$ سیستم رفتار شبه تناوبی از خود نشان می‌دهد. نگاشت پوانکاره به ازای جرم محور $\bar{m}_r = 9 \text{ kg}$ نشان داده شده در شکل (۴-۲۶-ب) وقوع چنین رفتاری را با تشکیل یک منحنی بسته در این صفحه تایید می‌کند. کاهش در میزان بی-نظمی و شکل‌گیری رفتار از نوع دو-پریودیکی در محدوده $9/3 < \bar{m}_r \leq 17/9 \text{ kg}$ صورت می‌گیرد و نگاشت پوانکاره در شکل (۴-۲۶-ج) وقوع چنین رفتاری را با حضور دو نقطه در این صفحه به ازای جرم محور $\bar{m}_r = 11/6 \text{ kg}$ نشان می‌دهد. در محدوده $11/9 < \bar{m}_r \leq 17/8 \text{ kg}$ رفتار شبه تناوبی مشاهده می‌شود و نگاشت پوانکاره چنین رفتاری را به ازای جرم محور $\bar{m}_r = 17 \text{ kg}$ در شکل (۴-۲۶-د) تایید می‌کند. با افزایش جرم محور از مقدار $\bar{m}_r = 17/8 \text{ kg}$ برخورد بین محور و یاتاقان صورت می‌گیرد. لذا می‌توان در این مورد با قراردادن پارامتر سیستم در مقدار مناسب آن از وقوع رفتارهای نامناسب جلوگیری نمود.



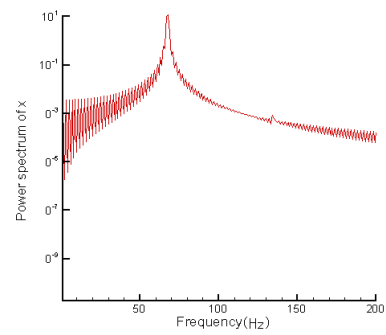
(ب) - ۱-۲۳-۴



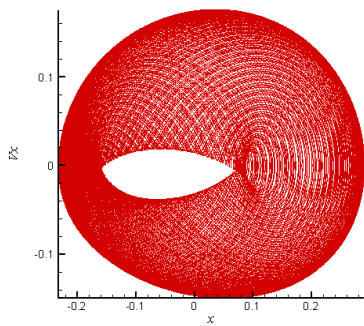
(الف) - ۱-۲۳-۴



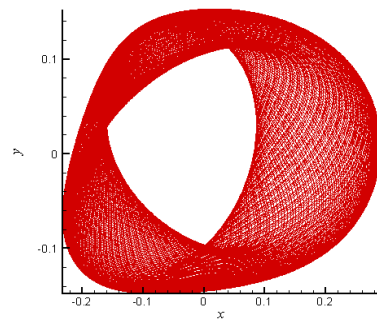
(د) - ۱-۲۳-۴



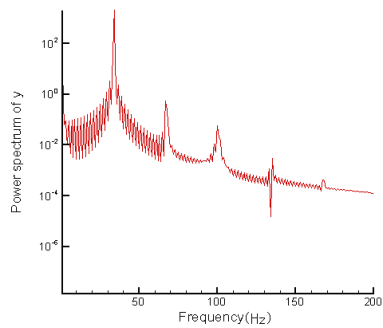
(ج) - ۱-۲۳-۴



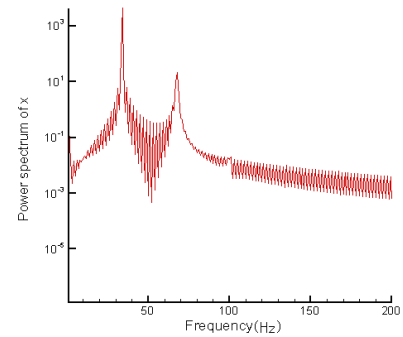
(ب) - ۲-۲۳-۴



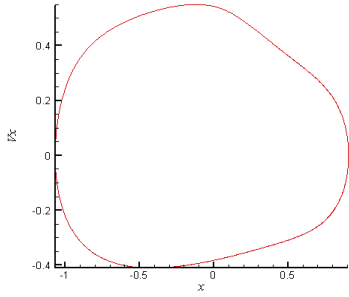
(الف) - ۲-۲۳-۴



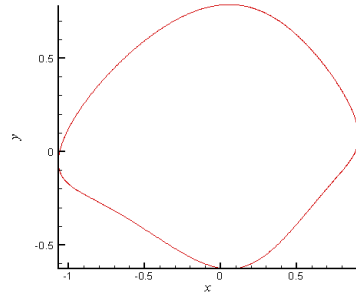
(د) - ۲-۲۳-۴



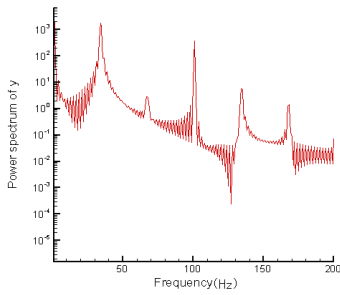
(ج) - ۲-۲۳-۴



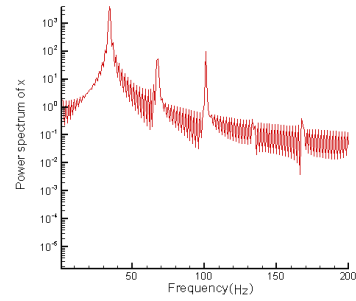
(ب) -۳-۲۳-۴



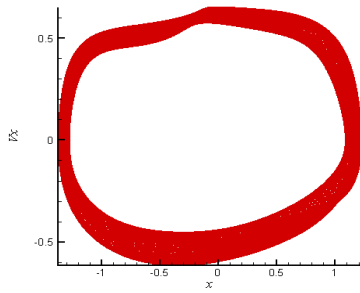
(الف) -۳-۲۳-۴



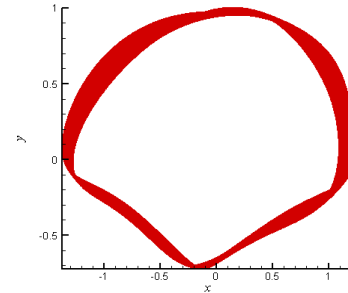
(د) -۳-۲۳-۴



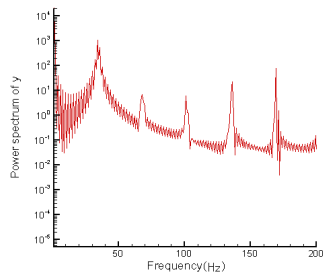
(ج) -۳-۲۳-۴



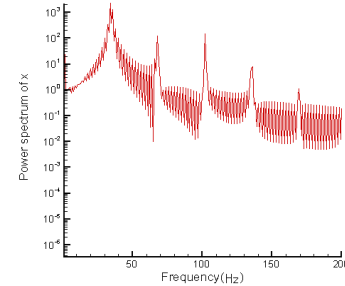
(ب) -۴-۲۳-۴



(الف) -۴-۲۳-۴

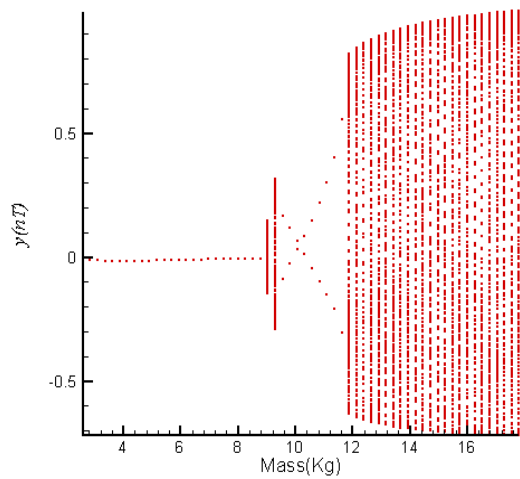


(د) -۴-۲۳-۴

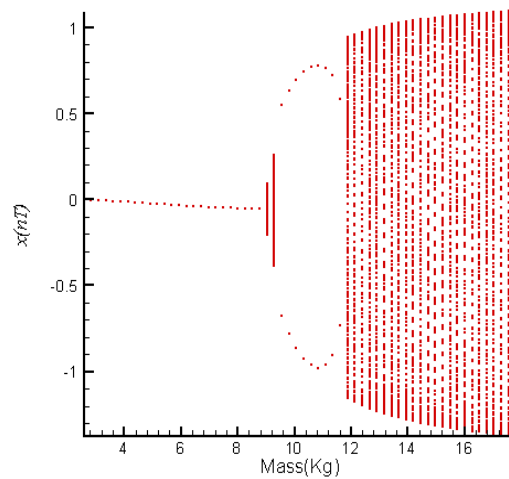


(ج) -۴-۲۳-۴

شکل (۲۳-۴): مدار دینامیکی مرکز محور (الف)، فضای حالت مرکز محور (ب) و طیف توانی آن در راستاهای افقی (ج) و عمودی (د) به ازای $\bar{m}_r = 5/2 kg$ (۱-۲۳-۴)، $\bar{m}_r = 9 kg$ (۲-۲۳-۴)، $\bar{m}_r = 17/6 kg$ (۳-۲۳-۴) و $\bar{m}_r = 17/5 kg$ (۴-۲۳-۴) برای یاتاقان دو-لب تحت شرایط $\lambda = 1, \bar{\rho} = 0.01 mm$



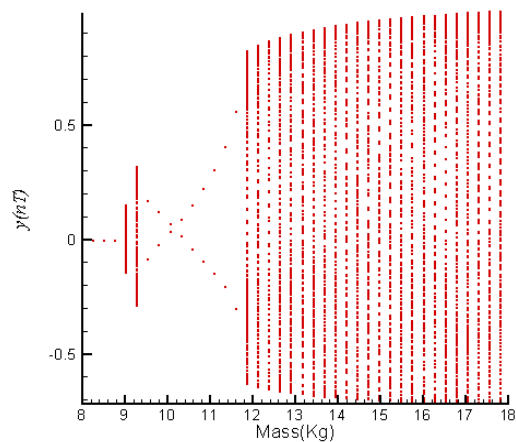
(ب)



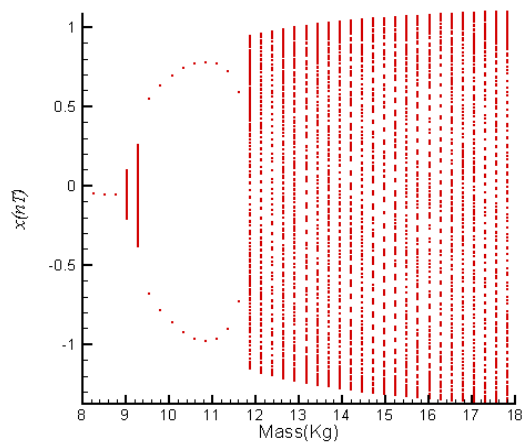
(الف)

شکل (۴-۲۴): دیاگرام دوشاخگی در راستاهای افقی (الف) و عمودی (ب) برای یاتاقان دو-لب تحت شرایط

$$\lambda = 1, \bar{\rho} = 0.001 \text{ mm}$$



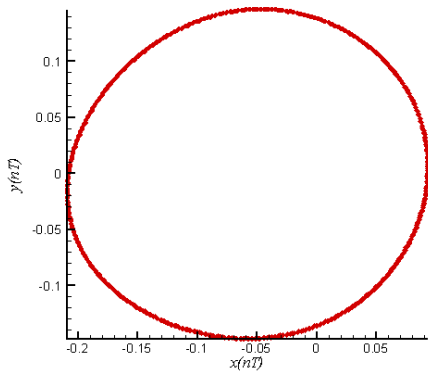
(ب)



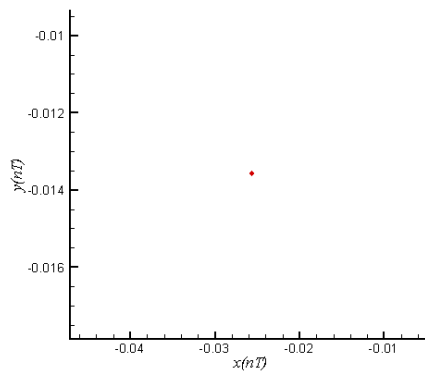
(الف)

شکل (۴-۲۵): دیاگرام دوشاخگی محلی ($\lambda \leq \bar{m}_r \leq 17/\lambda \text{ kg}$) در راستاهای افقی (الف) و عمودی (ب) برای یاتاقان دو-لب

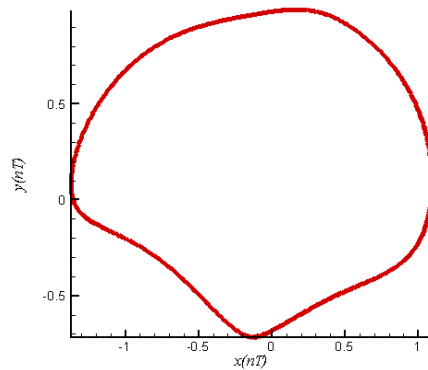
$$\text{تحت شرایط } \lambda = 1, \bar{\rho} = 0.001 \text{ mm}$$



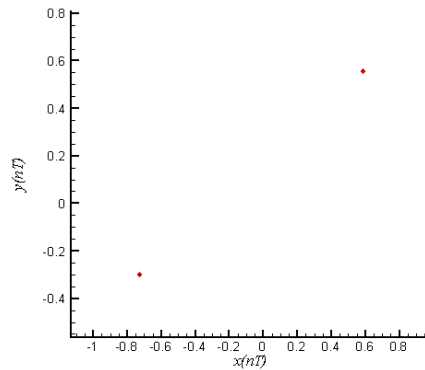
(ب)



(الف)



(د)



(ج)

شکل (۴-۲۶): نگاشت پوانکاره مرکز محور به ازای $\bar{m}_r = 5/2$ (الف)، ۹ (ب)، $11/6$ (ج) و $17/5$ (د) کیلوگرم برای یاتاقان دو-لب تحت شرایط $\lambda = 1, \bar{\rho} = 0.001 \text{ mm}$

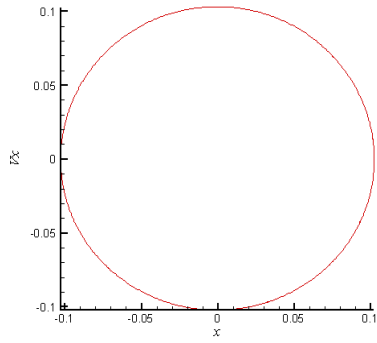
۴-۳-۴ اثر پریلود بر روی رفتار دینامیکی

با در نظر گرفتن بارگذاری خارجی و عدد یاتاقان به ترتیب برابر با $\bar{W} = 5.06/5 \text{ N}$ و $A = 25$ ، همچنین مقدار جرم محور برابر با $\bar{m}_r = 25/8 \text{ kg}$ تاثیر پارامتر پریلود روی رفتار سیستم مورد بررسی قرار می-گیرد.

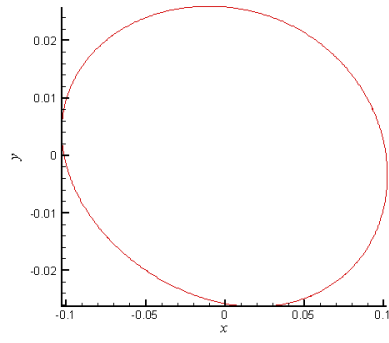
شکل‌های (۴-۲۷-۱ الف، ب) به ترتیب مدارهای دینامیکی و فضای حالت را به ازای مقدار پریلود $\delta = 0/42$ نشان می‌دهند. نتایج حاکی از وقوع رفتار منظم در این مقدار می‌باشد. با افزایش مقدار پریلود به $\delta = 0/516$ بی‌نظمی در رفتار سیستم افزایش می‌یابد. چنین رفتاری در شکل‌های (۴-۲۷-۲ الف،

ب) نشان داده شده است. با افزایش مجدد آن به مقادیر $0/548$ و $0/558$ ، شکل‌های (۴-۲۷-۳-الف، ب) و (۴-۲۷-۴-الف، ب) به ترتیب تکرار وقوع رفتارهای منظم و نامنظم را نشان می‌دهند. طیف‌های توانی در راستاهای افقی و عمودی فرکانس‌های غالب در وقوع رفتار سیستم را در شکل‌های (۴-۲۷-۱-ج، د) الی (۴-۲۷-۴-ج، د) برای مقادیر پریلود مذکور نشان می‌دهند. با مشاهده این شکل‌ها انتظار وقوع رفتارهای تناوبی و شبه تناوبی می‌رود.

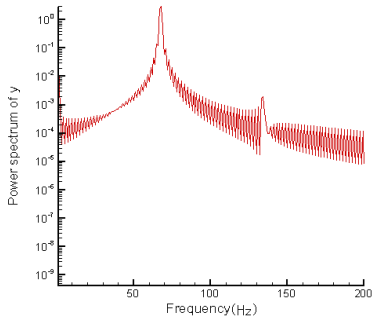
دیاگرام دوشاخگی در شکل‌های (۴-۲۸-الف، ب) تغییرات کیفی که در رفتار سیستم با تغییر پارامتر آن، پریلود، در محدوده $0/56 \leq \delta \leq 0/4$ صورت می‌گیرد را نشان می‌دهد. دیاگرام دوشاخگی محلی در شکل‌های (۴-۲۹-الف، ب) تغییرات را در محدوده $0/56 \leq \delta \leq 0/492$ نشان داده است. مشاهده می‌شود برای مقادیر پریلود کوچکتر از $\delta = 0/5$ سیستم رفتار تناوبی از خود نشان می‌دهد. شکل (۴-۳۰-الف) نگاشت پوانکاره به ازای $\delta = 0/42$ ، وقوع چنین رفتاری را با حضور یک نقطه تنها در این صفحه تایید می‌کند. با افزایش مقدار پریلود و قرارگیری آن در محدوده $0/518 \leq \delta \leq 0/5$ سیستم رفتار شبه تناوبی از خود نشان می‌دهد. نگاشت پوانکاره به ازای مقدار پریلود $\delta = 0/516$ نشان داده شده در شکل (۴-۳۰-ب) وقوع چنین رفتاری با تشکیل یک منحنی بسته در این صفحه تایید می‌کند. کاهش میزان بی‌نظمی و شکل‌گیری رفتار از نوع دو-پریودیکی، در محدوده $0/552 < \delta < 0/518$ صورت می‌گیرد و نگاشت پوانکاره در شکل (۴-۳۰-ج) وقوع چنین رفتاری را با حضور دو نقطه در این صفحه به ازای مقدار پریلود $\delta = 0/548$ نشان می‌دهد. در محدوده $0/56 \leq \delta \leq 0/552$ رفتار شبه تناوبی مشاهده می‌شود و نگاشت پوانکاره چنین رفتاری را به ازای مقدار پریلود $\delta = 0/558$ در شکل (۴-۲۶-د) تایید می‌کند. با افزایش مجدد مقدار پریلود از $\delta = 0/56$ برخورد بین محور و یاتاقان صورت می‌گیرد. لذا می‌توان در این مورد با قراردادن پارامتر سیستم در مقدار مناسب آن از وقوع رفتارهای نامناسب جلوگیری نمود.



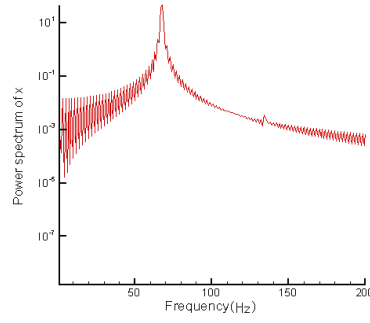
(ب) -۱-۲۷-۴



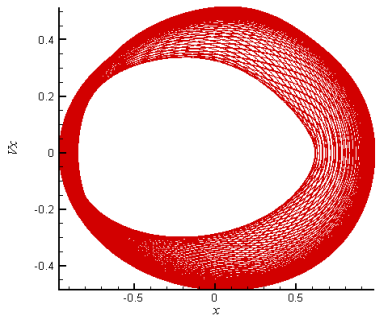
(الف) -۱-۲۷-۴



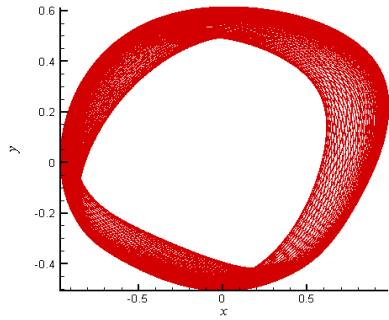
(د) -۱-۲۷-۴



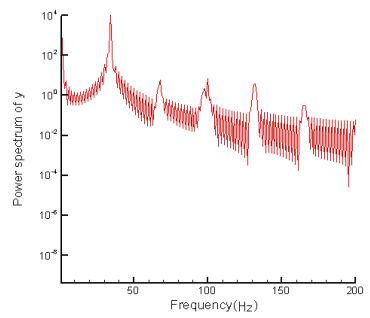
(ج) -۱-۲۷-۴



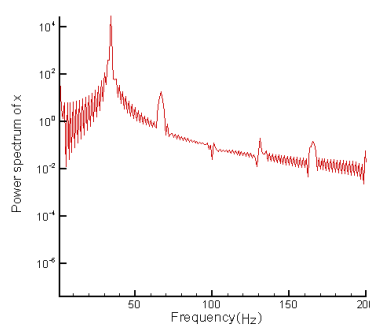
(ب) -۲-۲۷-۴



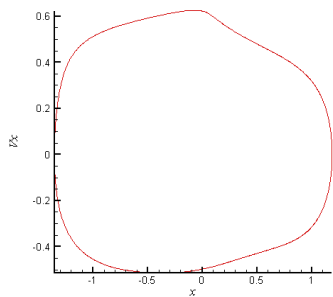
(الف) -۲-۲۷-۴



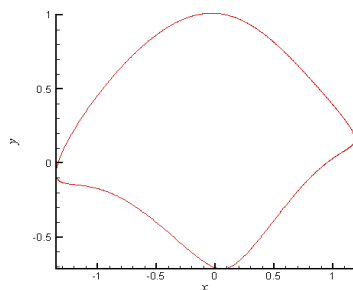
(د) -۲-۲۷-۴



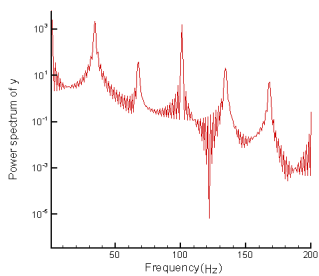
(ج) -۲-۲۷-۴



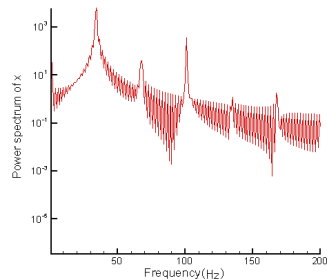
(ب) -۳-۲۷-۴



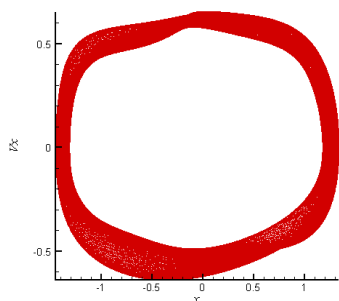
(الف) -۳-۲۷-۴



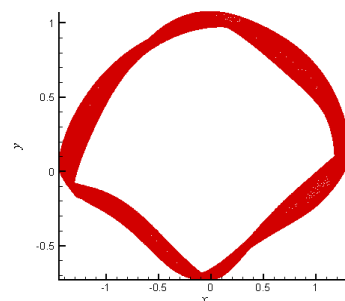
(د) -۳-۲۷-۴



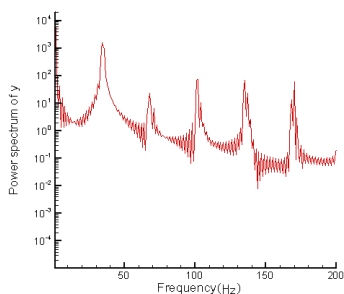
(ج) -۳-۲۷-۴



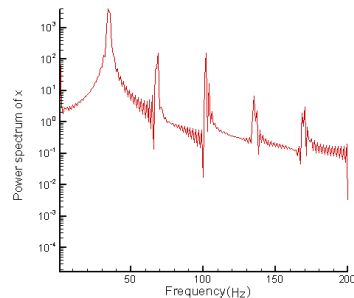
(ب) -۴-۲۷-۴



(الف) -۴-۲۷-۴



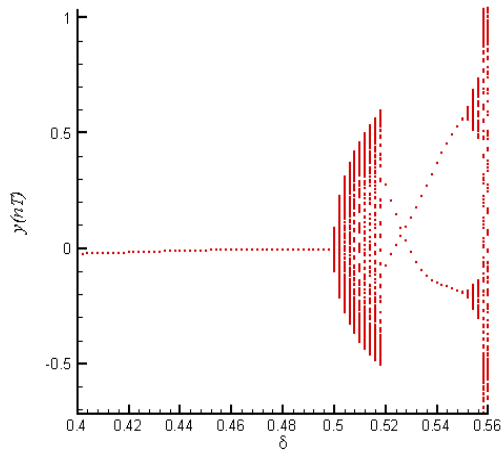
(د) -۴-۲۷-۴



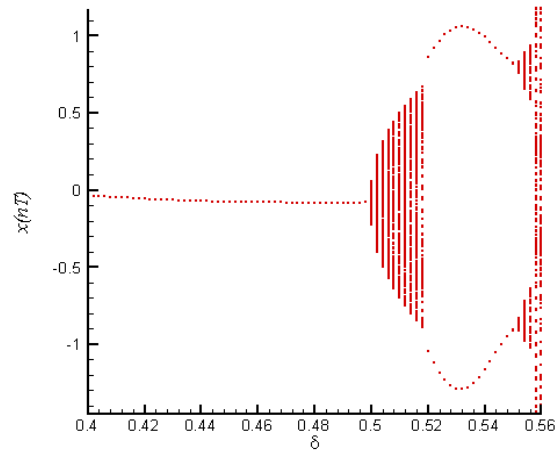
(ج) -۴-۲۷-۴

شکل (۲۷-۴): مدار دینامیکی مرکز محور (الف)، فضای حالت مرکز محور (ب) و طیف توانی آن در راستاهای افقی (ج) و عمودی (د) به ازای $\delta = 0/42$ ، $\delta = 0/516$ ، $\delta = 0/548$ ، $\delta = 0/558$ و $\delta = 0/558$ (۳-۲۷-۴)

(۴) برای یاتاقان دو-لب تحت شرایط $\lambda = 1, \bar{\rho} = 0/001 mm$



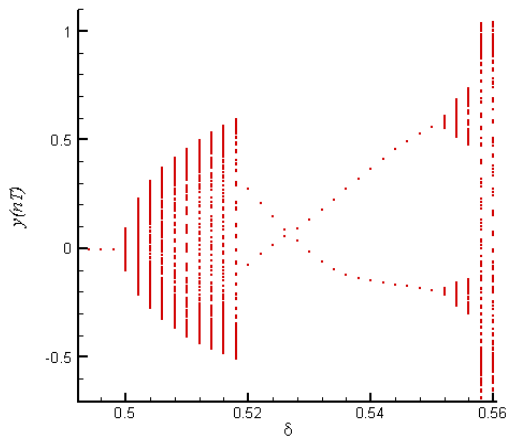
(ب)



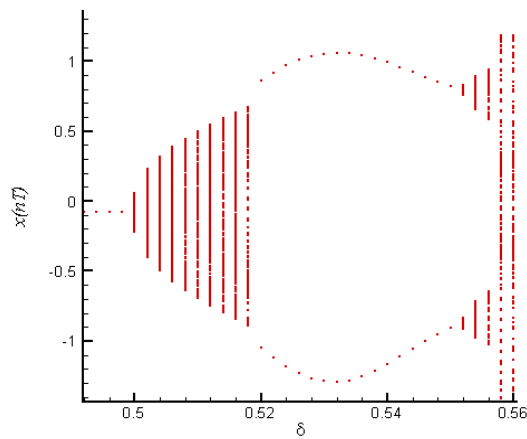
(الف)

شکل (۴-۲۸): دیاگرام دوشاخگی در راستاهای افقی (الف) و عمودی (ب) برای یاتاقان دو-لب تحت شرایط

$$\lambda = 1, \bar{\rho} = 0.001 \text{ mm}$$



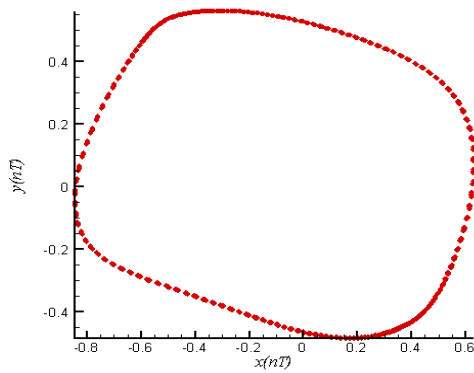
(ب)



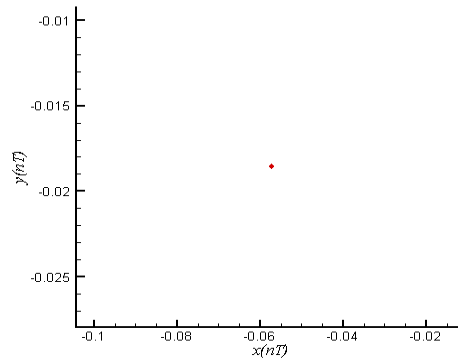
(الف)

شکل (۴-۲۹): دیاگرام دوشاخگی محلی ($0.492 \leq \delta \leq 0.56$) در راستاهای افقی (الف) و عمودی (ب) برای یاتاقان دو-لب

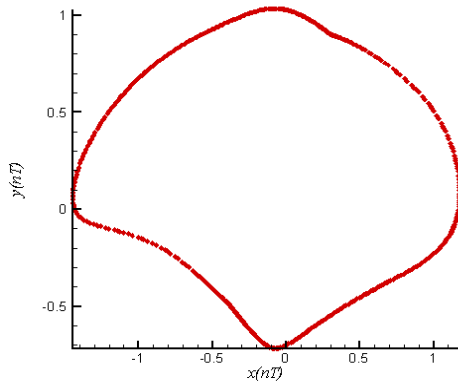
$$\text{تحت شرایط } \lambda = 1, \bar{\rho} = 0.001 \text{ mm}$$



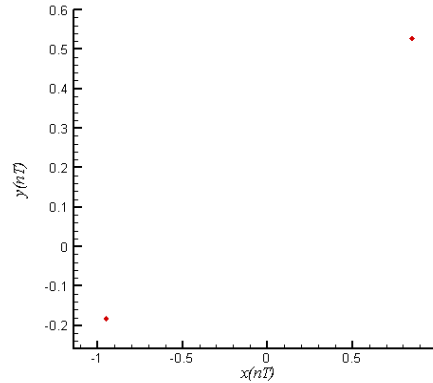
(ب)



(الف)



(د)



(ج)

شکل (۴-۳۰): نگاشت پوانکاره مرکز محور به ازای $\delta = 0/42$ (الف)، $0/516$ (ب)، $0/548$ (ج) و $0/558$ (د) تحت شرایط

$$\lambda = 1, \bar{\rho} = 0/001 \text{ mm}$$

۵-۴ بررسی رفتار دینامیکی با در نظر گرفتن $\lambda = 1/5, \bar{\rho} = 0/001 \text{ mm}$

در این بخش با فرض نابالانسی جرمی محور در حالتی که نسبت طول به قطر یاتاقان $1/5$ باشد، اثرات عدد یاتاقان، جرم محور و پریلود روی رفتار دینامیکی سیستم مورد بررسی قرار می‌گیرد.

۴-۵-۱ اثر عدد یاتاقان بر روی رفتار دینامیکی

با در نظر گرفتن بارگذاری خارجی و جرم محور به ترتیب برابر با $\bar{W} = 506/5 \text{ N}$ و $\bar{m}_r = 25/8 \text{ kg}$ ،

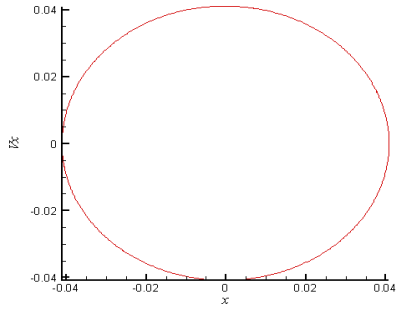
همچنین مقدار پریلود برابر با $\delta = 0/6$ تاثیر عدد یاتاقان روی رفتار سیستم مورد بررسی قرار می‌گیرد.

شکل‌های (۴-۳۱-۱-الف) الی (۴-۳۱-۴-الف) مدارهای دینامیکی را به ازای مقادیر مختلف عدد یاتاقان نشان می‌دهند. رفتار منظم به ازای مقادیر عدد یاتاقان ۱۰ و ۱۵ نشان داده شده است. اما با افزایش مقدار عدد یاتاقان به $A = 20$ پایداری در رفتار منظم کاهش می‌یابد. چنین رفتار نامنظمی به ازای $A = 25$ نیز صورت می‌گیرد.

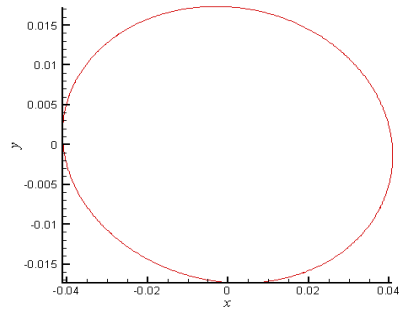
از شکل‌های (۴-۳۱-۱-ب) الی (۴-۳۱-۴-ب) مشاهده می‌شود که فضای حالت به ازای مقادیر عدد یاتاقان ۱۰ و ۱۵ منظم است و با افزایش آن به مقادیر ۲۰ و ۲۵ نامنظم می‌شود.

شکل‌های (۴-۳۱-۱-ج، د) الی (۴-۳۱-۴-ج، د) طیف‌های توانی را در راستاهای افقی و عمودی برای اعداد یاتاقان مذکور نشان می‌دهند. فرکانس‌های غالب در وقوع رفتار سیستم در این شکل‌ها مشخص است. با مشاهده این شکل‌ها انتظار وقوع رفتارهای تناوبی در اعداد یاتاقان ۱۰ و ۱۵ و شبه تناوبی در اعداد یاتاقان ۲۰ و ۲۵ است.

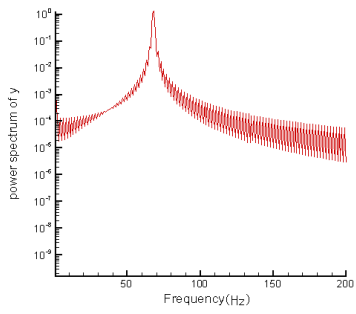
دیاگرام دوشاخگی در شکل‌های (۴-۳۲-الف، ب) تغییرات کیفی که در رفتار سیستم با تغییر مقدار پارامتر آن، عدد یاتاقان، در محدوده $15 \leq A \leq 25/2$ صورت می‌گیرد را نشان می‌دهد. دیاگرام دوشاخگی محلی در شکل‌های (۴-۳۳-الف، ب) تغییرات را در محدوده $16 \leq A \leq 25/2$ نشان داده است. مشاهده می‌شود که برای اعداد یاتاقان کوچکتر از $A = 16/4$ سیستم رفتار تناوبی از خود نشان می‌دهد. شکل‌های (۴-۳۴-الف، ب) نگاشت پوانکاره به ازای اعداد یاتاقان ۱۰ و ۱۵ وقوع چنین رفتاری را تایید می‌کند. با افزایش عدد یاتاقان و قرارگیری آن در محدوده $16/4 \leq A \leq 25/2$ سیستم رفتار شبه تناوبی از خود نشان می‌دهد. نگاشت‌های پوانکاره در اعداد یاتاقان ۲۰ و ۲۵ نشان داده شده در شکل‌های (۴-۳۴-ج، د) وقوع چنین رفتاری را با تشکیل یک منحنی بسته در این صفحه تایید می‌کند. با افزایش مجدد عدد یاتاقان از مقدار $A = 25/2$ برخورد بین محور و یاتاقان صورت می‌گیرد. لذا می‌توان در این مورد با قراردادن پارامتر سیستم در مقدار مناسب آن از وقوع رفتارهای نامناسب جلوگیری نمود.



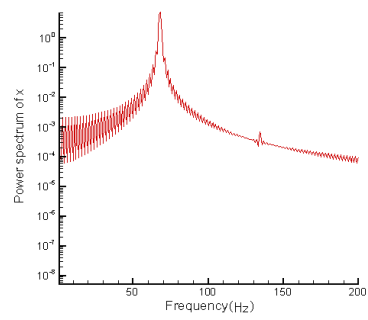
(ب) - ۱-۳۱-۴



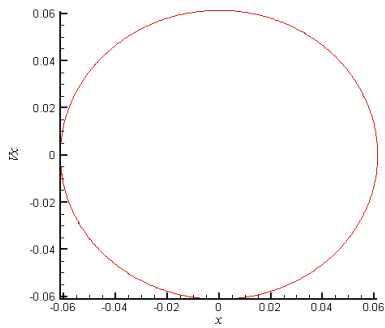
(الف) - ۱-۳۱-۴



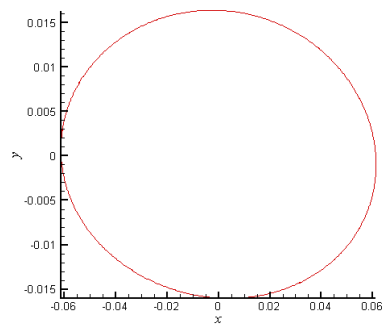
(د) - ۱-۳۱-۴



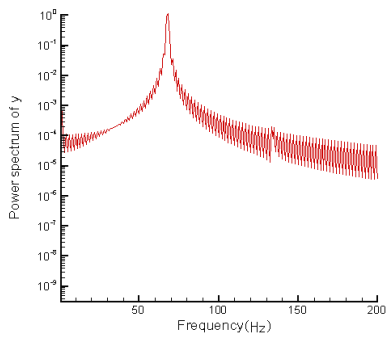
(ج) - ۱-۳۱-۴



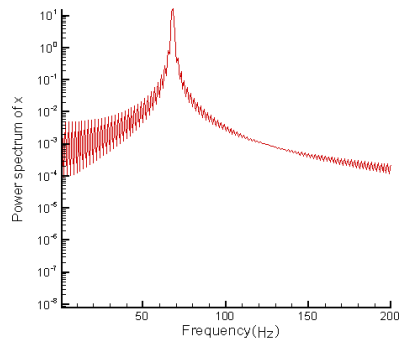
(ب) - ۲-۳۱-۴



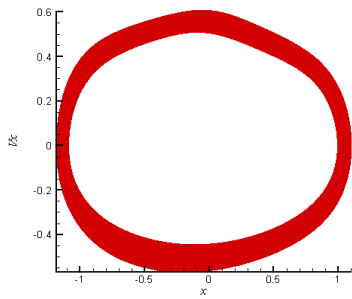
(الف) - ۲-۳۱-۴



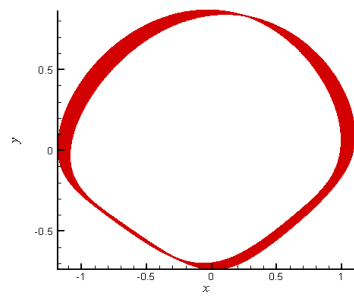
(د) - ۲-۳۱-۴



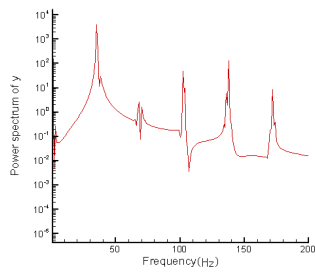
(ج) - ۲-۳۱-۴



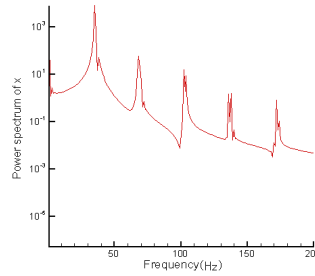
(ب) -۳-۳۱-۴



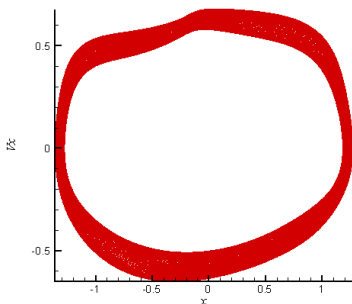
(الف) -۳-۳۱-۴



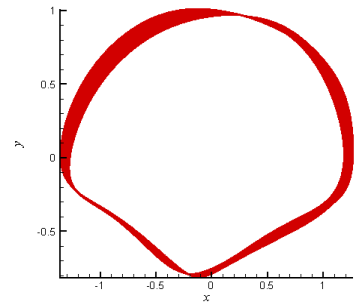
(د) -۳-۳۱-۴



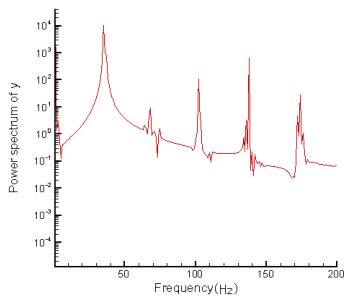
(ج) -۳-۳۱-۴



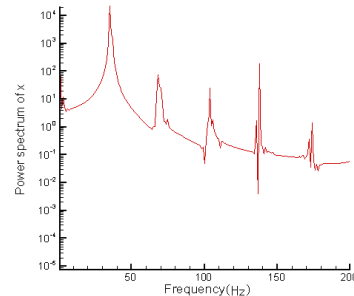
(ب) -۴-۳۱-۴



(الف) -۴-۳۱-۴



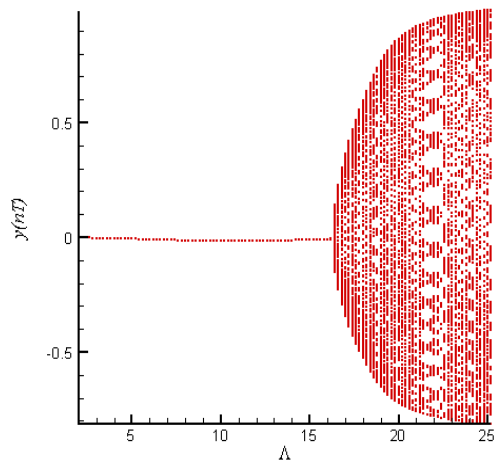
(د) -۴-۳۱-۴



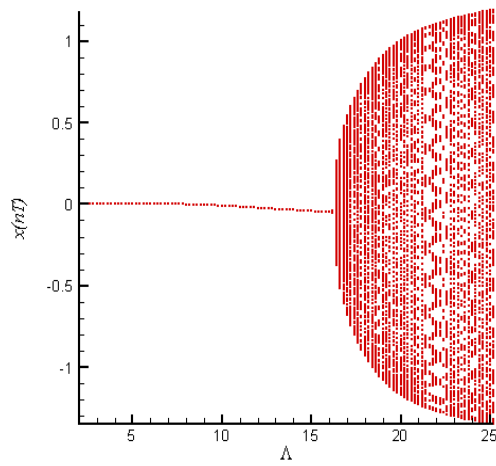
(ج) -۴-۳۱-۴

شکل (۳۱-۴): مدار دینامیکی مرکز محور (الف)، فضای حالت مرکز محور (ب) و طیف توانی آن در راستاهای افقی (ج) و عمودی (د) به ازای $A=10$ ، $A=15$ ، $A=20$ ، $A=25$ و $A=25$ برای یاتاقان

دو-لب تحت شرایط $\lambda=1/5$, $\bar{\rho}=0/001 mm$



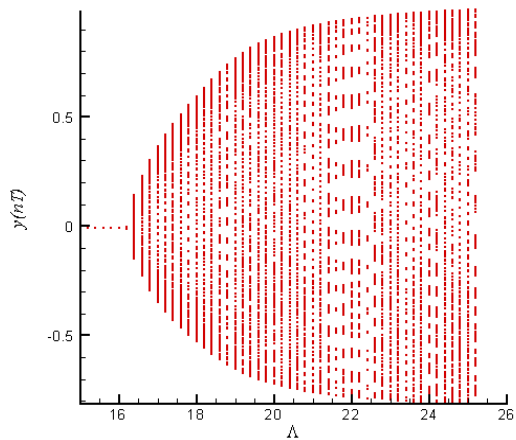
(ب)



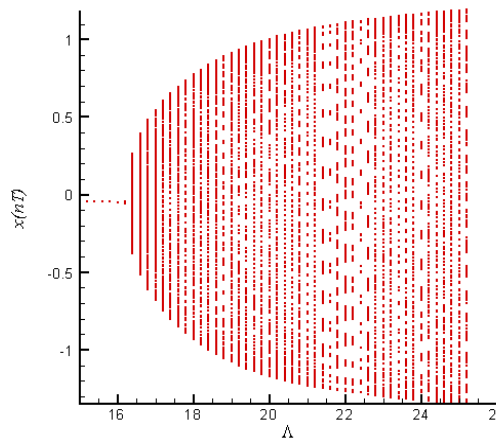
(الف)

شکل (۴-۳۲): دیاگرام دوشاخگی در راستاهای افقی (الف) و عمودی (ب) برای یاتاقان دو-لب تحت شرایط

$$\lambda = 1/\Delta, \bar{\rho} = 0.001 \text{ mm}$$



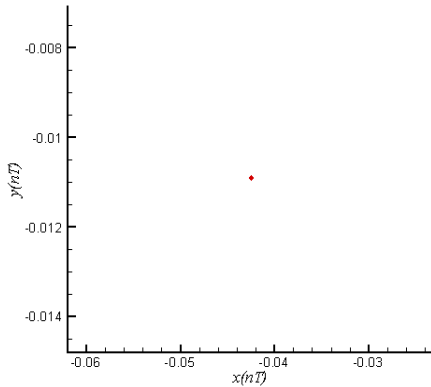
(ب)



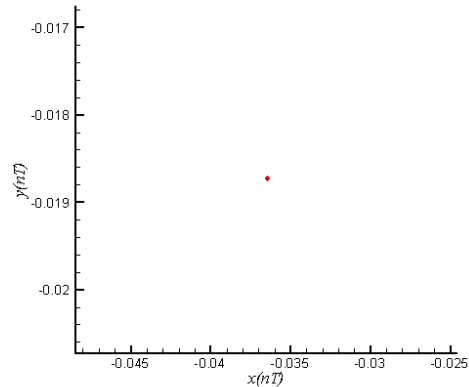
(الف)

شکل (۴-۳۳): دیاگرام دوشاخگی محلی ($16 \leq \Lambda \leq 25/2$) در راستاهای افقی (الف) و عمودی (ب) برای یاتاقان دو-لب

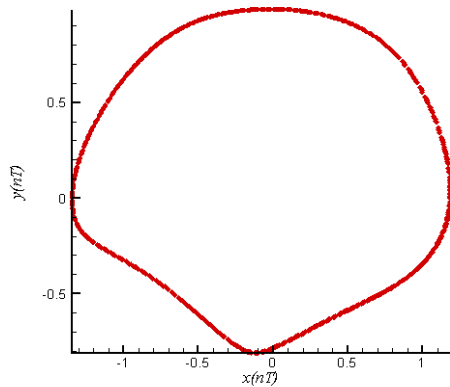
تحت شرایط $\lambda = 1/\Delta, \bar{\rho} = 0.001 \text{ mm}$



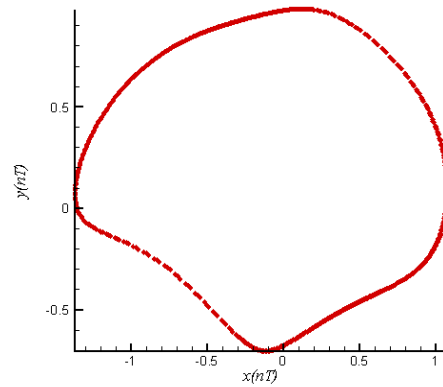
(ب)



(الف)



(د)



(ج)

شکل (۴-۳۴): نگاشت پوانکاره مرکز محور به ازای $A = 10$ (الف)، ۱۵ (ب)، ۲۰ (ج) و ۲۵ (د) برای یاتاقان دو-لب تحت شرایط $\lambda = 1/5, \bar{\rho} = 0.001 \text{ mm}$

۴-۵-۲ اثر جرم محور بر روی رفتار دینامیکی

با در نظر گرفتن بارگذاری خارجی و عدد یاتاقان به ترتیب برابر با $\bar{W} = 5.06/5 \text{ N}$ و $A = 25$ ، همچنین

مقدار پریلود برابر با $\delta = 0/6$ تاثیر جرم محور روی رفتار سیستم مورد بررسی قرار می‌گیرد.

شکل‌های (۴-۳۵-۱-الف) الی (۴-۳۵-۴-الف) مدارهای دینامیکی را به ازای مقادیر مختلف جرم محور

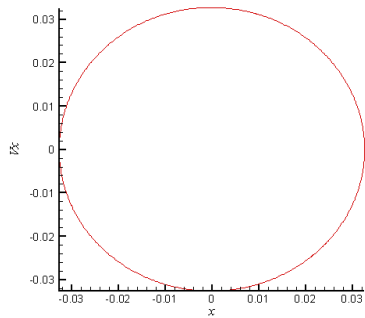
نشان می‌دهند. رفتار منظم به ازای مقادیر جرم محور $5/2$ و $10/33$ کیلوگرم نشان داده شده است. اما با

افزایش مقدار جرم محور به $\bar{m}_r = 15/5 kg$ پایداری در رفتار منظم کاهش می‌یابد. چنین رفتار نامنظمی به ازای $\bar{m}_r = 20/66 kg$ نیز صورت می‌گیرد.

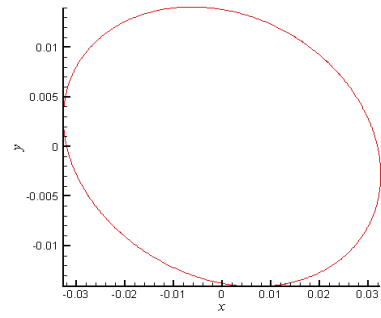
از شکل‌های (۴-۳۹-۱) ب) الی (۴-۳۹-۴) ب) مشاهده می‌شود که فضای حالت به ازای مقادیر جرم محور $5/2$ و $10/33$ کیلوگرم منظم است و با افزایش آن به مقادیر $15/5$ و $20/66$ کیلوگرم نامنظم می‌شود.

شکل‌های (۴-۳۵-۱) ج، د) الی (۴-۳۵-۴) ج، د) طیف‌های توانی را در راستاهای افقی و عمودی برای جرم‌های مذکور نشان می‌دهند. فرکانس‌های غالب در وقوع رفتار سیستم در این شکل‌ها مشخص است. با مشاهده این شکل‌ها انتظار وقوع رفتارهای تناوبی برای مقادیر جرم‌های محور $5/2$ و $10/33$ کیلوگرم و شبه تناوبی برای مقادیر جرم‌های محور $15/5$ و $20/66$ کیلوگرم می‌رود.

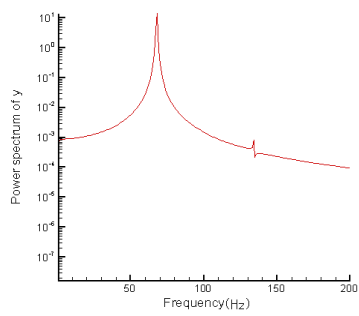
دیاگرام دوشاخگی در شکل‌های (۴-۳۶-الف، ب) تغییرات کیفی که در رفتار سیستم با تغییر مقدار پارامتر آن، جرم محور، در محدوده $2/8 \leq \bar{m}_r \leq 26/6 kg$ صورت می‌گیرد را نشان می‌دهد. دیاگرام دوشاخگی محلی در شکل‌های (۴-۳۷-الف، ب) تغییرات را در محدوده $10 \leq \bar{m}_r \leq 26/6 kg$ نشان داده است. مشاهده می‌شود برای جرم‌های محور کوچکتر از $17/1 kg$ $\bar{m}_r = 17/1 kg$ سیستم رفتار تناوبی از خود نشان می‌دهد. شکل‌های (۴-۳۸-الف، ب) نگاشت پوانکاره به ازای جرم‌های محور $5/2$ و $10/33$ کیلوگرم، وقوع چنین رفتاری را با حضور یک نقطه تنها در این صفحه تایید می‌کند. با افزایش جرم محور و قرارگیری آن در محدوده $17/1 \leq \bar{m}_r \leq 26/6 kg$ سیستم رفتار شبه تناوبی از خود نشان می‌دهد. نگاشت‌های پوانکاره به ازای جرم‌های محور $15/5$ و $20/66$ کیلوگرم نشان داده شده در شکل‌های (۴-۳۸-ب، ج) وقوع چنین رفتاری را با تشکیل یک منحنی بسته در این صفحه تایید می‌کند. با افزایش مجدد جرم محور از مقدار $\bar{m}_r = 26/6 kg$ برخورد بین محور و یاتاقان صورت می‌گیرد. لذا می‌توان در این مورد با قراردادن پارامتر سیستم در مقدار مناسب آن از وقوع رفتارهای نامناسب جلوگیری نمود.



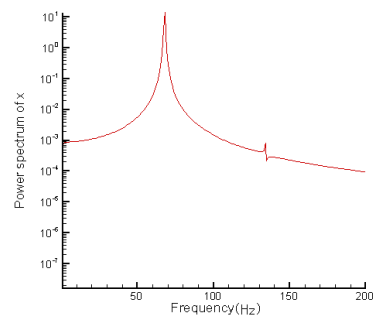
(ب) - ۱-۳۵-۴



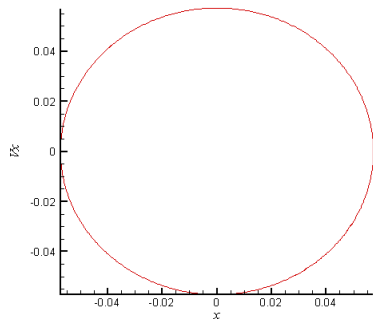
(الف) - ۱-۳۵-۴



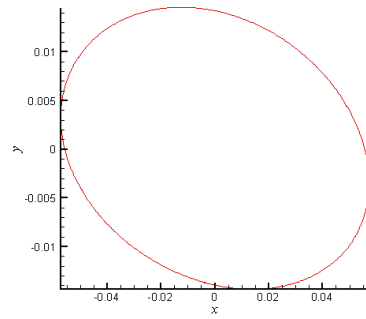
(د) - ۱-۳۵-۴



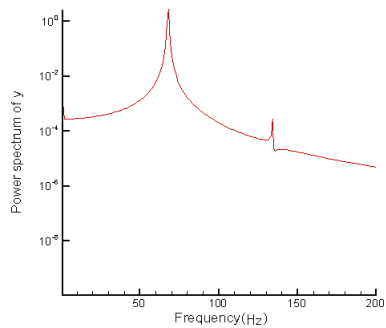
(ج) - ۱-۳۵-۴



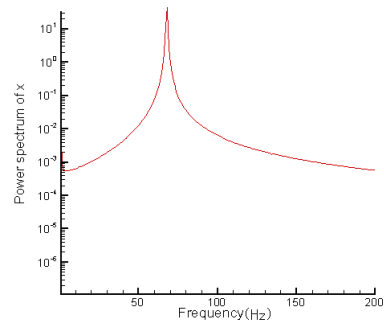
(ب) - ۲-۳۵-۴



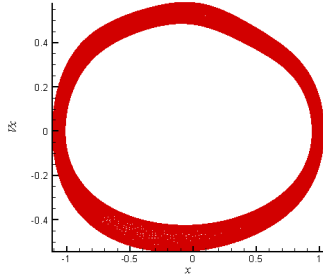
(الف) - ۲-۳۵-۴



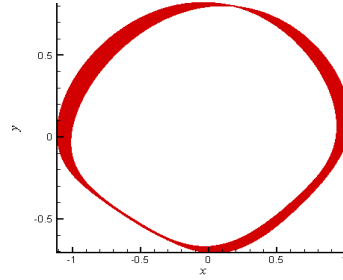
(د) - ۲-۳۵-۴



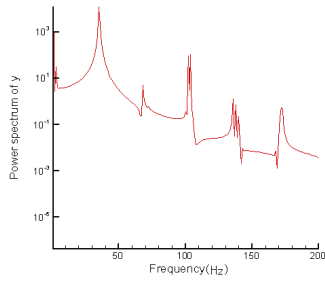
(ج) - ۲-۳۵-۴



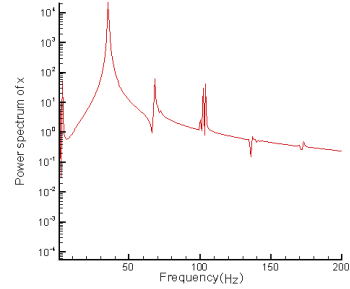
(ب) -۳-۳۵-۴



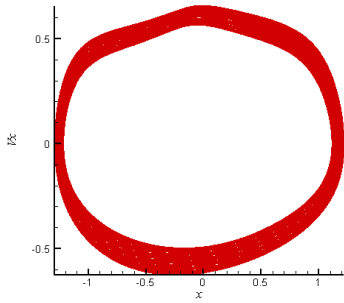
(الف) -۳-۳۵-۴



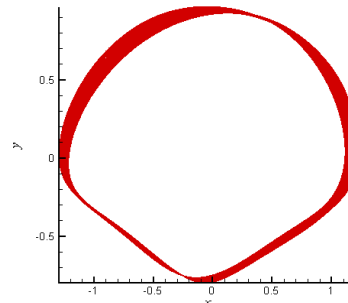
(د) -۳-۳۵-۴



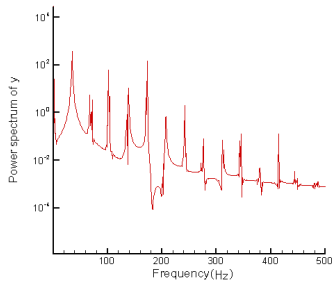
(ج) -۳-۳۵-۴



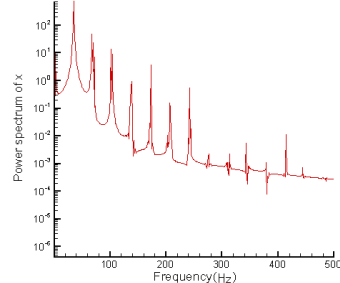
(ب) -۴-۳۵-۴



(الف) -۴-۳۵-۴



(د) -۴-۳۵-۴

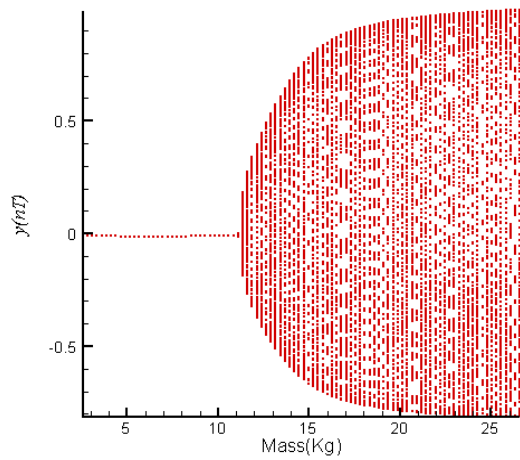


(ج) -۴-۳۵-۴

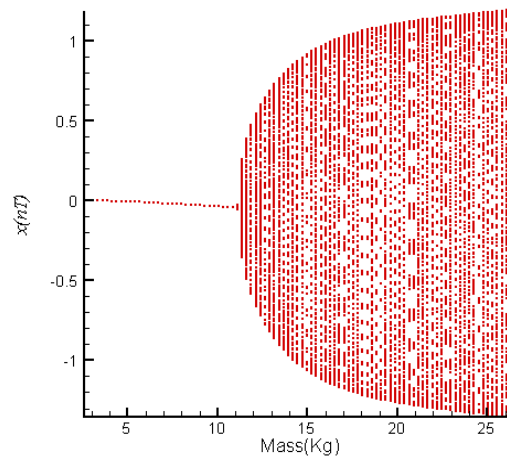
شکل (۳۵-۴): مدار دینامیکی مرکز محور (الف)، فضای حالت مرکز محور (ب) و طیف توانی آن در راستاهای افقی (ج) و

عمودی (د) به ازای $\bar{m}_r = 5/2 kg$ ، $(1-35-4)$ ، $\bar{m}_r = 10/33 kg$ ، $(2-35-4)$ ، $\bar{m}_r = 15/5 kg$ ، $(3-35-4)$ و

$\lambda = 1/5$ ، $\bar{\rho} = 0/001 mm$ برای یاتاقان دو-لب تحت شرایط



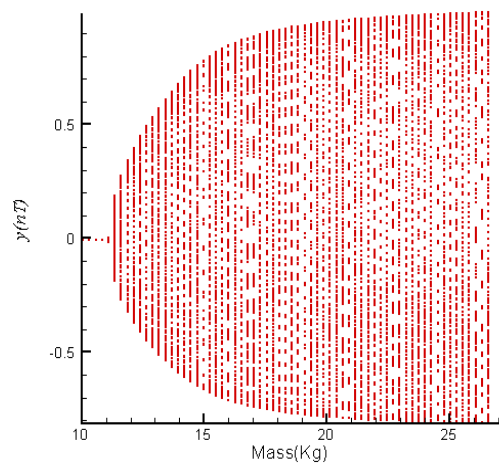
(ب)



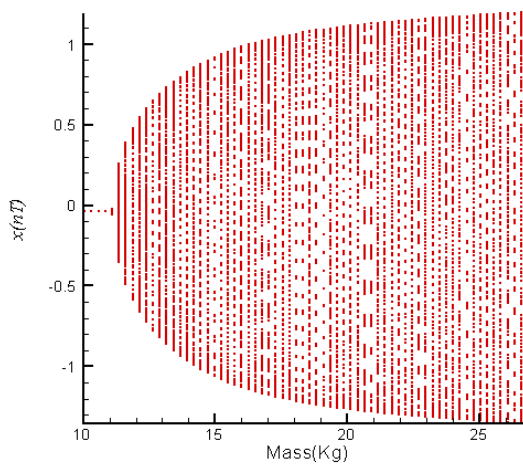
(الف)

شکل (۴-۳۶): دیاگرام دوشاخگی در راستاهای افقی (الف) و عمودی (ب) برای یاتاقان دو-لب تحت شرایط

$$\lambda = 1/5, \bar{\rho} = 0.001 \text{ mm}$$



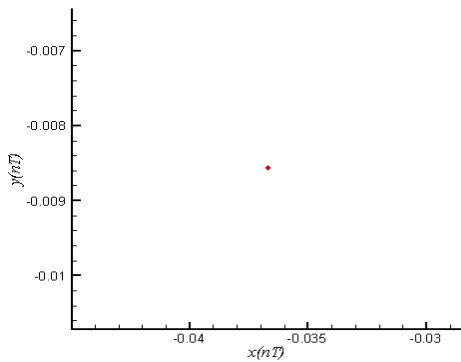
(ب)



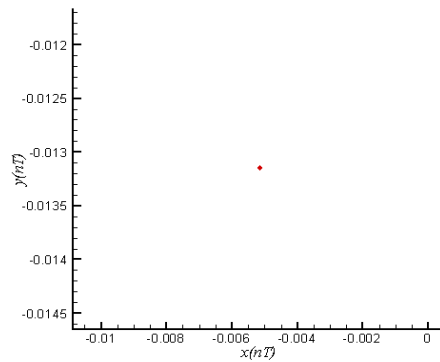
(الف)

شکل (۴-۳۷): دیاگرام دوشاخگی محلی ($10 \leq \bar{m}_r \leq 26/6 \text{ kg}$) در راستاهای افقی (الف) و عمودی (ب) برای یاتاقان دو-لب

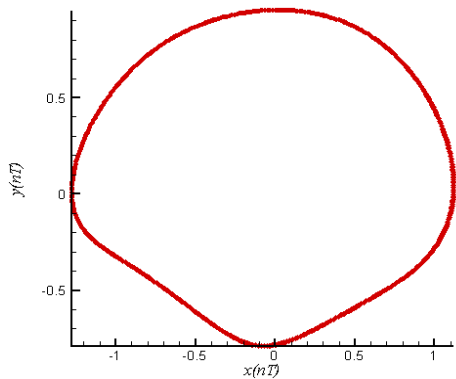
تحت شرایط $\lambda = 1/5, \bar{\rho} = 0.001 \text{ mm}$



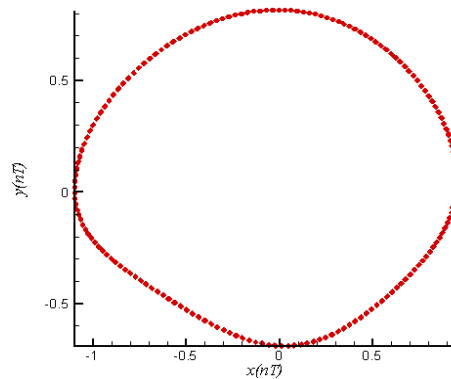
(ب)



(الف)



(د)



(ج)

شکل (۴-۳۸): نگاشت پوانکاره مرکز محور به ازای $\bar{m}_r = 5/2$ (الف)، $10/33$ (ب)، $15/5$ (ج) و $20/66$ (د) کیلوگرم برای یاتاقان دو-لب تحت شرایط $\lambda = 1/5, \bar{\rho} = 0/001 mm$

۴-۵-۳ اثر پریلود بر روی رفتار دینامیکی

با در نظر گرفتن بارگذاری خارجی و عدد یاتاقان به ترتیب برابر با $\bar{W} = 506/5 N$ و $A = 25$ ، همچنین مقدار جرم محور برابر با $\bar{m}_r = 25/8 kg$ تاثیر پارامتر پریلود روی رفتار سیستم مورد بررسی قرار می-گیرد.

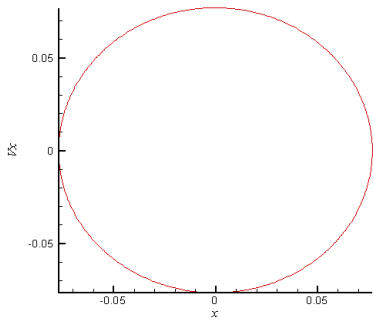
شکل‌های (۴-۳۹-۱) الف) الی (۴-۳۹-۴) الف) مدارهای دینامیکی را به ازای مقادیر مختلف پریلود نشان می‌دهند. رفتار منظم به ازای مقادیر پریلود $0/45$ و $0/5$ نشان داده شده است. اما با افزایش مقدار

پریلود به $\delta = 0/55$ پایداری در رفتار منظم کاهش می‌یابد. چنین رفتار نامنظمی به‌ازای $\delta = 0/6$ نیز صورت می‌گیرد.

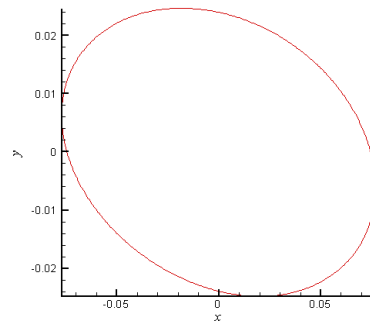
از شکل‌های (۴-۳۹-۱) ب) الی (۴-۳۹-۴) ب) مشاهده می‌شود که فضای حالت به ازای مقادیر پریلود $0/45$ و $0/5$ منظم است و با افزایش آن به مقادیر $0/55$ و $0/6$ نامنظم می‌شود.

شکل‌های (۴-۳۹-۱) ج، د) الی (۴-۳۹-۴) ج، د) طیف‌های توانی را در راستاهای افقی و عمودی برای مقادیر پریلود مذکور نشان می‌دهند. فرکانس‌های غالب در وقوع رفتار سیستم در این شکل‌ها مشخص است. با مشاهده این شکل‌ها انتظار وقوع رفتارهای تناوبی به ازای مقادیر پریلود $0/45$ و $0/5$ و شبه تناوبی به ازای مقادیر پریلود $0/55$ و $0/6$ می‌رود.

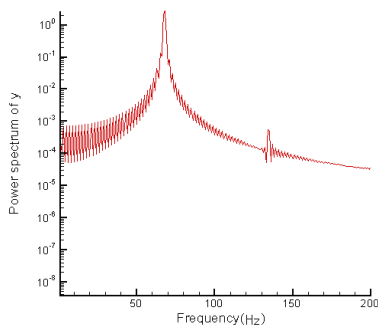
دیاگرام دوشاخگی در شکل‌های (۴-۴۰-الف، ب) تغییرات کیفی که در رفتار سیستم با تغییر مقدار پارامتر آن، پریلود، در محدوده $0/4 \leq \delta \leq 0/602$ صورت می‌گیرد، نشان می‌دهد. دیاگرام دوشاخگی محلی در شکل‌های (۴-۴۱-الف، ب) تغییرات را در محدوده $0/602 \leq \delta \leq 0/51$ نشان داده است. مشاهده می‌شود برای مقادیر پریلود کوچکتر از $\delta = 0/522$ سیستم رفتار تناوبی از خود نشان می‌دهد. شکل‌های (۴-۴۲-الف، ب) نگاشت پوانکاره به ازای مقادیر پریلود $0/45$ و $0/5$ ، وقوع چنین رفتاری را با حضور یک نقطه تنها در این صفحه تایید می‌کند. با افزایش مقدار پریلود و قرارگیری آن در محدوده $0/602 \leq \delta \leq 0/522$ سیستم رفتار شبه تناوبی از خود نشان می‌دهد. نگاشت پوانکاره به ازای مقادیر پریلود $0/55$ و $0/6$ نشان داده شده در شکل‌های (۴-۴۲-ج، د) وقوع چنین رفتاری را با تشکیل یک منحنی بسته در این صفحه تایید می‌کند. با افزایش مجدد مقدار پریلود از $\delta = 0/602$ برخورد بین محور و یاتاقان صورت می‌گیرد. لذا می‌توان در این مورد با قراردادن پارامتر سیستم در مقدار مناسب آن از وقوع رفتارهای نامناسب جلوگیری نمود.



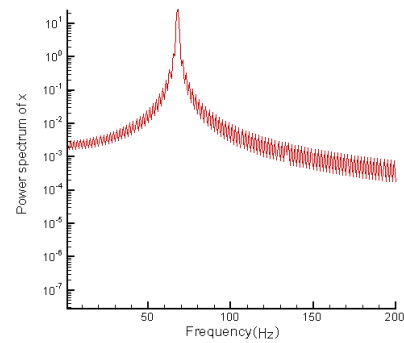
(ب) - ۱-۳۹-۴



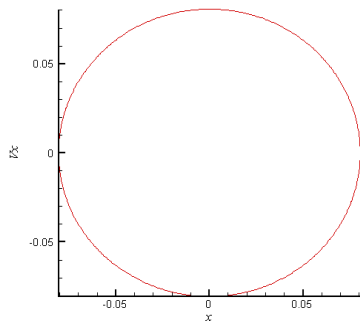
(الف) - ۱-۳۹-۴



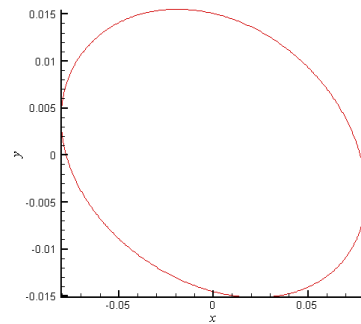
(د) - ۱-۳۹-۴



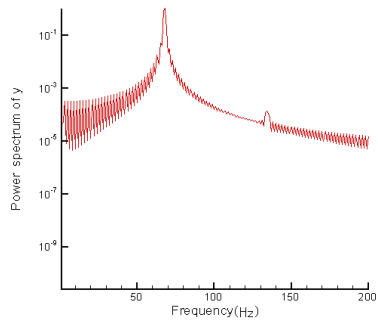
(ج) - ۱-۳۹-۴



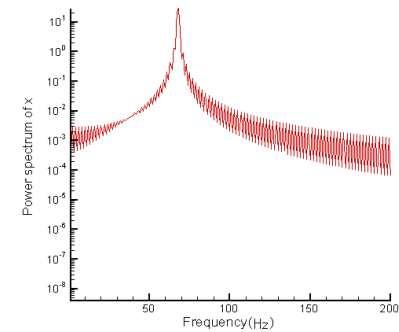
(ب) - ۲-۳۹-۴



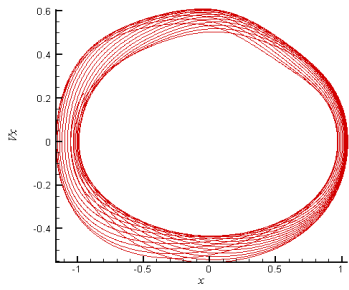
(الف) - ۲-۳۹-۴



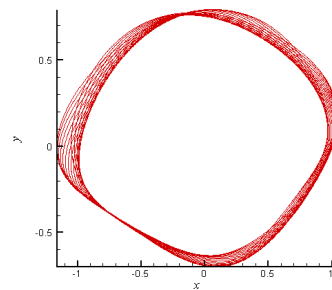
(د) - ۲-۳۹-۴



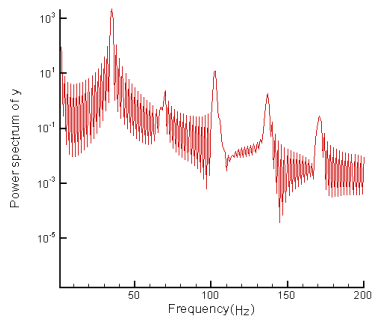
(ج) - ۲-۳۹-۴



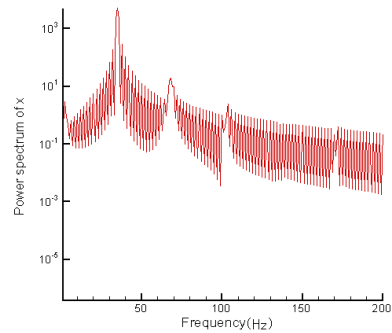
(ب) -۳-۳۹-۴



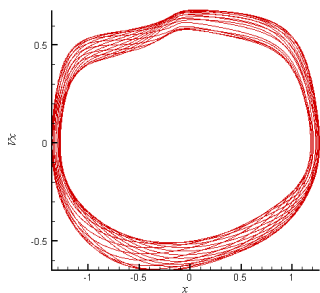
(الف) -۳-۳۹-۴



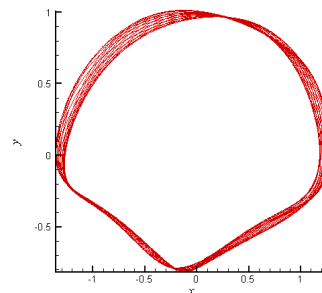
(د) -۳-۳۹-۴



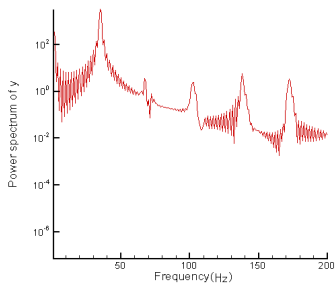
(ج) -۳-۳۹-۴



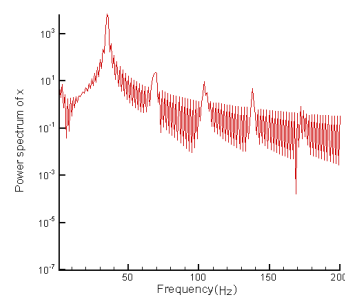
(ب) -۴-۳۹-۴



(الف) -۴-۳۹-۴

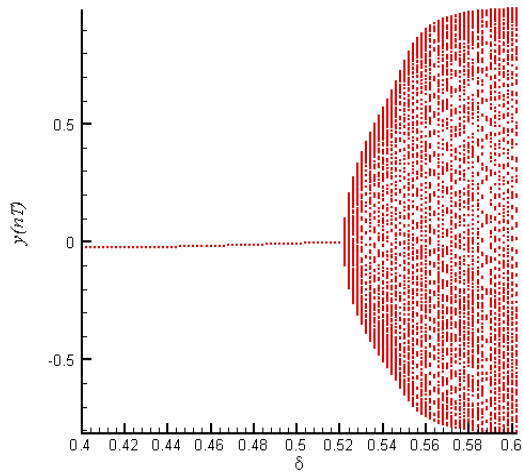


(د) -۴-۳۹-۴

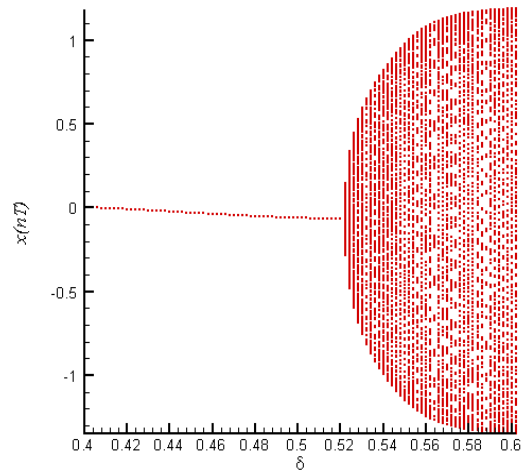


(ج) -۴-۳۹-۴

شکل (۳۹-۴): مدار دینامیکی مرکز محور (الف)، فضای حالت مرکز محور (ب) و طیف توانی آن در راستاهای افقی (ج) و عمودی (د) به ازای $\delta = 0.45$ (۱-۳۹-۴)، $\delta = 0.5$ (۲-۳۹-۴)، $\delta = 0.55$ (۳-۳۹-۴) و $\delta = 0.6$ (۴-۳۹-۴) برای پاتاقان دو-لب تحت شرایط $\lambda = 1/5, \bar{\rho} = 0.001 \text{ mm}$



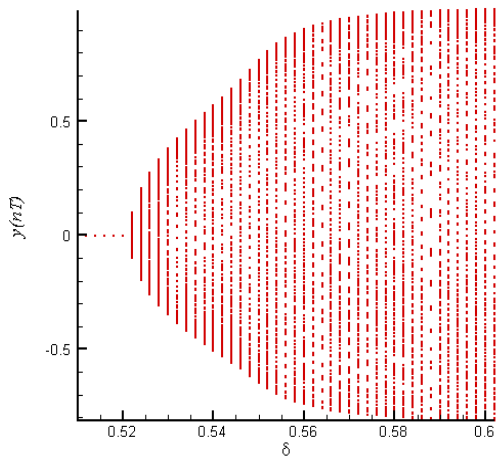
(ب)



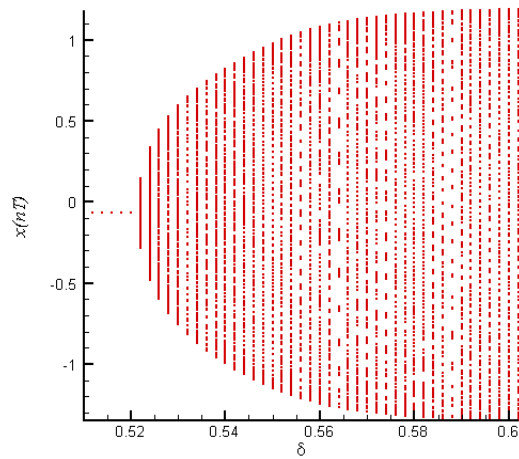
(الف)

شکل (۴-۴۰): دیاگرام دوشاخگی در راستاهای افقی (الف) و عمودی (ب) برای یاتاقان دو-لب تحت شرایط

$$\lambda = 1/\delta, \bar{\rho} = 0.001 \text{ mm}$$



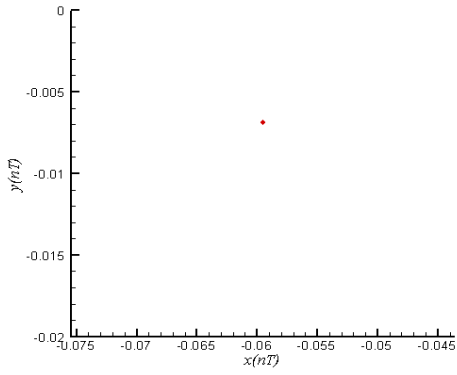
(ب)



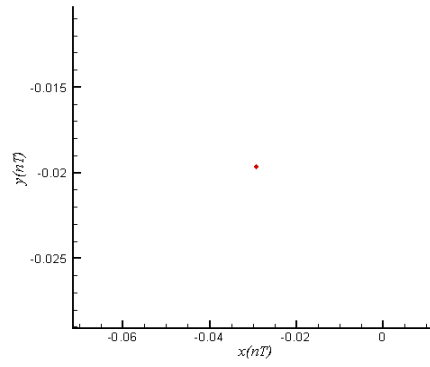
(الف)

شکل (۴-۴۱): دیاگرام دوشاخگی محلی ($0.51 \leq \delta \leq 0.62$) در راستاهای افقی (الف) و عمودی (ب) برای یاتاقان دو-

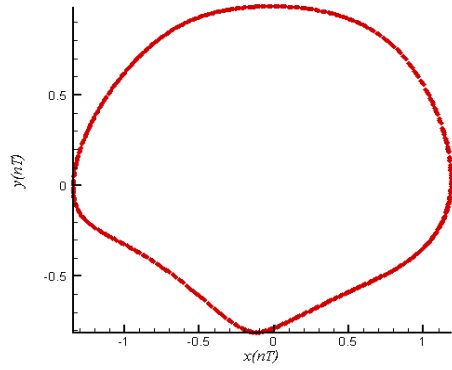
لب تحت شرایط $\lambda = 1/\delta, \bar{\rho} = 0.001 \text{ mm}$



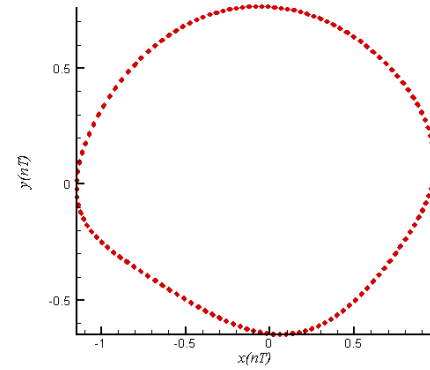
(ب)



(الف)



(د)



(ج)

شکل (۴-۴): نگاشت پوانکاره مرکز محور به از $\delta = 0.45$ (الف)، 0.5 (ب)، 0.55 (ج) و 0.6 (د) برای یاتاقان دو-لب تحت

$$\text{شرایط } \lambda = 1/5, \bar{\rho} = 0.01 \text{ mm}$$

فصل پنجم

ارائه نتایج و بررسی رفتارهای دینامیکی در سیستم یاتاقان گازی غیرمدور سه-لب

۱-۵ مقدمه

در این فصل با توجه به الگوریتم ارائه شده در فصل سوم رفتار سیستم در حالتی که محور روی دو یاتاقان گازی غیرمدور سه-لب نگهداری می‌شود، مورد بررسی قرار می‌گیرد. اطلاعات بکارگرفته شده در این بررسی عبارتند از [۱۰۰، ۱۰۵]:

$$\bar{\mu} = 1/8 \times 10^{-5} \text{ kg/ms} \text{ لزجت روانکار}, \bar{C} = 3 \times 10^{-5} \text{ m} \text{ لقی شعاعی}, \bar{R} = 0/05 \text{ m} \text{ شعاع محور}$$

در بخش‌های (۲-۵) و (۳-۵) نتایج برای حالتی که سیستم به طور کامل بالانس باشد به ترتیب برای نسبت طول به قطرهای ۱ ([۵۸-۵۶] و [۲۲-۲۶]) و ۱/۵ ([۱۰۰، ۱۰۵]) مورد بررسی قرار می‌گیرد. همچنین نتایج برای حالتی که نابالانسی جرمی در سیستم وجود داشته باشد، به ترتیب برای نسبت‌های طول به قطر ۱ و ۱/۵ در بخش‌های (۴-۵) و (۵-۵) مورد بررسی قرار می‌گیرد.

در بخش‌های مذکور پارامترهایی نظیر عدد یاتاقان، جرم محور و پریلود، در این دو نسبت طول به قطر تحت شرایطی که محور به طور کامل بالانس باشد و یا نابالانسی جرمی برای آن در نظر گرفته شود، مورد بررسی قرار گرفته تا نواحی که در آن رفتارهای مختلف با تغییر پارامترهای مذکور صورت می‌گیرد، شناسایی شود.

۲-۵ بررسی رفتار دینامیکی با در نظر گرفتن $\lambda = 1, \bar{\rho} = 0$

در این بخش با فرض بالانس بودن کامل محور در حالتی که نسبت طول به قطر یاتاقان واحد باشد، اثرات عدد یاتاقان، جرم محور و پریلود روی رفتار دینامیکی سیستم مورد بررسی قرار می‌گیرد.

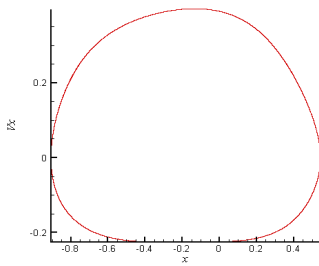
۱-۲-۵ اثر عدد یاتاقان بر روی رفتار دینامیکی

با در نظر گرفتن بارگذاری خارجی و جرم محور به ترتیب برابر با $\bar{W} = 5.06/5 N$ و $\bar{m}_r = 25/8 kg$ ، همچنین مقدار پرلود برابر با $\delta = 0/6$ تاثیر عدد یاتاقان روی رفتار سیستم مورد بررسی قرار می‌گیرد. شکل‌های (۵-۱-۱-الف، ب) و (۵-۱-۲-الف، ب) به ترتیب مدارهای دینامیکی و فضای حالت را در اعداد یاتاقان ۲۰ و ۲۲ نشان می‌دهند. نتایج حاکی از وقوع رفتار منظم در این اعداد می‌باشد. بی‌نظمی در رفتار با افزایش عدد یاتاقان به مقادیر $24/8$ و 25 در شکل‌های (۵-۱-۳-الف، ب) و (۵-۱-۴-الف، ب) مشاهده می‌شود.

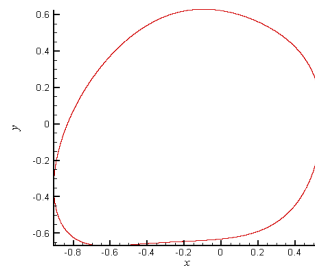
شکل‌های (۵-۱-۱-ج، د) الی (۵-۱-۴-ج، د) به ترتیب طیف‌های توانی را در راستاهای افقی و عمودی برای اعداد یاتاقان مذکور نشان می‌دهند. طیف‌های توانی با نشان دادن فرکانس‌های غالب و هارمونیک‌های آن KT -پریودیک بودن رفتار را در این اعداد تایید می‌کنند.

دیاگرام دوشاخگی در شکل‌های (۵-۲-الف، ب) تغییرات کیفی که در رفتار سیستم با تغییر مقدار پارامتر آن، عدد یاتاقان، در راستاهای افقی و عمودی صورت می‌گیرد را نشان می‌دهد. مشاهده می‌شود که تا قبل از عدد یاتاقان $A = 1/8$ سیستم به موقعیت تعادلی اولیه خود باز می‌گردد. با افزایش عدد یاتاقان و قرارگیری آن در محدوده $20/6 < A < 1/8$ سیستم رفتار هارمونیکی از خود نشان می‌دهد. نگاشت پوانکاره به ازای $A = 20$ نشان‌داده‌شده در شکل (۵-۳-الف) وقوع چنین رفتاری را با حضور یک نقطه تنها در این صفحه تایید می‌کند. پایداری چنین رفتاری با افزایش عدد یاتاقان کاهش یافته و رفتار از نوع دو-پریودیکی در محدوده $22/2 \leq A \leq 20/6$ ظاهر می‌شود. نگاشت پوانکاره به ازای $A = 22$ چنین رفتاری را شکل (۵-۳-ب) نشان می‌دهد. دوباره رفتارهای تناوبی و دو-پریودیکی به ترتیب در محدوده‌های $24/4 < A \leq 22/2$ و $25 < A < 24/4$ شکل می‌گیرند و نگاشت‌های پوانکاره به ازای مقادیر عدد یاتاقان $24/8$ و 24 چنین رفتاری را شکل‌های (۵-۳-پ، ت) تایید می‌کنند. چهار و شش-پریودیک بودن رفتار به ازای مقادیر عدد یاتاقان 25 و $25/2$ در شکل‌های (۵-۳-ج، د) نشان‌داده شده

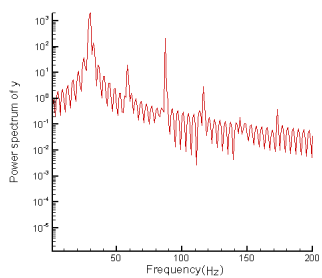
است. با افزایش مجدد عدد یاتاقان از مقدار $A = 25/2$ برخورد بین محور و یاتاقان صورت می‌گیرد. لذا می‌توان در این مورد با قراردادن پارامتر سیستم در مقدار مناسب آن از وقوع رفتارهای نامناسب جلوگیری نمود.



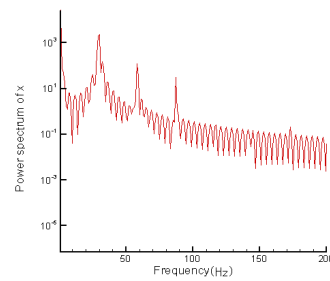
(ب) - ۱-۱-۵



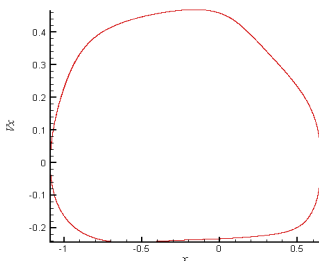
(الف) - ۱-۱-۵



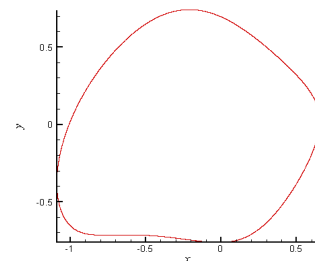
(د) - ۱-۱-۵



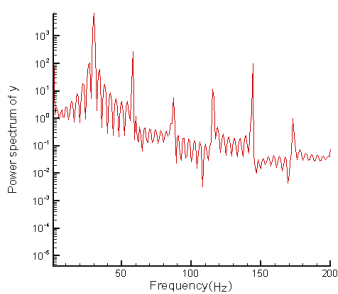
(ج) - ۱-۱-۵



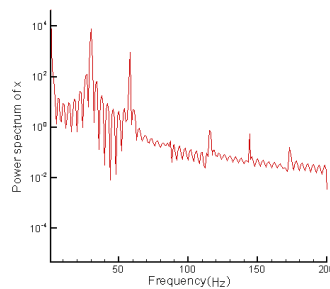
(ب) - ۲-۱-۵



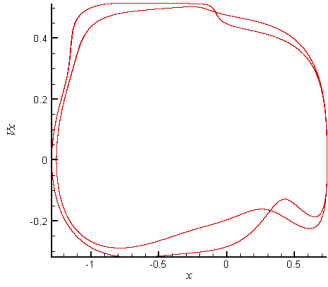
(الف) - ۲-۱-۵



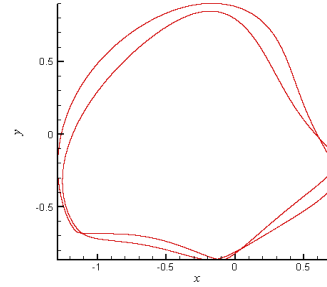
(د) - ۲-۱-۵



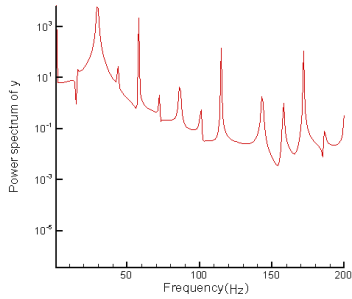
(ج) - ۲-۱-۵



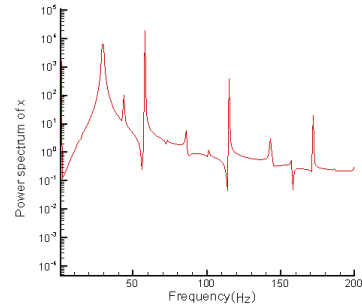
(ب) -۳-۱-۵



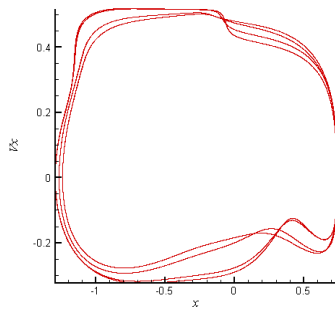
(الف) -۳-۱-۵



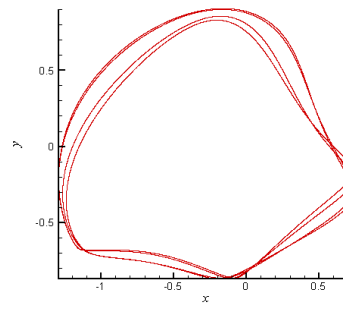
(د) -۳-۱-۵



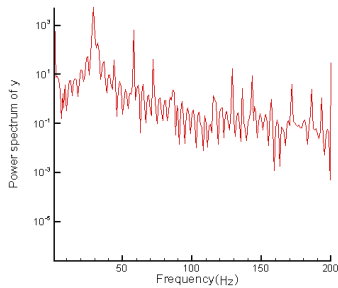
(ج) -۳-۱-۵



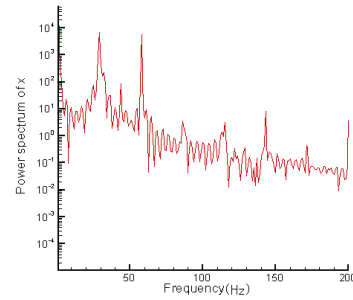
(ب) -۴-۱-۵



(الف) -۴-۱-۵

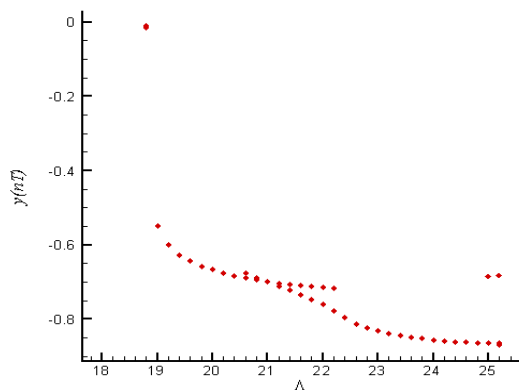


(د) -۴-۱-۵

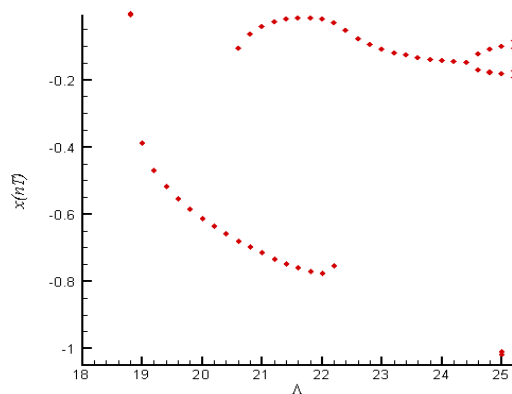


(ج) -۴-۱-۵

شکل (۱-۵): مدار دینامیکی مرکز محور (الف)، فضای حالت مرکز محور (ب) و طیف توانی آن در راستاهای افقی (ج) و عمودی (د) به ازای $A = 20$ ، $A = 22$ ، $A = 25$ و $A = 25/2$ برای پاناقان سه-لب تحت شرایط $\lambda = 1$ ، $\bar{\rho} = 0$

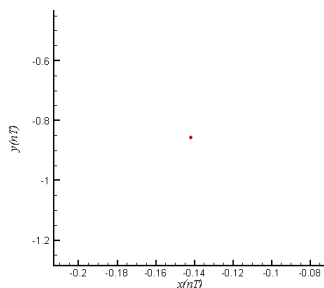


(ب)

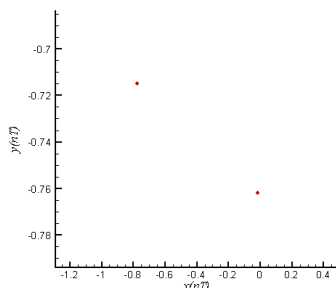


(الف)

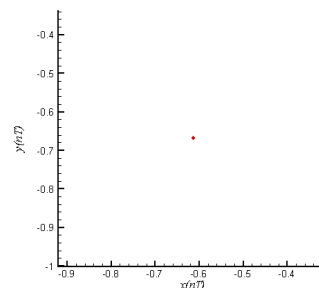
شکل (۲-۵): دیاگرام دوشاخگی در راستاهای افقی (الف) و عمودی (ب) برای یاتاقان سه-لب تحت شرایط $\lambda = 1, \bar{\rho} = 0$



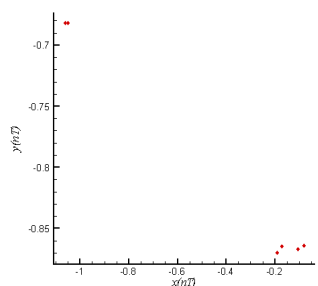
(پ)



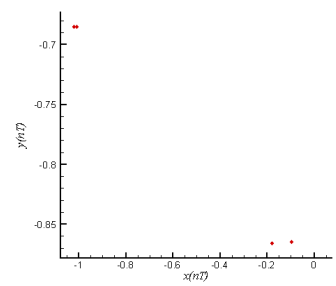
(ب)



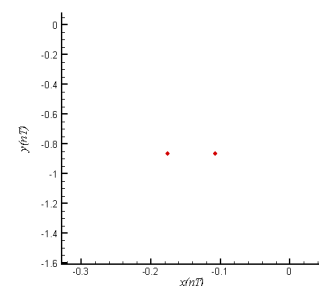
(الف)



(د)



(ج)



(ت)

شکل (۳-۵): نگاشت پوانکاره مرکز محور به ازای $A = 20$ (الف)، ۲۲ (ب)، ۲۴ (پ)، ۲۴/۸ (ت)، ۲۵ (ج)، ۲۵/۲ (د) برای

یاتاقان سه-لب تحت شرایط $\lambda = 1, \bar{\rho} = 0$

۲-۲-۵ اثر جرم محور بر روی رفتار دینامیکی

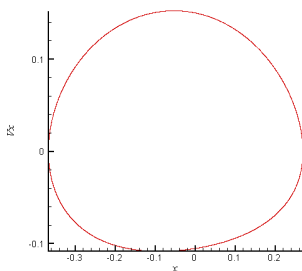
با در نظر گرفتن بارگذاری خارجی و عدد یاتاقان به ترتیب برابر با $\bar{W} = 5.06/5 N$ و $A = 25$ ، همچنین

مقدار پریلود برابر با $\delta = 0/6$ تاثیر جرم محور روی رفتار سیستم مورد بررسی قرار می‌گیرد.

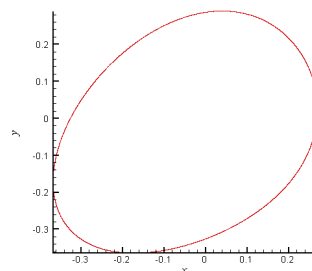
نتایج نشان داده شده در شکل‌های (۵-۴-۱-الف، ب) و (۵-۴-۲-الف، ب) به ترتیب مدارهای دینامیکی و فضای حالت را به ازای جرم‌های محور ۱۲ و ۱۷/۵ کیلوگرم نشان می‌دهند. نتایج حاکی از وقوع رفتار منظم در این مقادیر می‌باشد. بی‌نظمی در رفتار با افزایش جرم محور به مقادیر ۲۰/۶۵ و ۲۵ کیلوگرم در شکل‌های (۵-۴-۳-الف، ب) و (۵-۴-۴-الف، ب) مشاهده می‌شود. شکل‌های (۵-۴-۱-ج، د) الی (۵-۴-۴-ج، د) به ترتیب طیف‌های توانی را در راستاهای افقی و عمودی برای جرم‌های محور مذکور نشان می‌دهند. طیف‌های توانی با نشان دادن فرکانس‌های غالب و هارمونیک‌های آن KT -پریودیک بودن رفتار را در این اعداد تایید می‌کنند.

دیاگرام دوشاخگی در شکل‌های (۵-۵-الف، ب) تغییرات کیفی که در رفتار سیستم با تغییر مقدار پارامتر آن، جرم محور، در راستاهای افقی و عمودی صورت می‌گیرد را نشان می‌دهد. مشاهده می‌شود که تا قبل از $\bar{m}_r = 11/1 \text{ kg}$ سیستم به موقعیت تعادلی اولیه خود باز می‌گردد. با افزایش جرم محور و قرارگیری آن در محدوده $11/1 \leq \bar{m}_r < 16/2 \text{ kg}$ سیستم رفتار هارمونیکی از خود نشان می‌دهد. نگاشت پوانکاره به ازای $\bar{m}_r = 12 \text{ kg}$ نشان داده شده در شکل (۵-۶-الف) وقوع چنین رفتاری را با حضور یک نقطه تنها در این صفحه تایید می‌کند. پایداری چنین رفتاری با افزایش جرم محور کاهش یافته و رفتار دو-پریودیکی در محدوده کوچک $16/2 \leq \bar{m}_r \leq 17/6 \text{ kg}$ صورت می‌گیرد. نگاشت پوانکاره به ازای $\bar{m}_r = 17/5 \text{ kg}$ چنین رفتاری را شکل (۵-۶-ب) نشان می‌دهد. دوباره رفتارهای تناوبی و دو-پریودیکی به ترتیب در محدوده‌های $17/6 < \bar{m}_r \leq 24 \text{ kg}$ و $24 < \bar{m}_r \leq 25/3 \text{ kg}$ شکل می‌گیرند و نگاشت‌های پوانکاره به ازای مقادیر جرم محور ۲۰/۷ و ۲۵ کیلوگرم چنین رفتاری را شکل‌های (۵-۶-پ، ت) تایید می‌کنند. سه و پنج-پریودیک بودن رفتار به ازای مقادیر جرم محور ۲۵/۸ و ۲۶/۶ کیلوگرم در شکل‌های (۵-۶-ج، د) نشان داده شده است. با افزایش مجدد عدد یاتاقان از مقدار $\bar{m}_r = 26/6 \text{ kg}$ برخورد بین

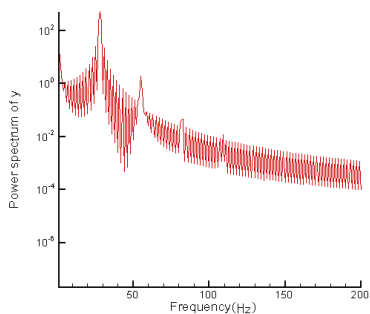
محور و یاتاقان صورت می‌گیرد. لذا می‌توان در این مورد با قراردادن پارامتر سیستم در مقدار مناسب آن از وقوع رفتارهای نامناسب جلوگیری نمود.



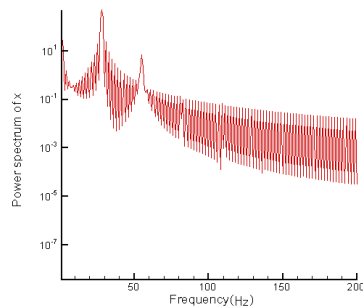
(ب) - ۱-۴-۵



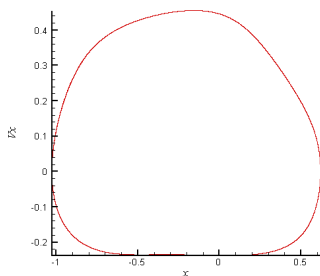
(الف) - ۱-۴-۵



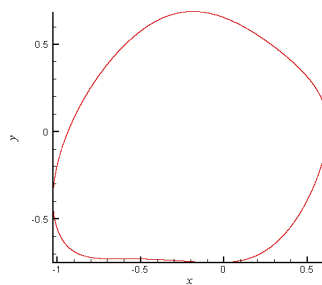
(د) - ۱-۴-۵



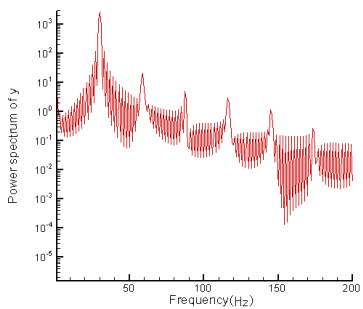
(ج) - ۱-۴-۵



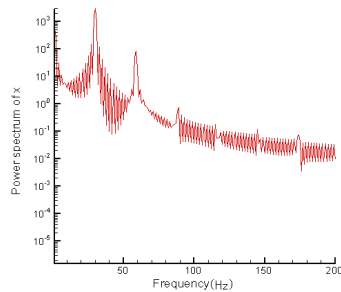
(ب) - ۲-۴-۵



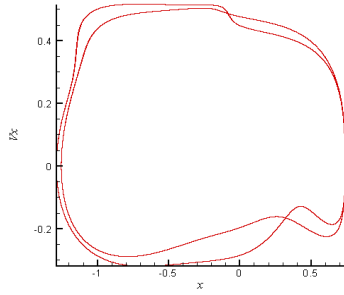
(الف) - ۲-۴-۵



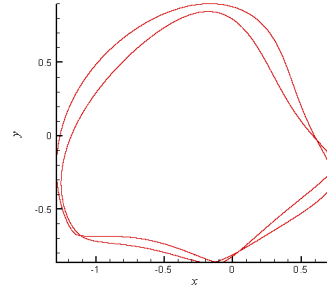
(د) - ۲-۴-۵



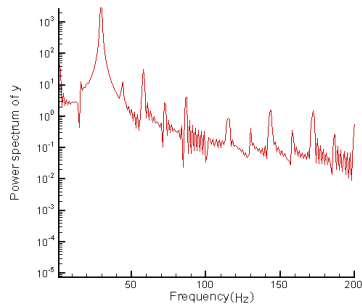
(ج) - ۲-۴-۵



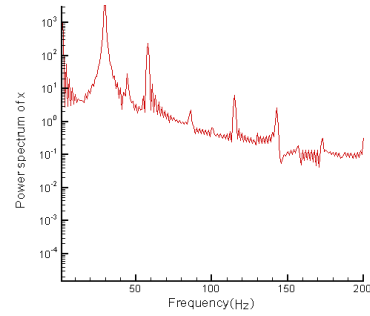
(ب) - ۳-۴-۵



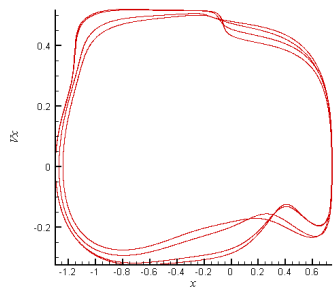
(الف) - ۳-۴-۵



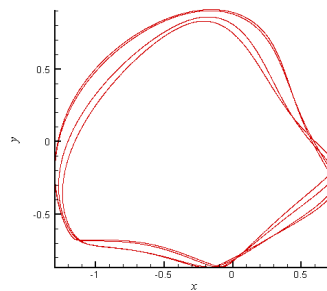
(د) - ۳-۴-۵



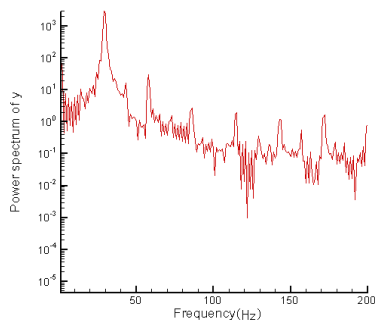
(ج) - ۳-۴-۵



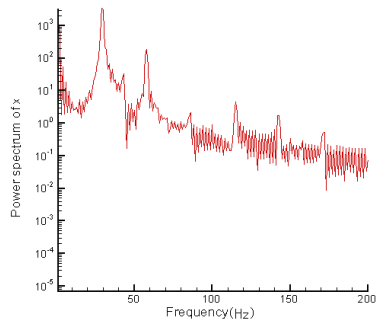
(ب) - ۴-۴-۵



(الف) - ۴-۴-۵



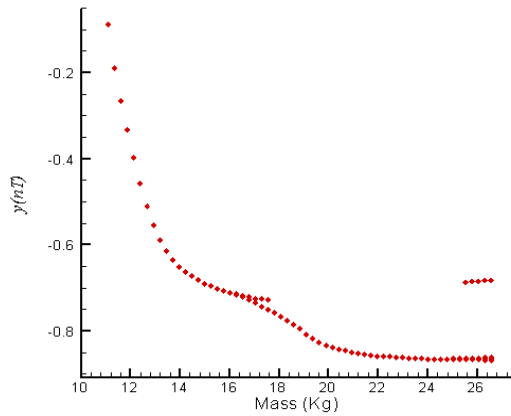
(د) - ۴-۴-۵



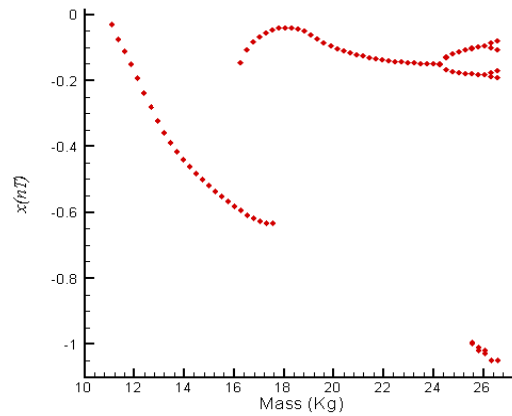
(ج) - ۴-۴-۵

شکل (۴-۵): مدار دینامیکی مرکز محور (الف)، فضای حالت مرکز محور (ب) و طیف توانی آن در راستاهای افقی (ج) و عمودی (د) به ازای $\bar{m}_r = 12 kg$ ، (۱-۴-۵) $\bar{m}_r = 17/5 kg$ ، (۲-۴-۵) $\bar{m}_r = 25/8 kg$ و (۳-۴-۵) $\bar{m}_r = 26/6 kg$

(۴-۴-۵) برای یاتاقان سه-لب تحت شرایط $\lambda = 1, \bar{\rho} = 0$

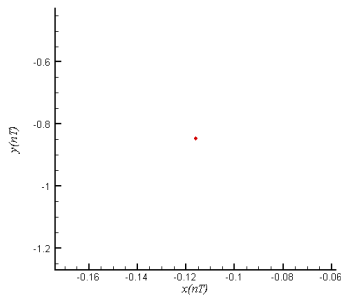


(ب)

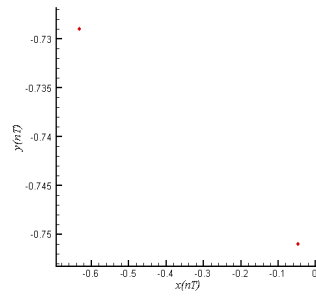


(الف)

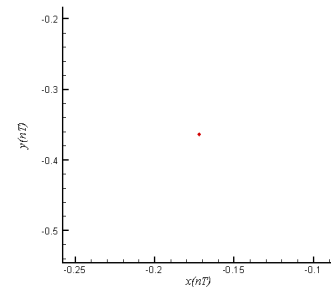
شکل (۵-۵): دیاگرام دوشاخگی در راستاهای افقی (الف) و عمودی (ب) برای یاتاقان سه-لب تحت شرایط $\lambda = 1, \bar{\rho} = 0$



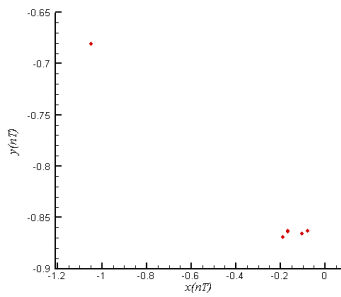
(پ)



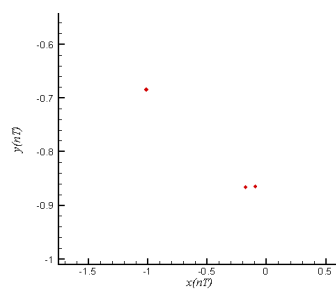
(ب)



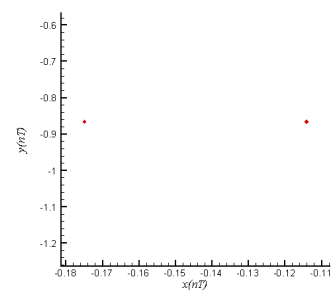
(الف)



(د)



(ج)



(ت)

شکل (۵-۶): نگاشت پوانکاره مرکز محور به ازای $\bar{m}_r = 12$ (الف)، $17/5$ (ب)، $20/7$ (پ)، 25 (ت)، $25/8$ (ج)، $26/6$ (د)

کیلوگرم برای یاتاقان سه-لب تحت شرایط $\lambda = 1, \bar{\rho} = 0$

۵-۲-۳ اثر پریلود بر روی رفتار دینامیکی

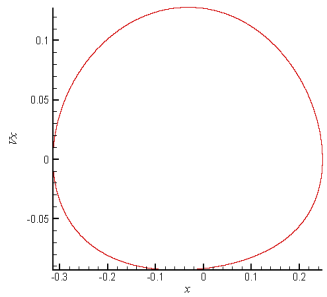
با در نظر گرفتن بارگذاری خارجی و عدد یاتاقان به ترتیب برابر با $\overline{W} = 5.06/5 N$ و $A = 25$ ، همچنین مقدار جرم محور برابر با $\overline{m}_r = 25/8 kg$ تاثیر پارامتر پریلود روی رفتار سیستم مورد بررسی قرار می‌گیرد.

شکل‌های (۵-۷-۱-الف، ب) الی (۵-۷-۴-الف، ب) به ترتیب مدارهای دینامیکی و فضای حالت را به ازای مقادیر مختلف پریلود نشان می‌دهند. نتایج حاکی از وقوع رفتار منظم در اعداد 0.54 و 0.59 می‌باشد. با افزایش مقدار پریلود به $\delta = 0.6$ نظم در رفتار سیستم کاهش یافته، بگونه‌ایکه شدت بی‌نظمی به ازای $\delta = 0.602$ افزایش می‌یابد.

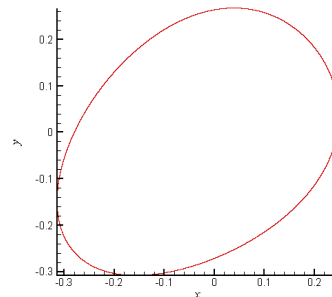
شکل‌های (۵-۷-۱-ج، د) الی (۵-۷-۴-ج، د) به ترتیب طیف‌های توانی را در راستاهای افقی و عمودی برای مقادیر پریلود مذکور نشان می‌دهند. طیف‌های توانی KT -پریودیک بودن رفتار را در این اعداد تایید می‌کنند.

دیاگرام دوشاخگی در شکل‌های (۵-۸-الف، ب) تغییرات کیفی که در رفتار سیستم با تغییر مقدار پارامتر آن، پریلود، در راستاهای افقی و عمودی صورت می‌گیرد را نشان می‌دهد. مشاهده می‌شود که برای مقادیر پریلود کوچکتر از $\delta = 0.538$ سیستم به موقعیت تعادلی اولیه خود باز می‌گردد. با افزایش مقدار پریلود و قرارگیری آن در محدوده $0.538 \leq \delta < 0.596$ سیستم رفتار تناوبی از خود نشان می‌دهد. نگاشت‌های پوانکاره به ازای مقادیر پریلود 0.54 و 0.59 نشان داده شده در شکل‌های (۵-۹-الف، ب) وقوع چنین رفتاری را با حضور یک نقطه تنها در این صفحه تایید می‌کنند. در محدوده $0.596 \leq \delta \leq 0.6$ رفتار دو-پریودیکی اتفاق می‌افتد و نگاشت پوانکاره در شکل (۵-۹-ج) چنین رفتاری را به ازای $\delta = 0.6$ نشان می‌دهد. رفتار چهار-پریودیکی به ازای $\delta = 0.602$ صورت می‌گیرد. نگاشت پوانکاره به ازای این مقدار از پریلود در شکل (۵-۹-د) چنین رفتاری را تایید می‌کند. با افزایش مجدد

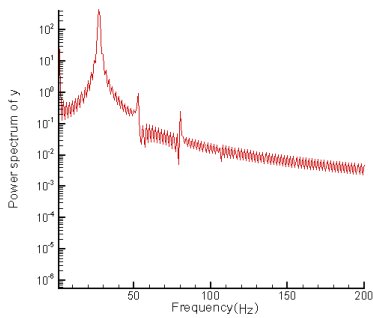
پریلود از مقدار $\delta = 0/602$ برخوردار بین محور و یاتاقان صورت می‌گیرد. لذا می‌توان در این مورد با قراردادن پارامتر سیستم در مقدار مناسب آن از وقوع رفتارهای نامناسب جلوگیری نمود.



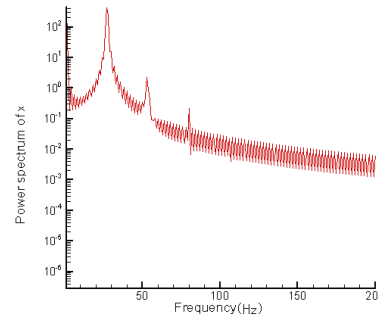
(ب) - ۱-۷-۵



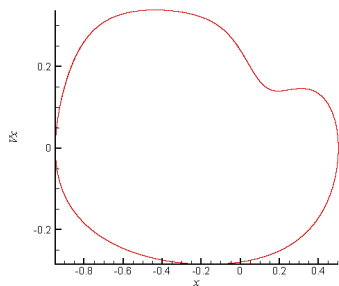
(الف) - ۱-۷-۵



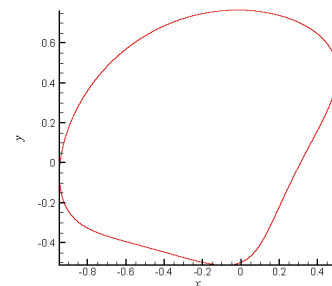
(د) - ۱-۷-۵



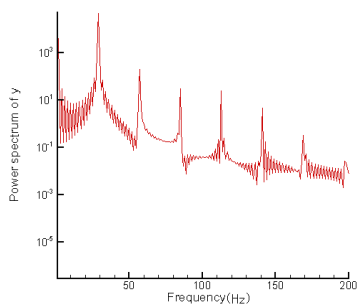
(ج) - ۱-۷-۵



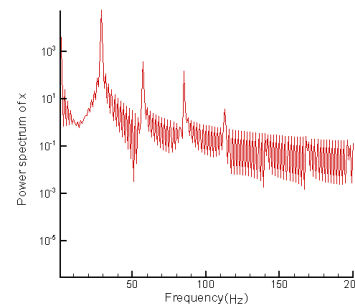
(ب) - ۲-۷-۵



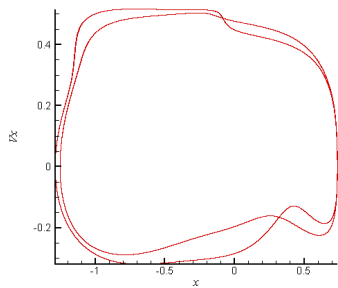
(الف) - ۲-۷-۵



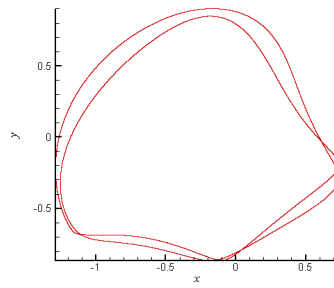
(د) - ۲-۷-۵



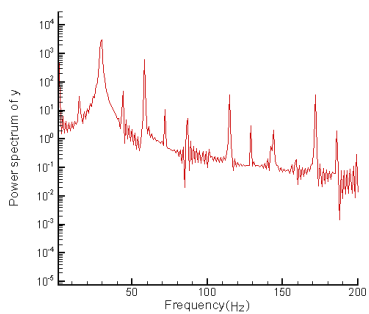
(ج) - ۲-۷-۵



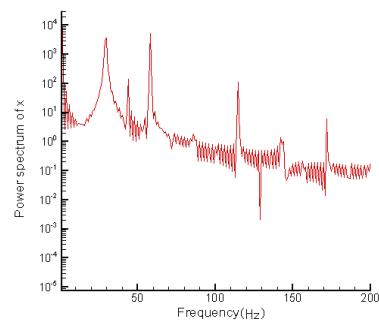
(ب) -۳-۷-۵



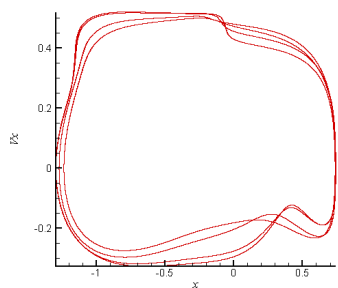
(الف) -۳-۷-۵



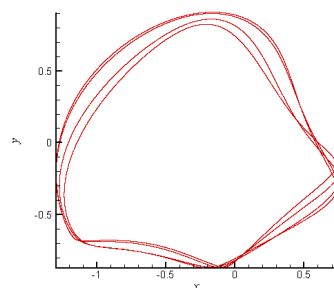
(د) -۳-۷-۵



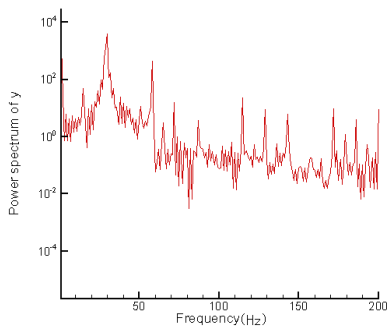
(ج) -۳-۷-۵



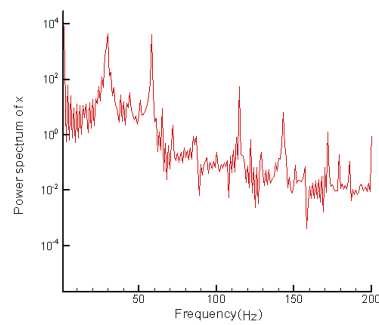
(ب) -۴-۷-۵



(الف) -۴-۷-۵



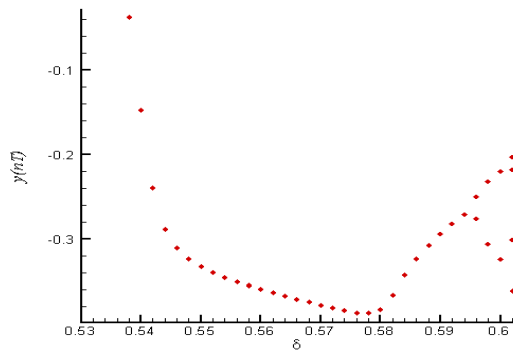
(د) -۴-۷-۵



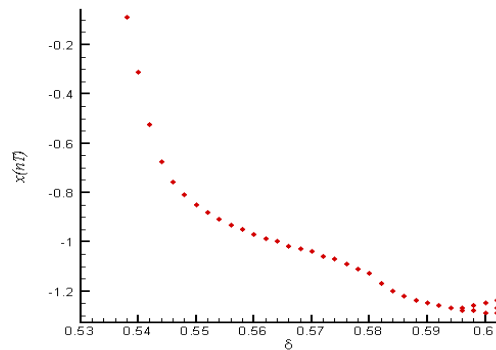
(ج) -۴-۷-۵

شکل (۷-۵): مدار دینامیکی مرکز محور (الف)، فضای حالت مرکز محور (ب) و طیف توانی آن در راستاهای افقی (ج) و عمودی (د) به ازای $\delta = 0/54$ ، $\delta = 0/59$ ، $\delta = 0/6$ ، $\delta = 0/602$ و $\delta = 0/602$ برای (۴-۷-۵)

باتفاق سه-لب تحت شرایط $\lambda = 1, \bar{\rho} = 0$

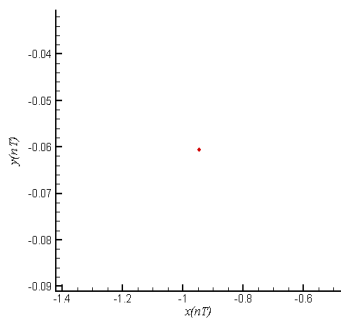


(ب)

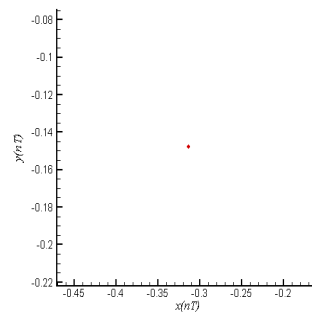


(الف)

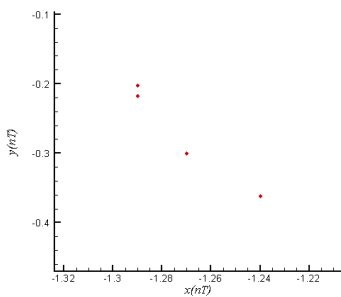
شکل (۵-۸): دیاگرام دوشاخگی در راستاهای افقی (الف) و عمودی (ب) برای یاتاقان سه-لب تحت شرایط $\lambda = 1, \bar{\rho} = 0$



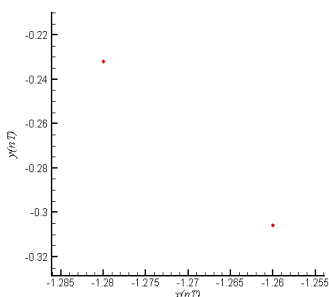
(ب)



(الف)



(د)



(ج)

شکل (۵-۹): نگاشت پوانکاره مرکز محور به ازای $\delta = 0.54$ (الف)، 0.59 (ب)، 0.6 (ج) و 0.602 (د) برای یاتاقان سه-لب

تحت شرایط $\lambda = 1, \bar{\rho} = 0$

۵-۳ بررسی رفتار دینامیکی با در نظر گرفتن $\lambda = 1/5, \bar{\rho} = 0$

در این بخش با فرض بالانس بودن کامل محور در حالتی که نسبت طول به قطر یاتاقان $1/5$ باشد، اثرات

عدد یاتاقان، جرم محور و پریلود روی رفتار دینامیکی سیستم مورد بررسی قرار می‌گیرد.

۵-۳-۱ اثر عدد یاتاقان بر روی رفتار دینامیکی

با در نظر گرفتن بارگذاری خارجی و جرم محور به ترتیب برابر با $\bar{W} = 5.06/5 N$ و $\bar{m}_r = 25/8 kg$

همچنین مقدار پریلود برابر با $\delta = 0/6$ تاثیر عدد یاتاقان روی رفتار سیستم مورد بررسی قرار می‌گیرد.

شکل‌های (۵-۱۰-۱-الف، ب) الی (۵-۱۰-۴-الف، ب) به ترتیب مدارهای دینامیکی و فضای حالت را

در مقادیر مختلف عدد یاتاقان نشان می‌دهند. نتایج حاکی از وقوع رفتار منظم در اعداد ۲۰ و ۲۶ می‌باشد.

با افزایش عدد یاتاقان به ۲۶/۶ و ۲۹ پایداری در رفتار منظم سیستم کاهش می‌یابد.

شکل‌های (۵-۱۰-۱-ج، د) الی (۵-۱۰-۴-ج، د) به ترتیب طیف‌های توانی را در راستاهای افقی و

عمودی برای عددهای یاتاقان مذکور نشان می‌دهند. طیف‌های توانی KT -پریودیک بودن رفتار را در این

اعداد تایید می‌کنند.

دیگرام دوشاخگی در شکل‌های (۵-۱۱-الف، ب) تغییرات کیفی که در رفتار سیستم با تغییر در مقدار

پارامتر آن، عدد یاتاقان، در راستاهای افقی و عمودی صورت می‌گیرد، نشان می‌دهد. مشاهده می‌شود که

برای اعداد یاتاقان کوچکتر از $A = 17/8$ سیستم به موقعیت تعادلی اولیه خود باز می‌گردد. با افزایش

عدد یاتاقان و قرارگیری آن در محدوده $17/8 \leq A < 28/6$ سیستم رفتار هارمونیکی از خود نشان می‌-

دهد. نگاشت‌های پوانکاره برای اعداد یاتاقان ۲۰ و ۲۶ نشان داده شده در شکل‌های (۵-۱۲-الف، ب) وقوع

چنین رفتاری را با حضور یک نقطه تنها در این صفحه تایید می‌کنند. ناگهان رفتار دو-پریودیکی به ازای

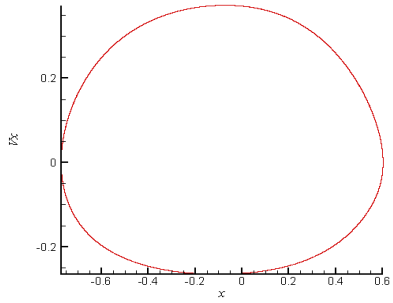
$A = 28/6$ اتفاق می‌افتد و نگاشت پوانکاره در شکل (۵-۱۲-ج) آن رفتار را نشان می‌دهد. در محدوده

$28/6 < A \leq 29/2$ رفتار سه-پریودیکی صورت می‌گیرد و نگاشت پوانکاره در شکل (۵-۱۲-د) چنین

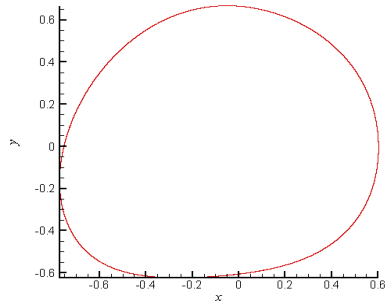
رفتاری را به ازای $A = 29$ تایید می‌کند. با افزایش مجدد عدد یاتاقان از مقدار $A = 29/2$ برخورد بین

محور و یاتاقان صورت می‌گیرد. لذا می‌توان در این مورد با قراردادن پارامتر سیستم در مقدار مناسب آن از

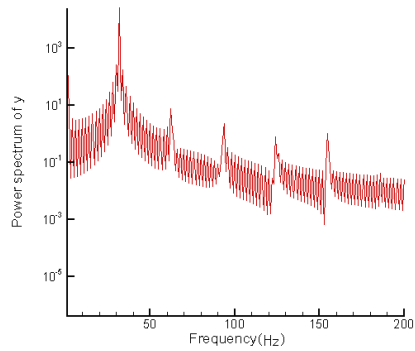
وقوع رفتارهای نامناسب جلوگیری نمود.



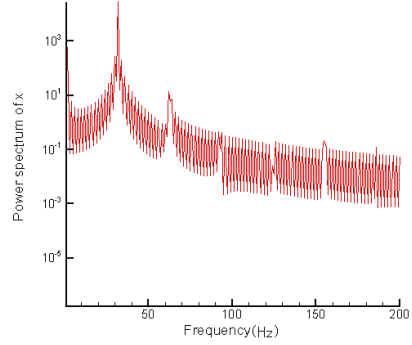
(ب) - ۱-۱۰-۵



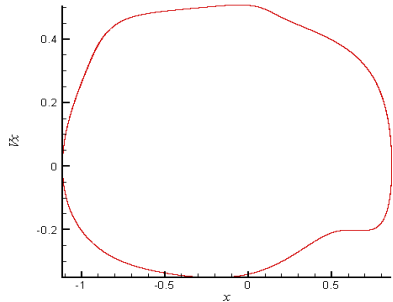
(الف) - ۱-۱۰-۵



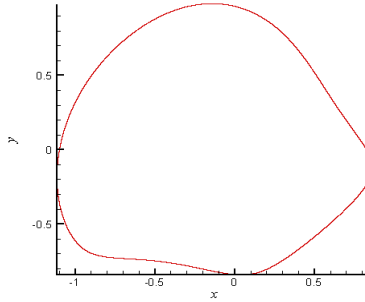
(د) - ۱-۱۰-۵



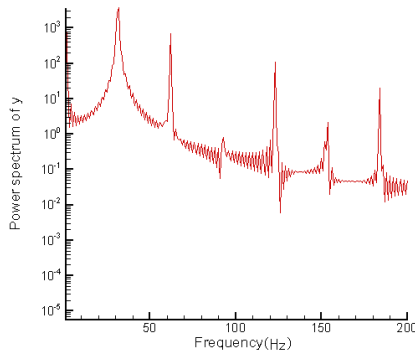
(ج) - ۱-۱۰-۵



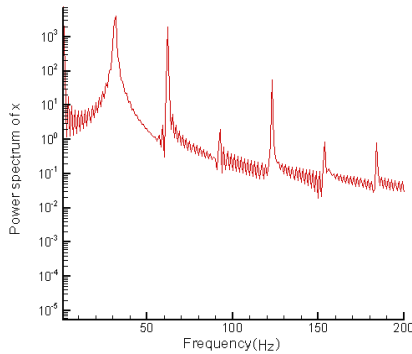
(ب) - ۲-۱۰-۵



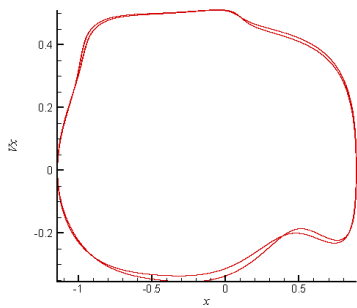
(الف) - ۲-۱۰-۵



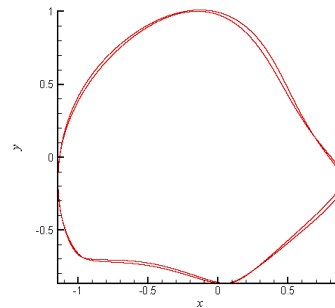
(د) - ۲-۱۰-۵



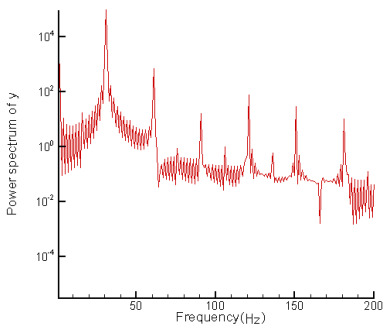
(ج) - ۲-۱۰-۵



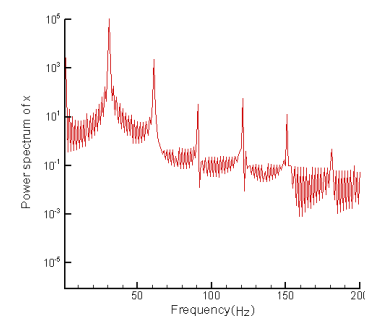
(ب) -۳-۱۰-۵



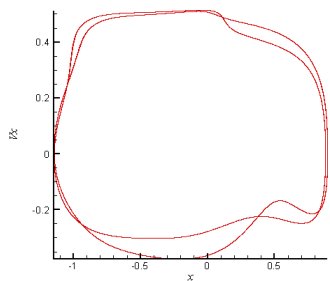
(الف) -۳-۱۰-۵



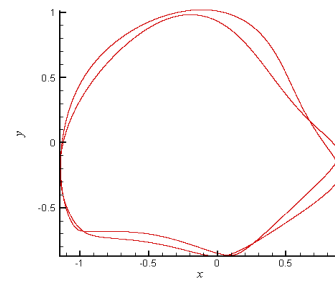
(د) -۳-۱۰-۵



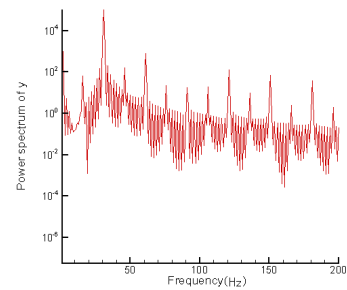
(ج) -۳-۱۰-۵



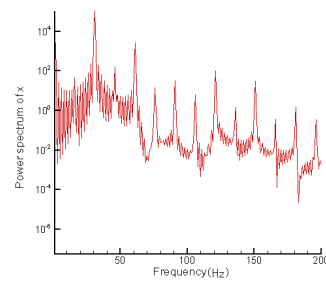
(ب) -۴-۱۰-۵



(الف) -۴-۱۰-۵



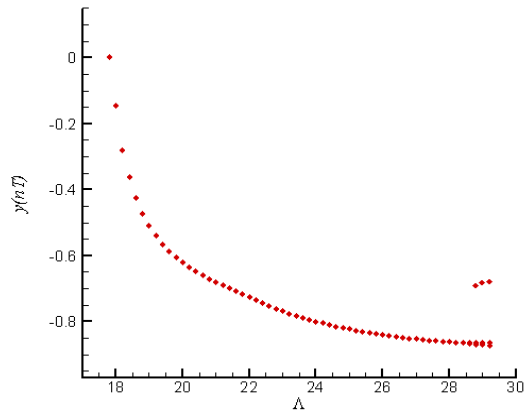
(د) -۴-۱۰-۵



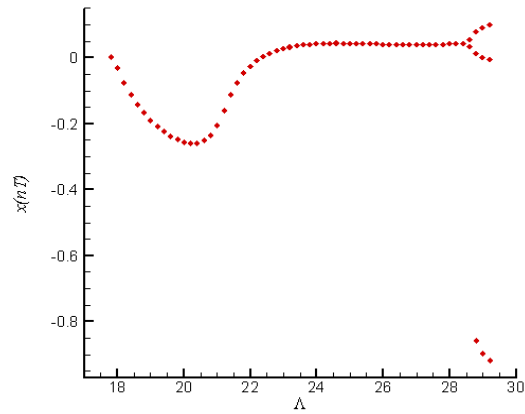
(ج) -۴-۱۰-۵

شکل (۱۰-۵): مدار دینامیکی مرکز محور (الف)، فضای حالت مرکز محور (ب) و طیف توانی آن در راستاهای افقی (ج) و عمودی (د) به ازای $A = 20$ ، $(1-10-5)$ ، $A = 26$ ، $(2-10-5)$ ، $A = 28/6$ ، $(3-10-5)$ و $A = 29$ ، $(4-10-5)$ برای

$$\lambda = 1/5, \bar{p} = 0 \text{ یاتاقان سه-لب تحت شرایط}$$



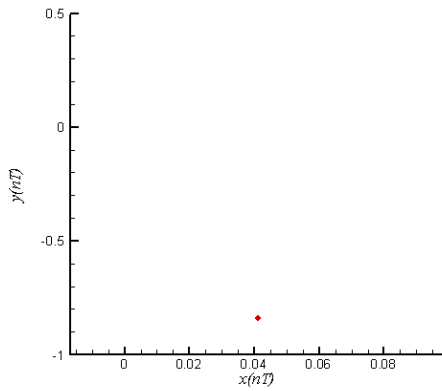
(ب)



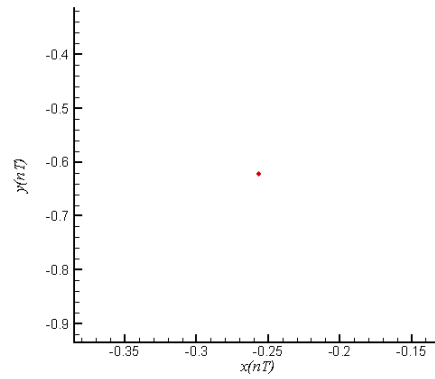
(الف)

شکل (۵-۱۱): دیاگرام دوشاخگی در راستاهای افقی (الف) و عمودی (ب) برای یاتاقان سه-لب تحت شرایط

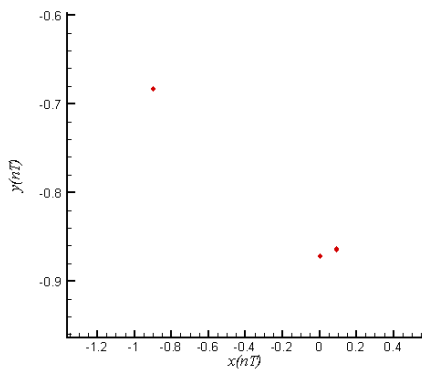
$$\lambda = 1/5, \bar{\rho} = 0$$



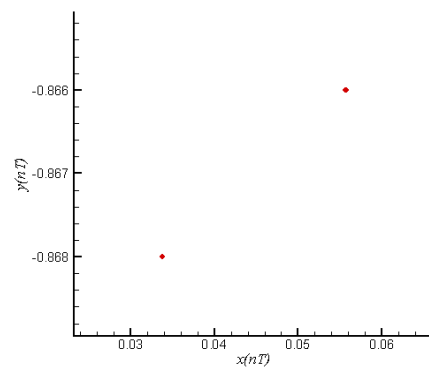
(ب)



(الف)



(د)



(ج)

شکل (۵-۱۲): نگاشت پوانکاره مرکز محور به ازای $\Lambda = 20$ (الف)، ۲۶ (ب)، ۲۸/۶ (ج)، ۲۹ (د) برای یاتاقان سه-لب تحت

$$\text{شرایط } \lambda = 1/5, \bar{\rho} = 0$$

۵-۳-۲ اثر جرم محور بر روی رفتار دینامیکی

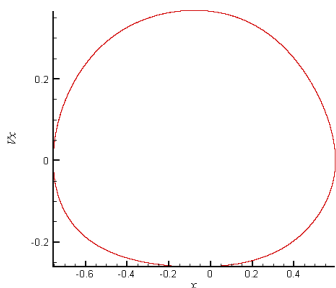
با در نظر گرفتن بارگذاری خارجی و عدد یاتاقان به ترتیب برابر با $\bar{W} = 5.06/5 N$ و $A = 25$ ، همچنین مقدار پریلود برابر با $\delta = 0/6$ تاثیر جرم محور روی رفتار سیستم مورد بررسی قرار می‌گیرد.

شکل‌های (۵-۱۳-۱-الف، ب) الی (۵-۱۳-۴-الف، ب) به ترتیب مدارهای دینامیکی و فضای حالت را به ازای مقادیر مختلف جرم محور نشان می‌دهند. نتایج حاکی از وقوع رفتار منظم در مقادیر جرم‌های ۱۵/۵ و ۳۱ کیلوگرم می‌باشد. با افزایش جرم محور به ۳۶/۱۴ و ۳۶/۲۴ کیلوگرم، پایداری در رفتار منظم سیستم کاهش می‌یابد.

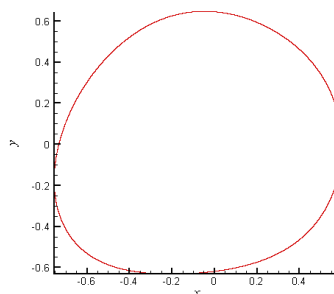
شکل‌های (۵-۱۳-۱-ج، د) الی (۵-۱۳-۴-ج، د) به ترتیب طیف‌های توانی را در راستاهای افقی و عمودی برای جرم‌های محور مذکور نشان می‌دهند. طیف‌های توانی KT -پریودیک بودن رفتار را در این مقادیر تایید می‌کنند.

دیاگرام دوشاخگی در شکل‌های (۵-۱۴-الف، ب) تغییرات کیفی که در رفتار سیستم با تغییر مقدار پارامتر آن، جرم محور، در راستاهای افقی و عمودی صورت می‌گیرد را نشان می‌دهد. مشاهده می‌شود که برای مقادیر جرم محور کوچکتر از $\bar{m}_r = 11/87 kg$ سیستم به موقعیت تعادلی اولیه خود باز می‌گردد. با افزایش جرم محور و قرارگیری آن در محدوده $35/36 kg < \bar{m}_r \leq 11/87$ سیستم رفتار تناوبی از خود نشان می‌دهد. نگاشت‌های پوانکاره برای مقادیر جرم محور ۱۵/۵ و ۳۱ کیلوگرم نشان داده شده در شکل‌های (۵-۱۵-الف، ب) وقوع چنین رفتاری را با حضور یک نقطه تنها در این صفحه تایید می‌کنند. با افزایش جرم محور، رفتارهای دو و سه-پریودیکی به ترتیب در محدوده‌های کوچک $35/36 < \bar{m}_r < 36/4 kg$ و $36/92 kg \leq \bar{m}_r \leq 36/4$ اتفاق می‌افتد. حضور دو و سه نقطه نشان داده شده در شکل‌های (۵-۱۵-ج، د) به ترتیب وقوع چنین رفتارهایی را به ازای مقادیر جرم محور ۳۶/۱۴ و ۳۶/۴ کیلوگرم نشان می‌دهند. برخورد بین محور و یاتاقان با افزایش جرم محور از $\bar{m}_r = 36/92 kg$

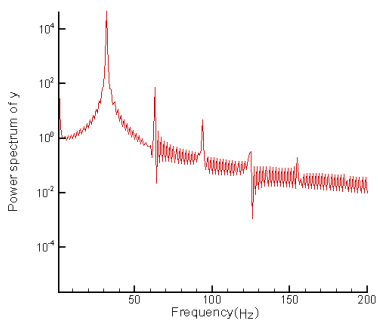
صورت می‌گیرد. لذا می‌توان در این مورد با قراردادن پارامتر سیستم در مقدار مناسب آن از وقوع رفتارهای نامناسب جلوگیری نمود.



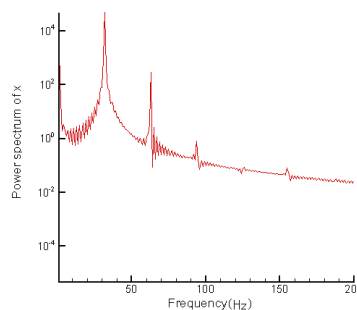
(ب) -۱-۱۳-۵



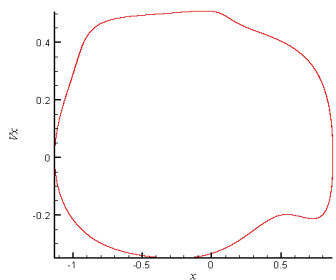
(الف) -۱-۱۳-۵



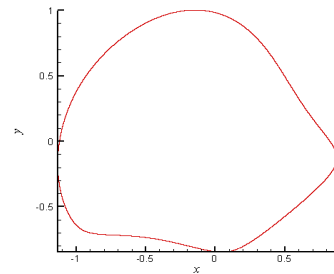
(ب) -۱-۱۳-۵



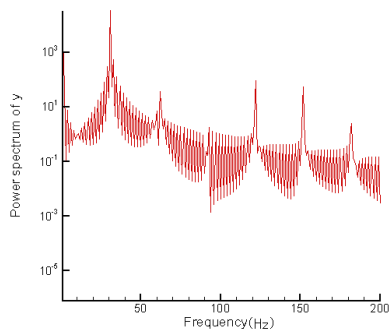
(ج) -۱-۱۳-۵



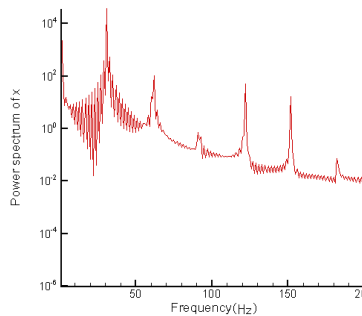
(ب) -۲-۱۳-۵



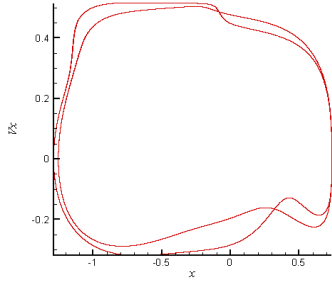
(الف) -۲-۱۳-۵



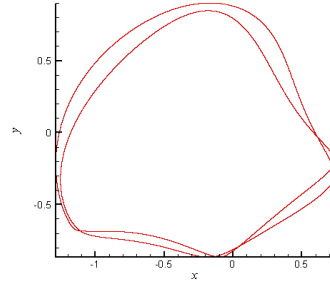
(ب) -۲-۱۴-۵



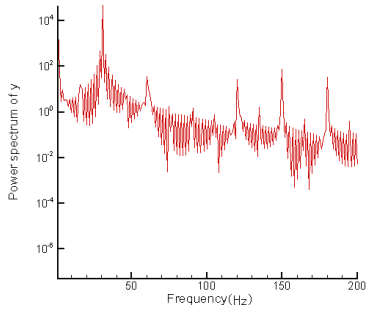
(ج) -۲-۱۴-۵



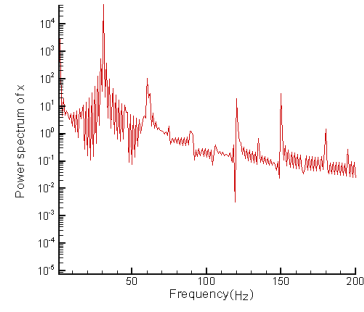
(ب) -۳-۱۳-۵



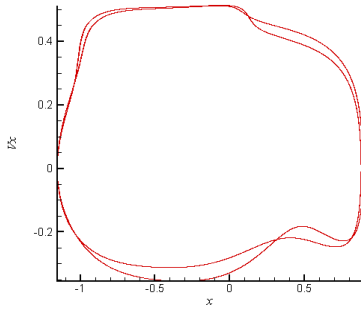
(الف) -۳-۱۳-۵



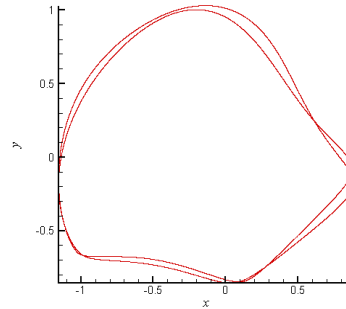
(د) -۳-۱۳-۵



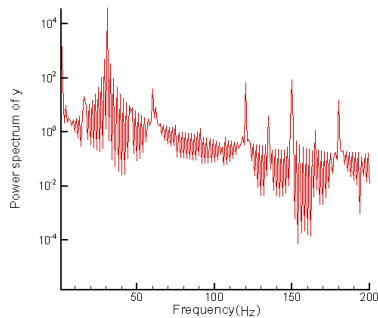
(ج) -۳-۱۳-۵



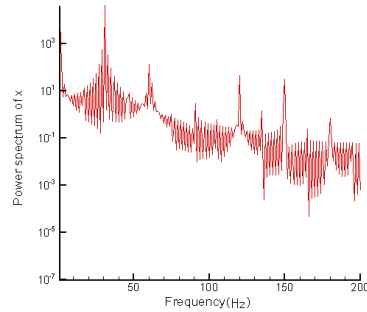
(ب) -۴-۱۳-۵



(الف) -۴-۱۳-۵



(د) -۴-۱۳-۵

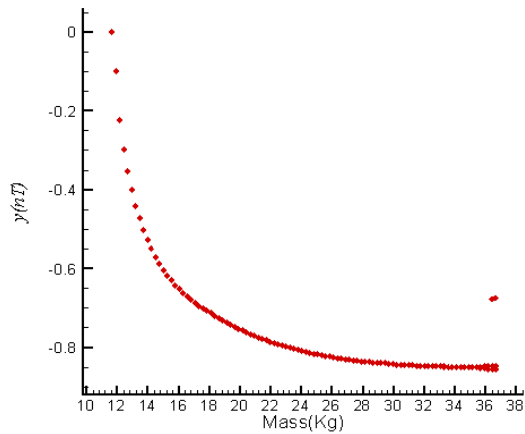


(ج) -۴-۱۳-۵

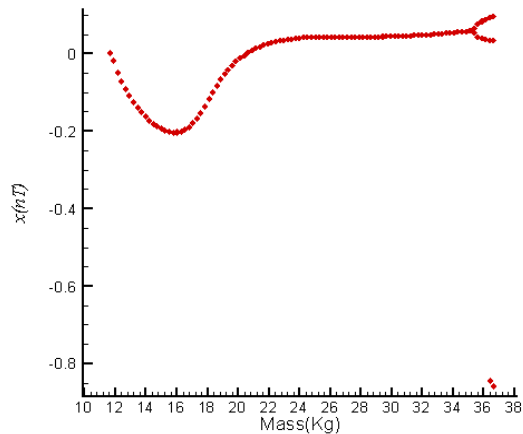
شکل (۱۳-۵): مدار دینامیکی مرکز محور (الف)، فضای حالت مرکز محور (ب) و طیف توانی آن در راستاهای افقی (ج) و

عمودی (د) به ازای $\bar{m}_r = 15/5 kg$ ، $\bar{m}_r = 31 kg$ ، $\bar{m}_r = 36/14 kg$ ، $\bar{m}_r = 36/14 kg$ و

$\lambda = 1/5, \bar{\rho} = 0$ برای یاتاقان سه-لب تحت شرایط $\bar{m}_r = 36/4 kg$



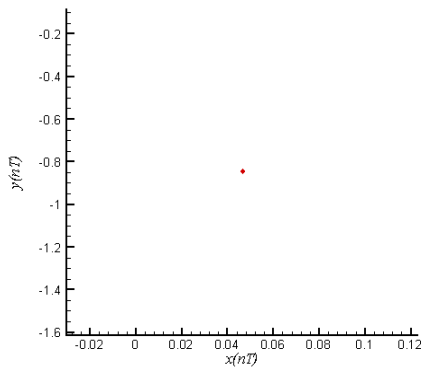
(ب)



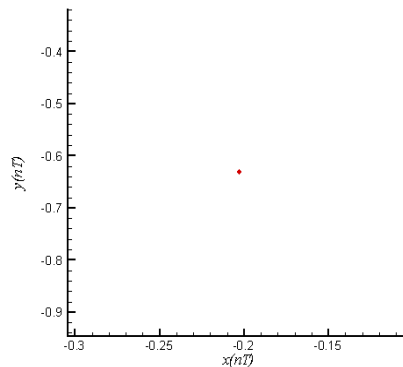
(الف)

شکل (۵-۱۴): دیاگرام دوشاخگی در راستاهای افقی (الف) و عمودی (ب) برای یاتاقان سه-لب تحت شرایط

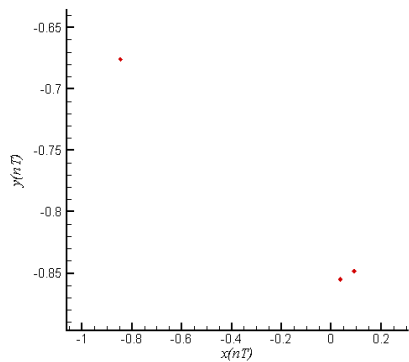
$$\lambda = 1/5, \bar{\rho} = 0$$



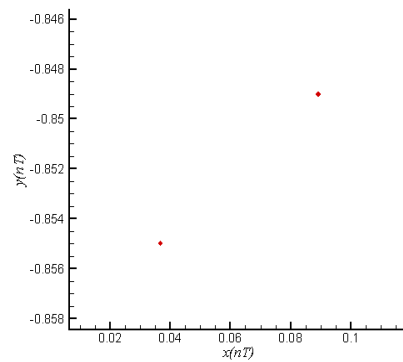
(ب)



(الف)



(د)



(ج)

شکل (۵-۱۵): نگاشت پوانکاره مرکز محور به ازای $\bar{m}_r = 15/5$ ، (الف) ۳۱، (ب) ۳۶/۱۴، (ج) ۳۶/۴ و (د) کیلوگرم برای

یاتاقان سه-لب تحت شرایط $\lambda = 1/5, \bar{\rho} = 0$

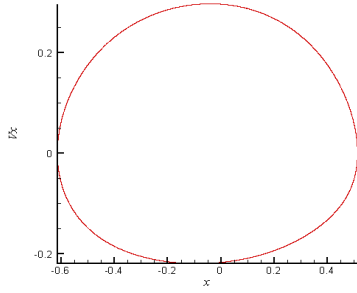
۵-۳-۳ اثر پریلود بر روی رفتار دینامیکی

با در نظر گرفتن بارگذاری خارجی و عدد یاتاقان به ترتیب برابر با $\bar{W} = 5.06/5 N$ و $A = 25$ ، همچنین مقدار جرم محور برابر با $\bar{m}_r = 25/8 kg$ تاثیر پارامتر پریلود روی رفتار سیستم مورد بررسی قرار می‌گیرد.

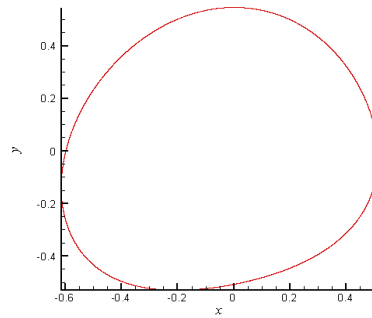
نتایج نشان داده شده در شکل‌های (۵-۱۶-۱-الف، ب) و (۵-۱۶-۲-الف، ب) به ترتیب مدارهای دینامیکی و فضای حالت را به ازای مقادیر پریلود ۰/۵ و ۰/۶ نشان می‌دهند. نتایج حاکی از وقوع رفتار منظم در این اعداد می‌باشد.

شکل‌های (۵-۱۶-۱-ج، د) و (۵-۱۶-۲-ج، د) به ترتیب طیف‌های توانی را در راستاهای افقی و عمودی برای جرم‌های مذکور نشان می‌دهند. طیف‌های توانی KT -پریودیک بودن رفتار را در این اعداد تایید می‌کنند.

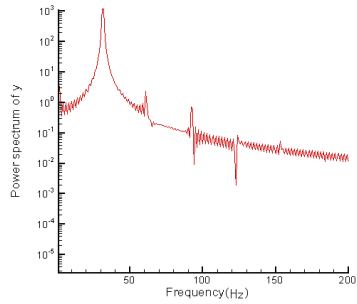
دیاگرام دوشاخگی در شکل‌های (۵-۱۷-الف، ب) تغییرات کیفی که در رفتار سیستم با تغییر مقدار پارامتر آن، پریلود، در راستاهای افقی و عمودی صورت می‌گیرد را نشان می‌دهد. مشاهده می‌شود که برای مقادیر پریلود کوچکتر از $\delta = 0/538$ سیستم به موقعیت تعادلی اولیه خود باز می‌گردد. با افزایش مقدار پریلود و قرارگیری آن در محدوده $0/63 \leq \delta \leq 0/538$ سیستم رفتار تناوبی از خود نشان می‌دهد. نداشت‌های پوانکاره در مقادیر پریلود ۰/۵ و ۰/۶ نشان داده شده در شکل‌های (۵-۱۸-الف، ب) وقوع چنین رفتاری با حضور یک نقطه تنها در این صفحه تایید می‌کنند. با افزایش مجدد پریلود از مقدار $\delta = 0/63$ برخورد بین محور و یاتاقان صورت می‌گیرد. لذا می‌توان در این مورد با قراردادن پارامتر سیستم در مقدار مناسب آن از وقوع رفتارهای نامناسب جلوگیری نمود.



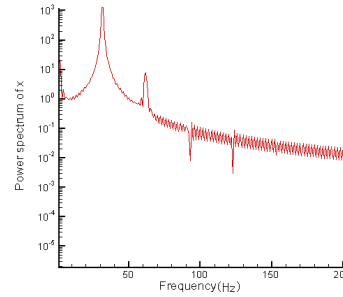
(ب) - ۱-۱۶-۵



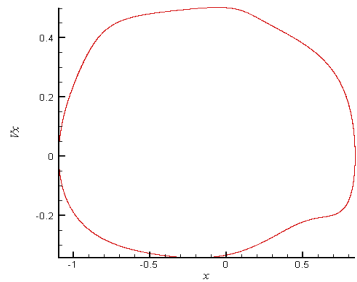
(الف) - ۱-۱۶-۵



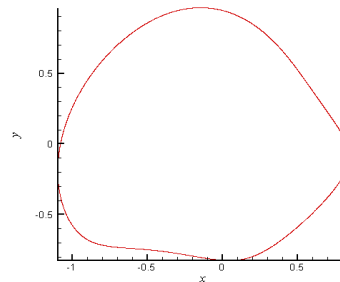
(د) - ۱-۱۶-۵



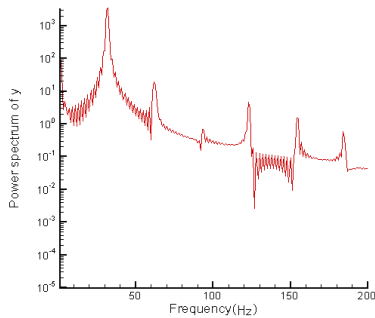
(ج) - ۱-۱۶-۵



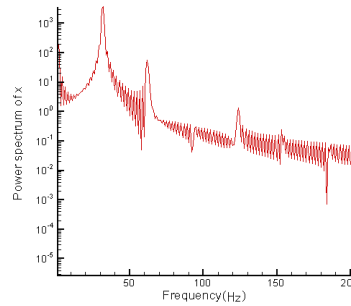
(ب) - ۲-۱۶-۵



(الف) - ۲-۱۶-۵

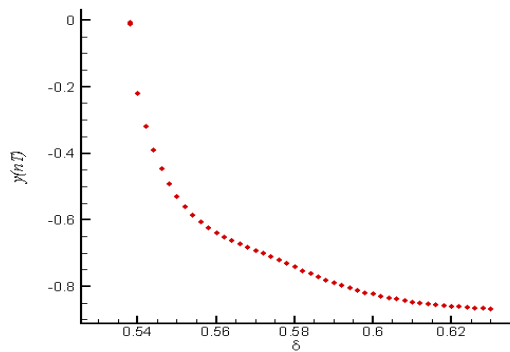


(د) - ۲-۱۶-۵

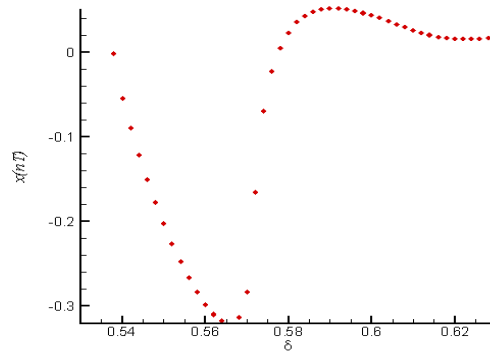


(ج) - ۲-۱۶-۵

شکل (۱۶-۵): مدار دینامیکی مرکز محور (الف)، فضای حالت مرکز محور (ب) و طیف توانی آن در راستاهای افقی (ج) و عمودی (د) به ازای $\delta = 0/5$ (۱-۱۶-۵) و $\delta = 0/6$ (۲-۱۶-۵)، برای یاتاقان سه-لب تحت شرایط $\bar{p} = 0$, $\lambda = 1/5$



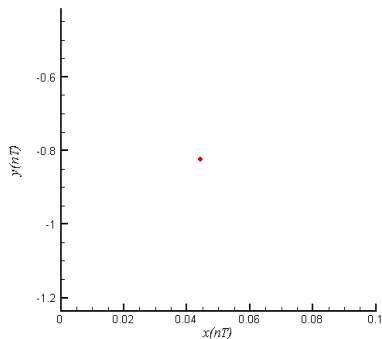
(ب)



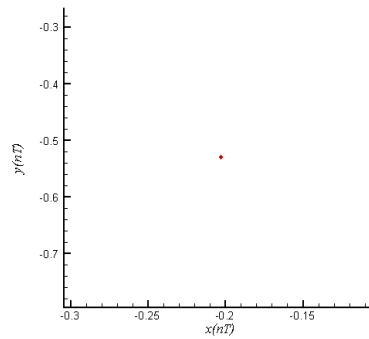
(الف)

شکل (۵-۱۷): دیاگرام دوشاخگی در راستاهای افقی (الف) و عمودی (ب) برای یاتاقان سه-لب تحت شرایط

$$\lambda = 1/5, \bar{\rho} = 0$$



(ب)



(الف)

شکل (۵-۱۸): نگاهت پوانکاره مرکز محور به ازای $\delta = 0/5$ (الف) و $0/6$ (ب) برای یاتاقان سه-لب تحت شرایط

$$\lambda = 1/5, \bar{\rho} = 0$$

۴-۵ بررسی رفتار دینامیکی با در نظر گرفتن $\lambda = 1, \bar{\rho} = 0/001 \text{ mm}$

در این بخش با فرض نابالانسی جرمی محور در حالتی که نسبت طول به قطر یاتاقان واحد باشد، اثرات عدد یاتاقان، جرم محور و پریلود روی رفتار دینامیکی سیستم مورد بررسی قرار می‌گیرد.

۵-۴-۱ اثر عدد یاتاقان بر روی رفتار دینامیکی

با در نظر گرفتن بارگذاری خارجی و جرم محور به ترتیب برابر با $\bar{W} = 5.06/5 \text{ N}$ و $\bar{m}_r = 25/8 \text{ kg}$ ،

همچنین مقدار پریلود برابر با $\delta = 0/6$ تاثیر عدد یاتاقان روی رفتار سیستم مورد بررسی قرار می‌گیرد.

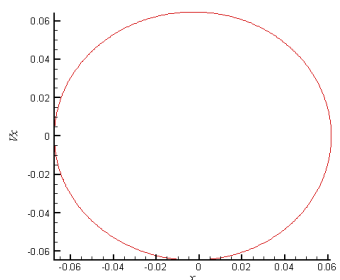
نتایج نشان داده شده در شکل‌های (۵-۱۹-۱-الف، ب) به ترتیب مدارهای دینامیکی و فضای حالت را به ازای عدد یاتاقان $A = 15$ نشان می‌دهند. نتایج حاکی از وقوع رفتار منظم در این عدد می‌باشد. با افزایش عدد یاتاقان به مقدار $A = 19$ بی‌نظمی در رفتار سیستم افزایش می‌یابد. چنین رفتاری در شکل‌های (۵-۱۹-۲-الف، ب) نشان داده شده است. با افزایش مجدد عدد یاتاقان به مقادیر ۲۲ و ۲۳، شکل‌های (۵-۱۹-۳-الف، ب) و (۵-۱۹-۴-الف، ب) وقوع رفتار نامنظم را نشان می‌دهند. اما همانطور که در شکل‌های (۵-۱۹-۴-الف، ب) مشاهده می‌شود، میزان بی‌نظمی به ازای $A = 23$ کاهش یافته است.

شکل‌های (۵-۱۹-۱-ج، د) الی (۵-۱۹-۴-ج، د) طیف‌های توانی را در راستاهای افقی و عمودی برای اعداد یاتاقان مذکور نشان می‌دهند. فرکانس‌های غالب در وقوع رفتار سیستم در این شکل‌ها مشخص است. با مشاهده این شکل‌ها انتظار وقوع رفتارهای تناوبی و شبه تناوبی می‌رود.

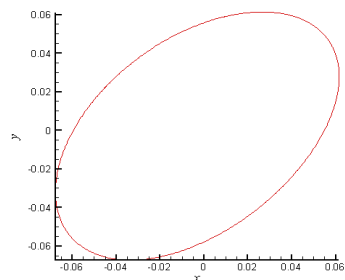
دیاگرام دوشاخگی در شکل‌های (۵-۲۰-الف، ب) تغییرات کیفی که در رفتار سیستم با تغییر مقدار پارامتر آن، عدد یاتاقان، در محدوده $2 \leq A \leq 23/8$ صورت می‌گیرد را نشان می‌دهد. دیاگرام دوشاخگی محلی در شکل‌های (۵-۲۱-الف، ب) تغییرات در محدوده $18 \leq A \leq 23/8$ را نشان داده است. مشاهده می‌شود که برای اعداد یاتاقان کوچکتر از $A = 19$ سیستم رفتار تناوبی از خود نشان می‌دهد. شکل (۵-۲۲-الف) نگاشت پوانکاره به ازای $A = 15$ وقوع چنین رفتاری را با حضور یک نقطه تنها در این صفحه تایید می‌کند. با افزایش عدد یاتاقان و قرارگیری آن در محدوده $19 \leq A < 23/8$ سیستم رفتار شبه تناوبی از خود نشان می‌دهد. اما در این محدوده رفتار هفت-پریودیکی در محدوده‌های کوچک $22/6 < A < 23/2$ و $22/8 < A < 23/2$ صورت می‌گیرد. شکل (۵-۲۲) نگاشت‌های پوانکاره در اعداد یاتاقان ۲۱ و ۲۲/۶، شبه تناوبی بودن رفتار را و در اعداد یاتاقان ۲۲/۲ و ۲۳، هفت-پریودیک بودن آن را تایید می‌کنند. شکل (۵-۲۲-د) بیست‌وسه-پریودیک بودن رفتار را به ازای $A = 23/8$ نشان می‌دهد و

با افزایش مجدد عدد یاتاقان از این مقدار برخورد بین محور و یاتاقان صورت می‌گیرد. لذا می‌توان در این

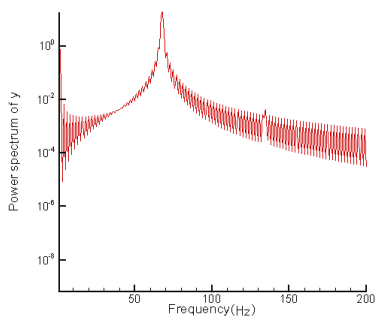
مورد با قراردادن پارامتر سیستم در مقدار مناسب آن از وقوع رفتارهای نامناسب جلوگیری نمود.



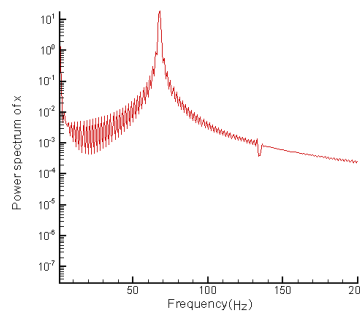
(ب) - ۱-۱۹-۵



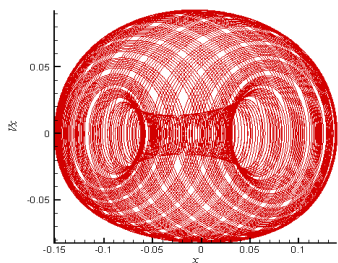
(الف) - ۱-۱۹-۵



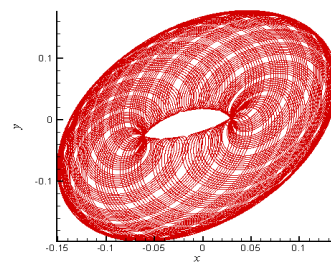
(د) - ۱-۱۹-۵



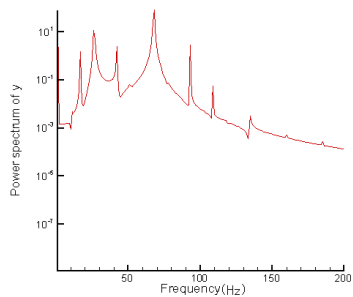
(ج) - ۱-۱۹-۵



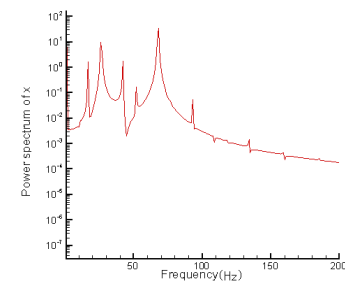
(ب) - ۲-۱۹-۵



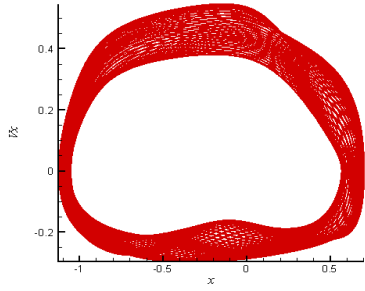
(الف) - ۲-۱۹-۵



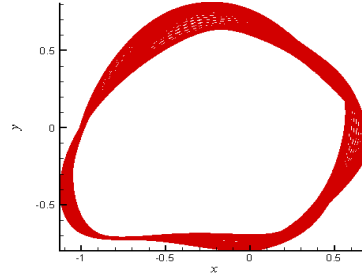
(د) - ۲-۱۹-۵



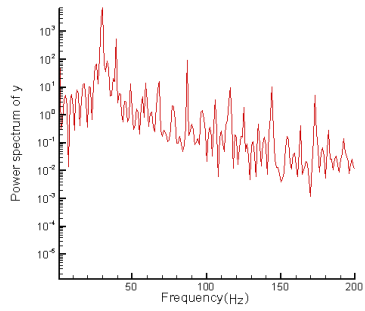
(ج) - ۲-۱۹-۵



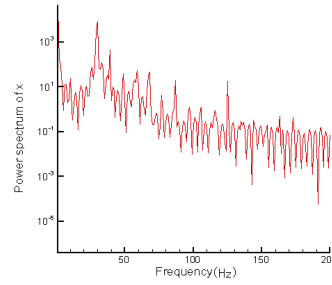
(ب) -۳-۱۹-۵



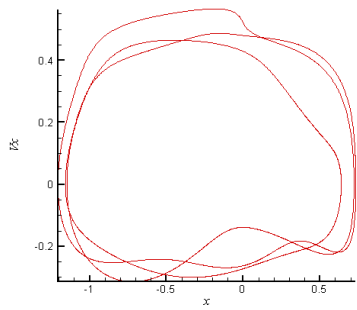
(الف) -۳-۱۹-۵



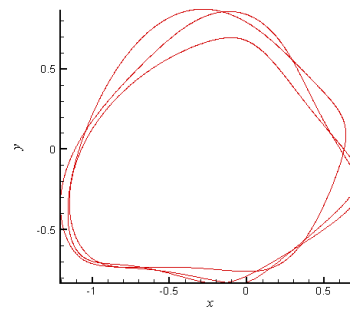
(د) -۳-۱۹-۵



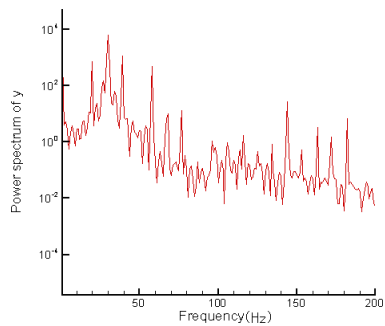
(ج) -۳-۱۹-۵



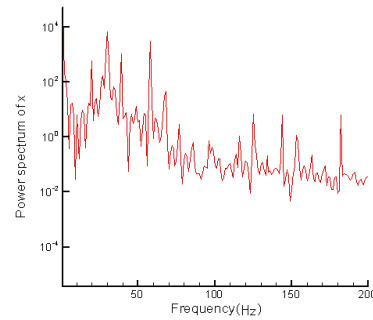
(ب) -۴-۱۹-۵



(الف) -۴-۱۹-۵

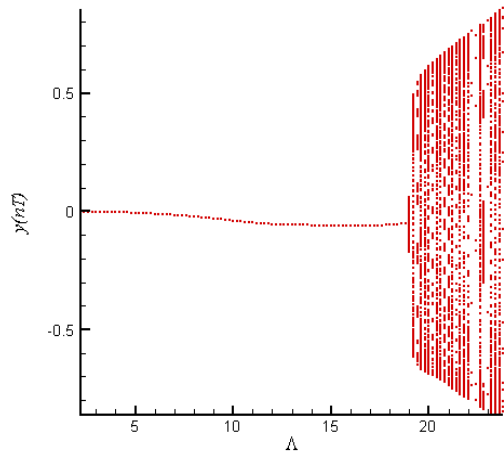


(د) -۴-۱۹-۵

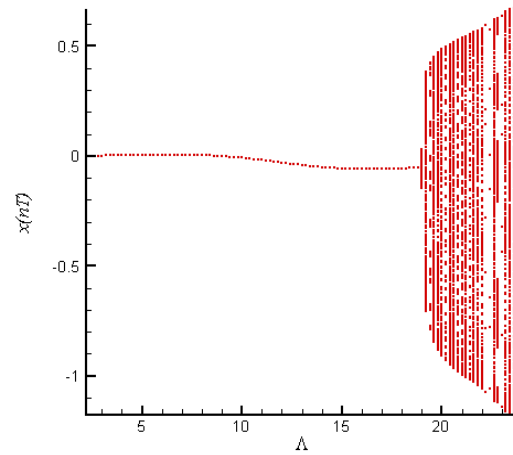


(ج) -۴-۱۹-۵

شکل (۱۹-۵): مدار دینامیکی مرکز محور (الف)، فضای حالت مرکز محور (ب) و طیف توانی آن در راستاهای افقی (ج) و عمودی (د) به ازای $A = 15$ (۱-۱۹-۵)، $A = 19$ (۲-۱۹-۵)، $A = 22$ (۳-۱۹-۵) و $A = 23$ (۴-۱۹-۵) برای یاتاقان سه-لب تحت شرایط $\lambda = 1, \bar{\rho} = 0.001 mm$



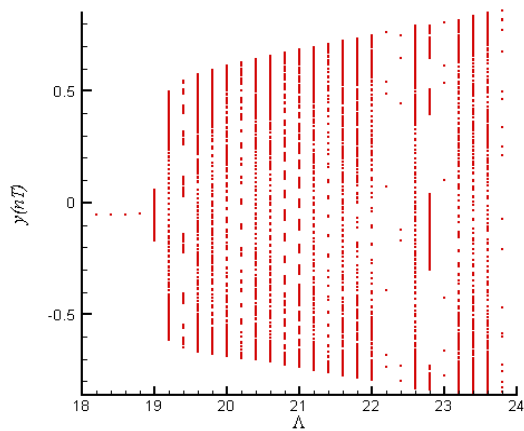
(ب)



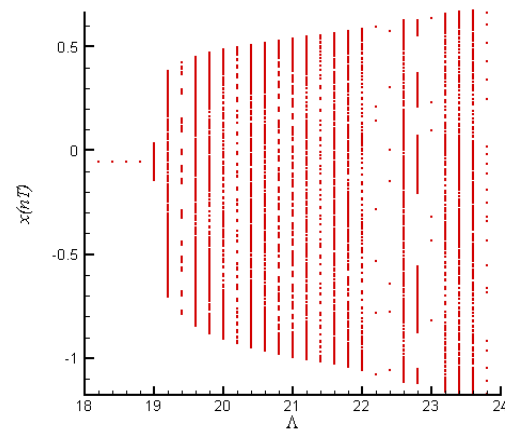
(الف)

شکل (۵-۲۰): دیاگرام دوشاخگی در راستاهای افقی (الف) و عمودی (ب) برای یاتاقان سه-لب تحت شرایط

$$\lambda = 1, \bar{\rho} = 0.001 \text{ mm}$$



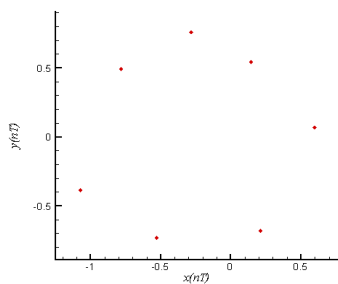
(ب)



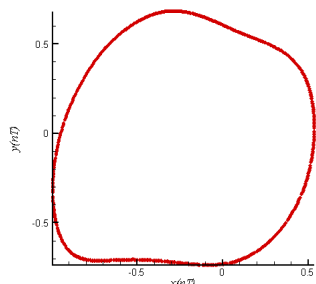
(الف)

شکل (۵-۲۱): دیاگرام دوشاخگی محلی ($18 \leq \Delta \leq 23/8$) در راستاهای افقی (الف) و عمودی (ب) برای یاتاقان سه-لب

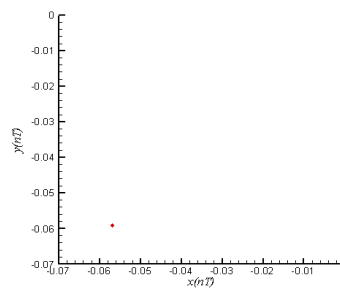
$$\text{تحت شرایط } \lambda = 1, \bar{\rho} = 0.001 \text{ mm}$$



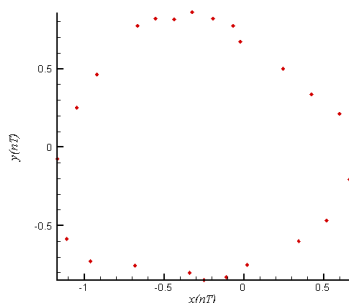
(پ)



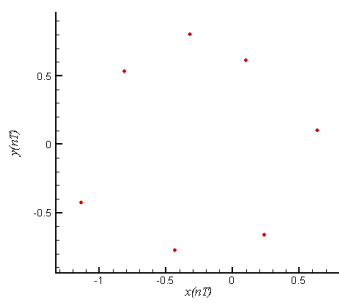
(ب)



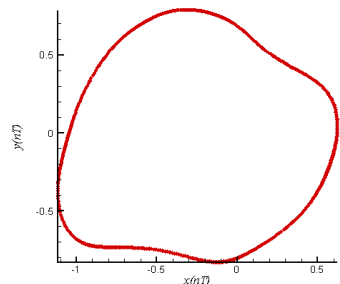
(الف)



(د)



(ج)



(ت)

شکل (۲۲-۵): نگاشت پوانکاره مرکز محور به ازای $\Lambda = 15$ (الف)، ۲۱ (ب)، ۲۲/۲ (پ) و ۲۲/۶ (ت)، ۲۳ (ج) و ۲۳/۸ (د) برای یاتاقان سه-لب تحت شرایط $\lambda = 1, \bar{\rho} = 0.001 \text{ mm}$

۲-۴-۵ اثر جرم محور بر روی رفتار دینامیکی

با در نظر گرفتن بارگذاری خارجی و عدد یاتاقان به ترتیب برابر با $\bar{W} = 5.06/5 \text{ N}$ و $\Lambda = 25$ ، همچنین

مقدار پریلود برابر با $\delta = 0.06$ تاثیر جرم محور روی رفتار سیستم مورد بررسی قرار می‌گیرد.

شکل‌های (۱-۲۳-۵) الف) الی (۴-۲۳-۵) الف) مدارهای دینامیکی را به ازای مقادیر مختلف جرم

محور نشان می‌دهند. رفتار منظم به ازای مقادیر جرم محور $5/2$ و $10/33$ کیلوگرم نشان داده شده است.

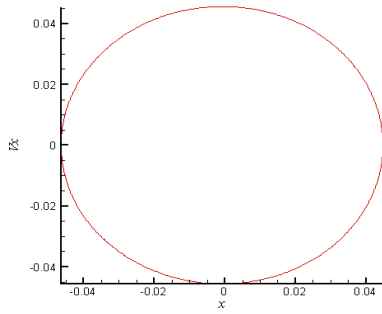
اما با افزایش مقدار جرم محور به $\bar{m}_r = 14/2 \text{ kg}$ پایداری در رفتار منظم کاهش می‌یابد. چنین رفتار

نامنظمی به ازای $\bar{m}_r = 21/9 \text{ kg}$ نیز صورت می‌گیرد.

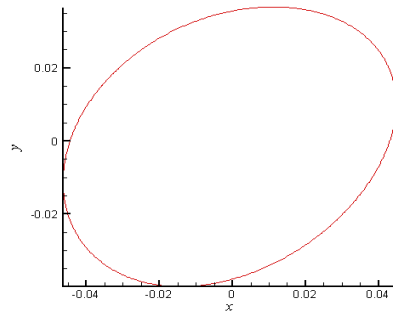
از شکل‌های (۵-۲۳-۱-ب) الی (۵-۲۳-۴-ب) مشاهده می‌شود که فضای حالت نیر به ازای مقادیر جرم محور $۵/۲$ و $۱۰/۳۳$ کیلوگرم منظم است و با افزایش آن به مقادیر $۱۵/۵$ و $۲۰/۶۶$ کیلوگرم نامنظم می‌شود.

شکل‌های (۵-۲۳-۱-ج، د) الی (۵-۲۳-۴-ج، د) طیف‌های توانی را در راستاهای افقی و عمودی برای جرم‌های مذکور نشان می‌دهند. فرکانس‌های غالب در وقوع رفتار سیستم در این شکل‌ها مشخص است. با مشاهده این شکل‌ها انتظار وقوع رفتارهای تناوبی برای مقادیر جرم‌های محور $\bar{m}_r = ۵/۲, ۱۰/۳۳ kg$ و شبه تناوبی برای مقادیر جرم‌های محور $\bar{m}_r = ۱۴/۲, ۲۱/۹ kg$ می‌رود.

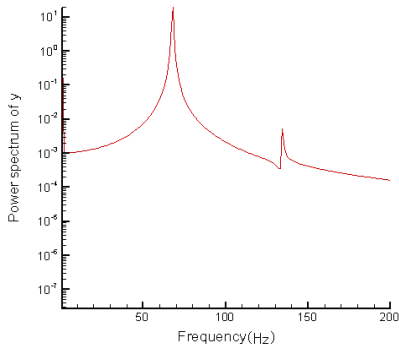
دیاگرام دوشاخگی در شکل‌های (۵-۲۴-الف، ب) تغییرات کیفی که در رفتار سیستم با تغییر مقدار پارامتر آن، جرم محور، در محدوده $۲/۶ \leq \bar{m}_r \leq ۲۲/۷ kg$ صورت می‌گیرد را نشان می‌دهد. دیاگرام دوشاخگی محلی در شکل‌های (۵-۲۵-الف، ب) تغییرات را در محدوده $۱ \leq \bar{m}_r \leq ۲۲/۷ kg$ نشان داده است. مشاهده می‌شود، برای جرم‌های محور کوچکتر از $\bar{m}_r = ۱۱/۱ kg$ سیستم رفتار تناوبی از خود نشان می‌دهد. شکل (۵-۲۶-الف) نگاشت پوانکاره به ازای $\bar{m}_r = ۱۰/۳۳ kg$ ، وقوع چنین رفتاری را با حضور یک نقطه تنها در این صفحه تایید می‌کند. با افزایش جرم محور و قرارگیری آن در محدوده $۱۱/۱ \leq \bar{m}_r \leq ۲۲/۷ kg$ ، سیستم رفتار شبه تناوبی از خود نشان می‌دهد. نگاشت‌های پوانکاره به ازای جرم‌های محور $۱۴/۲$ و $۲۱/۹$ کیلوگرم نشان داده شده در شکل‌های (۵-۲۶-ب، ج) وقوع چنین رفتاری را با تشکیل یک منحنی بسته در این صفحه تایید می‌کنند. اما نگاشت پوانکاره در شکل (۵-۲۶-د) افزایش در پایداری رفتار را با حضور بیست‌وسه نقطه به ازای جرم محور $\bar{m}_r = ۲۲/۷ kg$ در این محدوده ذکر شده نشان می‌دهد. با افزایش مجدد جرم محور از مقدار $\bar{m}_r = ۲۲/۷ kg$ برخورد بین محور و یاتاقان صورت می‌گیرد. لذا می‌توان در این مورد با قراردادن پارامتر سیستم در مقدار مناسب آن از وقوع رفتارهای نامناسب جلوگیری نمود.



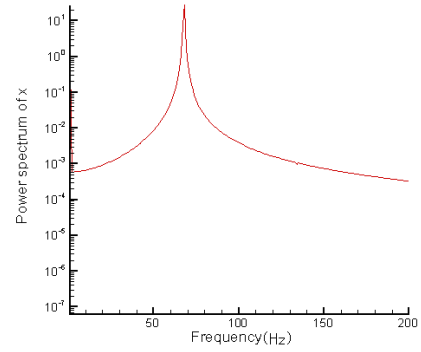
(ب) - ۱-۲۳-۵



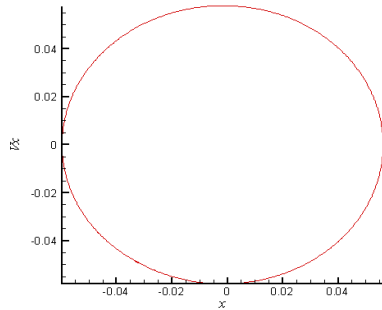
(الف) - ۱-۲۳-۵



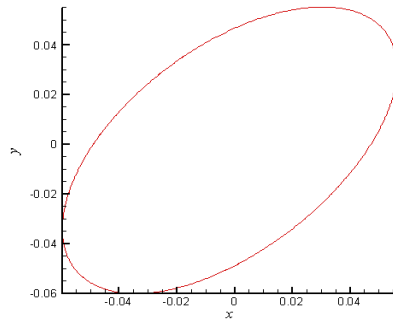
(د) - ۱-۲۳-۵



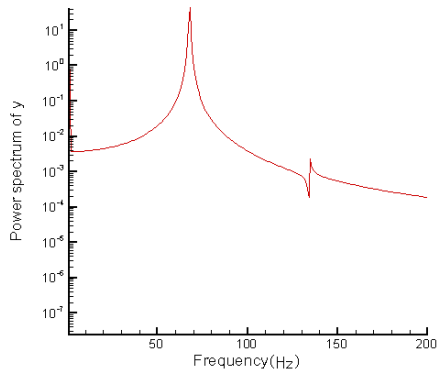
(ج) - ۱-۲۳-۵



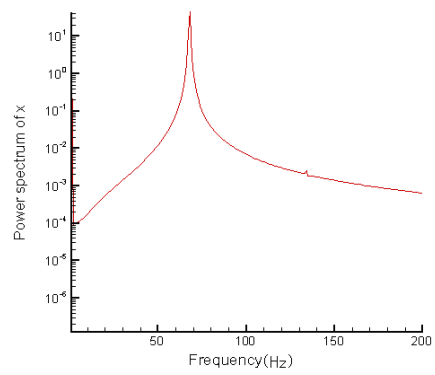
(ب) - ۲-۲۳-۵



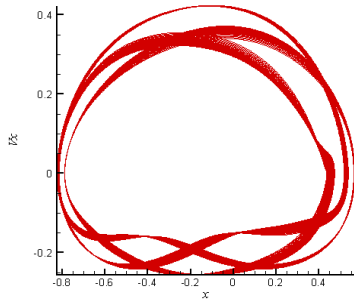
(الف) - ۲-۲۳-۵



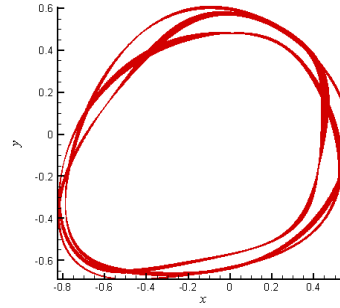
(د) - ۲-۲۳-۵



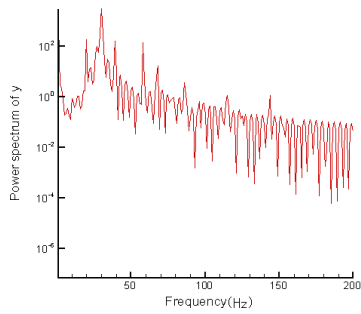
(ج) - ۲-۲۳-۵



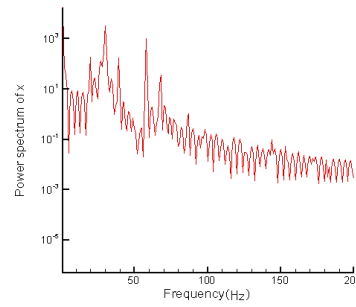
(ب) -۳-۲۳-۵



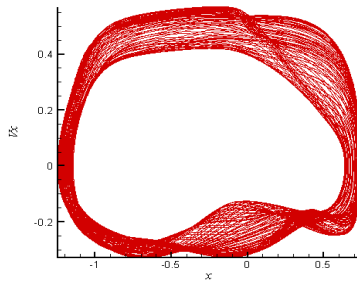
(الف) -۳-۲۳-۵



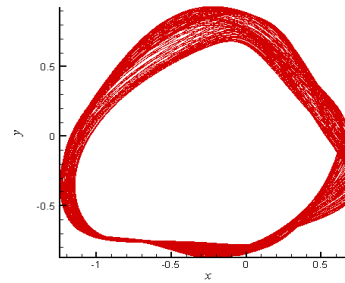
(د) -۳-۲۳-۵



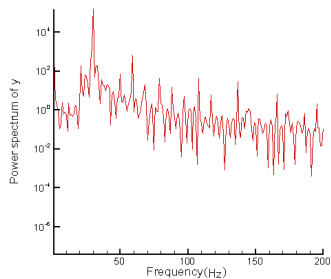
(ج) -۳-۲۳-۵



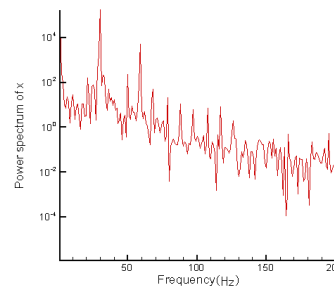
(ب) -۴-۲۳-۵



(الف) -۴-۲۳-۵

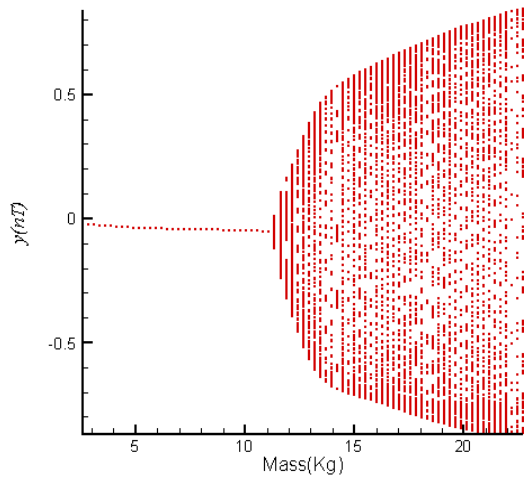


(د) -۴-۲۳-۵

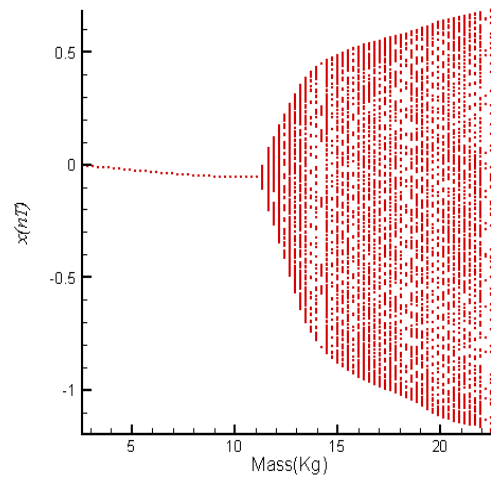


(ج) -۴-۲۳-۵

شکل (۲۳-۵): مدار دینامیکی مرکز محور (الف)، فضای حالت مرکز محور (ب) و طیف توانی آن در راستاهای افقی (ج) و عمودی (د) به ازای $\bar{m}_r = ۵/۲ kg$ (۱-۲۳-۵)، $\bar{m}_r = ۱۰/۳۳ kg$ (۲-۲۳-۵)، $\bar{m}_r = ۱۴/۲ kg$ (۳-۲۳-۵) و $\bar{m}_r = ۲۱/۹ kg$ (۴-۲۳-۵) برای یاتاقان سه-لب تحت شرایط $\lambda = ۱, \bar{\rho} = ۰/۰۰۱ mm$



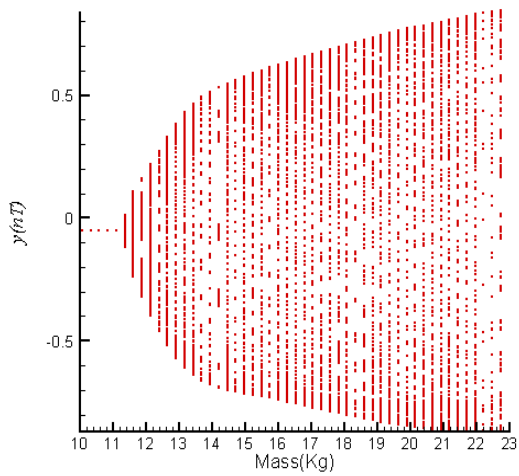
(ب)



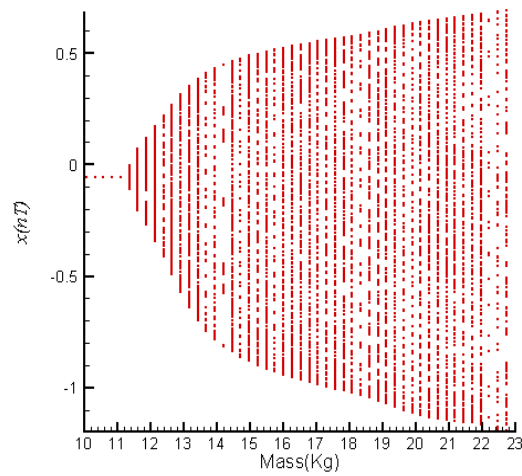
(الف)

شکل (۵-۲۴): دیاگرام دوشاخگی در راستاهای افقی (الف) و عمودی (ب) برای یاتاقان سه-لب تحت شرایط

$$\lambda = 1, \bar{\rho} = 0.001 \text{ mm}$$



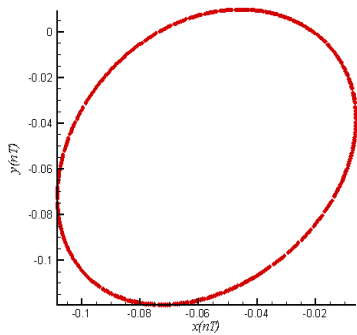
(ب)



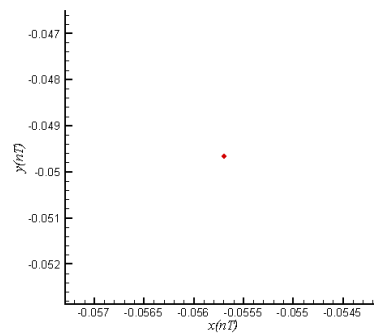
(الف)

شکل (۵-۲۵): دیاگرام دوشاخگی محلی در راستاهای افقی (الف) و عمودی (ب) برای یاتاقان سه-

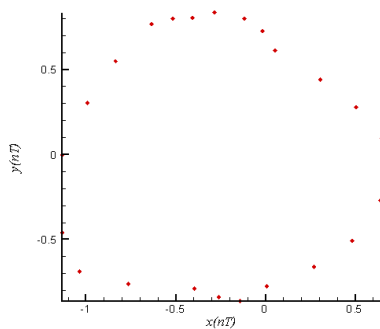
$$\text{لب تحت شرایط } \lambda = 1, \bar{\rho} = 0.001 \text{ mm}$$



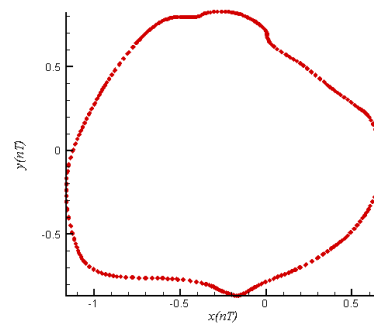
(ب)



(الف)



(د)



(ج)

شکل (۵-۲۶): نگاشت پوانکاره مرکز محور به ازای $\bar{m}_r = 10/33$ (الف)، $14/2$ (ب)، $21/9$ (ج) و $22/2$ (د) کیلوگرم برای یاتاقان سه-لب تحت شرایط $\lambda = 1, \bar{\rho} = 0/001 \text{ mm}$

۵-۴-۳ اثر پریلود بر روی رفتار دینامیکی

با در نظر گرفتن بارگذاری خارجی و عدد یاتاقان به ترتیب برابر با $\bar{W} = 506/5 \text{ N}$ و $A = 25$ ، همچنین مقدار جرم محور برابر با $\bar{m}_r = 25/8 \text{ kg}$ تاثیر پارامتر پریلود روی رفتار سیستم مورد بررسی قرار می-گیرد.

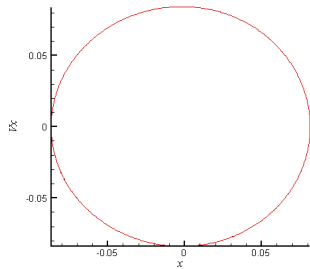
نتایج نشان داده شده در شکل های (۵-۲۷-۱-الف، ب) الی (۵-۲۷-۸-الف، ب) مدارهای دینامیکی و فضای حالت را در مقادیر مختلف پریلود نشان می دهند. نتایج نشان می دهند که سیستم به ازای مقدار پریلود $\delta = 0/48$ رفتار منظم از خود نشان می دهد. با افزایش مقدار پریلود به $\delta = 0/542$ رفتار سیستم نامنظم می شود. چنین رفتاری در شکل های (۵-۲۷-۳-الف، ب) الی (۵-۲۷-۸-الف، ب) نیز به

ازای مقادیر پریلود ۰/۵۴۴، ۰/۵۵، ۰/۵۵۴، ۰/۵۶، ۰/۵۷۶ و ۰/۵۸۴ نشان داده شده است. مشاهده می شود که در میان این اعداد، میزان شدت بی نظمی به ازای مقادیر ۰/۵۴۴، ۰/۵۵۴ و ۰/۵۷۶ کمتر است.

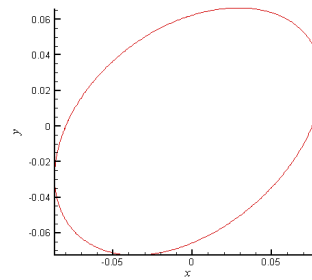
شکل های (۵-۲۷-۱-ج، د) الی (۵-۲۷-۸-ج، د) طیف های توانی را در راستاهای افقی و عمودی برای مقادیر پریلود مذکور نشان می دهند. فرکانس های غالب در وقوع رفتار سیستم در این شکل ها مشخص است. با مشاهده این شکل ها انتظار وقوع رفتارهای تناوبی و شبه تناوبی می رود.

دیاگرام دوشاخگی در شکل های (۵-۲۸-الف، ب) تغییرات کیفی که در رفتار سیستم با تغییر مقدار پارامتر آن، پریلود، در محدوده $0/588 \leq \delta \leq 0/4$ صورت می گیرد، نشان می دهد. دیاگرام دوشاخگی محلی در شکل های (۵-۲۹-الف، ب) تغییرات را در محدوده $0/588 \leq \delta \leq 0/532$ نشان داده است. مشاهده می شود برای مقادیر پریلود کوچکتر از $\delta = 0/54$ سیستم رفتار تناوبی از خود نشان می دهد. شکل (۵-۳۰-الف) نگاشت پوانکاره به ازای $\delta = 0/52$ ، وقوع چنین رفتاری را با حضور یک نقطه تنها در این صفحه تایید می کند. با افزایش مقدار پریلود و قرارگیری آن در محدوده $0/544 < \delta \leq 0/54$ سیستم رفتار شبه تناوبی از خود نشان می دهد. نگاشت پوانکاره به ازای مقدار پریلود $\delta = 0/54$ نشان - داده شده در شکل (۵-۳۰-ب) وقوع چنین رفتاری با تشکیل یک منحنی بسته در این صفحه تایید می - کند. کاهش در میزان بی نظمی و شکل گیری رفتار از نوع پنج-پریودیکی در محدوده $0/546 < \delta \leq 0/544$ صورت می گیرد و نگاشت پوانکاره در شکل (۵-۳۰-پ) وقوع چنین رفتاری را با حضور پنج نقطه در این صفحه به ازای مقدار پریلود $\delta = 0/544$ نشان می دهد. با افزایش مقدار پریلود، سیستم، در محدوده وسیعی از تغییرات آن ($0/588 \leq \delta \leq 0/546$) رفتار شبه تناوبی از خود نشان می - دهد. اما در این محدوده، محدوده های کوچکی نظیر $0/556 < \delta < 0/552$ و $0/58 < \delta < 0/574$ می - توان یافت که در آن رفتار هفت-پریودیکی صورت می گیرد. نگاشت های پوانکاره در شکل (۵-۳۰) شبه تناوبی بودن رفتار را به ازای مقادیر پریلود ۰/۵۵، ۰/۵۶ و ۰/۵۸۴ و هفت-پریودیکی بودن آن را به ازای

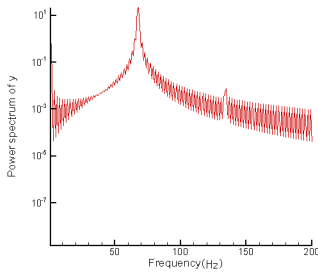
مقادیر پریلود ۰/۵۵۴ و ۰/۵۷۶ نشان می‌دهند. با افزایش مجدد مقدار پریلود از $\delta = ۰/۵۸۸$ برخورد بین محور و یاتاقان صورت می‌گیرد. لذا می‌توان در این مورد با قراردادن پارامتر سیستم در مقدار مناسب آن از وقوع رفتارهای نامناسب جلوگیری نمود.



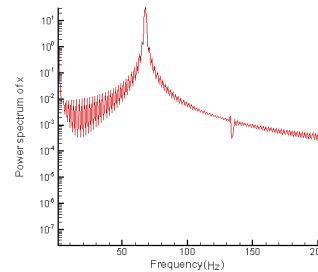
(ب) -۱-۲۷-۵



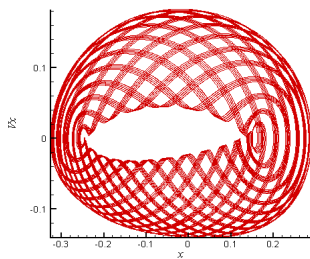
(الف) -۱-۲۷-۵



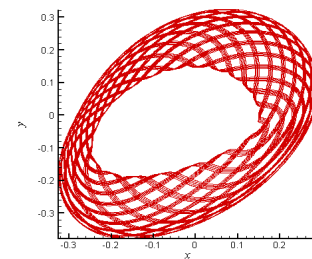
(د) -۱-۲۷-۵



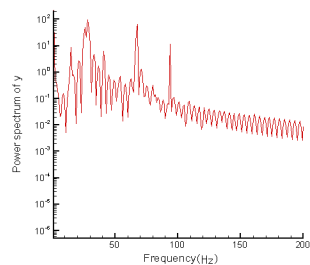
(ج) -۱-۲۷-۵



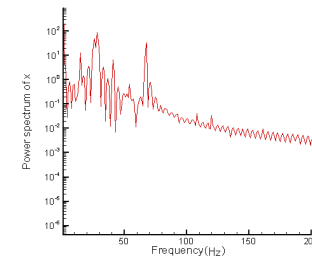
(ب) -۲-۲۷-۵



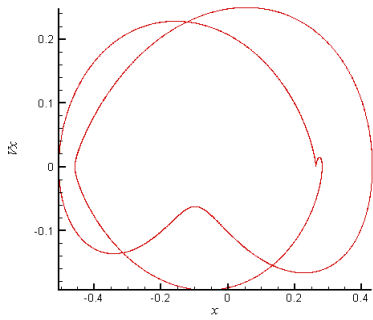
(الف) -۲-۲۷-۵



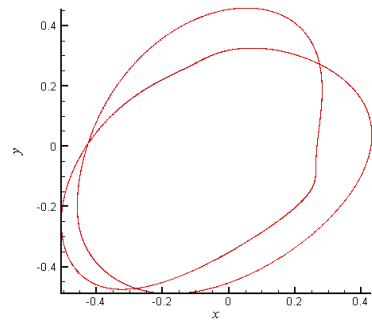
(د) -۲-۲۷-۵



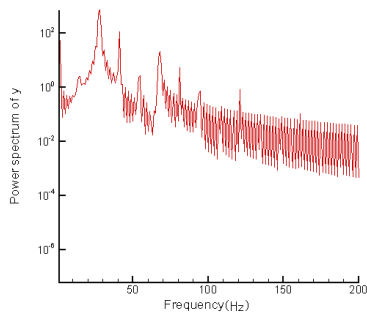
(ج) -۲-۲۷-۵



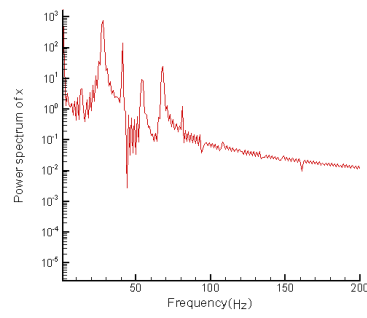
(ب) - ۳-۲۷-۵



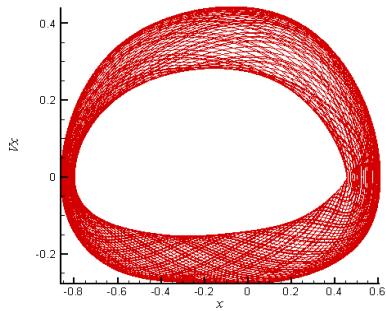
(الف) - ۳-۲۷-۵



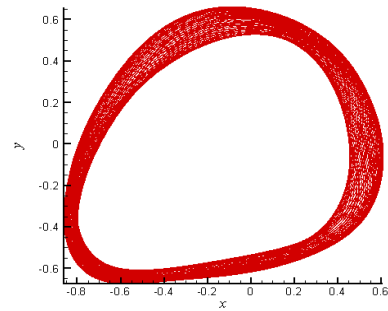
(د) - ۳-۲۷-۵



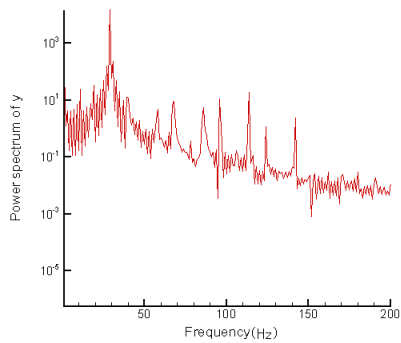
(ج) - ۳-۲۷-۵



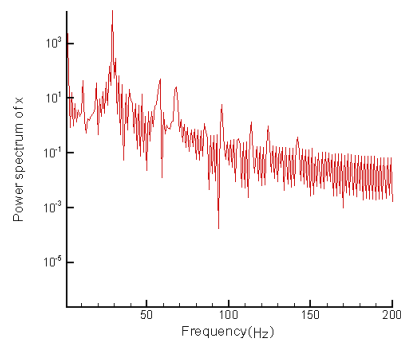
(ب) - ۴-۲۷-۵



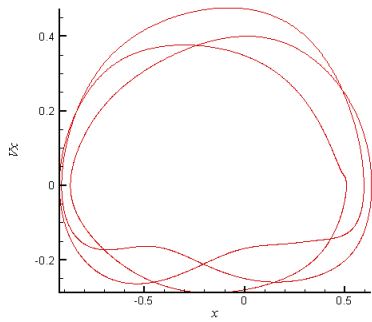
(الف) - ۴-۲۷-۵



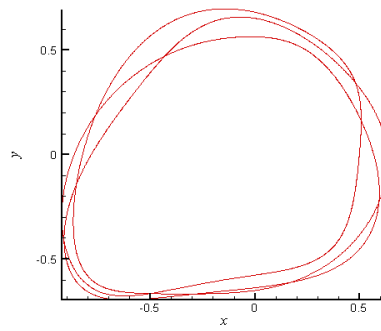
(د) - ۴-۲۷-۵



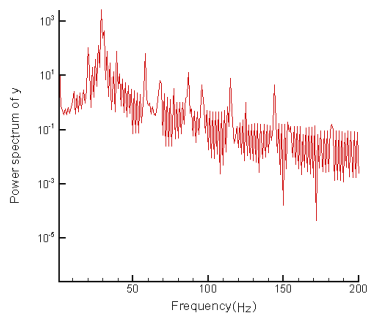
(ج) - ۴-۲۷-۵



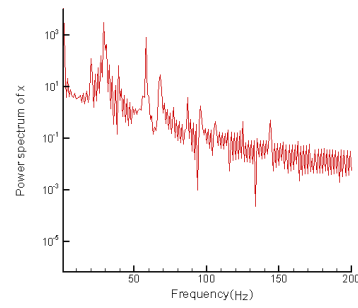
(ب) - ۵-۲۷-۵



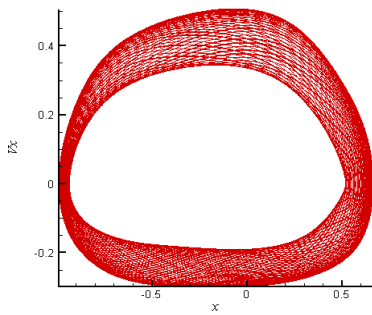
(الف) - ۵-۲۷-۵



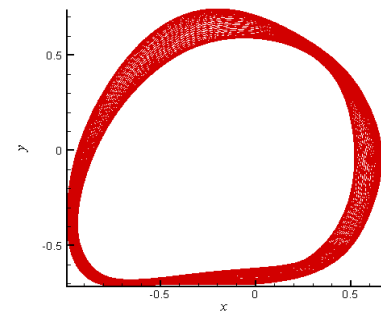
(د) - ۵-۲۷-۵



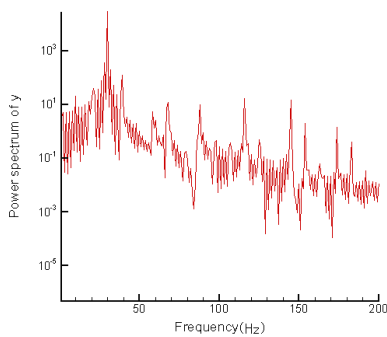
(ج) - ۵-۲۷-۵



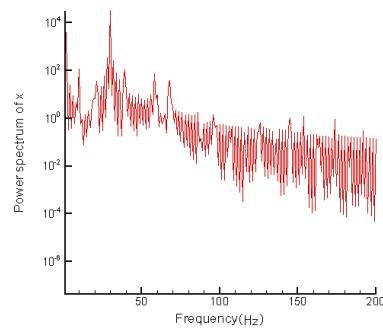
(ب) - ۶-۲۷-۵



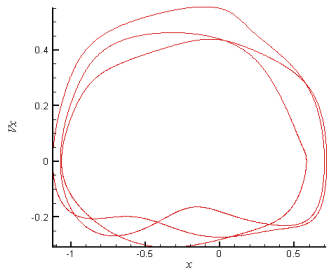
(الف) - ۶-۲۷-۵



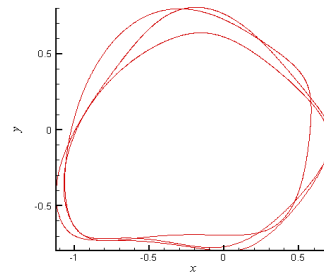
(د) - ۶-۲۷-۵



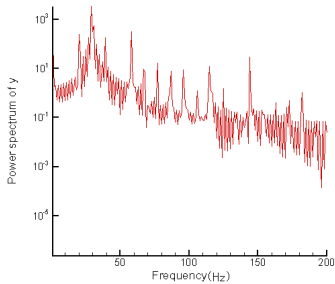
(ج) - ۶-۲۷-۵



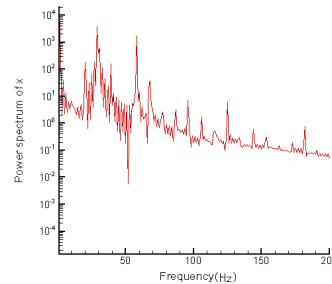
(ب) -۷-۲۷-۵



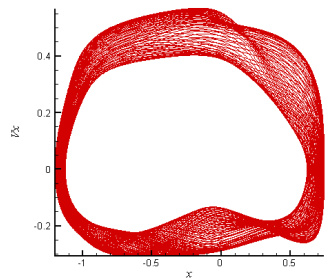
(الف) -۷-۲۷-۵



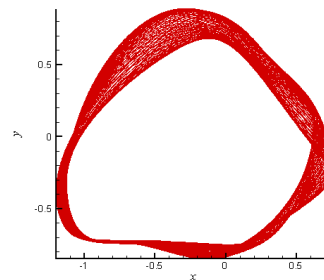
(د) -۷-۲۷-۵



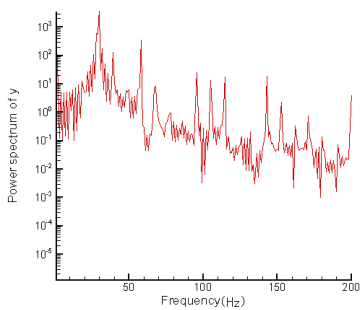
(ج) -۷-۲۷-۵



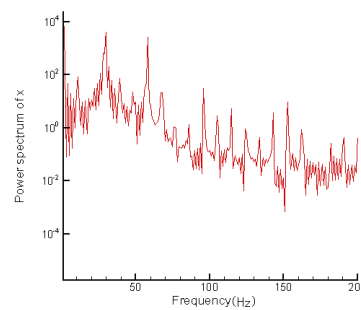
(ب) -۸-۲۷-۵



(الف) -۸-۲۷-۵

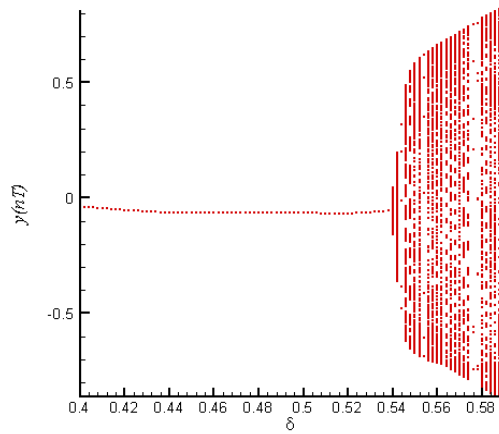


(د) -۸-۲۷-۵

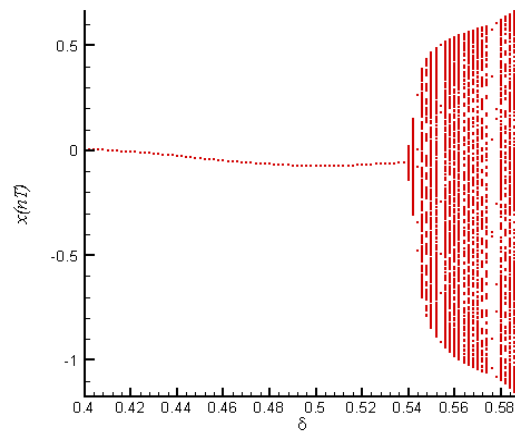


(ج) -۸-۲۷-۵

شکل (۲۷-۵): مدار دینامیکی مرکز محور (الف)، فضای حالت مرکز محور (ب) و طیف توانی آن در راستاهای افقی (ج) و عمودی (د) به ازای $\delta = 0/48$ (۱-۲۷-۵)، $\delta = 0/542$ (۲-۲۷-۵)، $\delta = 0/544$ (۳-۲۷-۵)، $\delta = 0/55$ (۴-۲۷-۵)، $\delta = 0/554$ (۵-۲۷-۵)، $\delta = 0/56$ (۶-۲۷-۵)، $\delta = 0/576$ (۷-۲۷-۵) و $\delta = 0/584$ (۸-۲۷-۵) برای یاتاقان سه-لب تحت شرایط $\lambda = 1, \bar{\rho} = 0/001 mm$



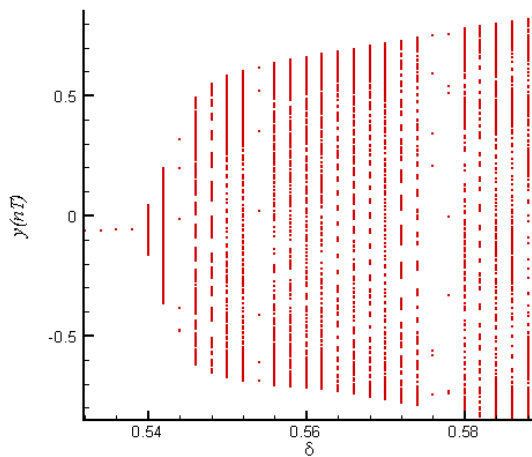
(ب)



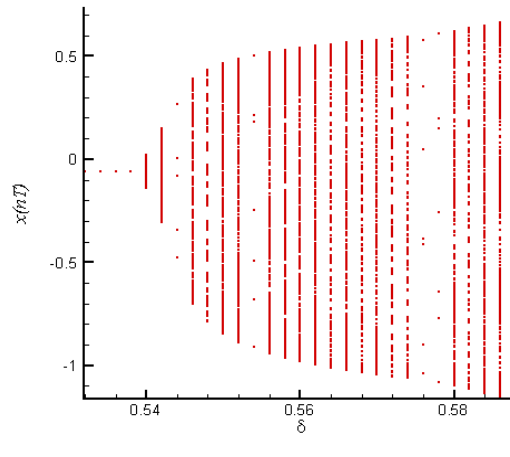
(الف)

شکل (۵-۲۸): دیاگرام دوشاخگی در راستاهای افقی (الف) و عمودی (ب) برای یاتاقان سه-لب تحت شرایط

$$\lambda = 1, \bar{\rho} = 0.01 \text{ mm}$$



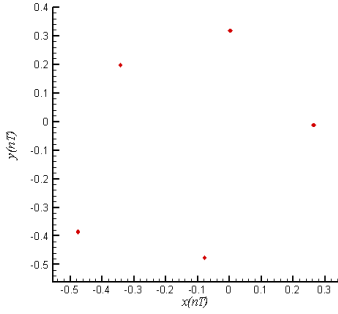
(ب)



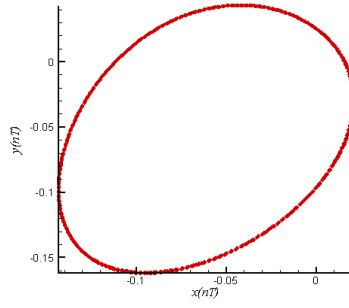
(الف)

شکل (۵-۲۹): دیاگرام دوشاخگی محلی ($0.532 \leq \delta \leq 0.588$) در راستاهای افقی (الف) و عمودی (ب) برای یاتاقان

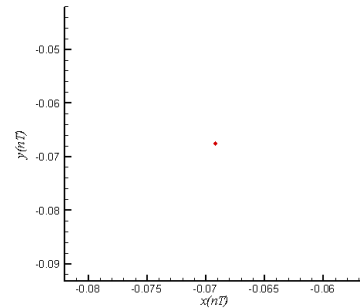
$$\text{سه-لب تحت شرایط } \lambda = 1, \bar{\rho} = 0.01 \text{ mm}$$



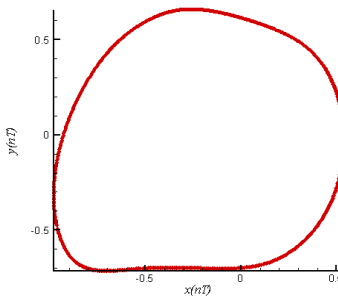
(پ)



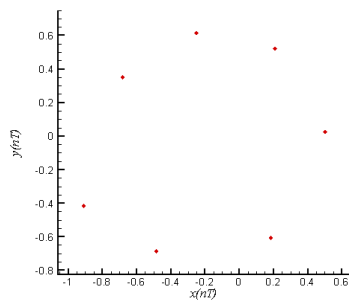
(ب)



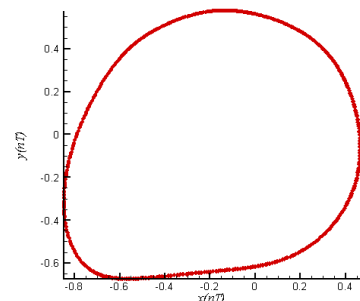
(الف)



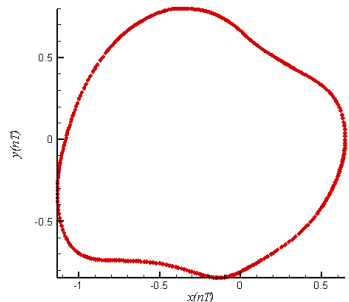
(د)



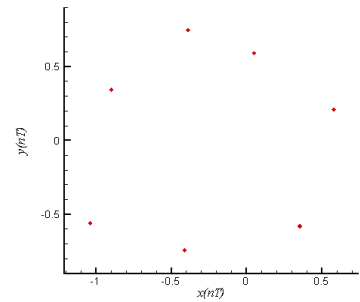
(ج)



(ت)



(ر)



(ذ)

شکل (۵-۳۰): نگاشت پوانکاره مرکز محور به ازای $\delta = . / ۵۲$ ، (الف)، (ب)، (پ)، (ت)، (ج)، (د)، (ذ)، (ر) برای یاتاقان سه-لب تحت شرایط $\lambda = ۱, \bar{\rho} = ۰ / ۰۰۱ mm$

۵-۵ بررسی رفتار دینامیکی با در نظر گرفتن $\lambda = ۱ / ۵, \bar{\rho} = ۰ / ۰۰۱ mm$

در این بخش با فرض نابالانسی جرمی محور در حالتی که نسبت طول به قطر یاتاقان $۱ / ۵$ باشد، اثرات عدد یاتاقان، جرم محور و پریلود روی رفتار دینامیکی سیستم مورد بررسی قرار می‌گیرد.

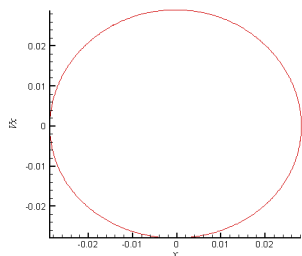
۵-۱ اثر عدد یاتاقان بر روی رفتار دینامیکی

با در نظر گرفتن بارگذاری خارجی و جرم محور به ترتیب برابر با $\bar{W} = 5.6/5 N$ و $\bar{m}_r = 25/8 kg$ ، همچنین مقدار پرلود برابر با $\delta = 0/6$ تاثیر عدد یاتاقان روی رفتار سیستم مورد بررسی قرار می‌گیرد. شکل‌های (۵-۳۱-۱ الف، ب) الی (۵-۳۱-۴ الف، ب) مدارهای دینامیکی و فضای حالت را به ازای مقادیر مختلف عدد یاتاقان نشان می‌دهند. رفتار منظم به ازای مقادیر عدد یاتاقان ۱۰ و ۱۵ نشان داده شده است. اما با افزایش مقدار عدد یاتاقان به ۲۰ پایداری در رفتار منظم کاهش می‌یابد. چنین رفتار نامنظمی به ازای $\Lambda = 25$ نیز صورت می‌گیرد.

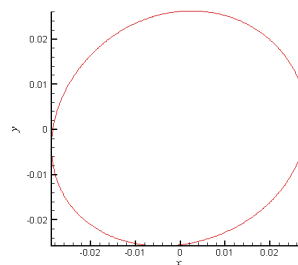
شکل‌های (۵-۳۱-۱ ج، د) الی (۵-۳۱-۴ ج، د) طیف‌های توانی را در راستاهای افقی و عمودی برای اعداد یاتاقان مذکور نشان می‌دهند. فرکانس‌های غالب در وقوع رفتار سیستم در این شکل‌ها مشخص است. با مشاهده این شکل‌ها انتظار وقوع رفتارهای تناوبی در اعداد یاتاقان ۱۰ و ۱۵ و شبه تناوبی در اعداد یاتاقان ۲۰ و ۲۵ می‌رود.

دیاگرام دوشاخگی در شکل‌های (۵-۳۲ الف، ب) تغییرات کیفی که در رفتار سیستم با تغییر مقدار پارامتر آن، عدد یاتاقان، در محدوده $2 \leq \Lambda \leq 28/2$ صورت می‌گیرد، نشان می‌دهد. دیاگرام دوشاخگی محلی در شکل‌های (۵-۳۳ الف، ب) تغییرات را در محدوده $16 \leq \Lambda \leq 28/2$ نشان داده است. مشاهده می‌شود که برای اعداد یاتاقان کوچکتر از $\Lambda = 18$ سیستم رفتار تناوبی از خود نشان می‌دهد. شکل (۵-۳۴ الف) نگاشت پوانکاره به ازای $\Lambda = 15$ وقوع چنین رفتاری را با حضور یک نقطه تنها در این صفحه تایید می‌کند. با افزایش عدد یاتاقان و قرارگیری آن در محدوده $18 \leq \Lambda \leq 28/2$ سیستم رفتار شبه تناوبی از خود نشان می‌دهد. نگاشت‌های پوانکاره در اعداد یاتاقان ۲۰ و ۲۵ نشان داده شده در شکل‌های (۵-۳۴ ب، ج) وقوع چنین رفتاری را با تشکیل یک منحنی بسته در این صفحه تایید می‌کند. اما در این محدوده گسترده ذکر شده می‌توان اعدادی نظیر $\Lambda = 25/4$ پیدا نمود که در آن رفتار KT -پریودیکی

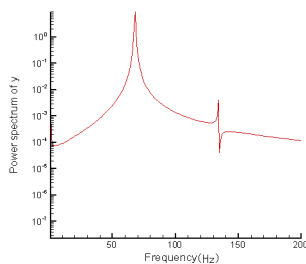
صورت می‌گیرد. نگاشت پوانکاره در عدد یاتاقان $A = 25/4$ نشان داده شده در شکل (۵-۳۴-د) رفتار از نوع سیزده-پریودیکی را نشان می‌دهد. با افزایش مجدد عدد یاتاقان از مقدار $A = 28/2$ برخورد بین محور و یاتاقان صورت می‌گیرد. لذا می‌توان در این مورد با قراردادن پارامتر سیستم در مقدار مناسب آن از وقوع رفتارهای نامناسب جلوگیری نمود.



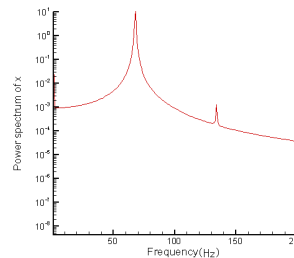
(ب) -۱-۳۱-۵



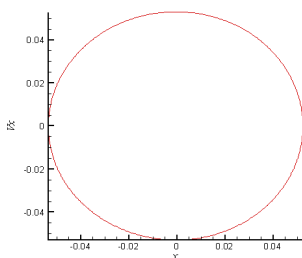
(الف) -۱-۳۱-۵



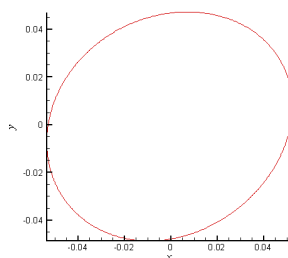
(د) -۱-۳۱-۵



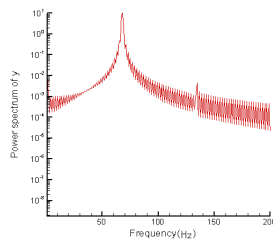
(ج) -۱-۳۱-۵



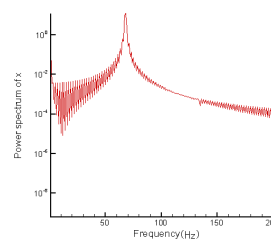
(ب) -۲-۳۱-۵



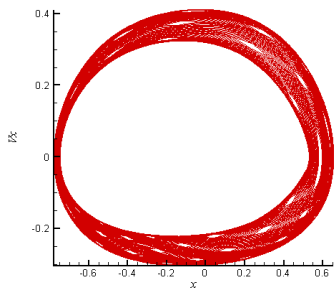
(الف) -۲-۳۱-۵



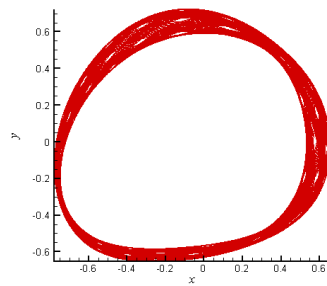
(د) -۲-۳۱-۵



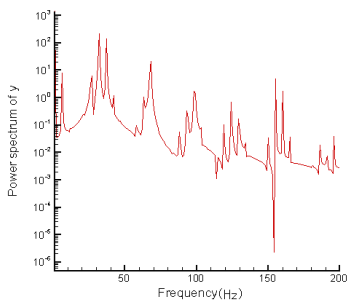
(ج) -۲-۳۱-۵



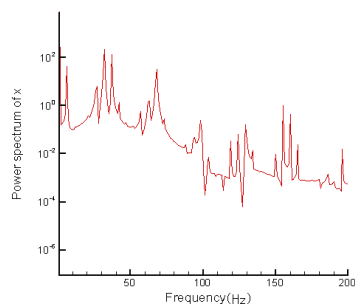
(ب) - ۳-۳۱-۵



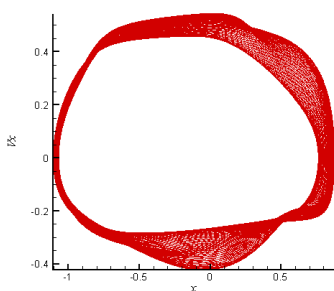
(الف) - ۳-۳۱-۵



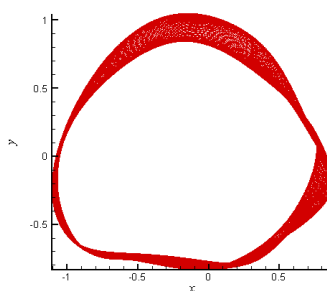
(د) - ۳-۳۱-۵



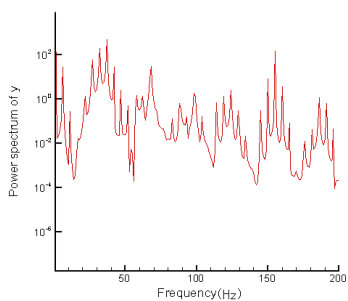
(ج) - ۳-۳۱-۵



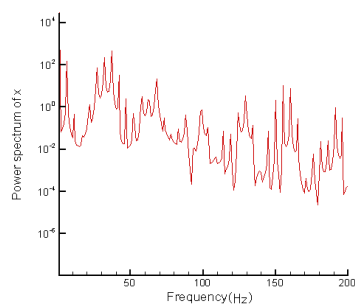
(ب) - ۴-۳۱-۵



(الف) - ۴-۳۱-۵

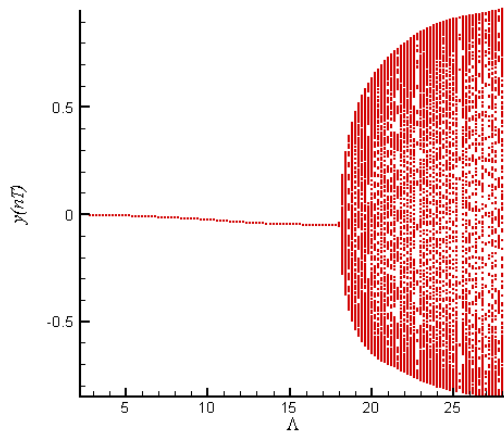


(د) - ۴-۳۱-۵

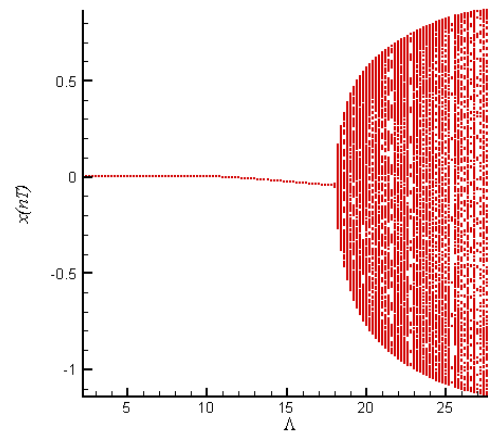


(ج) - ۴-۳۱-۵

شکل (۳۱-۵): مدار دینامیکی مرکز محور (الف)، فضای حالت مرکز محور (ب) و طیف توانی آن در راستاهای افقی (ج) و عمودی (د) به ازای $A=10$ ، $A=15$ ، $A=20$ ، $A=25$ و $A=30$ برای یاتاقان سه-لب تحت شرایط $\lambda=1/5$ ، $\bar{\rho}=0.01 mm$



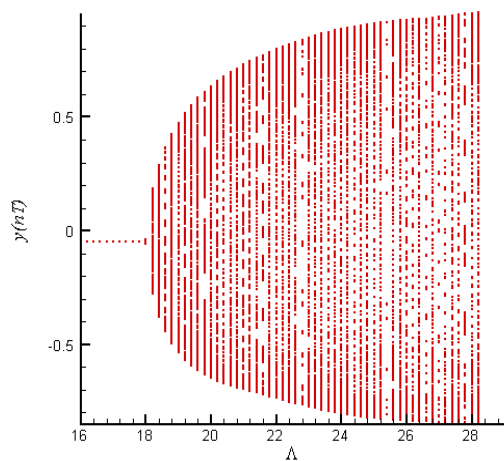
(ب)



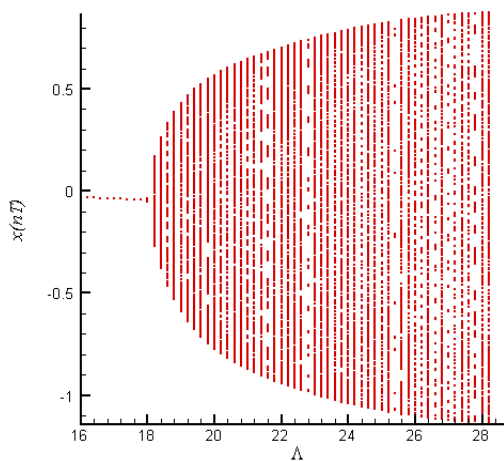
(الف)

شکل (۵-۳۲): دیاگرام دوشاخگی در راستاهای افقی (الف) و عمودی (ب) برای یاتاقان سه-لب تحت شرایط

$$\lambda = 1/5, \bar{\rho} = 0.001 \text{ mm}$$



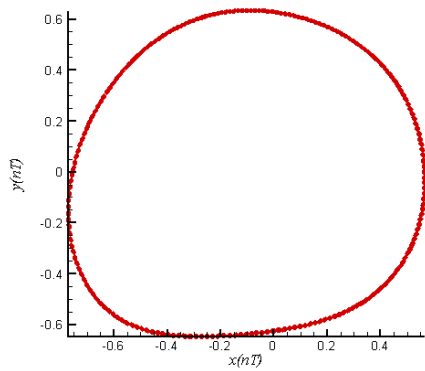
(ب)



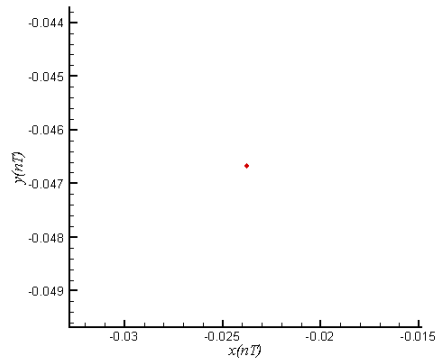
(الف)

شکل (۵-۳۳): دیاگرام دوشاخگی محلی ($16 \leq \Lambda \leq 28/2$) در راستاهای افقی (الف) و عمودی (ب) برای یاتاقان سه-لب

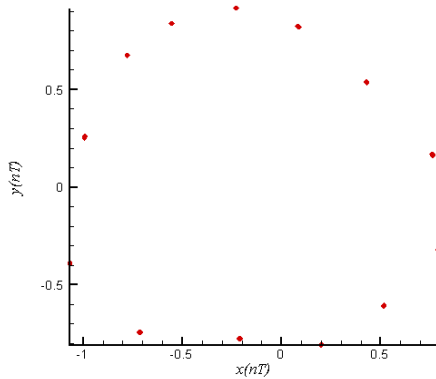
تحت شرایط $\lambda = 1/5, \bar{\rho} = 0.001 \text{ mm}$



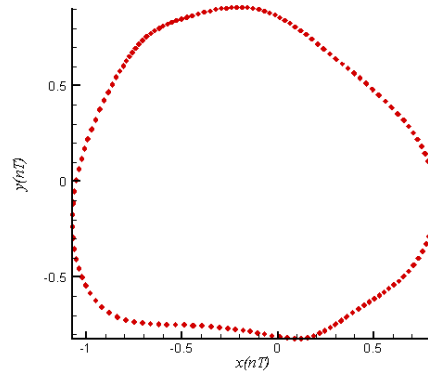
(ب)



(الف)



(د)



(ج)

شکل (۵-۳۴): نگاشت پوانکاره مرکز محور به ازای $A=15$ (الف)، ۲۰ (ب)، ۲۵ (ج) و $25/4$ (د) برای یاتاقان سه-لب تحت شرایط $\lambda=1/5, \bar{\rho}=0.001 mm$

۵-۵-۲ اثر جرم محور بر روی رفتار دینامیکی

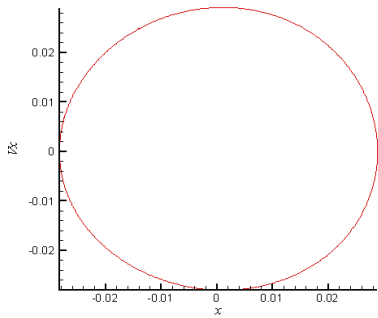
با در نظر گرفتن بارگذاری خارجی و عدد یاتاقان به ترتیب برابر با $\bar{W} = 5.06/5 N$ و $A=25$ ، همچنین مقدار پریلود برابر با $\delta = 0/6$ تاثیر جرم محور روی رفتار سیستم مورد بررسی قرار می‌گیرد.

شکل‌های (۵-۳۵-۱) الف) الی (۵-۳۵-۴) الف) مدارهای دینامیکی را به ازای مقادیر مختلف جرم محور نشان می‌دهند. رفتار منظم به ازای مقادیر جرم محور $5/2$ و $10/33$ کیلوگرم نشان داده شده است. اما با افزایش مقدار جرم محور به $\bar{m}_r = 18/kg$ پایداری در رفتار منظم کاهش می‌یابد. چنین رفتار نامنظمی به ازای $\bar{m}_r = 30 kg$ نیز صورت می‌گیرد.

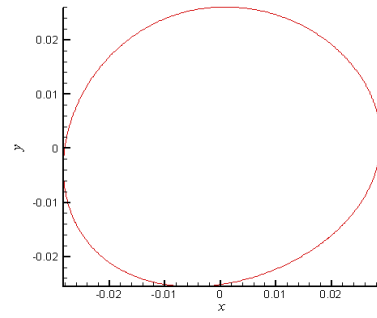
از شکل‌های (۵-۳۵-۱-ب) الی (۵-۳۵-۴-ب) مشاهده می‌شود که فضای حالت به ازای مقادیر جرم محور ۵/۲ و ۱۰/۳۳ کیلوگرم منظم است و با افزایش آن به مقادیر ۱۸/۱ و ۳۰ کیلوگرم نامنظم می‌شود.

شکل‌های (۵-۳۵-۱-ج، د) الی (۵-۳۵-۴-ج، د) طیف‌های توانی را در راستاهای افقی و عمودی برای جرم‌های مذکور نشان می‌دهند. فرکانس‌های غالب در وقوع رفتار سیستم در این شکل‌ها مشخص است. با مشاهده این شکل‌ها انتظار وقوع رفتارهای تناوبی برای مقادیر جرم‌های محور ۵/۲ و ۱۰/۳۳ کیلوگرم و شبه تناوبی برای مقادیر جرم‌های محور ۱۸/۱ و ۳۰ کیلوگرم می‌رود.

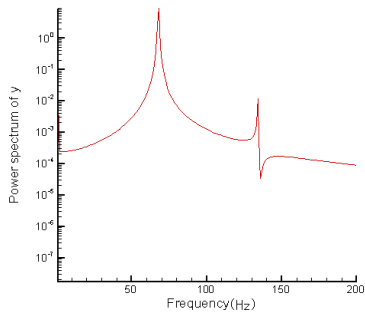
دیاگرام دوشاخگی در شکل‌های (۵-۳۶-الف، ب) تغییرات کیفی که در رفتار سیستم با تغییر مقدار پارامتر آن، جرم محور، در محدوده $\bar{m}_r \leq 33/8 \text{ kg}$ و $2/6 \leq \bar{m}_r$ صورت می‌گیرد، نشان می‌دهد. دیاگرام دوشاخگی محلی در شکل‌های (۵-۳۷-الف، ب) تغییرات را در محدوده $33/8 \text{ kg} \leq \bar{m}_r \leq 10$ نشان داده است. مشاهده می‌شود برای جرم‌های محور کوچکتر از $\bar{m}_r = 11/9 \text{ kg}$ سیستم رفتار تناوبی از خود نشان می‌دهد. شکل (۵-۳۸-الف) نگاشت پوانکاره به ازای $\bar{m}_r = 10/33 \text{ kg}$ ، وقوع چنین رفتاری را با حضور یک نقطه تنها در این صفحه تایید می‌کند. با افزایش جرم محور و قرارگیری آن در محدوده $11/9 \leq \bar{m}_r \leq 33/8 \text{ kg}$ سیستم رفتار شبه تناوبی از خود نشان می‌دهد. نگاشت‌های پوانکاره به ازای جرم‌های محور ۱۸/۱ و ۳۰ کیلوگرم نشان‌داده‌شده در شکل‌های (۵-۳۸-ب، ج) وقوع چنین رفتاری با تشکیل یک منحنی بسته در این صفحه تایید می‌کند. اما در این محدوده گسترده ذکر شده می‌توان مقادیری نظیر $\bar{m}_r = 26/6 \text{ kg}$ پیدا نمود که در آن رفتار KT -پریودیک صورت می‌گیرد. نگاشت پوانکاره به ازای جرم محور $\bar{m}_r = 26/6 \text{ kg}$ نشان‌داده‌شده در شکل (۵-۳۸-د) رفتار از نوع سیزده-پریودیکی را نشان می‌دهد. با افزایش مجدد جرم محور از مقدار $\bar{m}_r = 33/8 \text{ kg}$ برخورد بین محور و یاتاقان صورت می‌گیرد. لذا می‌توان در این مورد با قراردادن پارامتر سیستم در مقدار مناسب آن از وقوع رفتارهای نامناسب جلوگیری نمود.



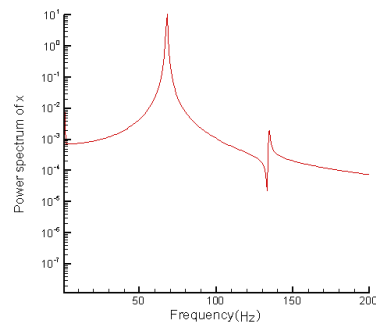
(ب) - ۱-۳۵-۵



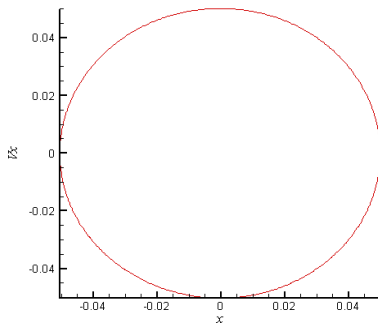
(الف) - ۱-۳۵-۵



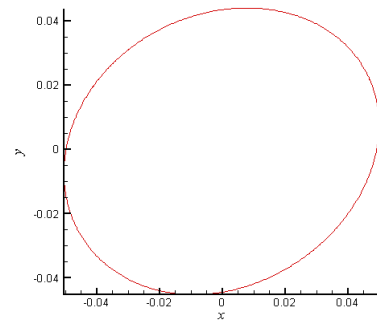
(د) - ۱-۳۵-۵



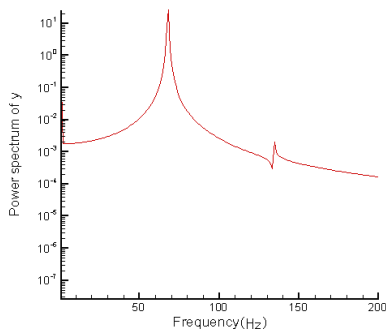
(ج) - ۱-۳۵-۵



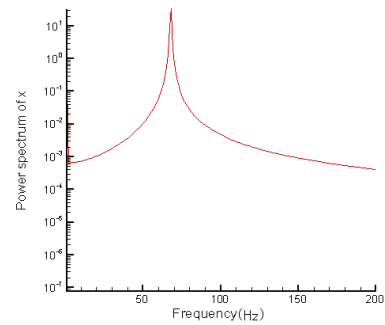
(ب) - ۲-۳۵-۵



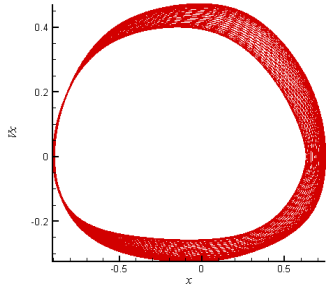
(الف) - ۲-۳۵-۵



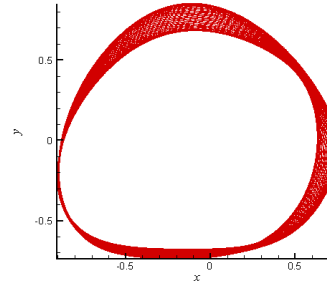
(د) - ۲-۳۵-۵



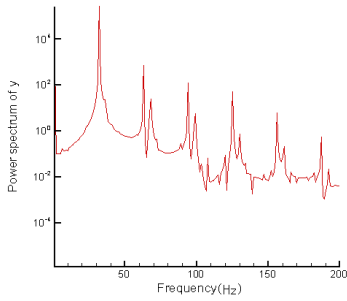
(ج) - ۲-۳۵-۵



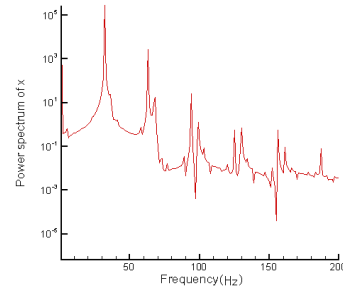
(ب) -۳-۳۵-۵



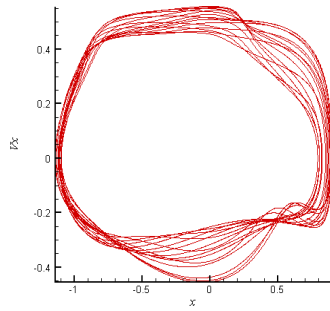
(الف) -۳-۳۵-۵



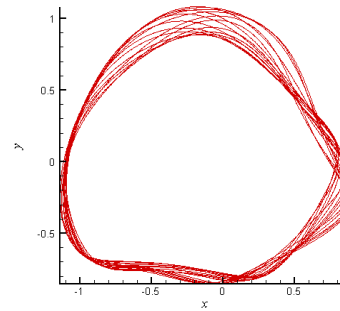
(د) -۳-۳۵-۵



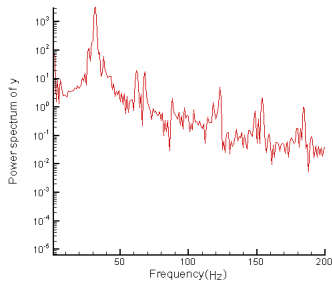
(ج) -۳-۳۵-۵



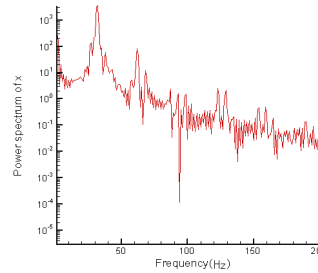
(ب) -۴-۳۵-۵



(الف) -۴-۳۵-۵

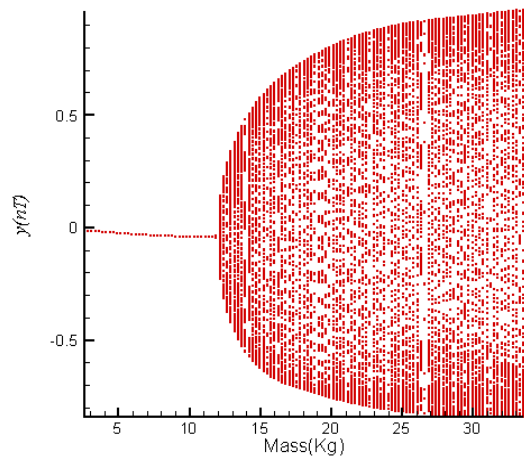


(د) -۴-۳۵-۵

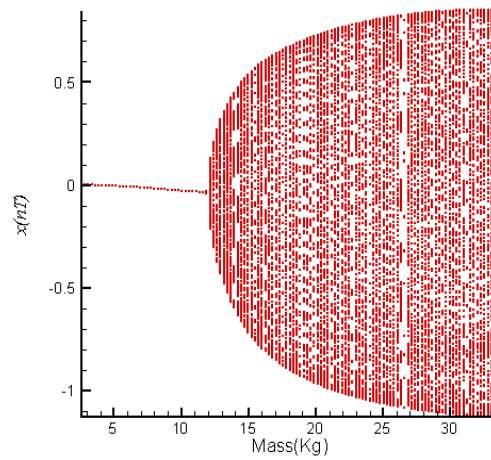


(ج) -۴-۳۵-۵

شکل (۳۵-۵): مدار دینامیکی مرکز محور (الف)، فضای حالت مرکز محور (ب) و طیف توانی آن در راستاهای افقی (ج) و عمودی (د) به ازای $\bar{m}_r = 5/2 kg$ (۱-۳۵-۵)، $\bar{m}_r = 5/2 kg$ (۲-۳۵-۵)، $\bar{m}_r = 1/1 kg$ (۳-۳۵-۵) و $\bar{m}_r = 3 kg$ (۴-۳۵-۵) برای یاتاقان سه-لب تحت شرایط $\lambda = 1/5, \bar{\rho} = 0/001 mm$



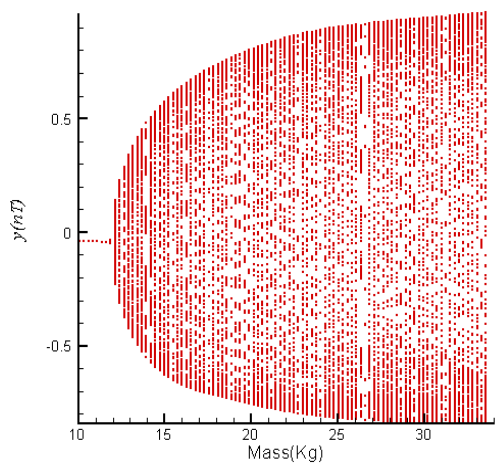
(ب)



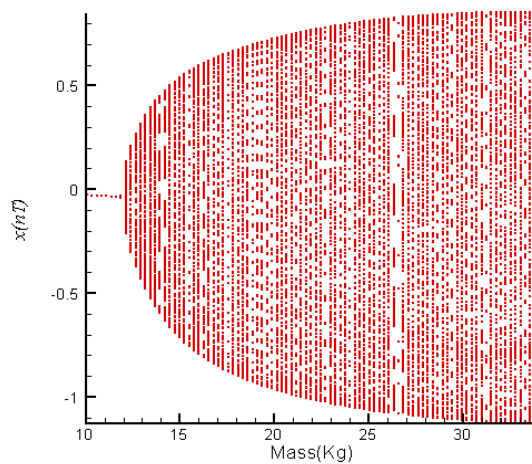
(الف)

شکل (۵-۳۶): دیاگرام دوشاخگی در راستاهای افقی (الف) و عمودی (ب) برای یاتاقان سه-لب تحت شرایط

$$\lambda = 1/5, \bar{\rho} = 0.001 \text{ mm}$$



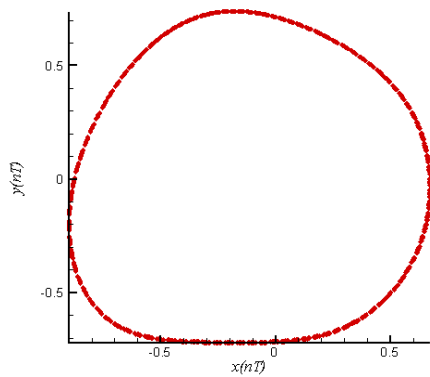
(ب)



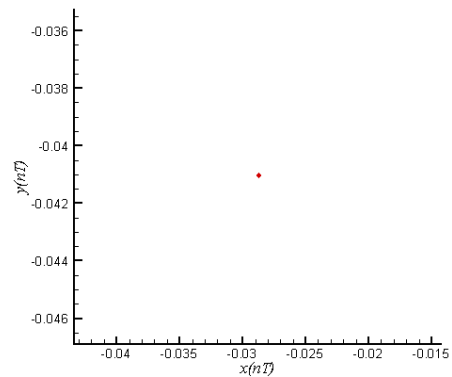
(الف)

شکل (۵-۳۷): دیاگرام دوشاخگی محلی ($10 \leq \bar{m}_r \leq 33/8 \text{ kg}$) در راستاهای افقی (الف) و عمودی (ب) برای یاتاقان سه-لب

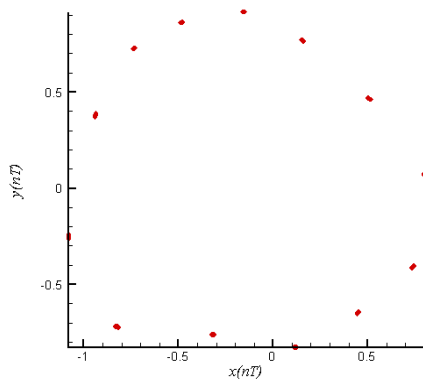
تحت شرایط $\lambda = 1/5, \bar{\rho} = 0.001 \text{ mm}$



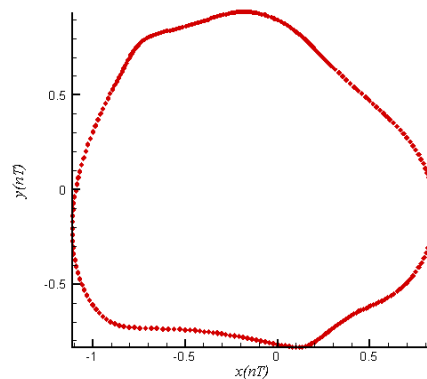
(ب)



(الف)



(د)



(ج)

شکل (۵-۳۸): نگاشت پوانکاره مرکز محور به ازای $\bar{m}_r = 10/33$ (الف)، $18/1$ (ب)، 30 (ج) و $26/6$ (د) کیلوگرم برای یاتاقان سه-لب تحت شرایط $\lambda = 1/5, \bar{\rho} = 0/001 \text{ mm}$

۵-۳ اثر پریلود بر روی رفتار دینامیکی

با در نظر گرفتن بارگذاری خارجی و عدد یاتاقان به ترتیب برابر با $\bar{W} = 506/5 \text{ N}$ و $A = 25$ ، همچنین مقدار جرم محور برابر با $\bar{m}_r = 25/8 \text{ kg}$ تاثیر پارامتر پریلود روی رفتار سیستم مورد بررسی قرار می-گیرد.

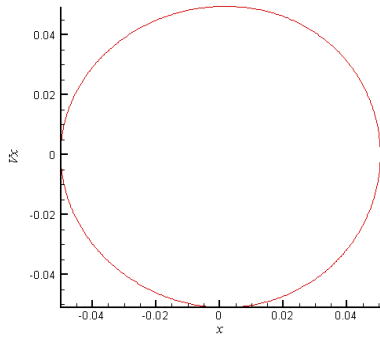
شکل‌های (۵-۳۹-۱ الف) الی (۵-۳۹-۴ الف) مدارهای دینامیکی را به ازای مقادیر مختلف پریلود نشان می-دهند. رفتار منظم به ازای مقادیر پریلود $0/45$ و $0/5$ نشان داده شده است. اما با افزایش مقدار

پریلود به $\delta = 0/55$ پایداری در رفتار منظم کاهش می‌یابد. چنین رفتار نامنظمی به ازای $\delta = 0/6$ نیز صورت می‌گیرد.

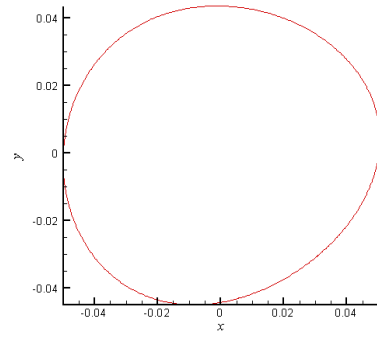
از شکل‌های (۵-۳۹-۱-ب) الی (۵-۳۹-۴-ب) مشاهده می‌شود که فضای حالت به ازای مقادیر پریلود $0/45$ و $0/5$ منظم است و با افزایش آن به مقادیر $0/55$ و $0/6$ نامنظم می‌شود.

شکل‌های (۵-۳۹-۱-ج، د) الی (۵-۳۹-۴-ج، د) طیف‌های توانی را در راستاهای افقی و عمودی برای مقادیر پریلود مذکور نشان می‌دهند. فرکانس‌های غالب در وقوع رفتار سیستم در این شکل‌ها مشخص است. با مشاهده این شکل‌ها انتظار وقوع رفتارهای تناوبی به ازای مقادیر پریلود $0/45$ و $0/5$ و شبه تناوبی به ازای مقادیر پریلود $0/55$ و $0/6$ می‌رود.

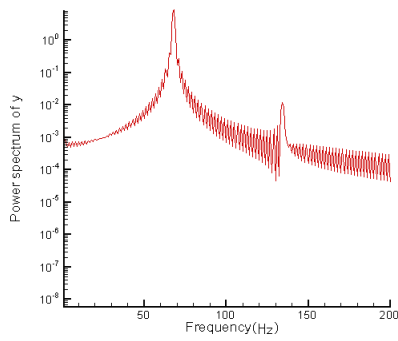
دیاگرام دوشاخگی در شکل‌های (۵-۴۰-الف، ب) تغییرات کیفی که در رفتار سیستم با تغییر مقدار پارامتر آن، پریلود، در محدوده $0/4 \leq \delta \leq 0/62$ صورت می‌گیرد، نشان می‌دهد. دیاگرام دوشاخگی محلی در شکل‌های (۵-۴۱-الف، ب) تغییرات را در محدوده $0/62 \leq \delta \leq 0/52$ نشان داده است. مشاهده می‌شود برای مقادیر پریلود کوچکتر از $\delta = 0/54$ سیستم رفتار تناوبی از خود نشان می‌دهد. نگاشت پوانکاره در شکل‌های (۵-۴۲-الف، ب) به ازای مقادیر پریلود $0/45$ و $0/5$ ، وقوع چنین رفتاری را با حضور یک نقطه تنها در این صفحه تایید می‌کند. با افزایش مقدار پریلود و قرارگیری آن در محدوده $0/62 \leq \delta \leq 0/54$ سیستم رفتار شبه تناوبی از خود نشان می‌دهد. نگاشت پوانکاره به ازای مقادیر پریلود $0/55$ و $0/6$ نشان داده شده در شکل‌های (۵-۴۲-ج، د) وقوع چنین رفتاری را با تشکیل یک منحنی بسته در این صفحه تایید می‌کند. با افزایش مجدد مقدار پریلود از $\delta = 0/62$ برخورد بین محور و یاتاقان صورت می‌گیرد. لذا می‌توان در این مورد با قراردادن پارامتر سیستم در مقدار مناسب آن از وقوع رفتارهای نامناسب جلوگیری نمود.



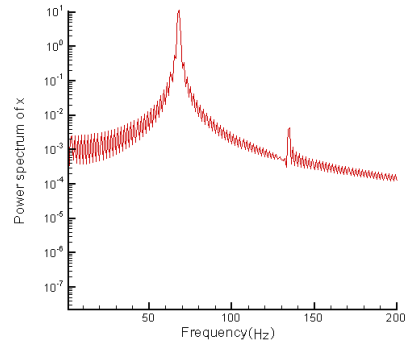
(ب) - ۱-۳۹-۵



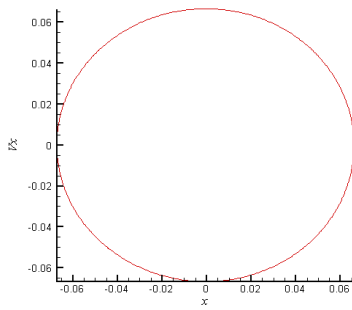
(الف) - ۱-۳۹-۵



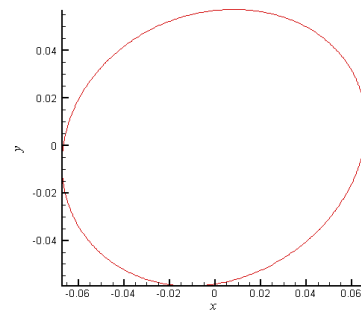
(د) - ۱-۳۹-۵



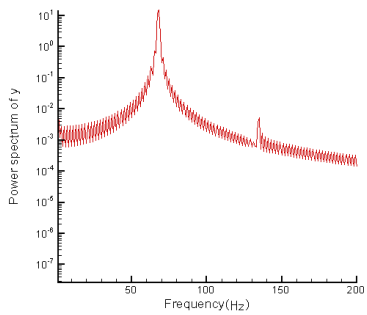
(ج) - ۱-۳۹-۵



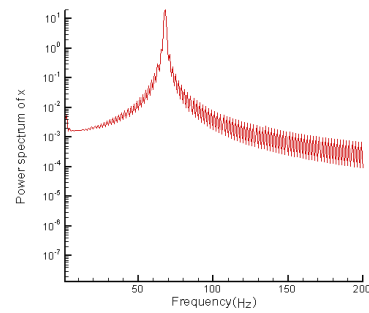
(ب) - ۲-۳۹-۵



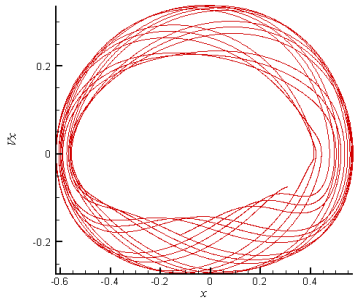
(الف) - ۲-۳۹-۵



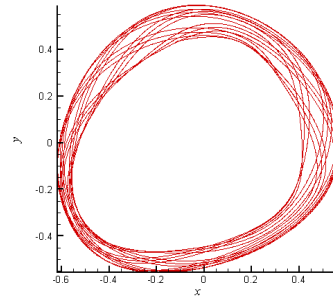
(د) - ۲-۳۹-۵



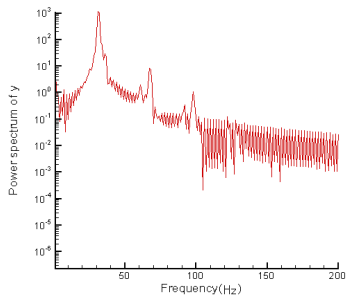
(ج) - ۲-۳۹-۵



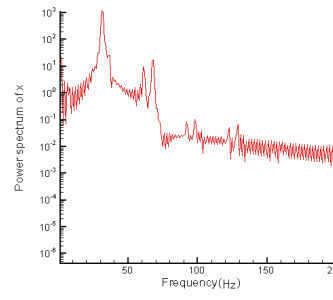
(ب) -۳-۳۹-۵



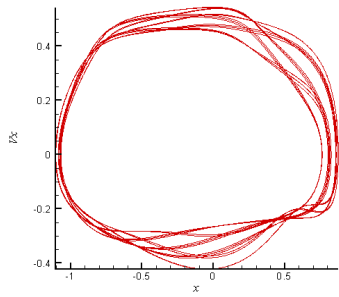
(الف) -۳-۳۹-۵



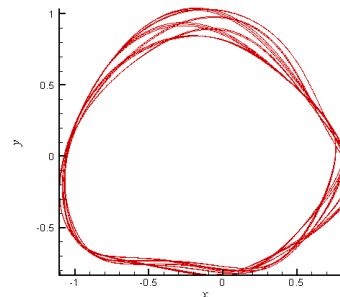
(د) -۳-۳۹-۵



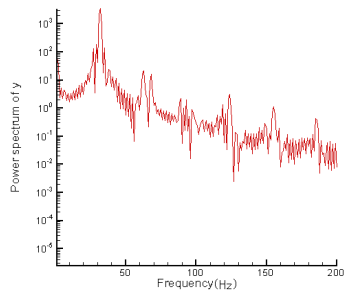
(ج) -۳-۳۹-۵



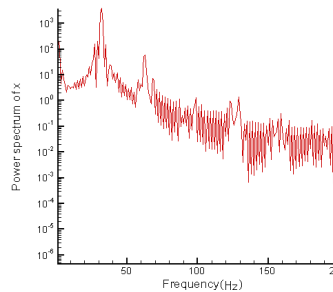
(ب) -۴-۳۹-۵



(الف) -۴-۳۹-۵

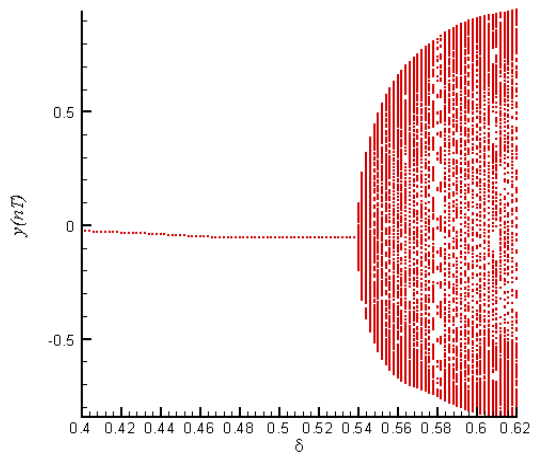


(د) -۴-۳۹-۵

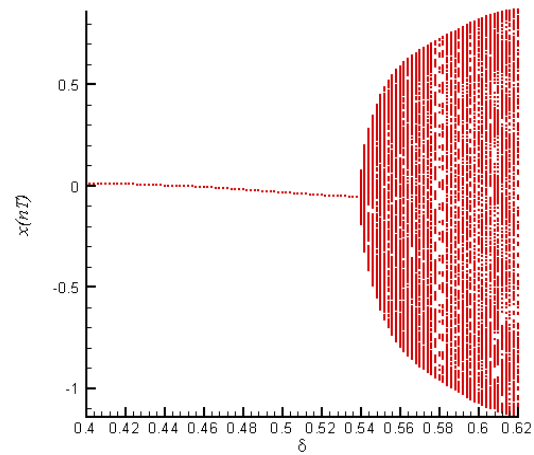


(ج) -۴-۳۹-۵

شکل (۳۹-۵): مدار دینامیکی مرکز محور (الف)، فضای حالت مرکز محور (ب) و طیف توانی آن در راستاهای افقی (ج) و عمودی (د) به ازای $\delta = 0.45$ (۱-۳۹-۵)، $\delta = 0.5$ (۲-۳۹-۵)، $\delta = 0.55$ (۳-۳۹-۵) و $\delta = 0.6$ (۴-۳۹-۵) برای پاناقان سه-لب تحت شرایط $\lambda = 1/5, \bar{\rho} = 0.01 \text{ mm}$



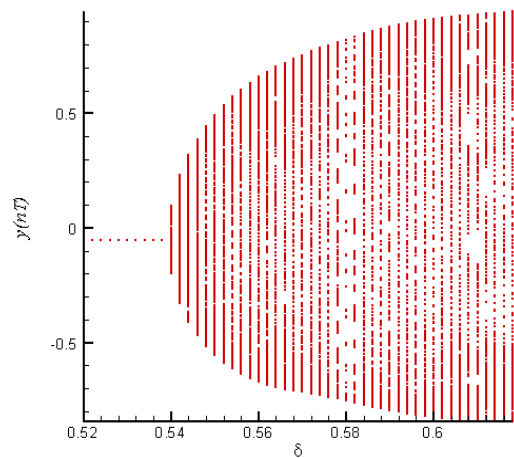
(ب)



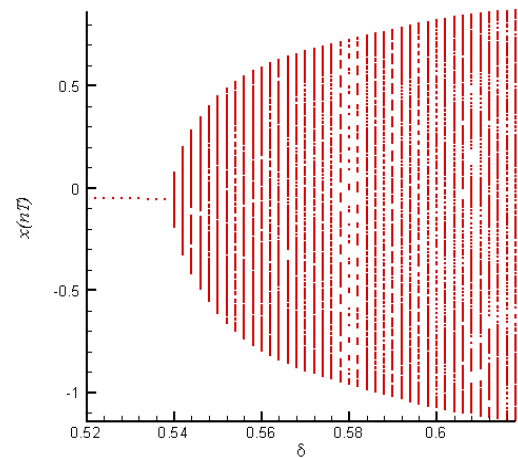
(الف)

شکل (۵-۴۰): دیاگرام دوشاخگی در راستاهای افقی (الف) و عمودی (ب) برای یاتاقان سه-لب تحت شرایط

$$\lambda = 1/5, \bar{\rho} = 0/001 \text{ mm}$$



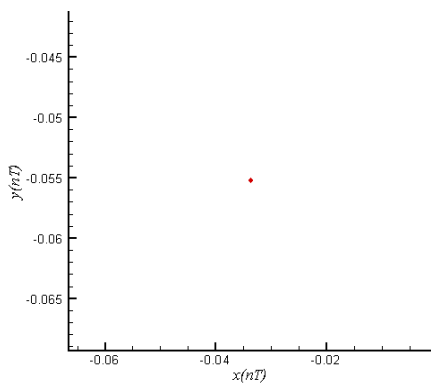
(ب)



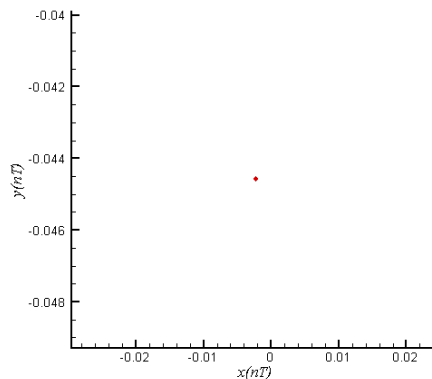
(الف)

شکل (۵-۴۱): دیاگرام دوشاخگی محلی ($0/52 \leq \delta \leq 0/62$) در راستاهای افقی (الف) و عمودی (ب) برای یاتاقان سه-لب

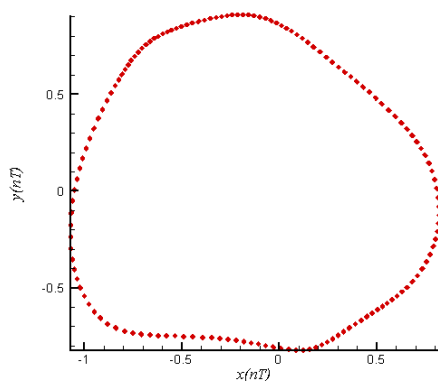
$$\text{تحت شرایط } \lambda = 1/5, \bar{\rho} = 0/001 \text{ mm}$$



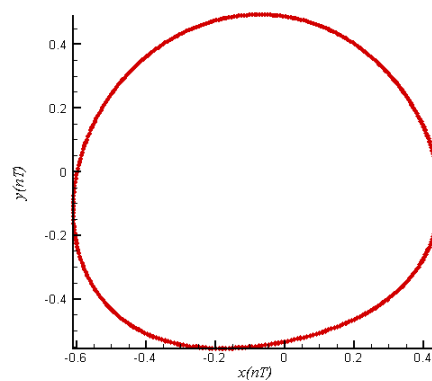
(ب)



(الف)



(د)



(ج)

شکل (۵-۴۲): نگاشت پوانکاره مرکز محور به ازای $\delta = 0.45$ (الف)، 0.5 (ب)، 0.55 (ج) و 0.6 (د) برای یاتاقان سه-لب

تحت شرایط $\lambda = 1/5, \bar{\rho} = 0.001 \text{ mm}$

فصل ششم

ارائه نتایج و بررسی رفتارهای دینامیکی در سیستم یاتاقان گازی غیرمدور چهار-لب

۱-۶ مقدمه

در این فصل با توجه به الگوریتم ارائه شده در فصل سوم رفتار سیستم در حالتی که محور روی دو یاتاقان گازی غیرمدور چهار-لب نگهداری می‌شود، مورد بررسی قرار می‌گیرد. اطلاعات بکارگرفته شده در این بررسی عبارتند از [۱۰۰، ۱۰۵]:

$$\bar{\mu} = 1/8 \times 10^{-5} \text{ kg/ms} \text{ لزجت روانکار}, \bar{C} = 3 \times 10^{-5} \text{ m} \text{ لقی شعاعی}, \bar{R} = 0/05 \text{ m} \text{ شعاع محور}$$

در بخش‌های (۲-۶) و (۳-۶) نتایج برای حالتی که سیستم به طور کامل بالانس باشد به ترتیب برای نسبت طول به قطرهای ۱ ([۵۸-۵۶] و [۲۲-۲۶]) و ۱/۵ ([۱۰۰، ۱۰۵]) مورد بررسی قرار می‌گیرد. همچنین نتایج برای حالتی که نابالانسی جرمی در سیستم وجود داشته باشد، به ترتیب برای نسبت طول به قطرهای ۱ و ۱/۵ در بخش‌های (۴-۶) و (۵-۶) مورد بررسی قرار می‌گیرد.

در بخش‌های مذکور پارامترهایی نظیر عدد یاتاقان، جرم محور و پریلود، در این دو نسبت طول به قطر تحت شرایطی که محور به طور کامل بالانس باشد و یا نابالانسی جرمی برای آن در نظر گرفته شود، مورد بررسی قرار گرفته تا نواحی که در آن رفتارهای مختلف با تغییر پارامترهای مذکور صورت می‌گیرد، شناسایی شود.

۲-۶ بررسی رفتار دینامیکی با در نظر گرفتن $\lambda = 1, \bar{\rho} = 0$

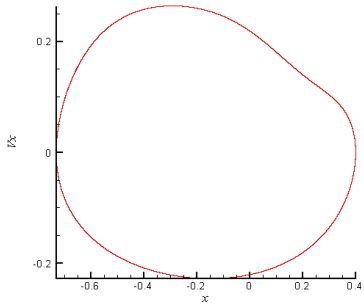
در این بخش با فرض بالانس بودن کامل محور در حالتی که نسبت طول به قطر یاتاقان واحد باشد، اثرات عدد یاتاقان، جرم محور و پریلود روی رفتار دینامیکی سیستم مورد بررسی قرار می‌گیرد.

۱-۲-۶ اثر عدد یاتاقان بر روی رفتار دینامیکی

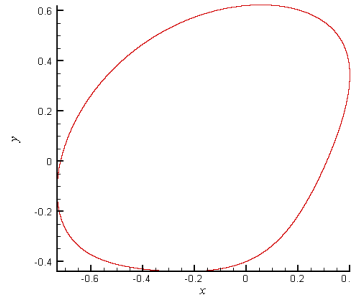
با در نظر گرفتن بارگذاری خارجی و جرم محور به ترتیب برابر با $\bar{W} = 5.06/5 N$ و $\bar{m}_r = 25/8 kg$ ، همچنین مقدار پریلود برابر با $\delta = 0/6$ تاثیر عدد یاتاقان روی رفتار سیستم مورد بررسی قرار می‌گیرد. نتایج نشان داده شده در شکل‌های (۶-۱-۱-الف، ب) و (۶-۱-۲-الف، ب) به ترتیب مدارهای دینامیکی و فضای حالت را در اعداد یاتاقان ۲۵ و ۳۰ نشان می‌دهند. نتایج حاکی از وقوع رفتار منظم در این اعداد می‌باشد.

شکل‌های (۶-۱-۱-ج، د) و (۶-۱-۲-ج، د) به ترتیب طیف‌های توانی را در راستاهای افقی و عمودی برای اعداد یاتاقان مذکور نشان می‌دهند. طیف‌های توانی KT -پریودیک بودن رفتار را در این اعداد تایید می‌کنند.

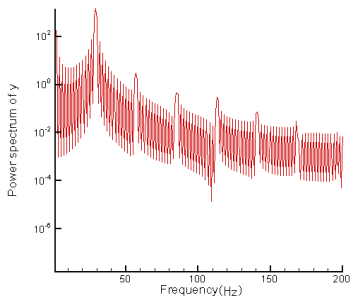
دیگرام دوشاخگی در شکل‌های (۶-۲-الف، ب) تغییرات کیفی که در رفتار سیستم با تغییر مقدار پارامتر سیستم، عدد یاتاقان، در راستاهای افقی و عمودی صورت می‌گیرد را نشان می‌دهد. مشاهده می‌شود که به ازای اعداد یاتاقان کوچکتر از $A = 23$ سیستم به موقعیت تعادلی اولیه خود باز می‌گردد. با افزایش عدد یاتاقان و قرارگیری آن در محدوده $23 \leq A \leq 35/8$ سیستم رفتار تناوبی از خود نشان می‌دهد. نگاشت پوانکاره در اعداد یاتاقان ۲۵ و ۳۰ نشان داده شده در شکل‌های (۶-۳-الف، ب) وقوع چنین رفتاری را با حضور یک نقطه تنها در این صفحه تایید می‌کند. با افزایش مجدد عدد یاتاقان از مقدار $A = 35/8$ برخورد بین محور و یاتاقان صورت می‌گیرد. لذا می‌توان در این مورد با قراردادن پارامتر سیستم در مقدار مناسب آن از وقوع رفتارهای نامناسب جلوگیری نمود.



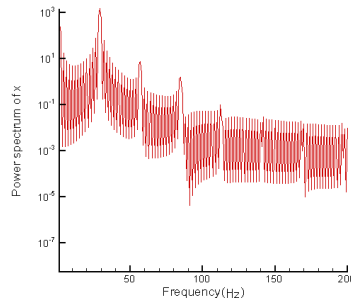
(ب) - ۱-۱-۶



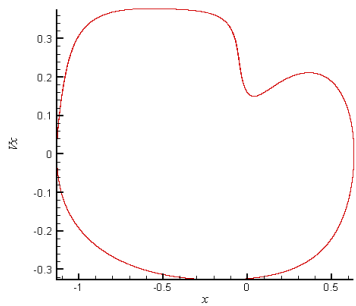
(الف) - ۱-۱-۶



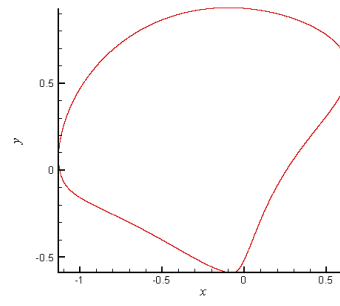
(د) - ۱-۱-۶



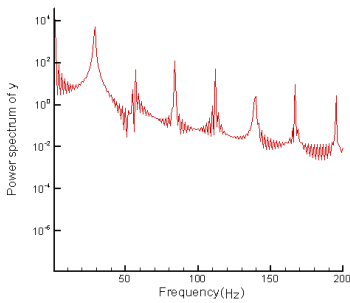
(ج) - ۱-۱-۶



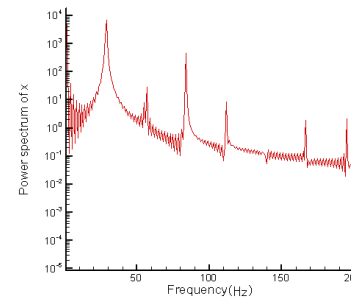
(ب) - ۲-۱-۶



(الف) - ۲-۱-۶

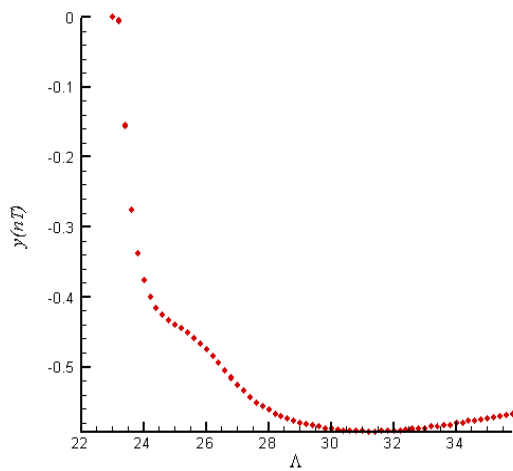


(د) - ۲-۱-۶

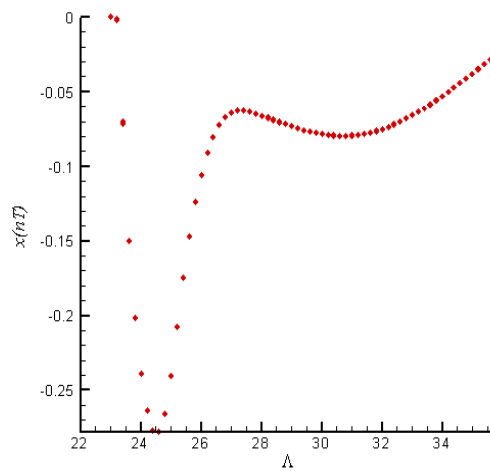


(ج) - ۲-۱-۶

شکل (۱-۶): مدار دینامیکی مرکز محور (الف)، فضای حالت مرکز محور (ب) و طیف توانی آن در راستاهای افقی (ج) و عمودی (د) به ازای $A = 25$ (۱-۱-۶) و $A = 30$ (۲-۱-۶) برای یاتاقان چهار-لب تحت شرایط $\lambda = 1, \bar{p} = 0$

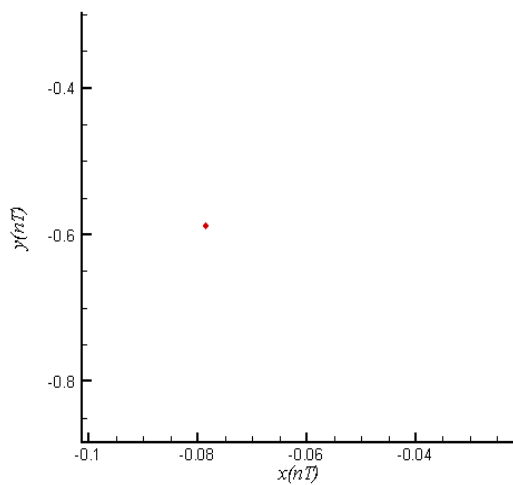


(ب)

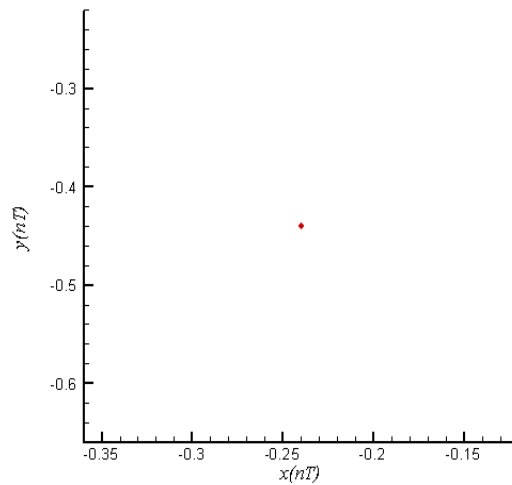


(الف)

شکل (۲-۶): دیاگرام دوشاخگی در راستاهای افقی (الف) و عمودی (ب) برای یاتاقان چهار-لب تحت شرایط $\lambda = 1, \bar{\rho} = 0$



(ب)



(الف)

شکل (۳-۶): نگاشت پوانکاره مرکز محور به ازای $A = 25$ (الف) و 30 (ب) برای یاتاقان چهار-لب تحت شرایط

$$\lambda = 1, \bar{\rho} = 0$$

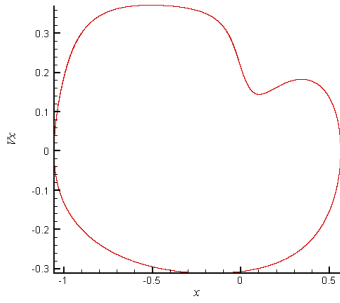
۲-۲-۶ اثر جرم محور بر روی رفتار دینامیکی

با در نظر گرفتن بارگذاری خارجی و عدد یاتاقان به ترتیب برابر با $\bar{W} = 5.06/5 N$ و $A = 25$ ، همچنین مقدار پریلود برابر با $\delta = 0/6$ تاثیر جرم محور روی رفتار سیستم مورد بررسی قرار می‌گیرد.

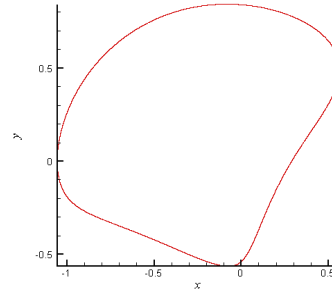
شکل‌های (۱-۴-۶-الف، ب) و (۲-۴-۶-الف، ب) به ترتیب مدارهای دینامیکی و فضای حالت را به ازای جرم‌های محور ۳۱ و $41/3$ کیلوگرم نشان می‌دهند. نتایج حاکی از وقوع رفتار منظم در این اعداد می‌باشد.

شکل‌های (۱-۴-۶-ج، د) و (۲-۴-۶-ج، د) به ترتیب طیف‌های توانی را در راستاهای افقی و عمودی برای جرم‌های مذکور نشان می‌دهند. طیف‌های توانی KT -پریودیک بودن رفتار را در این اعداد تایید می‌کنند.

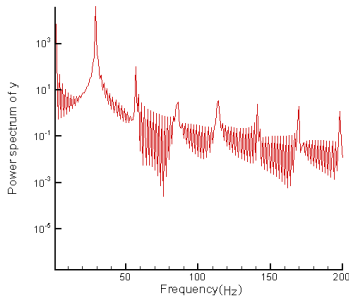
دیاگرام دوشاخگی در شکل‌های (۵-۶-الف، ب) تغییرات کیفی که در رفتار سیستم با تغییر مقدار پارامتر سیستم، جرم محور، در راستاهای افقی و عمودی صورت می‌گیرد را نشان می‌دهد. مشاهده می‌شود که برای مقادیر جرم محور کوچکتر از $\bar{m}_r = 22/7 kg$ سیستم به موقعیت تعادلی اولیه خود باز می‌گردد. با افزایش جرم محور و قرارگیری آن در محدوده $22/7 \leq \bar{m}_r \leq 43/1 kg$ سیستم رفتار تناوبی از خود نشان می‌دهد. نگاشت پوانکاره به ازای جرم‌های محور ۳۱ و $41/3$ کیلوگرم نشان داده شده در شکل‌های (۶-۶-الف، ب) وقوع چنین رفتاری را با حضور یک نقطه تنها در این صفحه تایید می‌کند. با افزایش مجدد جرم محور از مقدار $\bar{m}_r = 43/1 kg$ برخورد بین محور و یاتاقان صورت می‌گیرد. لذا می‌توان در این مورد با قراردادن پارامتر سیستم در مقدار مناسب آن از وقوع رفتارهای نامناسب جلوگیری نمود.



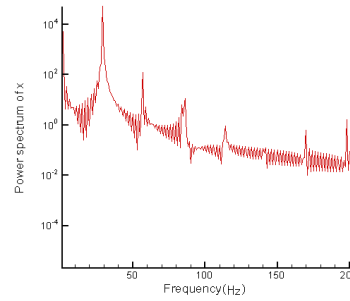
(ب) - ۱-۴-۶



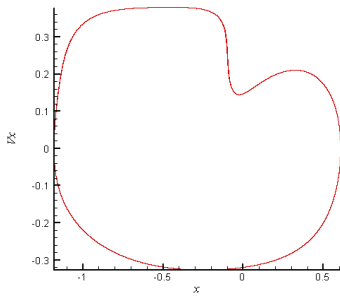
(الف) - ۱-۴-۶



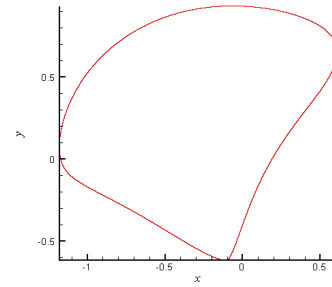
(د) - ۱-۴-۶



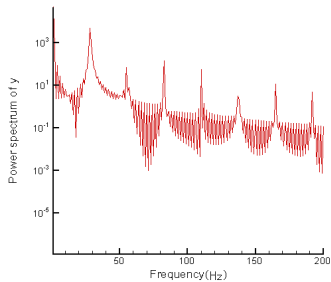
(ج) - ۱-۴-۶



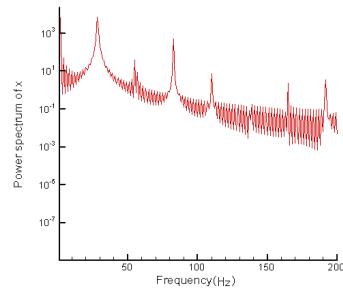
(ب) - ۲-۴-۶



(الف) - ۲-۴-۶



(د) - ۲-۴-۶

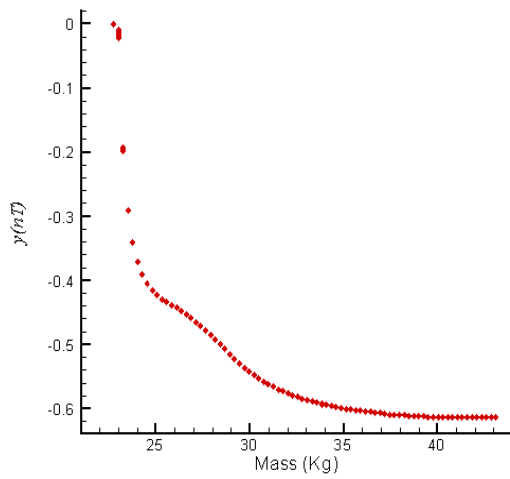


(ج) - ۲-۴-۶

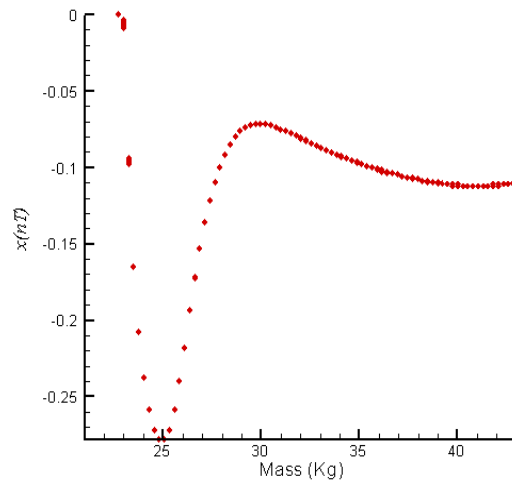
شکل (۴-۶): مدار دینامیکی مرکز محور (الف)، فضای حالت مرکز محور (ب) و طیف توانی آن در راستاهای افقی (ج) و

عمودی (د) به ازای $\bar{m}_r = 3kg$ (۱-۴-۶) و $\bar{m}_r = 41/3kg$ (۲-۴-۶) برای یاتاقان چهار-لب تحت

شرایط $\lambda = 1, \bar{\rho} = 0$

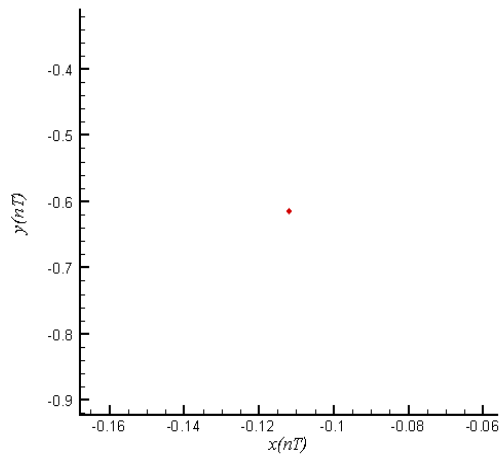


(ب)

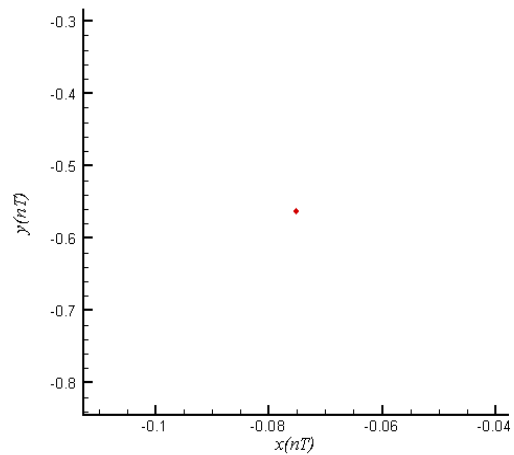


(الف)

شکل (۵-۶): دیاگرام دوشاخگی در راستاهای افقی (الف) و عمودی (ب) برای یاتاقان چهار-لب تحت شرایط $\lambda = 1, \bar{\rho} = 0$



(ب)



(الف)

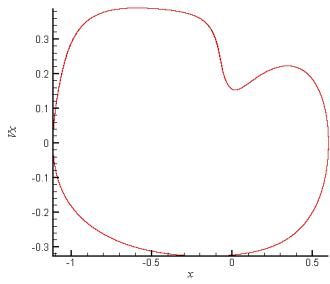
شکل (۶-۶): نگاشت پوانکاره مرکز محور به ازای $\bar{m}_r = 31$ (الف) و $41/3$ (ب) کیلوگرم برای یاتاقان چهار-لب تحت شرایط $\lambda = 1, \bar{\rho} = 0$

۳-۲-۶ اثر پریلود بر روی رفتار دینامیکی

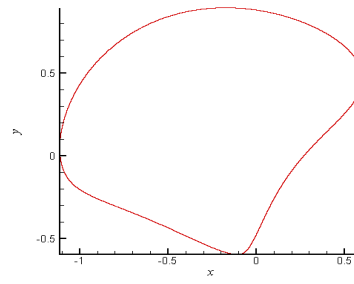
با در نظر گرفتن بارگذاری خارجی و عدد یاتاقان به ترتیب برابر با $\bar{W} = 5.06/5 N$ و $A = 25$ ، همچنین مقدار جرم محور برابر با $\bar{m}_r = 25/8 kg$ تاثیر پارامتر پریلود روی رفتار سیستم مورد بررسی قرار می‌گیرد.

شکل‌های (۱-۷-۶-الف، ب) و (۲-۷-۶-الف، ب) به ترتیب مدارهای دینامیکی و فضای حالت را به ازای مقادیر پریلود ۰/۵۹ و ۰/۶۲ نشان می‌دهند. نتایج حاکی از وقوع رفتار منظم در این اعداد می‌باشد. شکل‌های (۱-۷-۶-ج، د) و (۲-۷-۶-ج، د) به ترتیب طیف‌های توانی را در راستاهای افقی و عمودی برای جرم‌های مذکور نشان می‌دهند. طیف‌های توانی KT -پریودیک بودن رفتار را در این اعداد تایید می‌کنند.

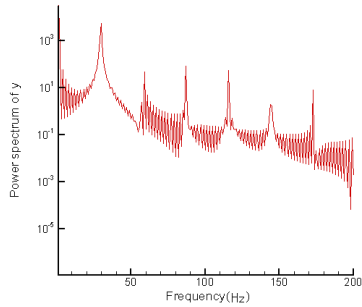
دیاگرام دوشاخگی در شکل‌های (۸-۶-الف، ب) تغییرات کیفی که در رفتار سیستم با تغییر مقدار پارامتر سیستم، پریلود، در راستاهای افقی و عمودی صورت می‌گیرد را نشان می‌دهد. مشاهده می‌شود که برای مقادیر پریلود کوچکتر از $\delta = 0/586$ سیستم به موقعیت تعادلی اولیه خود باز می‌گردد. با افزایش مقدار پریلود و قرارگیری آن در محدوده $0/622 \leq \delta \leq 0/586$ سیستم رفتار تناوبی از خود نشان می‌دهد. نگاشت پوانکاره به ازای مقادیر پریلود ۰/۵۹ و ۰/۶۲ نشان داده شده در شکل‌های (۹-۶-الف، ب) وقوع چنین رفتاری را با حضور یک نقطه تنها در این صفحه تایید می‌کند. با افزایش مجدد مقدار پریلود از مقدار $\delta = 0/622$ برخورد بین محور و یاتاقان صورت می‌گیرد. لذا می‌توان در این مورد با قراردادن پارامتر سیستم در مقدار مناسب آن از وقوع رفتارهای نامناسب جلوگیری نمود.



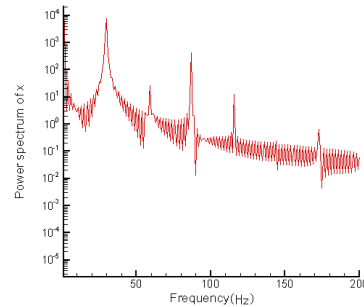
(ب) - ۱-۷-۶



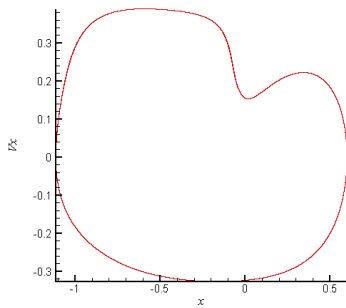
(الف) - ۱-۷-۶



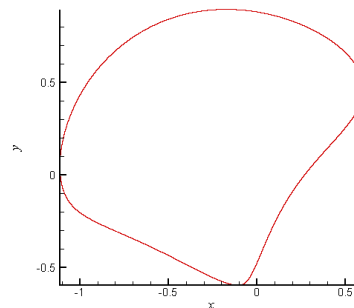
(د) - ۱-۷-۶



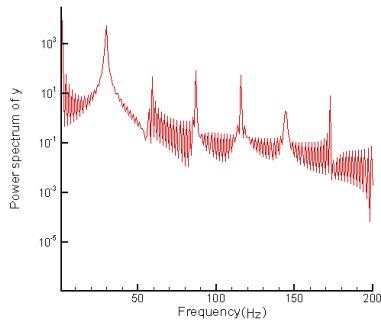
(ج) - ۱-۷-۶



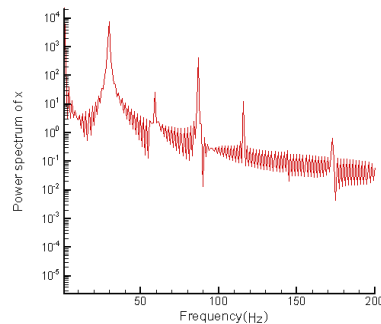
(ب) - ۲-۷-۶



(الف) - ۲-۷-۶

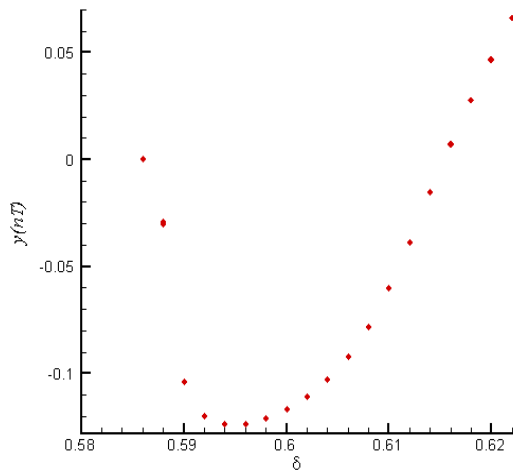


(د) - ۲-۷-۶

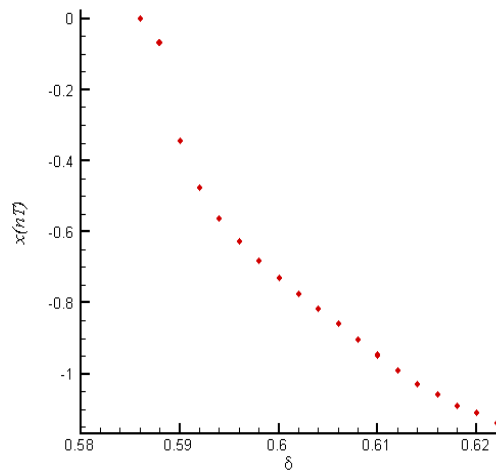


(ج) - ۲-۷-۶

شکل (۷-۶): مدار دینامیکی مرکز محور (الف)، فضای حالت مرکز محور (ب) و طیف توانی آن در راستاهای افقی (ج) و عمودی (د) به ازای $\delta = 0.59$ (۱-۷-۶) و $\delta = 0.62$ (۲-۷-۶) برای یاتاقان چهار-لب تحت شرایط $\lambda = 1, \rho = 0$

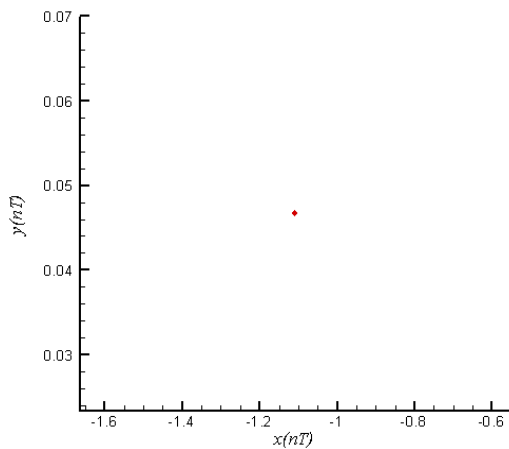


(ب)

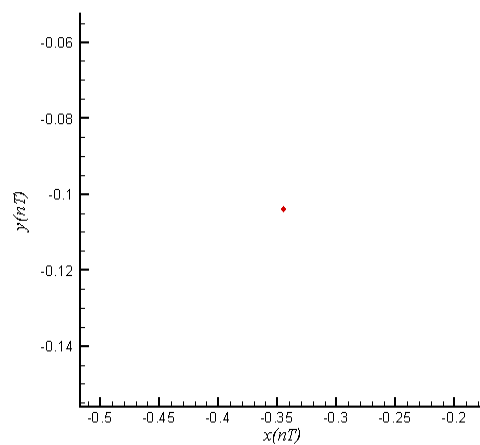


(الف)

شکل (۶-۸): دیاگرام دوشاخگی در راستاهای افقی (الف) و عمودی (ب) برای یاتاقان چهار-لب تحت شرایط $\lambda = 1, \bar{\rho} = 0$



(ب)



(الف)

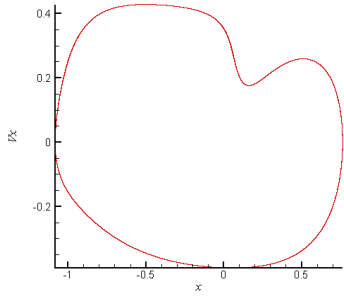
شکل (۶-۹): نگاشت پوانکاره مرکز محور به ازای $\delta = 0.59$ (الف) و 0.62 (ب) برای یاتاقان چهار-لب تحت شرایط $\lambda = 1, \bar{\rho} = 0$

۳-۶ بررسی رفتار دینامیکی با در نظر گرفتن $\lambda = 1/5, \bar{\rho} = 0$

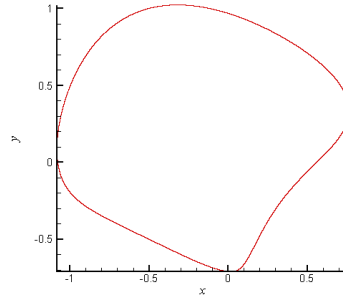
در این بخش با فرض بالانس بودن کامل محور در حالتی که نسبت طول به قطر یاتاقان $1/5$ باشد، اثرات عدد یاتاقان، جرم محور و پریلود روی رفتار دینامیکی سیستم مورد بررسی قرار می‌گیرد.

۳-۶-۱ اثر عدد یاتاقان بر روی رفتار دینامیکی

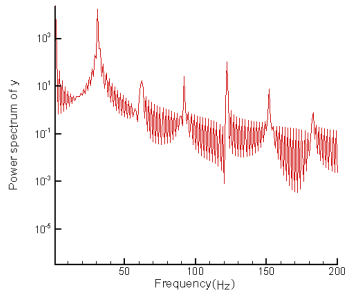
با در نظر گرفتن بارگذاری خارجی و جرم محور به ترتیب برابر با $\bar{W} = 5.06/5 N$ و $\bar{m}_r = 25/8 kg$ ، همچنین مقدار پریلود برابر با $\delta = 0/6$ تاثیر عدد یاتاقان روی رفتار سیستم مورد بررسی قرار می‌گیرد. شکل‌های (۶-۱۰-۱-الف، ب) و (۶-۱۰-۲-الف، ب) به ترتیب مدارهای دینامیکی و فضای حالت را در اعداد یاتاقان ۳۰ و ۴۵ نشان می‌دهند. نتایج حاکی از وقوع رفتار منظم در این اعداد می‌باشد. شکل‌های (۶-۱۰-۱-ج، د) و (۶-۱۰-۲-ج، د) به ترتیب طیف‌های توانی را در راستاهای افقی و عمودی برای اعداد یاتاقان مذکور نشان می‌دهند. طیف‌های توانی KT -پرلودیک بودن رفتار را در این اعداد تایید می‌کنند. دیاگرام دوشاخگی در شکل‌های (۶-۱۱-الف، ب) تغییرات کیفی که در رفتار سیستم با تغییر مقدار پارامتر آن، عدد یاتاقان، در راستاهای افقی و عمودی صورت می‌گیرد، نشان می‌دهد. مشاهده می‌شود که به ازای اعداد یاتاقان کوچکتر از $A = 19/6$ سیستم به موقعیت تعادلی اولیه خود باز می‌گردد. با افزایش عدد یاتاقان و قرارگیری آن در محدوده $19/6 \leq A \leq 45/8$ سیستم رفتار تناوبی از خود نشان می‌دهد. نگاشت پوانکاره به ازای اعداد یاتاقان ۳۰ و ۴۵ نشان داده شده در شکل‌های (۶-۱۲-الف، ب) وقوع چنین رفتاری را تایید می‌کند. با افزایش مجدد عدد یاتاقان از مقدار $A = 45/8$ برخورد بین محور و یاتاقان صورت می‌گیرد. لذا می‌توان در این مورد با قراردادن پارامتر سیستم در مقدار مناسب آن از وقوع رفتارهای نامناسب جلوگیری نمود.



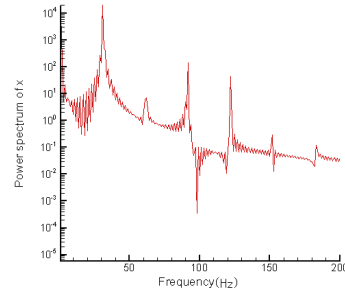
(ب) -۱-۱۰-۶



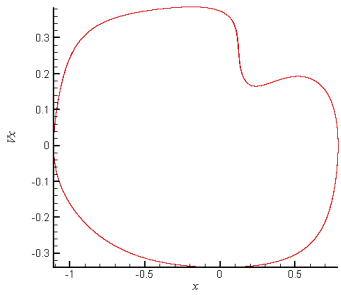
(الف) -۱-۱۰-۶



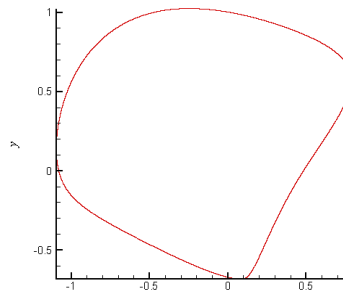
(د) -۱-۱۰-۶



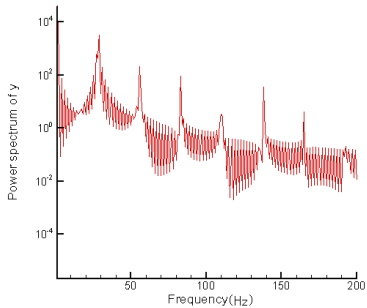
(ج) -۱-۱۰-۶



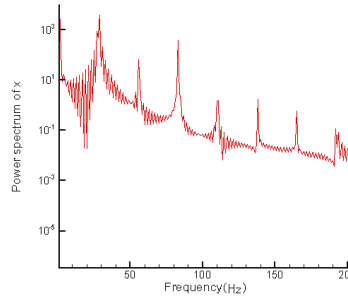
(ب) -۲-۱۰-۶



(الف) -۲-۱۰-۶

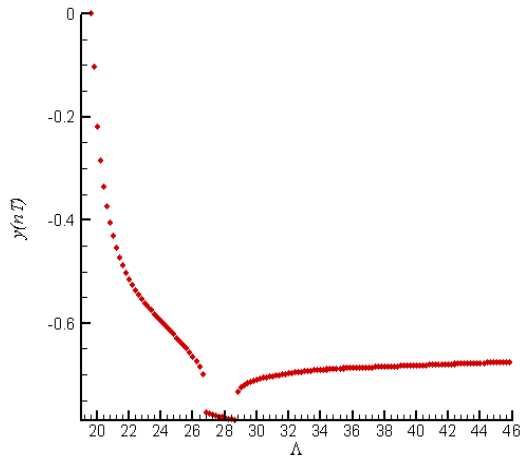


(د) -۲-۱۰-۶

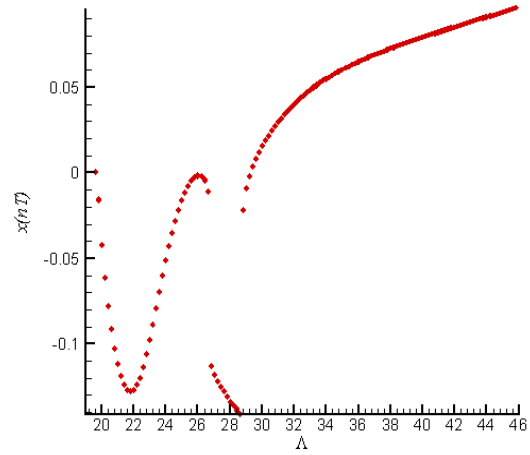


(ج) -۲-۱۰-۶

شکل (۱۰-۶): مدار دینامیکی مرکز محور (الف)، فضای حالت مرکز محور (ب) و طیف توانی آن در راستاهای افقی (ج) و عمودی (د) به ازای $A = 30$ و $A = 45$ برای یاتاقان چهار-لب تحت شرایط $\lambda = 1/5, \bar{\rho} = 0$

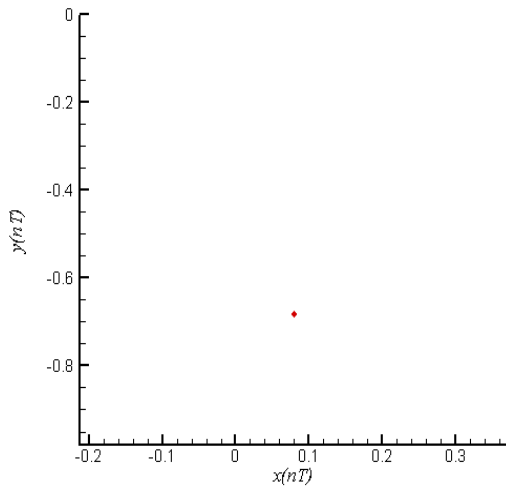


(ب)

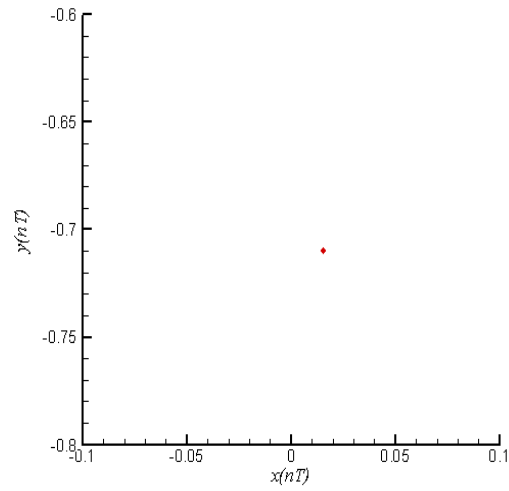


(الف)

شکل (۶-۱۱): دیاگرام دوشاخگی در راستاهای افقی (الف) و عمودی (ب) برای یاتاقان چهار-لب تحت شرایط $\lambda = 1/5, \bar{\rho} = 0$.



(ب)



(الف)

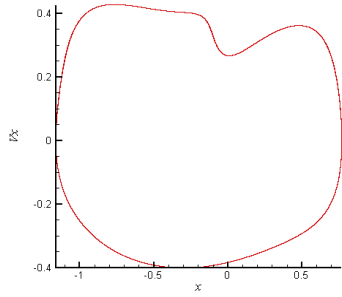
شکل (۶-۱۲): نگاشت پوانکاره مرکز محور به ازای $A = 30$ (الف) و 45 (ب) برای یاتاقان چهار-لب تحت شرایط $\lambda = 1/5, \bar{\rho} = 0$.

۶-۳-۲ اثر جرم محور بر روی رفتار دینامیکی

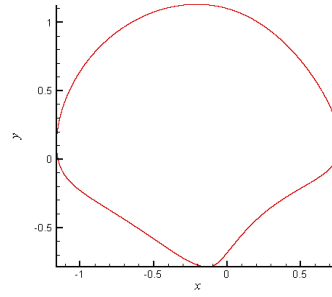
با در نظر گرفتن بارگذاری خارجی و عدد یاتاقان به ترتیب برابر با $\bar{W} = 5.06/5 N$ و $A = 25$ ، همچنین مقدار پریلود برابر با $\delta = 0/6$ تاثیر جرم محور روی رفتار سیستم مورد بررسی قرار می‌گیرد.

شکل‌های (۶-۱۳-۱-الف، ب) و (۶-۱۳-۲-الف، ب) به ترتیب مدارهای دینامیکی و فضای حالت را به ازای جرم‌های محور ۳۱ و $41/3$ کیلوگرم نشان می‌دهند. نتایج حاکی از وقوع رفتار منظم در این اعداد می‌باشد. شکل‌های (۶-۱۳-۱-ج، د) و (۶-۱۳-۲-ج، د) به ترتیب طیف‌های توانی را در راستاهای افقی و عمودی برای جرم‌های مذکور نشان می‌دهند. طیف‌های توانی KT -پریودیک بودن رفتار را در این اعداد تایید می‌کنند.

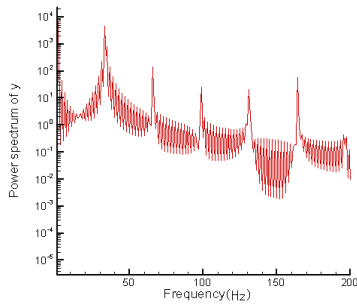
دیاگرام دوشاخگی در شکل‌های (۶-۱۴-الف، ب) تغییرات کیفی که در رفتار سیستم با تغییر مقدار پارامتر آن، جرم محور، در راستاهای افقی و عمودی صورت می‌گیرد، نشان می‌دهد. مشاهده می‌شود که برای مقادیر جرم محور کوچکتر از $\bar{m}_r = 16/3 kg$ سیستم به موقعیت تعادلی اولیه خود باز می‌گردد. با افزایش جرم محور و قرارگیری آن در محدوده $16/3 \leq \bar{m}_r \leq 51/6 kg$ سیستم رفتار هارمونیک از خود نشان می‌دهد. نگاشت پوانکاره به ازای جرم‌های محور ۳۱ و $41/3$ کیلوگرم نشان داده شده در شکل-های (۶-۱۵-الف، ب) وقوع چنین رفتاری تایید می‌کند. با افزایش مجدد جرم محور از مقدار $\bar{m}_r = 51/6 kg$ برخورد بین محور و یاتاقان صورت می‌گیرد. لذا می‌توان در این مورد با قراردادن پارامتر سیستم در مقدار مناسب از وقوع رفتارهای نامناسب جلوگیری نمود.



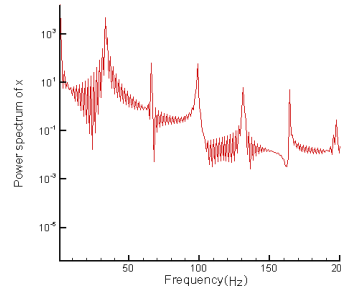
(ب) - ۱-۱۳-۶



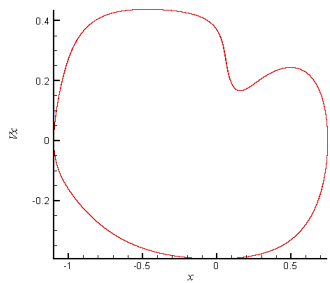
(الف) - ۱-۱۳-۶



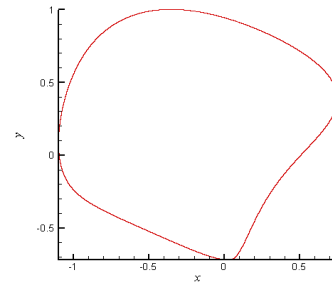
(د) - ۱-۱۳-۶



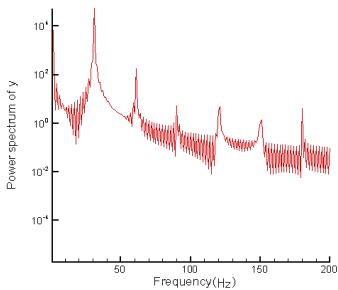
(ج) - ۱-۱۳-۶



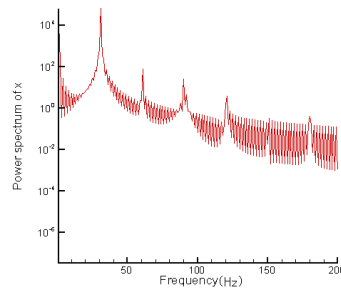
(ب) - ۲-۱۳-۶



(الف) - ۲-۱۳-۶



(د) - ۲-۱۳-۶

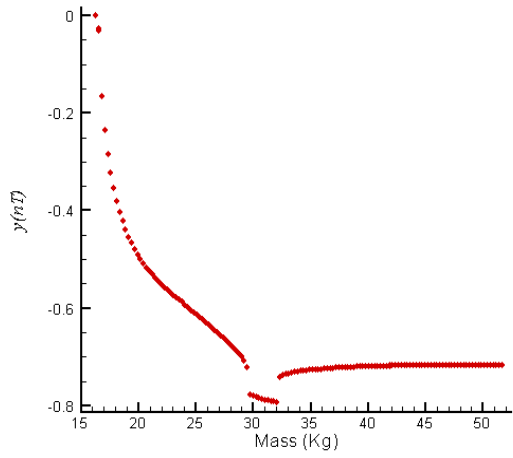


(ج) - ۲-۱۳-۶

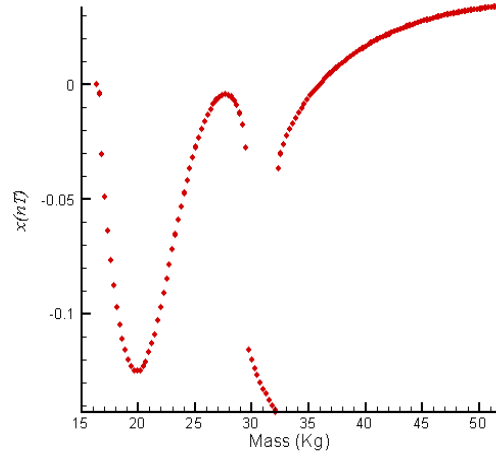
شکل (۱۳-۶): مدار دینامیکی مرکز محور (الف)، فضای حالت مرکز محور (ب) و طیف توانی آن در راستاهای افقی (ج) و

عمودی (د) به ازای $\bar{m}_r = 31kg$ (۱-۱۳-۶) و $\bar{m}_r = 41/3kg$ (۲-۱۳-۶) برای یاتاقان چهار-لب تحت

شرایط $\lambda = 1/5, \bar{\rho} = 0$



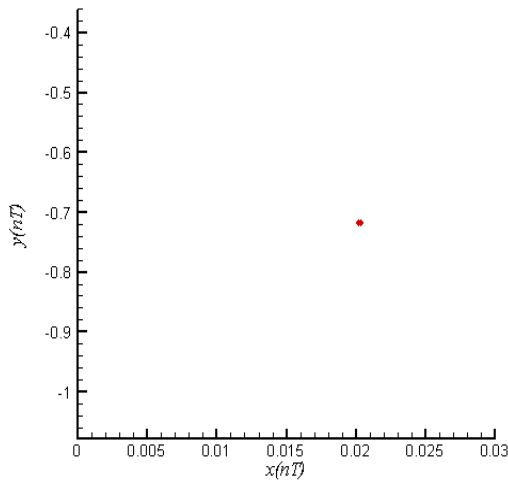
(ب)



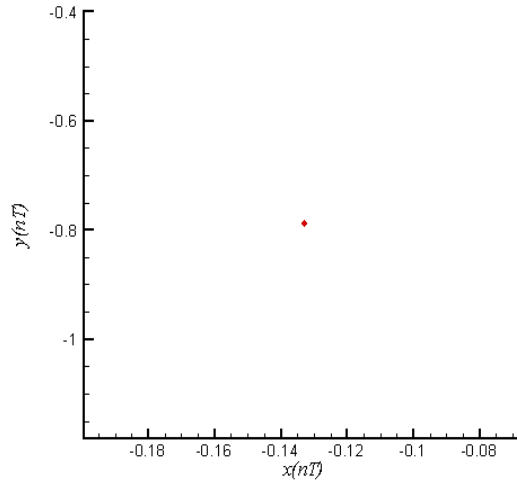
(الف)

شکل (۶-۱۴): دیاگرام دوشاخگی در راستاهای افقی (الف) و عمودی (ب) برای یاتاقان چهار-لب تحت شرایط

$$\lambda = 1/5, \bar{\rho} = 0.$$



(ب)



(الف)

شکل (۶-۱۵): نگاشت پوانکاره مرکز محور به ازای $\bar{m}_r = 31$ (الف) و $41/3$ (ب) کیلوگرم برای یاتاقان چهار-لب تحت

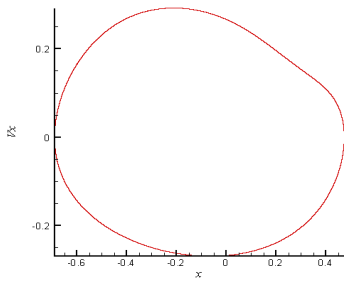
$$\lambda = 1/5, \bar{\rho} = 0$$

۳-۳-۶ اثر پریلود بر روی رفتار دینامیکی

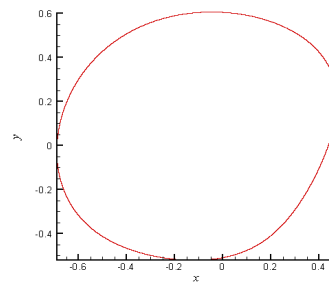
با در نظر گرفتن بارگذاری خارجی و عدد یاتاقان به ترتیب برابر با $\bar{W} = 5.06/5 N$ و $A = 25$ ، همچنین مقدار جرم محور برابر با $\bar{m}_r = 25/8 kg$ تاثیر پارامتر پریلود روی رفتار سیستم مورد بررسی قرار می-گیرد.

شکل‌های (۱-۱۶-۶-الف، ب) و (۲-۱۶-۶-الف، ب) به ترتیب مدارهای دینامیکی و فضای حالت را به ازای مقادیر پریلود 0.58 و 0.626 نشان می‌دهند. نتایج حاکی از وقوع رفتار منظم به ازای $\delta = 0.58$ می‌باشد که با افزایش آن به مقدار $\delta = 0.626$ از میزان پایداری آن کاسته می‌شود. شکل‌های (۱-۱۶-۶-ج، د) و (۲-۱۶-۶-ج، د) به ترتیب طیف‌های توانی را در راستاهای افقی و عمودی برای مقادیر پریلود مذکور نشان می‌دهند. طیف‌های توانی KT -پریودیک بودن رفتار را در این اعداد تایید می‌کنند.

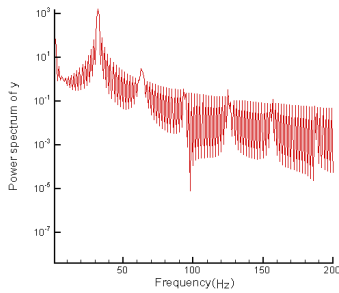
دیاگرام دوشاخگی در شکل‌های (۱۷-۶-الف، ب) تغییرات کیفی که در رفتار سیستم با تغییر مقدار پارامتر آن، پریلود، در راستاهای افقی و عمودی صورت می‌گیرد، نشان می‌دهد. مشاهده می‌شود که برای مقادیر پریلود کوچکتر از $\delta = 0.558$ سیستم به موقعیت تعادلی اولیه خود باز می‌گردد. با افزایش مقدار پریلود و قرارگیری آن در محدوده $0.62 \leq \delta \leq 0.558$ سیستم رفتار تناوبی از خود نشان می‌دهد. نگاشت پوانکاره به ازای مقدار پریلود $\delta = 0.58$ نشان داده شده در شکل (۱۸-۶-الف) وقوع چنین رفتاری را تایید می‌کند. با افزایش مقدار پریلود و قرارگیری آن در محدوده $0.63 < \delta < 0.62$ سیستم رفتار دو-پریودیکی از خود نشان می‌دهد و نگاشت پوانکاره به ازای مقدار پریلود $\delta = 0.626$ وقوع چنین رفتاری را در شکل (۱۸-۶-ب) تایید می‌کند. با افزایش مجدد مقدار پریلود ناگهان رفتار چهار-پریودیکی به ازای $\delta = 0.63$ و در نهایت برخورد بین محور و یاتاقان صورت می‌گیرد. لذا می‌توان در این مورد با قراردادن پارامتر سیستم در مقدار مناسب آن از وقوع رفتارهای نامناسب جلوگیری نمود.



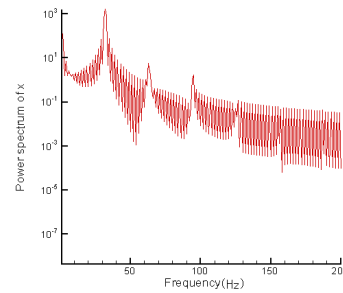
(ب) -۱-۱۶-۶



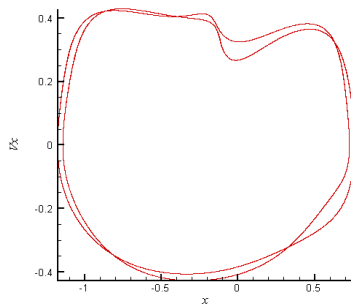
(الف) -۱-۱۶-۶



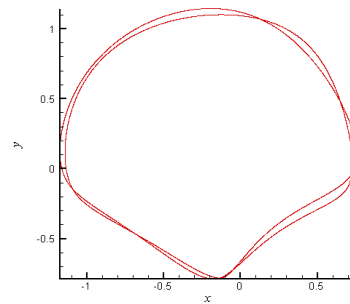
(د) -۱-۱۶-۶



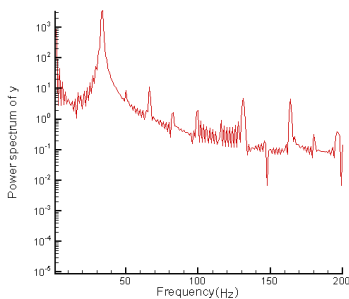
(ج) -۱-۱۶-۶



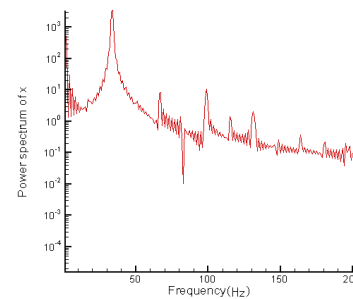
(ب) -۲-۱۶-۶



(الف) -۲-۱۶-۶



(د) -۲-۱۶-۶

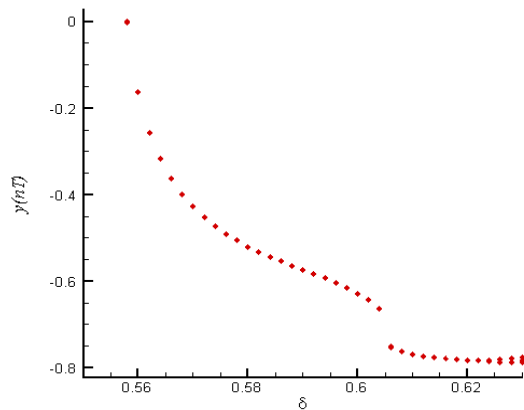


(ج) -۲-۱۶-۶

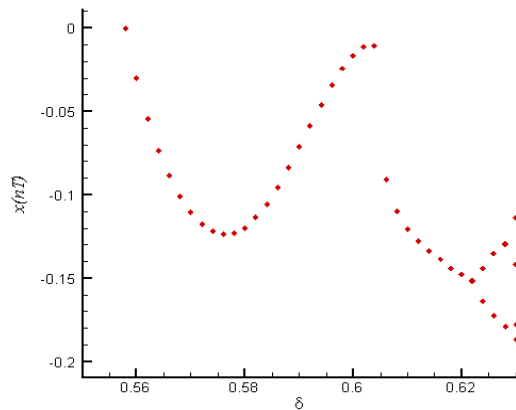
شکل (۱۶-۶): مدار دینامیکی مرکز محور (الف)، فضای حالت مرکز محور (ب) و طیف توانی آن در راستاهای افقی (ج) و

عمودی (د) به ازای $\delta = 0.58$ (۱-۱۶-۶) و $\delta = 0.626$ (۲-۱۶-۶) برای یاتاقان چهار-لب تحت

شرایط $\lambda = 1/5, \bar{\rho} = 0$



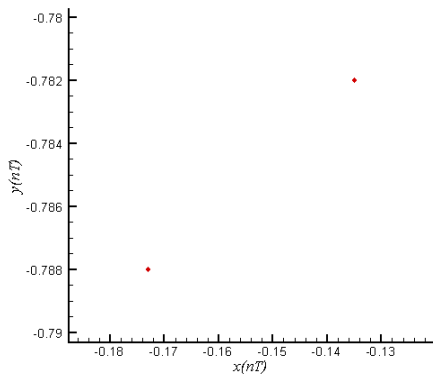
(ب)



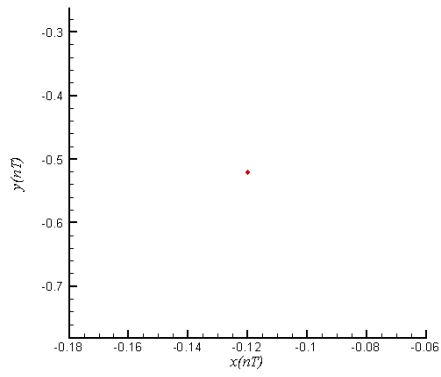
(الف)

شکل (۶-۱۷): دیاگرام دوشاخگی در راستاهای افقی (الف) و عمودی (ب) برای یاتاقان چهار-لب تحت شرایط

$$\lambda = 1/5, \bar{\rho} = 0$$



(ب)



(الف)

شکل (۶-۱۸): نگاشت پوانکاره مرکز محور به ازای $\delta = 0/58$ (الف) و $0/626$ (ب) برای یاتاقان چهار-لب تحت شرایط

$$\lambda = 1/5, \bar{\rho} = 0$$

۶-۴ بررسی رفتار دینامیکی با در نظر گرفتن $\lambda = 1, \bar{\rho} = 0/001 \text{ mm}$

در این بخش با فرض نابالانسی جرمی محور در حالتی که نسبت طول به قطر یاتاقان واحد باشد، اثرات عدد یاتاقان، جرم محور و پریلود روی رفتار دینامیکی سیستم مورد بررسی قرار می گیرد.

۶-۴-۱ اثر عدد یاتاقان بر روی رفتار دینامیکی

با در نظر گرفتن بارگذاری خارجی و جرم محور به ترتیب برابر با $\bar{W} = 5.06/5 N$ و $\bar{m}_r = 25/8 kg$

همچنین مقدار پرلود برابر با $\delta = 0/6$ تاثیر عدد یاتاقان روی رفتار سیستم مورد بررسی قرار می گیرد.

شکل های (۶-۱۹-۱ الف) الی (۶-۱۹-۴ الف) مدارهای دینامیکی را به ازای مقادیر مختلف عدد

یاتاقان نشان می دهند. رفتار منظم به ازای مقادیر عدد یاتاقان ۱۰ و ۲۳ نشان داده شده است. اما با افزایش

مقدار عدد یاتاقان به $A = 24$ پایداری در رفتار منظم کاهش می یابد. چنین رفتار نامنظمی به ازای

$A = 29$ نیز صورت می گیرد.

از شکل های (۶-۱۹-۱ ب) الی (۶-۱۹-۴ ب) مشاهده می شود که فضای حالت به ازای مقادیر عدد

یاتاقان ۱۰ و ۲۳ منظم است و با افزایش آن به مقادیر ۲۰ و ۲۹ نامنظم می شود.

شکل های (۶-۱۹-۱ ج، د) الی (۶-۱۹-۴ ج، د) طیف های توانی را در راستاهای افقی و عمودی برای

اعداد یاتاقان مذکور نشان می دهند. فرکانس های غالب در وقوع رفتار سیستم در این شکل ها مشخص

است. با مشاهده این شکل ها انتظار وقوع رفتارهای تناوبی در اعداد یاتاقان ۱۰ و ۲۳ و شبه تناوبی در

اعداد یاتاقان ۲۴ و ۲۹ می رود.

دیاگرام دوشاخگی در شکل های (۶-۲۰-الف، ب) تغییرات کیفی که در رفتار سیستم با تغییر مقدار

پارامتر آن، عدد یاتاقان، در محدوده $2/6 \leq A \leq 30$ صورت می گیرد، نشان می دهد. دیاگرام دوشاخگی

محلی در شکل های (۶-۲۱-الف، ب) تغییرات را در محدوده $22 \leq A \leq 30$ نشان داده است. مشاهده می -

شود که برای اعداد یاتاقان کوچکتر از $A = 23/2$ سیستم رفتار تناوبی از خود نشان می دهد. شکل های

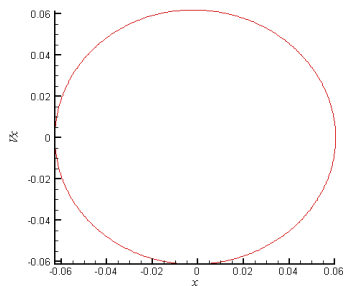
(۶-۲۲-الف، ب) نگاشت پوانکاره در اعداد یاتاقان ۱۰ و ۲۳ وقوع چنین رفتاری را با حضور یک نقطه تنها

تایید می کنند. با افزایش عدد یاتاقان و قرارگیری آن در محدوده $23/2 \leq A \leq 30$ سیستم رفتار شبه

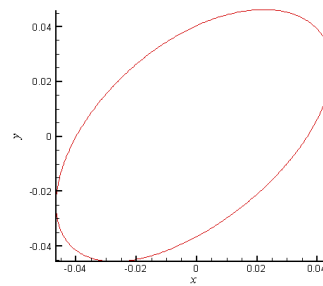
تناوبی از خود نشان می دهد. نگاشت پوانکاره به ازای اعداد یاتاقان ۲۴ و ۲۹ نشان داده شده در شکل های

(۶-۲۲-ج، د) وقوع چنین رفتاری را با تشکیل یک منحنی بسته در این صفحه تایید می کند. با افزایش

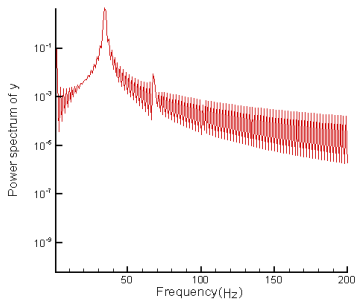
مجدد عدد یاتاقان از مقدار $A = 30$ برخورد بین محور و یاتاقان صورت می‌گیرد. لذا می‌توان در این مورد با قراردادن پارامتر سیستم در مقدار مناسب آن از وقوع رفتارهای نامناسب جلوگیری نمود.



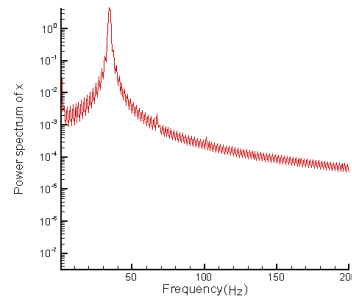
(ب) - ۱-۱۹-۶



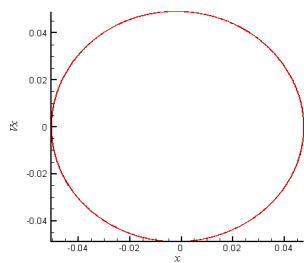
(الف) - ۱-۱۹-۶



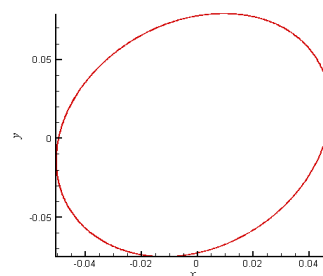
(د) - ۱-۱۹-۶



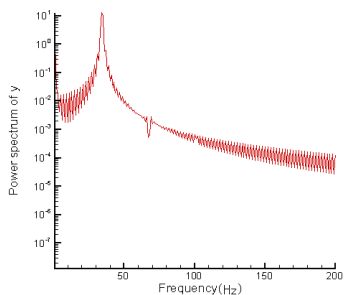
(ج) - ۱-۱۹-۶



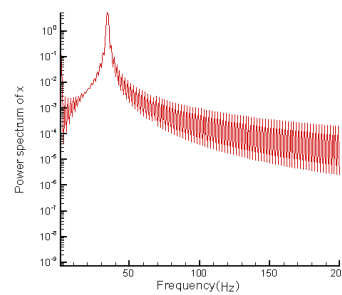
(ب) - ۲-۱۹-۶



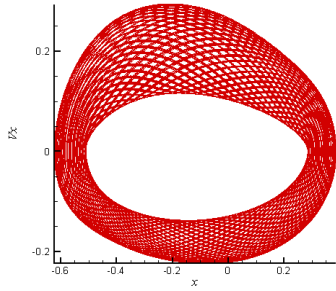
(الف) - ۲-۱۹-۶



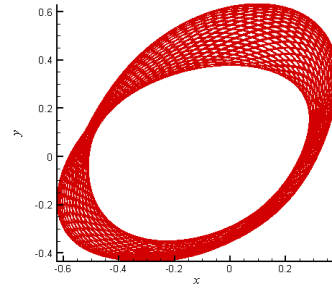
(د) - ۲-۱۹-۶



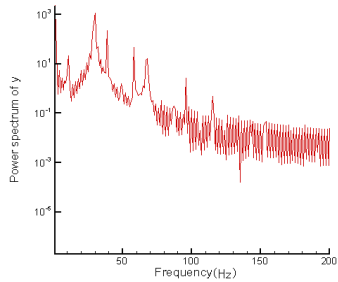
(ج) - ۲-۱۹-۶



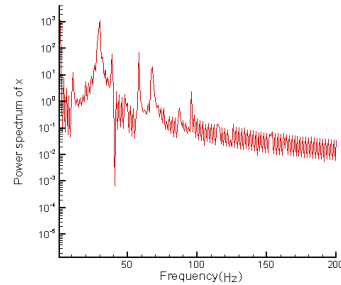
(ب) - ۳-۱۹-۶



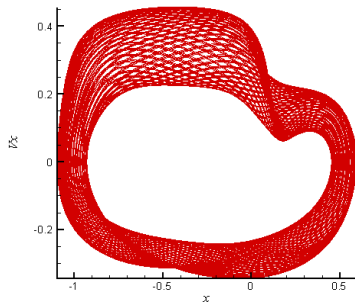
(الف) - ۳-۱۹-۶



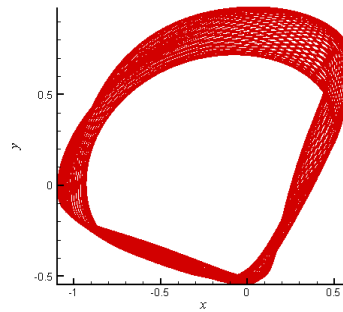
(د) - ۳-۱۹-۶



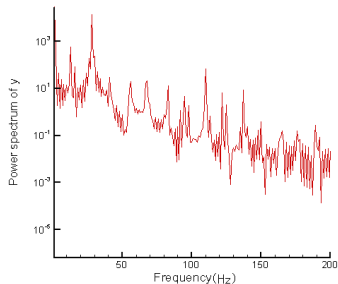
(ج) - ۳-۱۹-۶



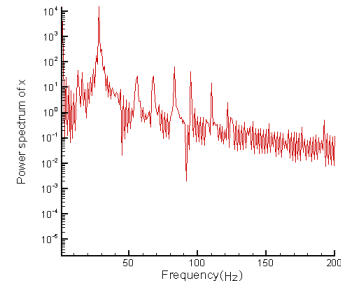
(ب) - ۴-۱۹-۶



(الف) - ۴-۱۹-۶



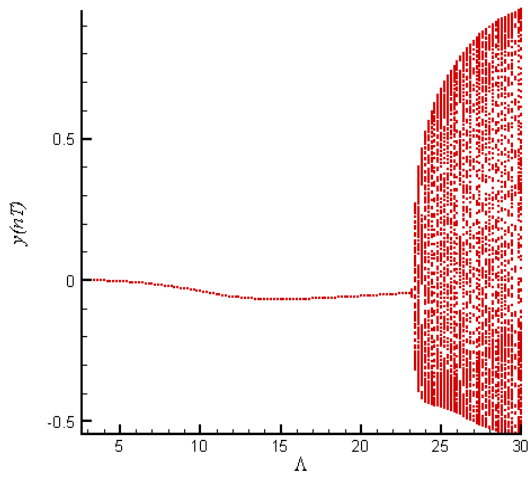
(د) - ۴-۱۹-۶



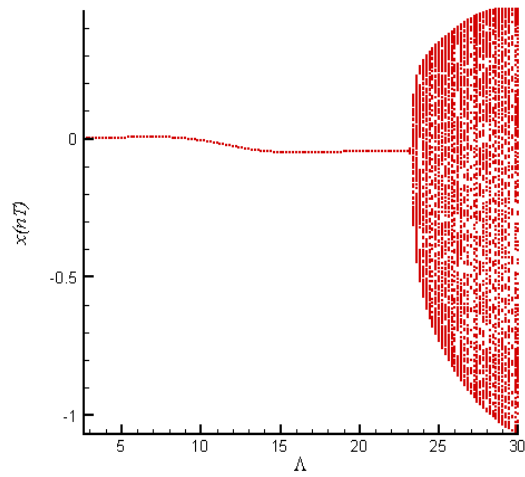
(ج) - ۴-۱۹-۶

شکل (۱۹-۶): مدار دینامیکی مرکز محور (الف)، فضای حالت مرکز محور (ب) و طیف توانی آن در راستاهای افقی (ج) و عمودی (د) به ازای $A=10$ (۱-۱۹-۶)، $A=23$ (۲-۱۹-۶)، $A=24$ (۳-۱۹-۶) و $A=29$ (۴-۱۹-۶) برای یاتاقان

چهار-لب تحت شرایط $\lambda = 1, \bar{\rho} = 0.001 \text{ mm}$



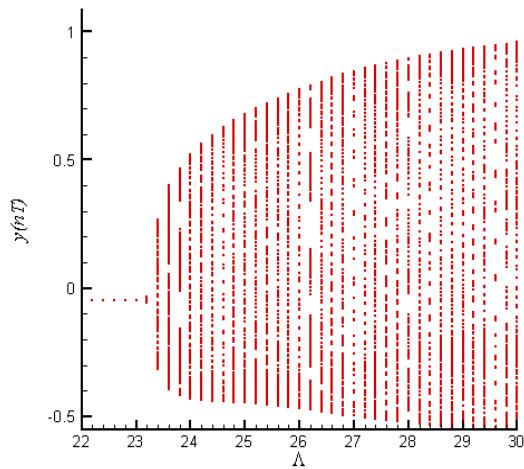
(ب)



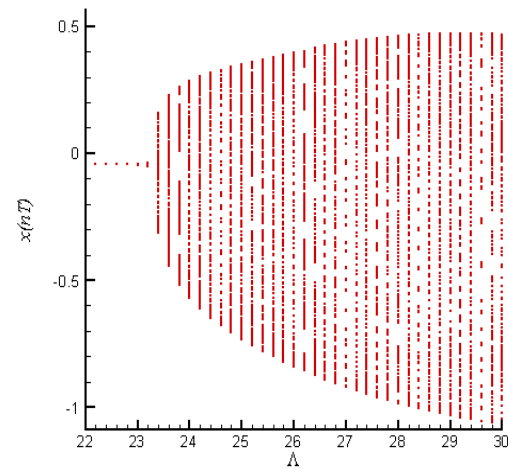
(الف)

شکل (۶-۲۰): دیاگرام دوشاخگی در راستاهای افقی (الف) و عمودی (ب) برای یاتاقان چهار-لب تحت شرایط

$$\lambda = 1, \bar{\rho} = 0.001 \text{ mm}$$



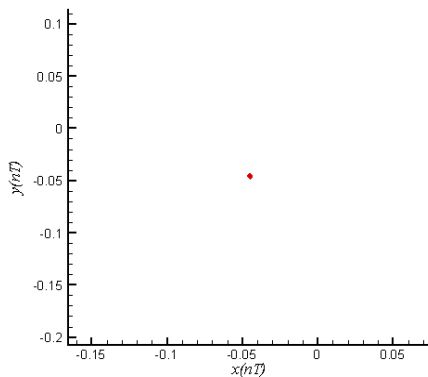
(ب)



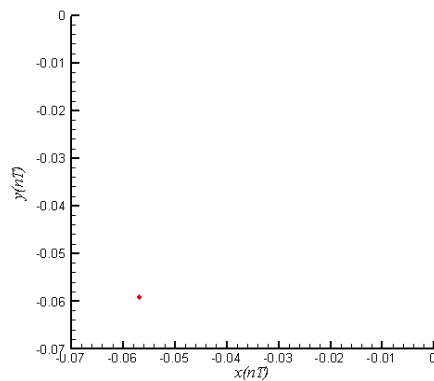
(الف)

شکل (۶-۲۱): دیاگرام دوشاخگی محلی ($22 \leq \Lambda \leq 30$) در راستاهای افقی (الف) و عمودی (ب) برای یاتاقان چهار-لب

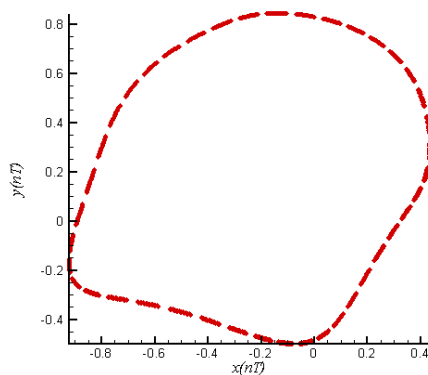
تحت شرایط $\lambda = 1, \bar{\rho} = 0.001 \text{ mm}$



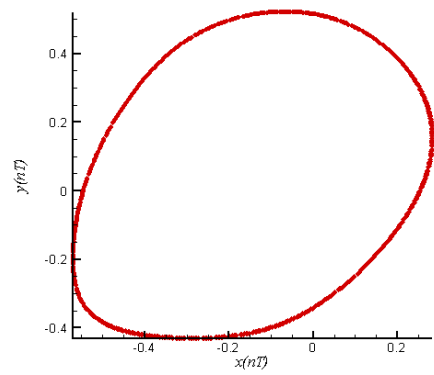
(ب)



(الف)



(د)



(ج)

شکل (۶-۲۲): نگاشت پوانکاره مرکز محور به ازای $\Lambda = 10$ (الف)، (ب)، (ج) و (د) برای یاتاقان چهار-لب تحت شرایط $\lambda = 1, \bar{\rho} = 0.001 \text{ mm}$

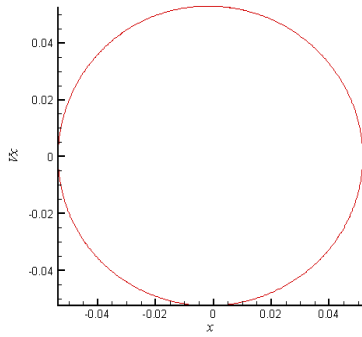
۶-۴-۲ اثر جرم محور بر روی رفتار دینامیکی

با در نظر گرفتن بارگذاری خارجی و عدد یاتاقان به ترتیب برابر با $\bar{W} = 5.06/5 \text{ N}$ و $\Lambda = 25$ ، همچنین مقدار پریلود برابر با $\delta = 0/6$ تاثیر جرم محور روی رفتار سیستم مورد بررسی قرار می‌گیرد. شکل‌های (۶-۲۳-۱) الی (۶-۲۳-۴) مدارهای دینامیکی را به ازای مقادیر مختلف جرم محور نشان می‌دهند. رفتار منظم به ازای مقادیر جرم محور $10/33$ و $20/7$ کیلوگرم نشان داده شده است. اما با افزایش مقدار جرم محور به $\bar{m}_r = 29/9 \text{ kg}$ پایداری در رفتار منظم کاهش می‌یابد. چنین رفتار نامنظمی به ازای $\bar{m}_r = 35/1 \text{ kg}$ نیز صورت می‌گیرد.

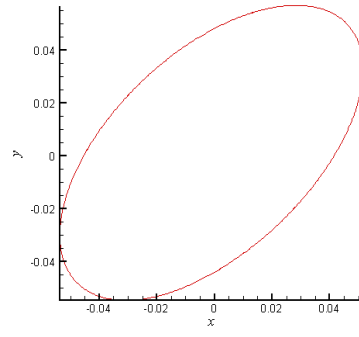
از شکل‌های (۶-۲۳-۱-ب) الی (۶-۲۳-۴-ب) مشاهده می‌شود که فضای حالت نیر به ازای مقادیر جرم‌های محور ۱۰/۳۳ و ۲۰/۷ کیلوگرم منظم است و با افزایش آن به مقادیر ۲۹/۹ و ۳۵/۱ کیلوگرم نامنظم می‌شود.

شکل‌های (۶-۲۳-۱-ج، د) الی (۶-۲۳-۴-ج، د) طیف‌های توانی را در راستاهای افقی و عمودی برای جرم‌های مذکور نشان می‌دهند. فرکانس‌های غالب در وقوع رفتار سیستم در این شکل‌ها مشخص است. با مشاهده این شکل‌ها انتظار وقوع رفتارهای تناوبی برای مقادیر جرم‌های محور ۱۰/۳۳ و ۲۰/۷ کیلوگرم و شبه تناوبی برای مقادیر جرم‌های محور ۲۹/۹ و ۳۵/۱ کیلوگرم می‌رود.

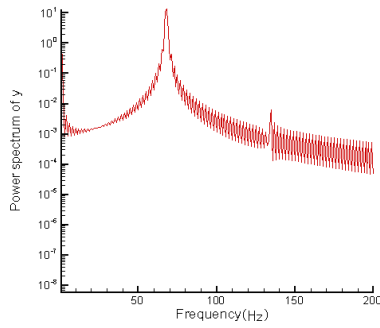
دیاگرام دوشاخگی در شکل‌های (۶-۲۴-الف، ب) تغییرات کیفی که در رفتار سیستم با تغییر مقدار پارامتر آن، جرم محور، در محدوده $2/6 \leq \bar{m}_r \leq 35/6 \text{ kg}$ صورت می‌گیرد، نشان می‌دهد. دیاگرام دوشاخگی محلی در شکل‌های (۶-۲۵-الف، ب) تغییرات را در محدوده $22 \leq \bar{m}_r \leq 35/6 \text{ kg}$ نشان داده است. مشاهده می‌شود برای جرم‌های محور کوچکتر از $\bar{m}_r = 23 \text{ kg}$ سیستم رفتار تناوبی از خود نشان می‌دهد. شکل (۶-۲۶-الف) نگاشت پوانکاره به ازای $\bar{m}_r = 10/33 \text{ kg}$ ، وقوع چنین رفتاری را با حضور یک نقطه تنها در این صفحه تایید می‌کند. با افزایش جرم محور و قرارگیری آن در محدوده $23 \leq \bar{m}_r \leq 35/6 \text{ kg}$ سیستم رفتار شبه تناوبی از خود نشان می‌دهد. اما در این محدوده می‌توان نقطه‌ای یافت که در آن رفتار KT -پریودیکی صورت می‌گیرد. نگاشت‌های پوانکاره در شکل (۶-۲۶) به ازای جرم‌های محور ۲۳/۲، ۲۹/۹ و ۳۵/۱ کیلوگرم به ترتیب شبه تناوبی، ده-پریودیکی و مجدداً شبه تناوبی بودن رفتار را نشان می‌دهند. با افزایش مجدد جرم محور از مقدار $\bar{m}_r = 35/6 \text{ kg}$ برخورد بین محور و یاتاقان صورت می‌گیرد. لذا می‌توان در این مورد با قراردادن پارامتر سیستم در مقدار مناسب آن از وقوع رفتارهای نامناسب جلوگیری نمود.



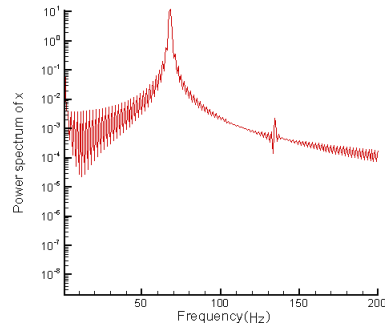
(ب) - ۱-۲۳-۶



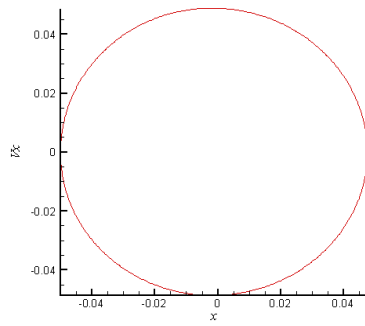
(الف) - ۱-۲۳-۶



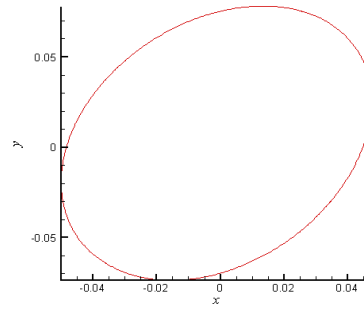
(د) - ۱-۲۳-۶



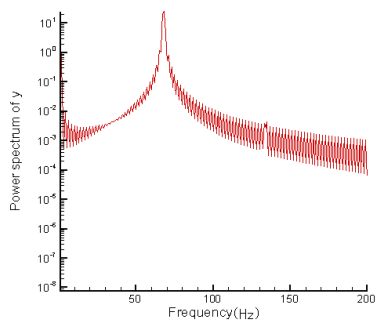
(ج) - ۱-۲۳-۶



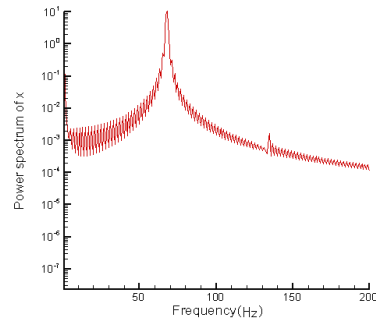
(ب) - ۲-۲۳-۶



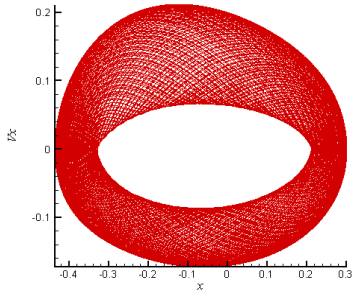
(الف) - ۲-۲۳-۶



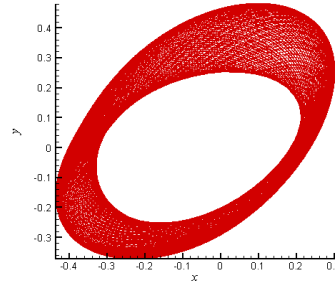
(د) - ۲-۲۳-۶



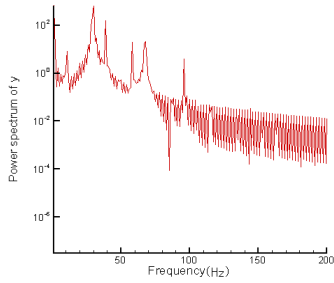
(ج) - ۲-۲۳-۶



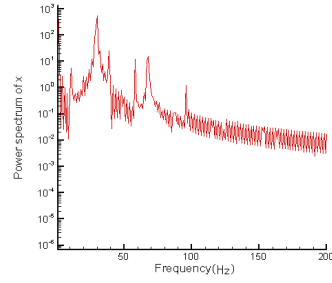
(ب) -۳-۲۳-۶



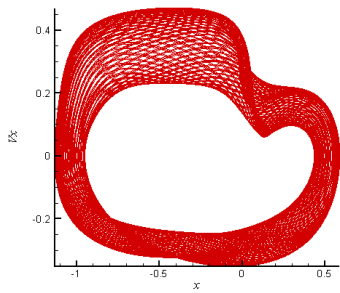
(الف) -۳-۲۳-۶



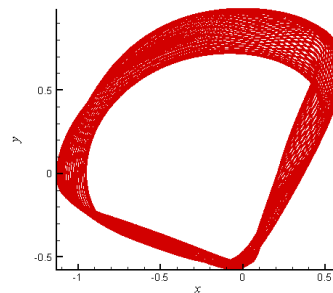
(د) -۳-۲۳-۶



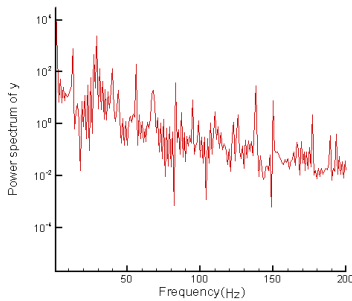
(ج) -۳-۲۳-۶



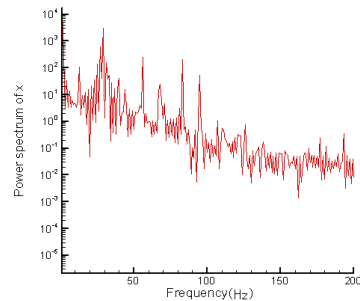
(ب) -۴-۲۳-۶



(الف) -۴-۲۳-۶

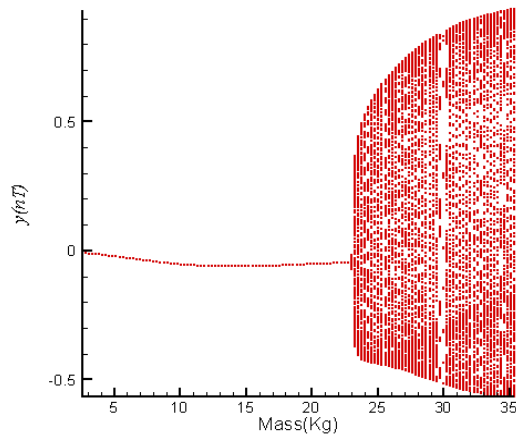


(د) -۴-۲۳-۶

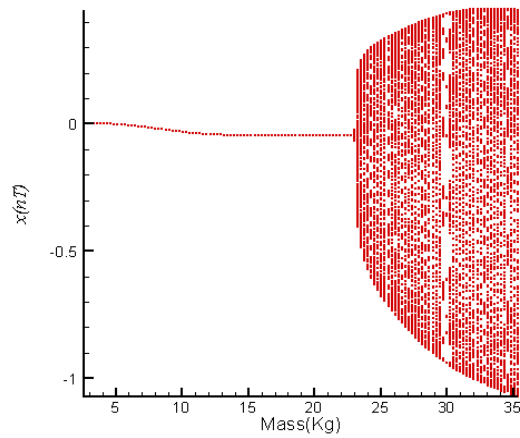


(ج) -۴-۲۳-۶

شکل (۲۳-۶): مدار دینامیکی مرکز محور (الف)، فضای حالت مرکز محور (ب) و طیف توانی آن در راستاهای افقی (ج) و عمودی (د) به ازای $\bar{m}_r = 10/33 kg$ ، $(1-23-6)$ ، $\bar{m}_r = 20/7 kg$ ، $(2-23-6)$ ، $\bar{m}_r = 23/2 kg$ ، $(3-23-6)$ و $\lambda = 1, \bar{\rho} = 0/001 mm$ برای یاتاقان چهار-لب تحت شرایط



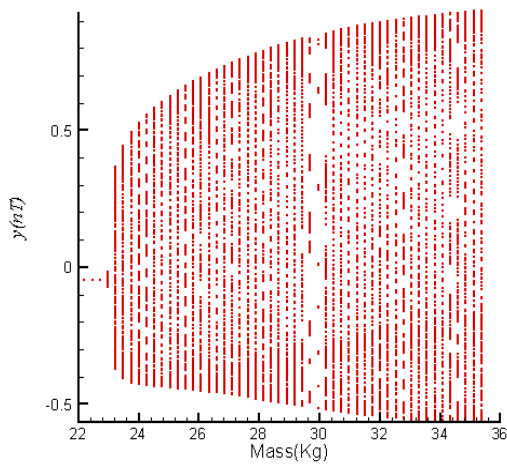
(ب)



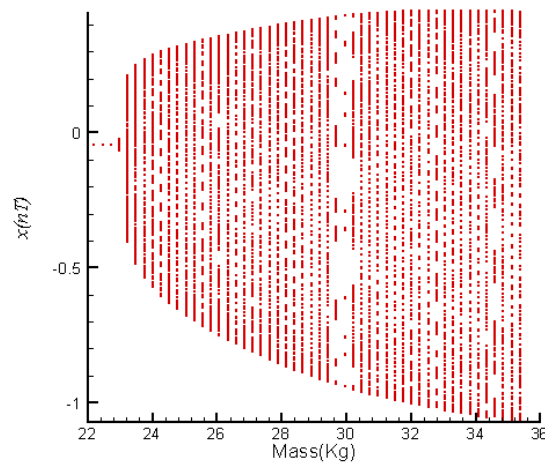
(الف)

شکل (۶-۲۴): دیاگرام دوشاخگی در راستاهای افقی (الف) و عمودی (ب) برای یاتاقان چهار-لب تحت شرایط

$$\lambda = 1, \bar{\rho} = 0.001 \text{ mm}$$



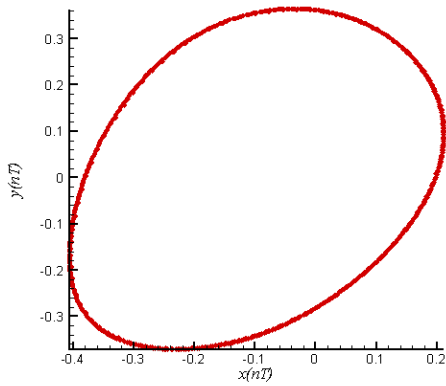
(ب)



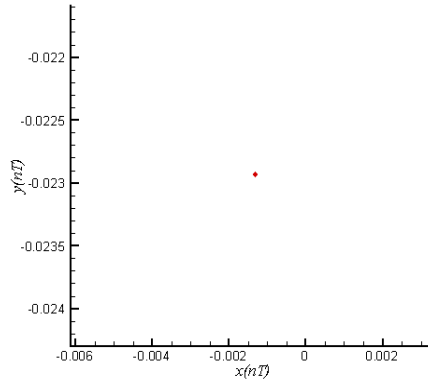
(الف)

شکل (۶-۲۵): دیاگرام دوشاخگی محلی ($22 \leq \bar{m}_r \leq 35/6 \text{ kg}$) در راستاهای افقی (الف) و عمودی (ب) برای یاتاقان چهار-

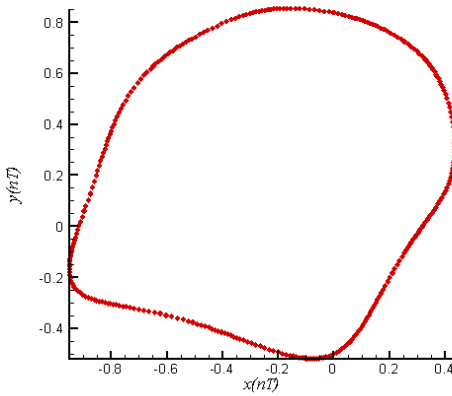
لب تحت شرایط $\lambda = 1, \bar{\rho} = 0.001 \text{ mm}$



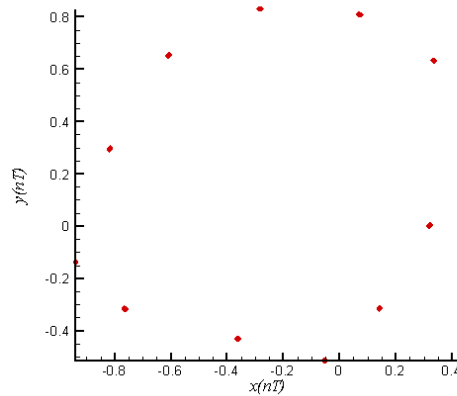
(ب)



(الف)



(د)



(ج)

شکل (۶-۲۶): نگاشت پوانکاره مرکز محور به ازای $\bar{m}_r = 10/33$ (الف)، $23/2$ (ب)، $29/9$ (ج) و $35/1$ (د) کیلوگرم برای یاتاقان چهار-لب تحت شرایط $\lambda = 1, \bar{\rho} = 0.01 mm$

۶-۴-۳ اثر پریلود بر روی رفتار دینامیکی

با در نظر گرفتن بارگذاری خارجی و عدد یاتاقان به ترتیب برابر با $\bar{W} = 5.06/5 N$ و $A = 25$ ، همچنین

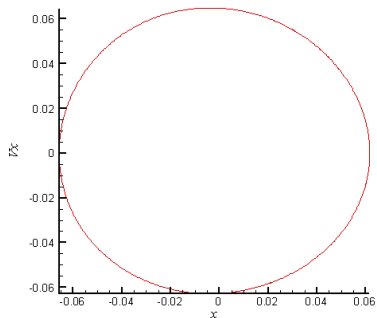
مقدار جرم محور برابر با $\bar{m}_r = 25/8 kg$ تاثیر پارامتر پریلود روی رفتار سیستم مورد بررسی قرار می-

گیرد.

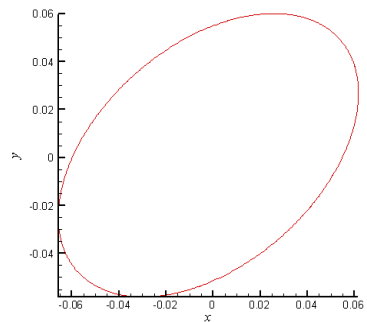
شکل‌های (۶-۲۷-۱- الف، ب) الی (۶-۲۷-۴- الف، ب) مدارهای دینامیکی و فضای حالت را به ازای مقادیر مختلف پریلود نشان می‌دهند. نتایج نشان می‌دهند که سیستم به ازای مقادیر پریلود ۰/۴۶ و ۰/۵۸ رفتار منظم و با افزایش آن به مقادیر ۰/۶۰۸ و ۰/۶۲ از خود رفتار نامنظم نشان می‌دهند.

شکل‌های (۶-۲۷-۱- ج، د) الی (۶-۲۷-۴- ج، د) طیف‌های توانی را در راستاهای افقی و عمودی برای مقادیر پریلود مذکور نشان می‌دهند. فرکانس‌های غالب در وقوع رفتار سیستم در این شکل‌ها مشخص است. با مشاهده این شکل‌ها انتظار وقوع رفتارهای تناوبی به ازای مقادیر ۰/۴۶ و ۰/۵۸ و شبه تناوبی به ازای مقادیر ۰/۶۰۸ و ۰/۶۲ می‌رود.

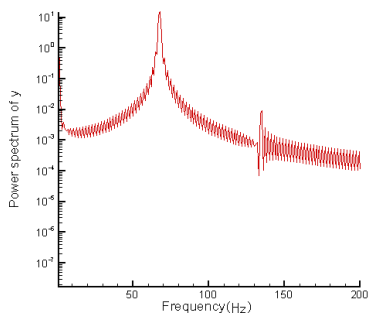
دیاگرام دوشاخگی در شکل‌های (۶-۲۸- الف، ب) تغییرات کیفی که در رفتار سیستم با تغییر مقدار پارامتر آن، پریلود، در محدوده $0/4 \leq \delta \leq 0/624$ صورت می‌گیرد، نشان می‌دهد. دیاگرام دوشاخگی محلی در شکل‌های (۶-۲۹- الف، ب) تغییرات را در محدوده $0/58 \leq \delta \leq 0/624$ نشان داده است. مشاهده می‌شود برای مقادیر پریلود کوچکتر از $\delta = 0/588$ سیستم رفتار تناوبی از خود نشان می‌دهد. شکل‌های (۶-۳۰- الف، ب) نگاشت پوانکاره به ازای مقادیر پریلود ۰/۴۶ و ۰/۵۸، وقوع چنین رفتاری را تایید می‌کند. با افزایش مقدار پریلود و قرارگیری آن در محدوده $0/588 \leq \delta \leq 0/624$ سیستم رفتار شبه تناوبی از خود نشان می‌دهد. نگاشت پوانکاره به ازای مقادیر پریلود ۰/۶۰۸ و ۰/۶۲ نشان داده شده در شکل‌های (۶-۳۰- ج، د) وقوع چنین رفتاری را با تشکیل یک منحنی بسته تایید می‌کند. با افزایش مجدد مقدار پریلود از $\delta = 0/624$ برخورد بین محور و یاتاقان صورت می‌گیرد. لذا می‌توان در این مورد با قراردادن پارامتر سیستم در مقدار مناسب آن از وقوع رفتارهای نامناسب جلوگیری نمود.



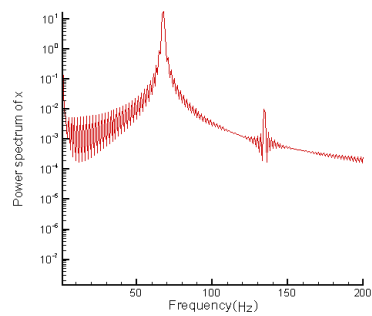
(ب) - ۱-۲۷-۶



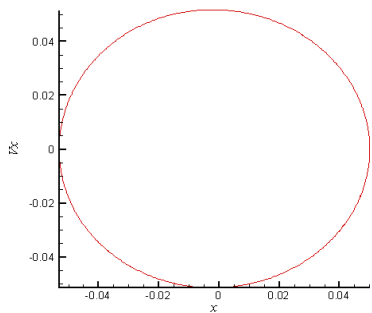
(الف) - ۱-۲۷-۶



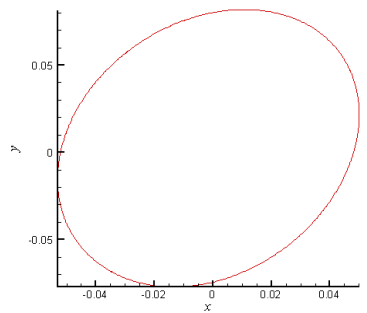
(ب) - ۱-۲۷-۶



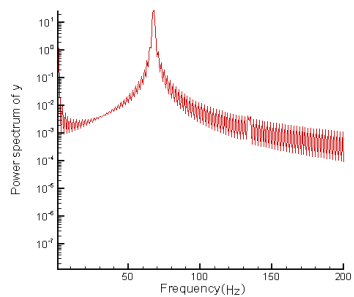
(ج) - ۱-۲۷-۶



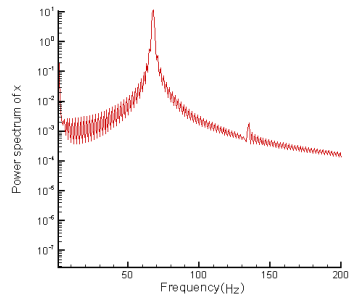
(ب) - ۲-۲۷-۶



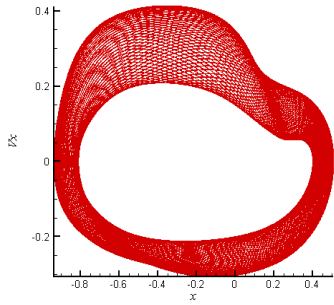
(الف) - ۲-۲۷-۶



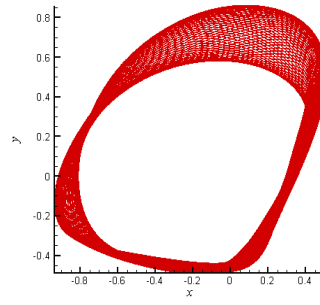
(ب) - ۲-۲۷-۶



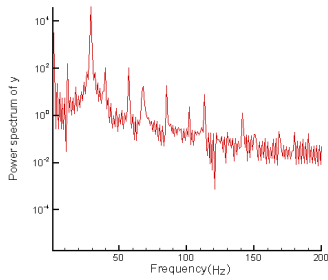
(ج) - ۲-۲۷-۶



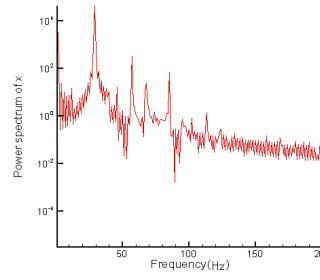
(ب) -۳-۲۷-۶



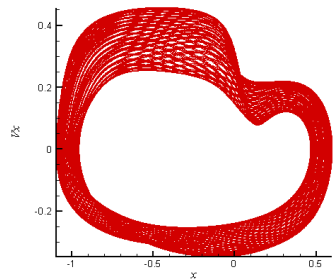
(الف) -۳-۲۷-۶



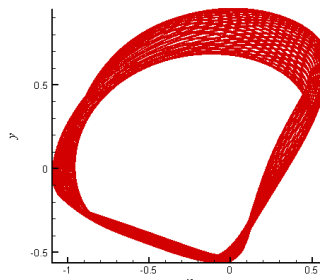
(د) -۳-۲۷-۶



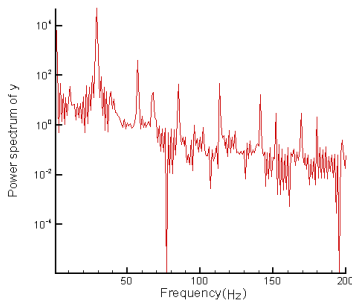
(ج) -۳-۲۷-۶



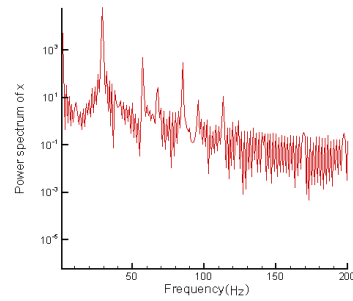
(ب) -۴-۲۷-۶



(الف) -۴-۲۷-۶

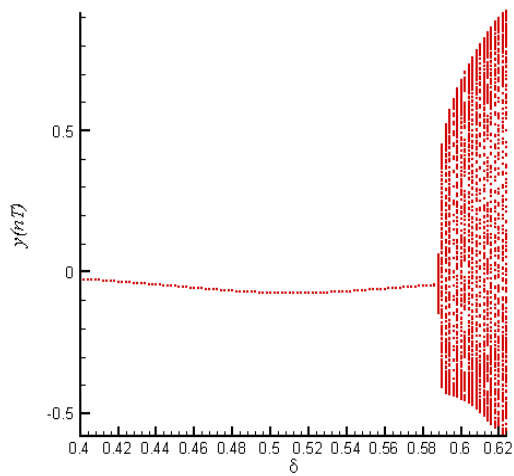


(د) -۴-۲۷-۶

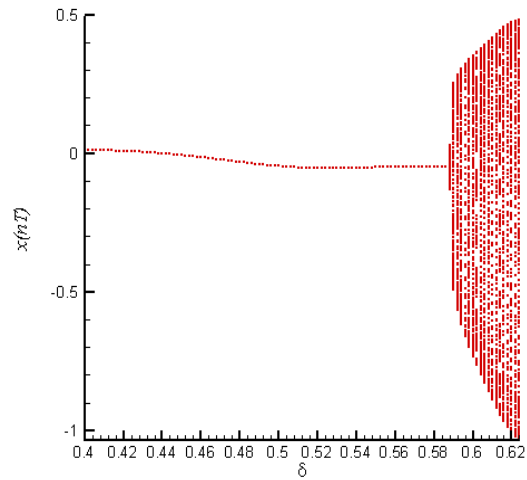


(ج) -۴-۲۷-۶

شکل (۲۷-۶): مدار دینامیکی مرکز محور (الف)، فضای حالت مرکز محور (ب) و طیف توانی آن در راستاهای افقی (ج) و عمودی (د) به ازای $\delta = 0.46$ (۱-۲۷-۶)، $\delta = 0.58$ (۲-۲۷-۶)، $\delta = 0.608$ (۳-۲۷-۶) و $\delta = 0.62$ (۴-۲۷-۶) برای یاتاقان چهار-لب تحت شرایط $\lambda = 1, \bar{\rho} = 0.001 mm$



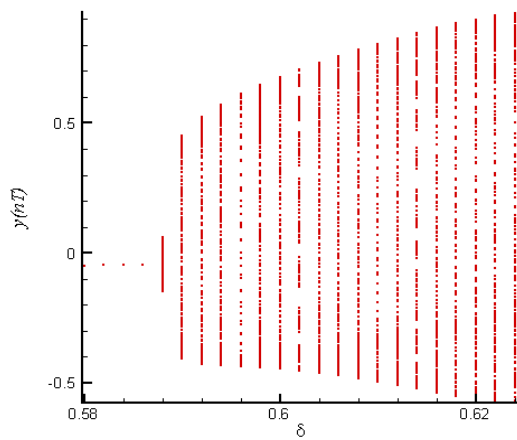
(ب)



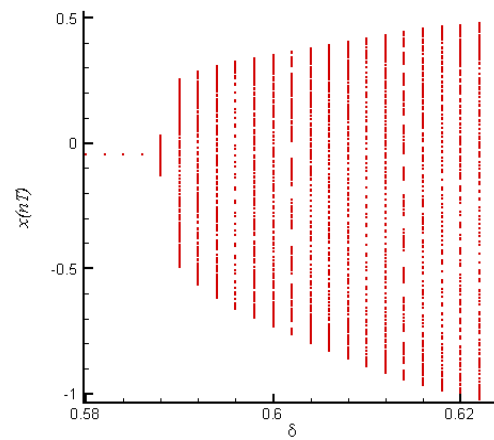
(الف)

شکل (۶-۲۸): دیاگرام دوشاخگی در راستاهای افقی (الف) و عمودی (ب) برای یاتاقان چهار-لب تحت شرایط

$$\lambda = 1, \bar{\rho} = 0.001 \text{ mm}$$



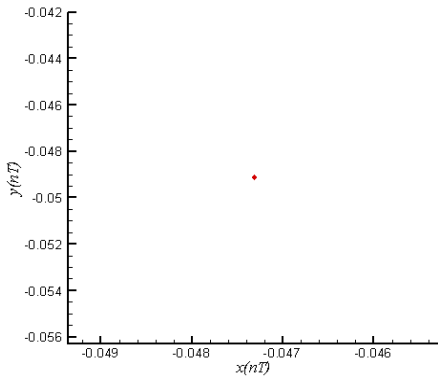
(ب)



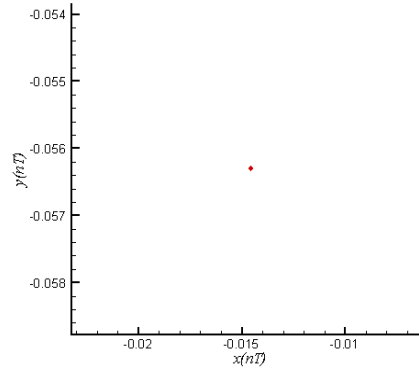
(الف)

شکل (۶-۲۹): دیاگرام دوشاخگی محلی ($0.58 \leq \delta \leq 0.624$) در راستاهای افقی (الف) و عمودی (ب) برای یاتاقان

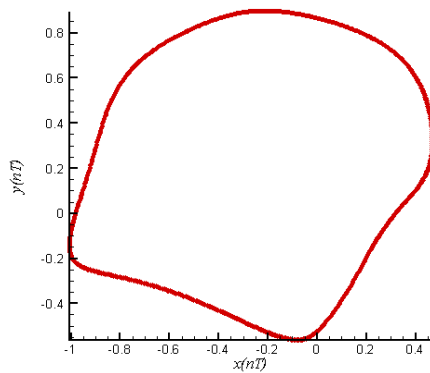
چهار-لب تحت شرایط $\lambda = 1, \bar{\rho} = 0.001 \text{ mm}$



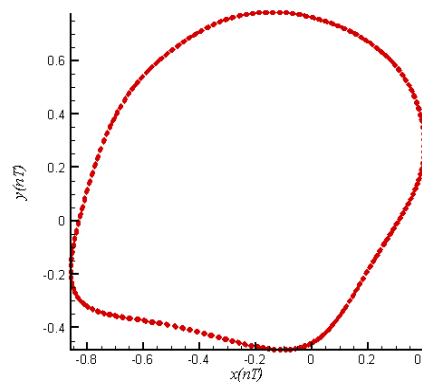
(ب)



(الف)



(د)



(ج)

شکل (۶-۳۰): نگاشت پوانکاره مرکز محور به ازای $\delta = 0/46$ (الف)، $0/58$ (ب)، $0/608$ (ج) و $0/62$ (د) برای یاتاقان چهار-لب تحت شرایط $\lambda = 1, \bar{\rho} = 0/001 mm$

۵-۶ بررسی رفتار دینامیکی با در نظر گرفتن $\lambda = 1/5, \bar{\rho} = 0/001 mm$

در این بخش با فرض نابالانسی جرمی محور در حالتی که نسبت طول به قطر یاتاقان $1/5$ باشد، اثرات عدد یاتاقان، جرم محور و پریلود روی رفتار دینامیکی سیستم مورد بررسی قرار می‌گیرد.

۶-۵-۱ اثر عدد یاتاقان بر روی رفتار دینامیکی

با در نظر گرفتن بارگذاری خارجی و جرم محور به ترتیب برابر با $\bar{W} = 506/5 N$ و $\bar{m}_r = 25/8 kg$

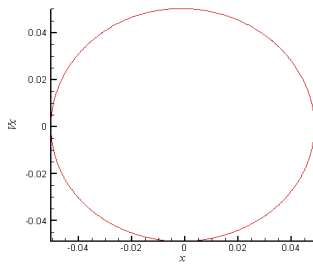
همچنین مقدار پریلود برابر با $\delta = 0/6$ تاثیر عدد یاتاقان روی رفتار سیستم مورد بررسی قرار می‌گیرد.

شکل‌های (۶-۳۱-۱-الف و ب) الی (۶-۳۱-۴-الف و ب) به ترتیب مدارهای دینامیکی و فضای حالت را به ازای مقادیر مختلف عدد یاتاقان نشان می‌دهند. رفتار منظم به ازای عدد یاتاقان $A = 15$ نشان-داده شده است. با افزایش مقدار عدد یاتاقان به مقادیر ۲۵ و ۳۰ میزان نظم در رفتار سیستم به شدت کاهش می‌یابد. اما با افزایش مقدار عدد یاتاقان به $A = 35$ از شدت بی‌نظمی در رفتار سیستم کاسته می‌شود.

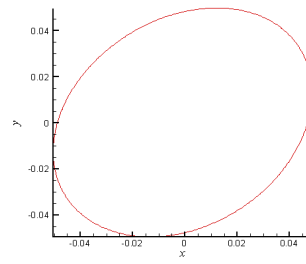
شکل‌های (۶-۳۱-۱-ج، د) الی (۶-۳۱-۴-ج، د) طیف‌های توانی را در راستاهای افقی و عمودی برای اعداد یاتاقان مذکور نشان می‌دهند. فرکانس‌های غالب در وقوع رفتار سیستم در این شکل‌ها مشخص است. با مشاهده این شکل‌ها انتظار وقوع رفتار تناوبی به ازای عدد یاتاقان ۱۵ و شبه تناوبی به ازای اعداد یاتاقان ۲۵، ۳۰ و ۳۵ می‌رود.

دیاگرام دوشاخگی در شکل‌های (۶-۳۲-الف، ب) تغییرات کیفی که در رفتار سیستم با تغییر مقدار پارامتر آن، عدد یاتاقان، در محدوده $2 \leq A \leq 35/4$ صورت می‌گیرد، نشان می‌دهند. دیاگرام دوشاخگی محلی در شکل‌های (۶-۳۳-الف، ب) تغییرات را در محدوده $18 \leq A \leq 35/4$ نشان داده است. مشاهده می‌شود که برای اعداد یاتاقان کوچکتر از $A = 19/8$ سیستم رفتار تناوبی از خود نشان می‌دهد. شکل (۶-۳۴-الف) نداشت پوانکاره به ازای $A = 15$ وقوع چنین رفتاری را تایید می‌کند. با افزایش عدد یاتاقان و قرارگیری آن در محدوده وسیع $19/8 \leq A < 35/4$ سیستم رفتار شبه تناوبی از خود نشان می‌دهد. اما در محدوده گسترده ذکرشده می‌توان اعدادی نظیر $26/6$ ، $27/6$ ، $31/4$ ، ۳۳ و همچنین محدوده کوچک $34/8 \leq A \leq 35/4$ پیدا نمود که در آن رفتار KT -پریودیک صورت می‌گیرد. نداشت پوانکاره به ازای اعداد یاتاقان ۲۵ و ۳۰ نشان داده شده در شکل‌های (۶-۳۴-ب، پ) وقوع رفتار شبه تناوبی را با تشکیل یک منحنی بسته تایید می‌کند. همچنین، شکل‌های (۶-۳۴-ت، ج، د، ه، ی) به ترتیب رفتارهای هفت، سیزده، نه، شانزده و سه-پریودیکی را به‌ازای اعداد یاتاقان $26/6$ ، $27/6$ ، $31/4$ ، ۳۳ و ۳۵

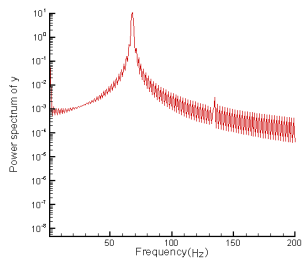
نشان می‌دهند. با افزایش مجدد عدد یاتاقان از مقدار $1 = 35/4$ برخورد بین محور و یاتاقان صورت می‌گیرد. لذا می‌توان با قراردادن پارامتر سیستم در مقدار مناسب آن از وقوع رفتارهای نامناسب جلوگیری نمود.



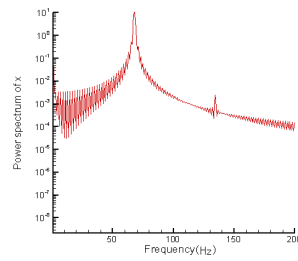
(ب) - ۱-۳۱-۶



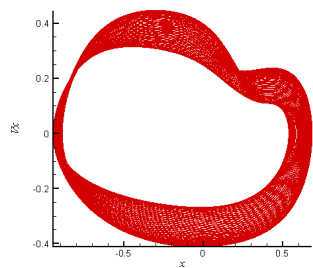
(الف) - ۱-۳۱-۶



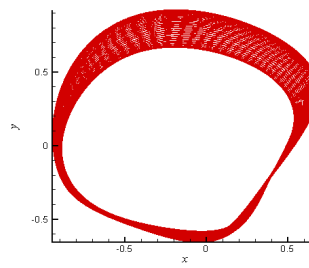
(د) - ۱-۳۱-۶



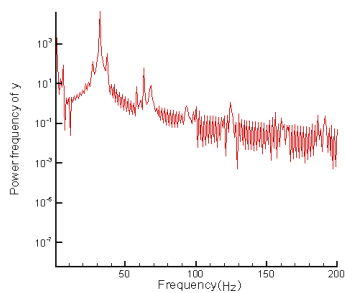
(ج) - ۱-۳۱-۶



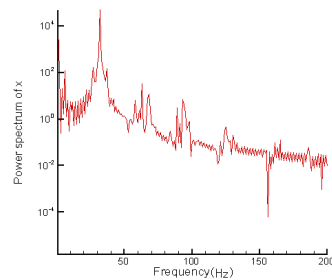
(ب) - ۲-۳۱-۶



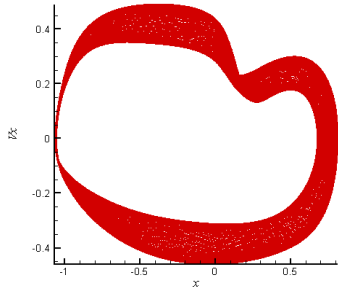
(الف) - ۲-۳۱-۶



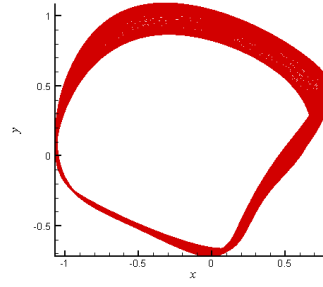
(د) - ۲-۳۱-۶



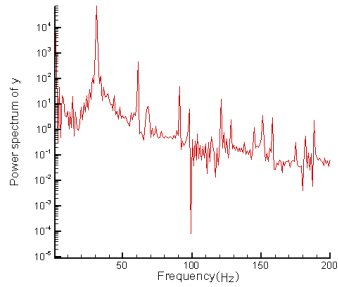
(ج) - ۲-۳۱-۶



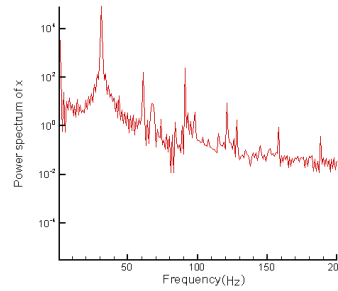
(ب) -۳-۳۱-۶



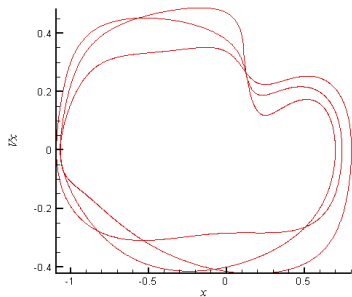
(الف) -۳-۳۱-۶



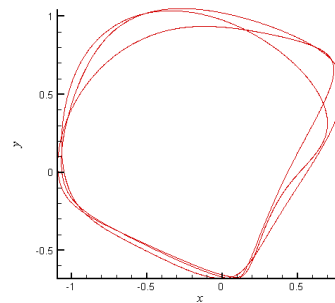
(د) -۳-۳۱-۶



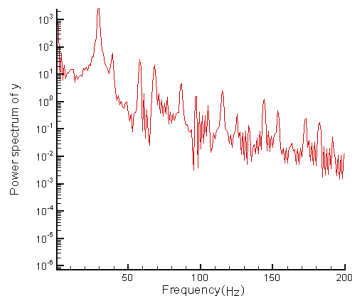
(ج) -۳-۳۱-۶



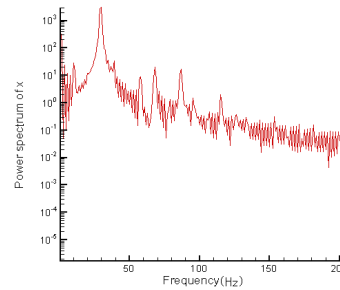
(ب) -۴-۳۱-۶



(الف) -۴-۳۱-۶

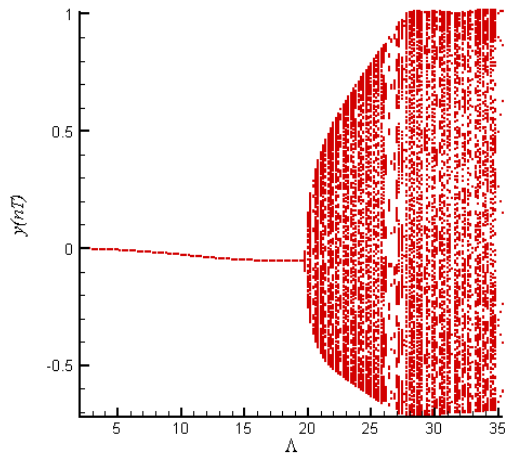


(د) -۴-۳۱-۶

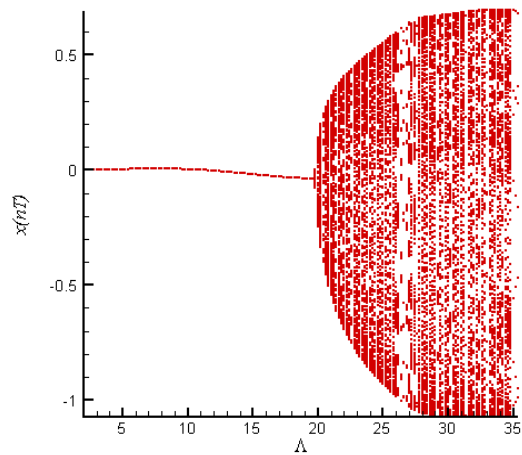


(ج) -۴-۳۱-۶

شکل (۳۱-۶): مدار دینامیکی مرکز محور (الف)، فضای حالت مرکز محور (ب) و طیف توانی آن در راستاهای افقی (ج) و عمودی (د) به ازای $\Lambda = 15$ (۱-۳۱-۶)، $\Lambda = 25$ (۲-۳۱-۶)، $\Lambda = 30$ (۳-۳۱-۶) و $\Lambda = 35/4$ (۴-۳۱-۶) برای یاتاقان چهار-لب تحت شرایط $\lambda = 1/5, \bar{\rho} = 0.001 mm$



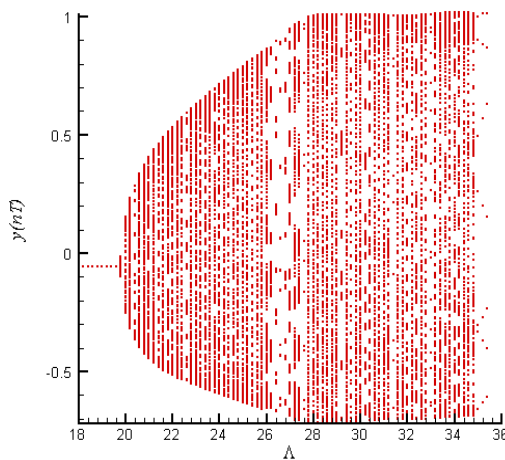
(ب)



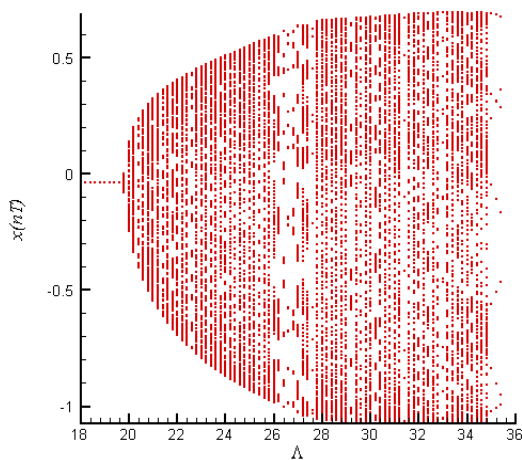
(الف)

شکل (۶-۳۲): دیاگرام دوشاخگی در راستاهای افقی (الف) و عمودی (ب) برای یاتاقان چهار-لب تحت شرایط

$$\lambda = 1/5, \bar{\rho} = 0.001 \text{ mm}$$



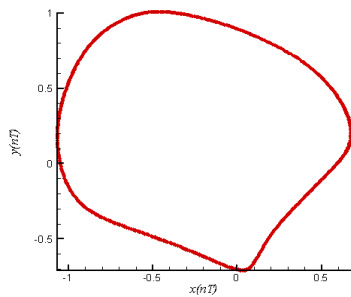
(ب)



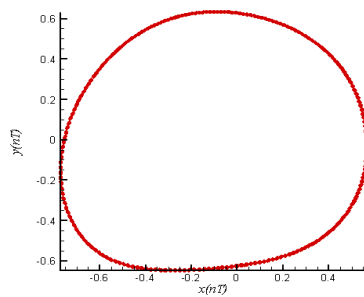
(الف)

شکل (۶-۳۳): دیاگرام دوشاخگی محلی ($18 \leq \Lambda \leq 36/4$) در راستاهای افقی (الف) و عمودی (ب) برای یاتاقان چهار-

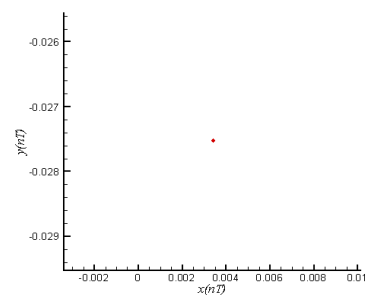
لب تحت شرایط $\lambda = 1/5, \bar{\rho} = 0.001 \text{ mm}$



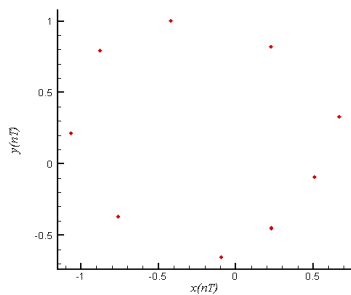
(پ)



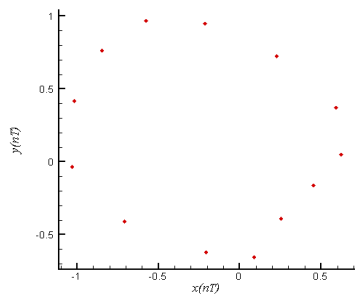
(ب)



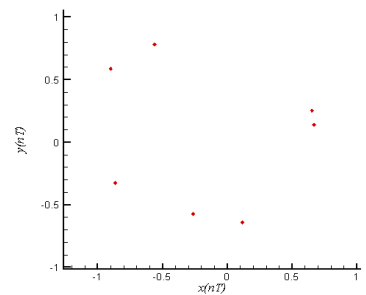
(الف)



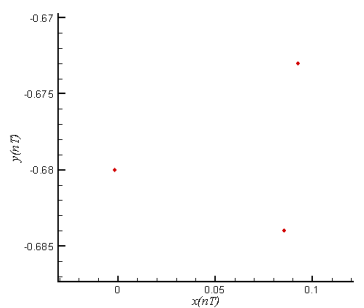
(د)



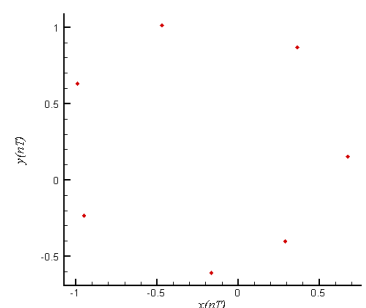
(ج)



(ت)



(ی)



(ه)

شکل (۶-۳۴): نگاشت پوانکاره مرکز محور به ازای $A = 15$ (الف)، ۲۰ (ب)، ۳۰ (پ)، ۲۶/۶ (ت)، ۲۷/۶ (ج)، ۳۱/۴ (د)،
 ۳۳ (ه) و ۳۵ (ی) برای یاتاقان چهار-لب تحت شرایط $\lambda = 1/5, \bar{\rho} = 0/001 mm$

۶-۵-۲ اثر جرم محور بر روی رفتار دینامیکی

با در نظر گرفتن بارگذاری خارجی و عدد یاتاقان به ترتیب برابر با $\bar{W} = 506/5 N$ و $A = 25$ ، همچنین مقدار پریلود برابر با $\delta = 0/6$ تاثیر جرم محور روی رفتار سیستم مورد بررسی قرار می گیرد.

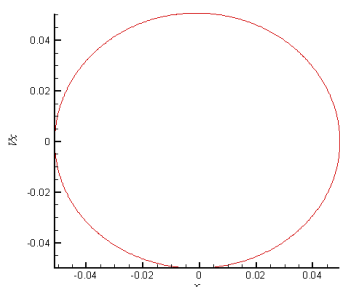
شکل‌های (۶-۳۵-۱- الف و ب) الی (۶-۳۵-۴- الف و ب) به ترتیب مدارهای دینامیکی و فضای حالت را به ازای مقادیر مختلف جرم محور نشان می‌دهند. رفتار منظم به ازای جرم محور $\bar{m}_r = 15/5kg$ نشان داده شده است. اما با افزایش مقدار جرم محور به $\bar{m}_r = 18/1kg$ پایداری در رفتار منظم کاهش می‌یابد. چنین رفتار نامنظمی به ازای جرم‌های محور ۳۱ و $36/6$ کیلوگرم نیز صورت می‌گیرد.

شکل‌های (۶-۳۵-۱- ج، د) الی (۶-۳۵-۴- ج، د) طیف‌های توانی را در راستاهای افقی و عمودی برای جرم‌های مذکور نشان می‌دهند. فرکانس‌های غالب در وقوع رفتار سیستم در این شکل‌ها مشخص است. با مشاهده این شکل‌ها انتظار وقوع رفتارهای تناوبی به ازای جرم محور $\bar{m}_r = 15/5kg$ و شبه تناوبی به ازای مقادیر جرم‌های محور $18/1$ ، 31 و $36/6$ کیلوگرم می‌رود.

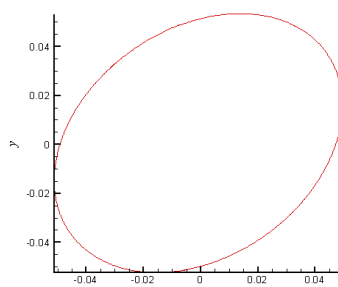
دیاگرام دوشاخگی در شکل‌های (۶-۳۶- الف، ب) تغییرات کیفی که در رفتار سیستم با تغییر مقدار پارامتر آن، جرم محور، در محدوده $44/4kg \leq \bar{m}_r \leq 2/6$ صورت می‌گیرد، نشان می‌دهد. دیاگرام دوشاخگی محلی تغییرات در محدوده $15 \leq \bar{m}_r \leq 44/4kg$ را در شکل‌های (۶-۳۷- الف، ب) نشان داده است. مشاهده می‌شود برای جرم‌های محور کوچکتر از $\bar{m}_r = 16/8kg$ سیستم رفتار تناوبی از خود نشان می‌دهد. شکل (۶-۳۸- الف) نگاشت پوانکاره به ازای $\bar{m}_r = 15/5kg$ ، وقوع چنین رفتاری را با حضور یک نقطه تنها در این صفحه تایید می‌کند. مشاهده می‌شود که رفتار شبه تناوبی در محدوده وسیع تغییرات جرم محور $16/8 \leq \bar{m}_r < 44/4kg$ صورت می‌گیرد اما در این محدوده می‌توان مقادیر جرمی نظیر $32/8$ ، $36/6$ کیلوگرم و محدوده کوچک $43/6kg < \bar{m}_r \leq 42/6$ را یافت که سیستم به ازای مقادیر جرم‌های مربوطه رفتار پایدارتری از خود نشان می‌دهد. نگاشت پوانکاره به ازای جرم‌های محور $18/1$ و 31 کیلوگرم نشان داده شده در شکل‌های (۶-۳۸- ب، پ) وقوع رفتار شبه تناوبی را با تشکیل یک منحنی بسته تایید می‌کند و شکل‌های (۶-۳۸- ت، ج، د) به ترتیب رفتارهای سیزده، یازده و نه-پریودیکی را به ازای مقادیر جرم محور $32/8$ ، $36/6$ و $43/4$ کیلوگرم تایید می‌کنند. با افزایش جرم محور از مقدار $44/4kg$ \bar{m}_r

برخورد بین محور و یاتاقان صورت می گیرد. لذا می توان در این مورد با قراردادن پارامتر سیستم در مقدار

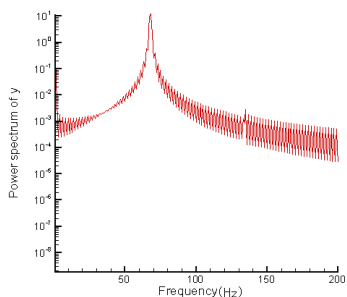
مناسب آن از وقوع رفتارهای نامناسب جلوگیری نمود.



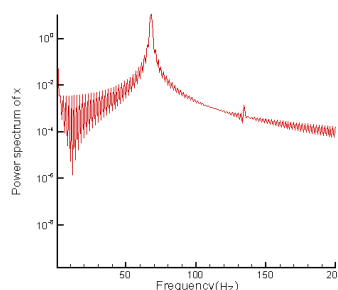
(ب) -۱-۳۵-۶



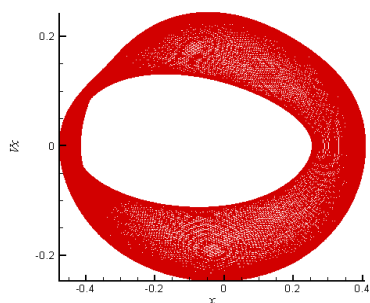
(الف) -۱-۳۵-۶



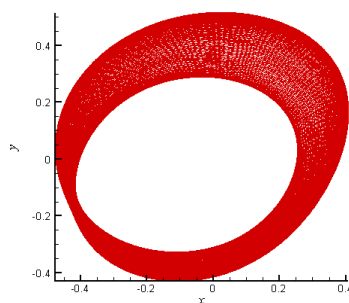
(د) -۱-۳۵-۶



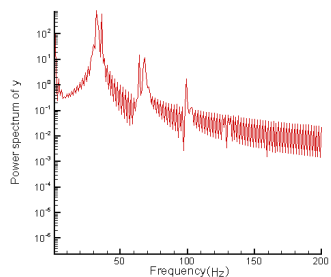
(ج) -۱-۳۵-۶



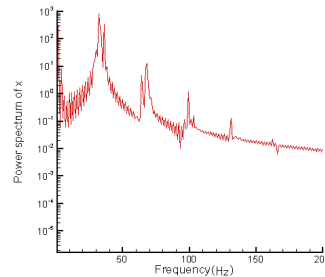
(ب) -۲-۳۵-۶



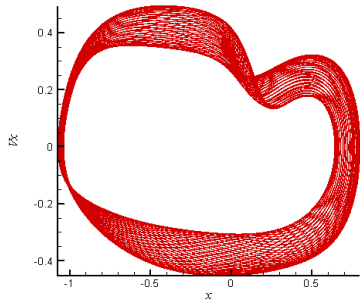
(الف) -۲-۳۵-۶



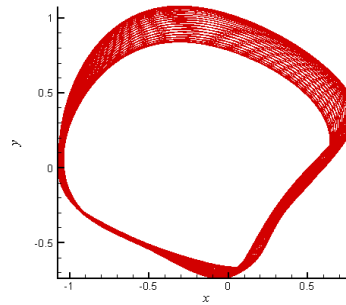
(د) -۲-۳۵-۶



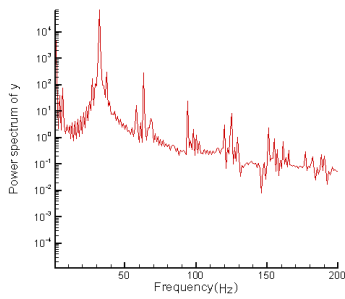
(ج) -۲-۳۵-۶



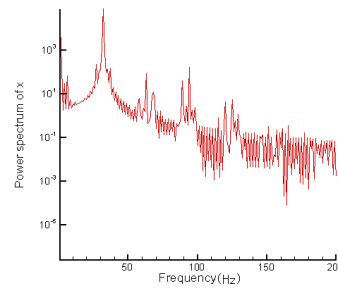
(ب) - ۳-۳۵-۶



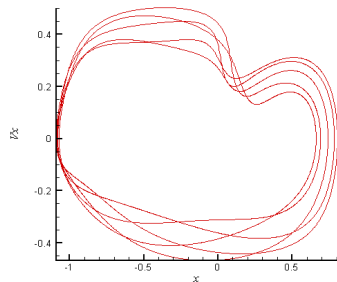
(الف) - ۳-۳۵-۶



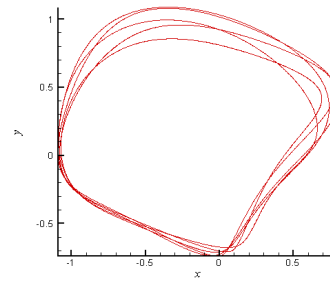
(د) - ۳-۳۵-۶



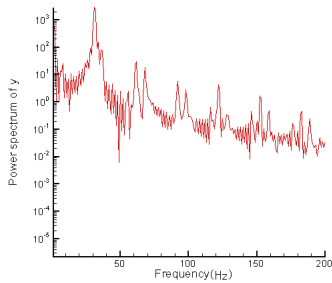
(ج) - ۳-۳۵-۶



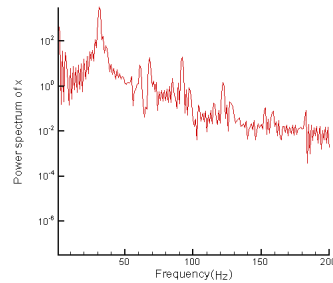
(ب) - ۴-۳۵-۶



(الف) - ۴-۳۵-۶



(د) - ۴-۳۵-۶

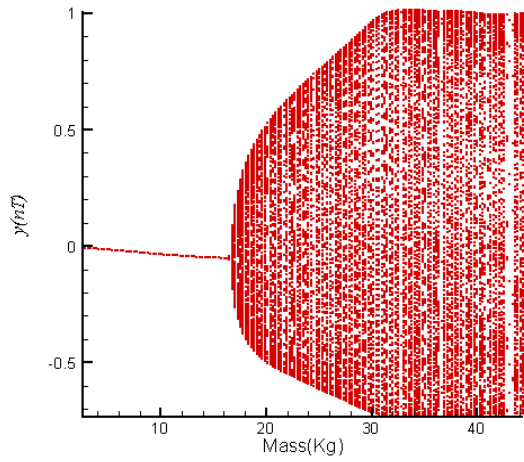


(ج) - ۴-۳۵-۶

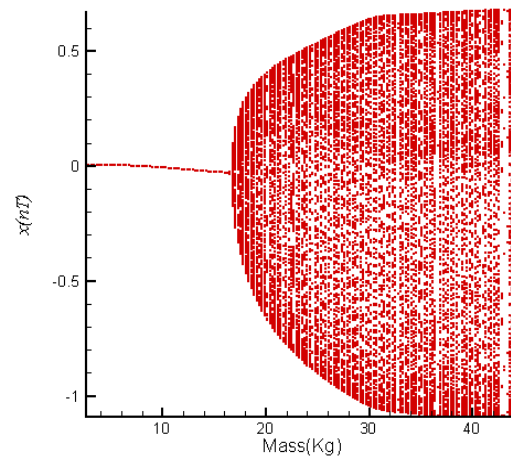
شکل (۳۵-۶): مدار دینامیکی مرکز محور (الف)، فضای حالت مرکز محور (ب) و طیف توانی آن در راستاهای افقی (ج) و

عمودی (د) به ازای $\bar{m}_r = 15/5 kg$ ، $(1-35-6)$ ، $\bar{m}_r = 18/0.7 kg$ ، $(2-35-6)$ ، $\bar{m}_r = 31 kg$ ، $(3-35-6)$ و

$\lambda = 1/5$ ، $\bar{\rho} = 0/0.1 mm$ برای یاتاقان چهار-لب تحت شرایط $(4-35-6)$ ، $\bar{m}_r = 36/6 kg$



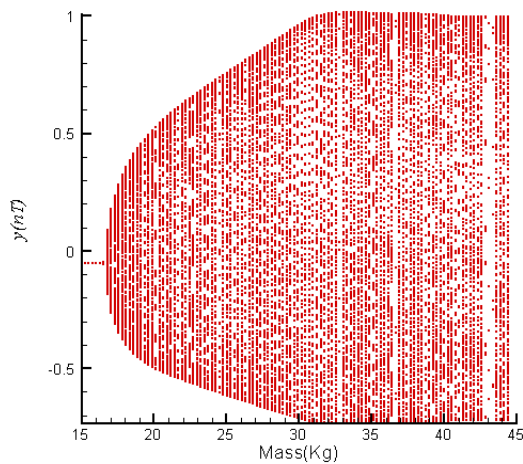
(ب)



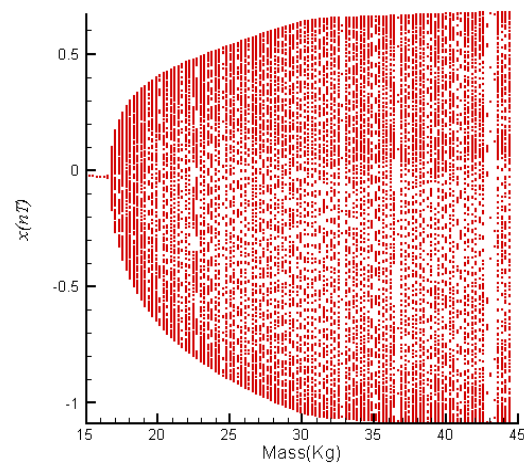
(الف)

شکل (۶-۳۶): دیاگرام دوشاخگی در راستاهای افقی (الف) و عمودی (ب) برای یاتاقان چهار-لب تحت شرایط

$$\lambda = 1/5, \bar{\rho} = 0.001 \text{ mm}$$



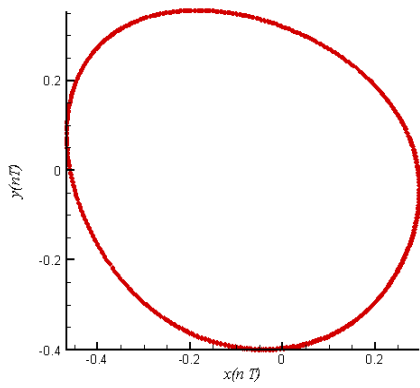
(ب)



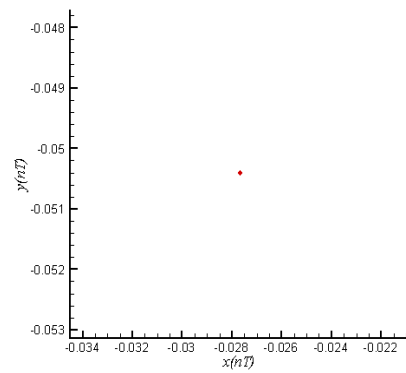
(الف)

شکل (۶-۳۷): دیاگرام دوشاخگی محلی ($15 \leq \bar{m}_r \leq 44/4 \text{ kg}$) در راستاهای افقی (الف) و عمودی (ب) برای یاتاقان چهار-لب تحت شرایط

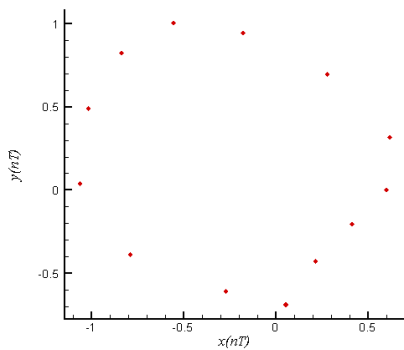
$$\lambda = 1/5, \bar{\rho} = 0.001 \text{ mm}$$



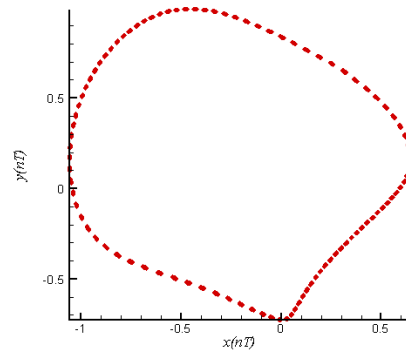
(ب)



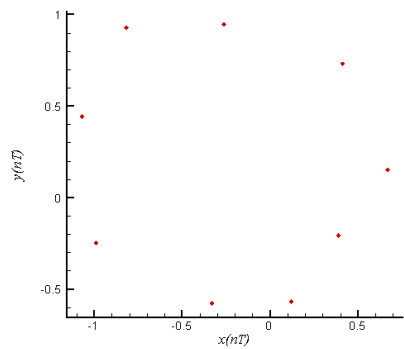
(الف)



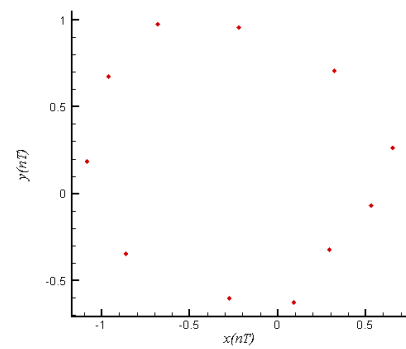
(ت)



(ب)



(د)



(ج)

شکل (۶-۳۸): نگاشت پوانکاره مرکز محور به ازای $\bar{m}_r = 15/5$ (الف)، $18/1$ (ب)، 31 (پ)، $32/8$ (ت)، $36/6$ (ج) و $43/4$ (د) کیلوگرم برای یاتاقان چهار-لب تحت شرایط $\lambda = 1/5, \bar{\rho} = 0.01 mm$

۳-۵-۶ اثر پریلود بر روی رفتار دینامیکی

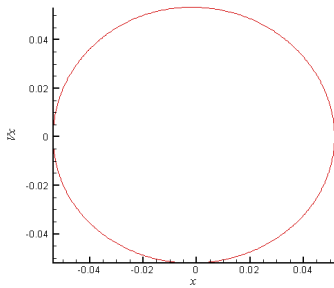
با در نظر گرفتن بارگذاری خارجی و عدد یاتاقان به ترتیب برابر با $\bar{W} = 5.06/5 N$ و $A = 25$ ، همچنین مقدار جرم محور برابر با $\bar{m}_r = 25/8 kg$ تاثیر پارامتر پریلود روی رفتار سیستم مورد بررسی قرار می‌گیرد.

شکل‌های (۱-۳۹-۶ الف، ب) الی (۴-۳۹-۶ الف، ب) به ترتیب مدارهای دینامیکی و فضای حالت را به ازای مقادیر مختلف پریلود نشان می‌دهند. رفتار منظم به ازای مقادیر پریلود 0.5 و 0.55 نشان داده شده است. اما با افزایش مقدار پریلود به $0.6 = \delta$ پایداری در رفتار منظم کاهش می‌یابد. چنین رفتار نامنظمی به ازای $0.62 = \delta$ نیز صورت می‌گیرد.

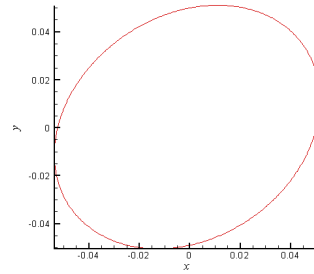
شکل‌های (۱-۳۹-۶ ج، د) الی (۴-۳۹-۶ ج، د) طیف‌های توانی را در راستاهای افقی و عمودی برای مقادیر پریلود مذکور نشان می‌دهند. فرکانس‌های غالب در وقوع رفتار سیستم در این شکل‌ها مشخص است. با مشاهده این شکل‌ها انتظار وقوع رفتارهای تناوبی به ازای مقادیر پریلود 0.5 و 0.55 و شبه تناوبی به ازای مقادیر پریلود 0.6 و 0.62 می‌رود.

دیاگرام دوشاخگی در شکل‌های (۴-۴۰-۶ الف، ب) تغییرات کیفی که در رفتار سیستم با تغییر مقدار پارامتر آن، پریلود، در محدوده $0.4 \leq \delta \leq 0.622$ صورت می‌گیرد، نشان می‌دهد. دیاگرام دوشاخگی محلی در شکل‌های (۴۱-۶ الف، ب) تغییرات را در محدوده $0.54 \leq \delta \leq 0.622$ نشان داده است. مشاهده می‌شود برای مقادیر پریلود کوچکتر از $0.56 = \delta$ سیستم رفتار تناوبی از خود نشان می‌دهد. شکل‌های (۴۲-۶ الف، ب) نگاشت پوانکاره به ازای مقادیر پریلود 0.5 و 0.55 ، وقوع چنین رفتاری را با حضور یک نقطه تنها تایید می‌کند. با افزایش مقدار پریلود و قرارگیری آن در محدوده $0.54 \leq \delta \leq 0.622$ سیستم رفتار شبه تناوبی از خود نشان می‌دهد. نگاشت پوانکاره به ازای مقادیر پریلود 0.6 و 0.62 نشان داده شده در شکل‌های (۴۲-۶ ج، د) وقوع چنین رفتاری با تشکیل یک منحنی

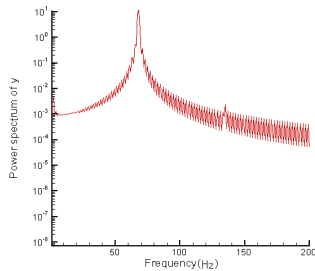
بسته تایید می‌کند. با افزایش مجدد مقدار پریلود از $\delta = 0/622$ برخورد بین محور و یاتاقان صورت می‌گیرد. لذا می‌توان در این مورد با قراردادن پارامتر سیستم در مقدار مناسب آن از وقوع رفتارهای نامناسب جلوگیری نمود.



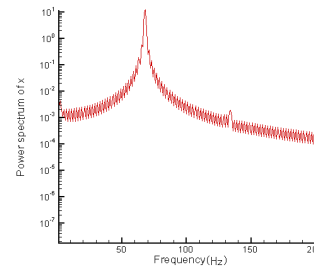
(ب) - ۱-۳۹-۶



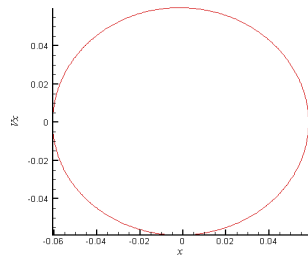
(الف) - ۱-۳۹-۶



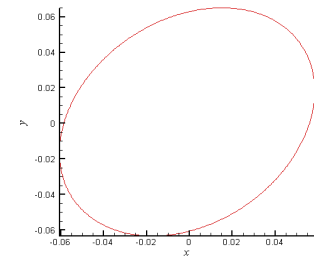
(د) - ۱-۳۹-۶



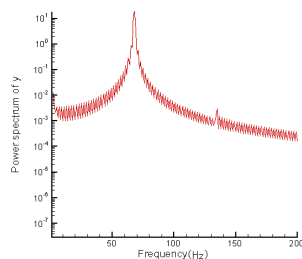
(ج) - ۱-۳۹-۶



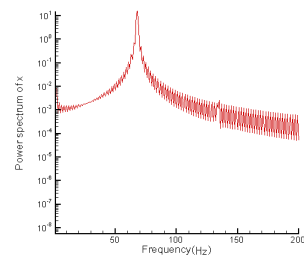
(ب) - ۲-۱۲۳-۴



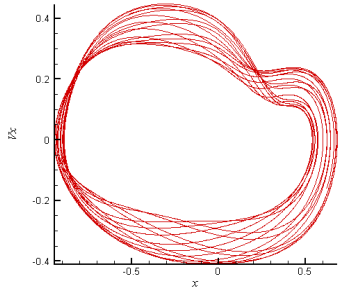
(الف) - ۲-۱۲۳-۴



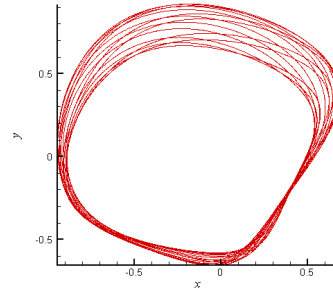
(د) - ۲-۳۹-۶



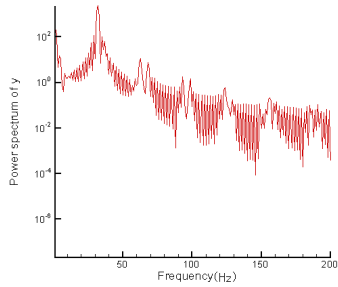
(ج) - ۲-۳۹-۶



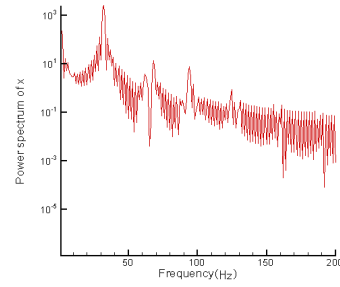
(ب) -۳-۳۹-۶



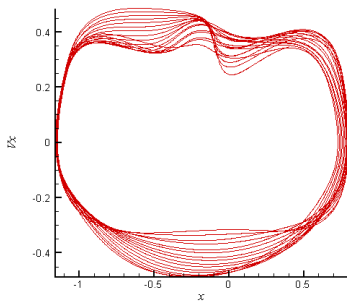
(الف) -۳-۳۹-۶



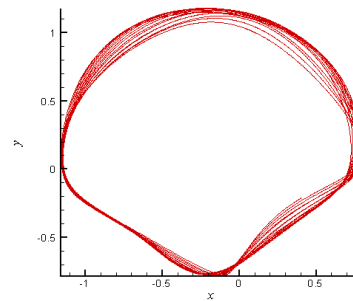
(د) -۳-۳۹-۶



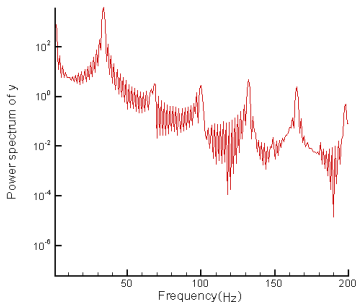
(ج) -۳-۳۹-۶



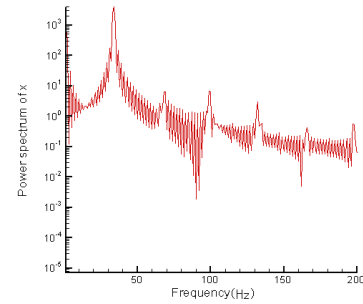
(ب) -۴-۳۹-۶



(الف) -۴-۳۹-۶

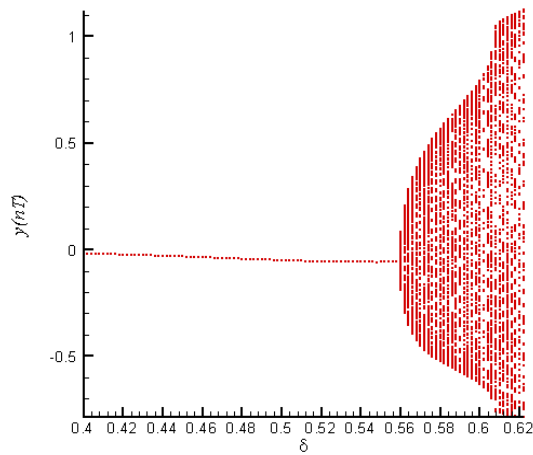


(د) -۴-۳۹-۶

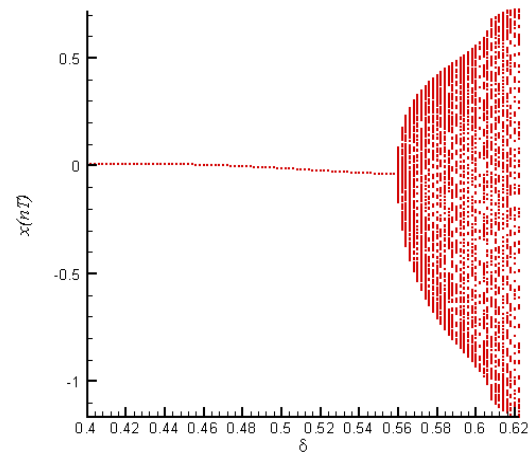


(ج) -۴-۳۹-۶

شکل (۳۹-۶): مدار دینامیکی مرکز محور (الف)، فضای حالت مرکز محور (ب) و طیف توانی آن در راستاهای افقی (ج) و عمودی (د) به ازای $\delta = 0.5$ (۱-۳۹-۶)، $\delta = 0.55$ (۲-۳۹-۶)، $\delta = 0.6$ (۳-۳۹-۶) و $\delta = 0.62$ (۴-۳۹-۶) برای یاتاقان چهار-لب تحت شرایط $\lambda = 1/5, \bar{\rho} = 0.001 mm$



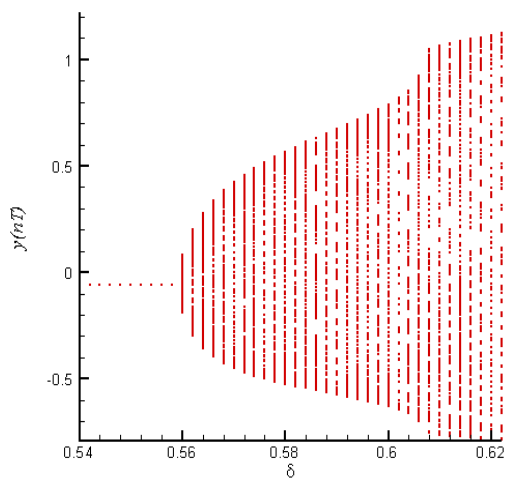
(ب)



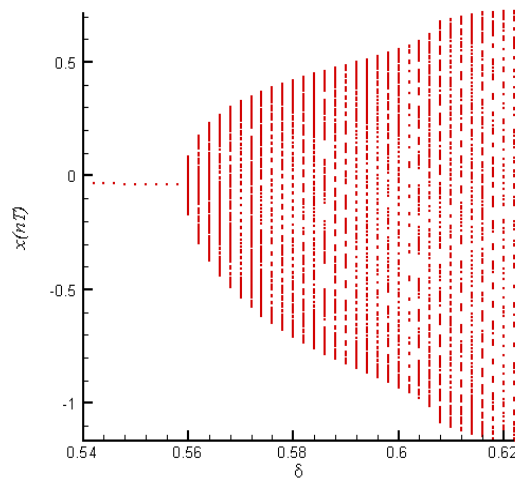
(الف)

شکل (۶-۴۰): دیاگرام دوشاخگی در راستاهای افقی (الف) و عمودی (ب) برای یاتاقان چهار-لب تحت شرایط

$$\lambda = 1/\delta, \bar{\rho} = 0.01 \text{ mm}$$



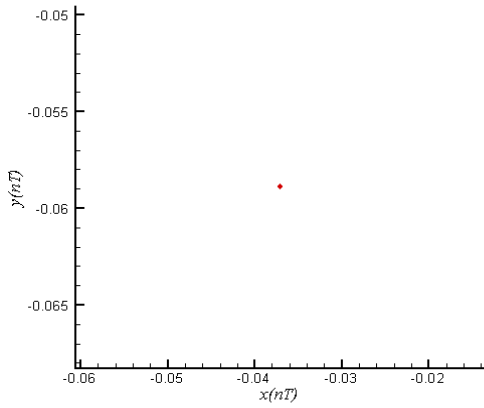
(ب)



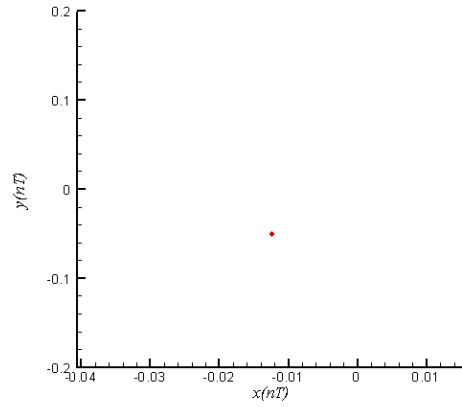
(الف)

شکل (۶-۴۱): دیاگرام دوشاخگی محلی ($0.54 \leq \delta \leq 0.62$) در راستاهای افقی (الف) و عمودی (ب) برای یاتاقان چهار-لب تحت شرایط

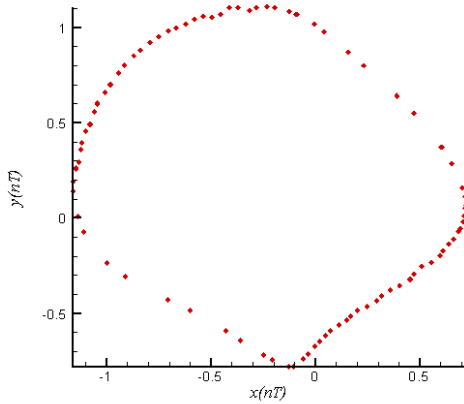
$$\lambda = 1/\delta, \bar{\rho} = 0.01 \text{ mm}$$



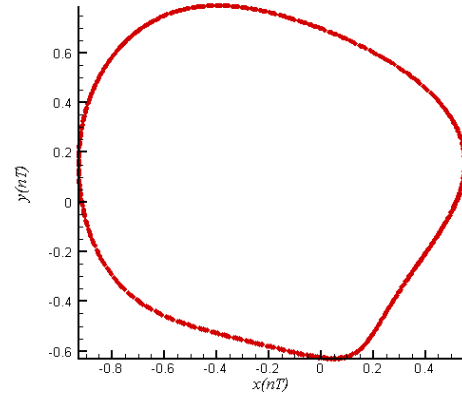
(ب)



(الف)



(د)



(ج)

شکل (۶-۴۲): نگاشت پوانکاره مرکز محور به ازای $\delta = 0/5$ (الف)، $0/55$ (ب)، $0/6$ (ج) و $0/62$ (د) برای یاتاقان چهار-لب تحت شرایط $\lambda = 1/5, \bar{\rho} = 0/001 mm$

فصل هفتم

نتیجه‌گیری و پیشنهادات

در رساله حاضر، رفتار دینامیکی سیستم یاتاقان‌های گازی غیرمدور دو-لب، سه-لب و چهار-لب مورد بررسی قرار گرفته است. روش عددی اجزاء محدود به منظور حل معادله رینولدز در حالت‌های استاتیکی و دینامیکی بکار گرفته شده تا بتوان متغیر فشار را در این دو حالت تعیین نمود. با انتگرال‌گیری از مولفه‌های فشار بدست آمده بر روی سطح محور، مقادیر نیروی اعمالی از طرف فیلم سیال روی محور تعیین می‌شود. از آنجا که مقادیر نیرو به موقعیت مرکز محور در حالت دینامیکی وابسته است، لذا روش رانگ-کاتا به منظور حل همزمان معادلات حرکت مرکز محور با معادله رینولدز در این حالت انجام شده است.

جهت بررسی نتایج تعداد ۶۰۰۰۰۰ مرحله زمانی از داده‌های بدست آمده در سری زمانی صرفنظر شده تا نتایج در حالت پایدار دینامیکی مورد تجزیه و تحلیل قرار گیرد.

از ابزارهایی نظیر مدار دینامیکی، فضای حالت، طیف توانی، نگاشت پوانکاره و دیاگرام دوشاخگی جهت شناسایی رفتار سیستم با تغییر پارامترهای آن استفاده شده است. عدد یاتاقان، جرم محور و پریلود، پارامترهای بکار گرفته شده در این رساله می‌باشند و اثر ابعاد را با در نظر گرفتن پارامترهای مذکور در دو نسبت طول به قطر ۱ و ۱/۵ در نظر گرفته شده است.

از این جهت که سیستم می‌تواند رفتارهای کاملاً متفاوت برای حالتی که محور به طور کامل بالانس باشد با حالتی که محور تحت نابالانسی جرمی قرار گرفته، داشته باشد، لذا بررسی رفتار دینامیکی با در نظر گرفتن پارامترهای مذکور در هر دو حالت انجام شده است.

هدف اصلی از بررسی رفتار سیستم در رساله حاضر، شناسایی نواحی مختلف با تغییر پارامترهای آن می‌باشد تا بتوان با در نظر گرفتن شرایط کاری سیستم، کنترلی بر روی رفتار آن در حالت دینامیکی داشت و از وقوع رفتارهای نامناسب که در برخی از موارد کنترل آن نیز سخت است، جلوگیری بعمل آورد. شناسایی نواحی که در آن سیستم رفتارهای مختلف از خود نشان می‌دهد در فصل‌های چهارم، پنجم و

ششم به ترتیب برای یاتاقان‌های دو-لب، سه-لب و چهار-لب صورت‌گرفته است. در این فصل با توجه به نتایج ارائه شده در فصل‌های مذکور، نتیجه‌گیری و جمع‌بندی نتایج در بخش (۲-۷) آورده شده است. در پایان این فصل، بخش (۳-۷)، موضوعاتی که در ادامه تحقیقات انجام شده می‌توان به آن اشاره نمود، پیشنهاد شده است.

۲-۷ نتیجه‌گیری و جمع‌بندی نتایج

۱- در سیستم یاتاقان‌های گازی غیرمدور دو-لب، سه-لب و چهار-لب، عدد یاتاقان یا عدد تراکم‌پذیری که پارامتری است بدون بعد، می‌تواند نقش موثری بر روی رفتار سیستم در حالت دینامیکی داشته باشد. در حالتی که سیستم به طور کامل بالانس باشد، تغییر در مقدار این پارامتر باعث وقوع رفتارهایی نظیر: بازگشت به موقعیت تعادل استاتیکی، تناوبی و برخورد بین محور و یاتاقان می‌شود. همچنین وجود نابالانسی جرمی در سیستم، وقوع رفتار شبه تناوبی را نیز به رفتارهای مذکور می‌افزاید.

بررسی‌های صورت‌گرفته در اشاره به این نوع پارامتر سیستم حاکی از آن است که:

- در هر سه نوع یاتاقان مورد بررسی، بهترین ناحیه از جهت پایداری به ازای مقادیر پایین عدد یاتاقان می‌باشد و با افزایش مقدار آن از شدت پایداری در رفتار سیستم کاسته می‌شود.
- با مقایسه بین سه نوع یاتاقان در نظر گرفته شده، مشاهده می‌شود، عدد یاتاقانی که به ازای آن تغییر وضعیت رفتار سیستم از حالت بازگشت به نقطه تعادل استاتیکی به تناوبی یعنی کاهش پایداری سیستم، صورت می‌گیرد در یاتاقان چهار-لب بیشتر از یاتاقان سه-لب و یاتاقان سه-لب بیشتر از یاتاقان دو-لب است.

- همچنین، با مقایسه بین سه نوع یاتاقان در نظر گرفته شده، مشاهده می‌شود، عدد یاتاقانی که به ازای آن برخورد بین محور و یاتاقان یعنی کاهش پایداری سیستم، صورت می‌گیرد در یاتاقان چهار-لب بیشتر از یاتاقان سه-لب و یاتاقان سه-لب بیشتر از یاتاقان دو-لب است.
 - با در نظر گرفتن اثر ابعاد یاتاقان یعنی نسبت طول به قطر برای هر سه نوع یاتاقان مشاهده می‌شود با افزایش چنین نسبتی، سیستم می‌تواند نواحی پایدارتری را در اعداد یاتاقان بالا داشته باشد.
- ۲- در سیستم یاتاقان‌های گازی غیرمدور دو-لب، سه-لب و چهار-لب، جرم محور می‌تواند نقش موثری بر روی رفتار سیستم داشته باشد. در حالتی که سیستم به طور کامل بالانس باشد، تغییر در مقدار این پارامتر باعث وقوع رفتارهایی نظیر: بازگشت به موقعیت تعادل استاتیکی، تناوبی و برخورد بین محور و یاتاقان می‌شود. همچنین وجود نابالانسی در سیستم، وقوع رفتار شبه تناوبی را نیز به رفتارهای مذکور می‌افزاید.
- بررسی‌های صورت گرفته شده در اشاره به این نوع پارامتر سیستم حاکی از آن است که:
- در هر سه نوع یاتاقان مورد بررسی، بهترین ناحیه از جهت پایداری به ازای مقادیر پایین جرم محور می‌باشد و با افزایش مقدار آن از شدت پایداری رفتار سیستم کاسته می‌شود.
 - با مقایسه بین سه نوع یاتاقان در نظر گرفته شده، مشاهده می‌شود، مقدار جرم محوری که به ازای آن تغییر وضعیت رفتار سیستم از حالت بازگشت به نقطه تعادل استاتیکی به تناوبی یعنی کاهش پایداری سیستم، صورت می‌گیرد در یاتاقان چهار-لب بیشتر از یاتاقان سه-لب و یاتاقان سه-لب بیشتر از یاتاقان دو-لب است.
 - همچنین، با مقایسه بین سه نوع یاتاقان در نظر گرفته شده، مشاهده می‌شود، مقدار جرم محوری که به ازای آن برخورد بین محور و یاتاقان یعنی کاهش پایداری سیستم، صورت می‌گیرد در یاتاقان چهار-لب بیشتر از یاتاقان سه-لب و یاتاقان سه-لب بیشتر از یاتاقان دو-لب است.

- با در نظر گرفتن اثر ابعاد یاتاقان یعنی نسبت طول به قطر برای هر سه نوع یاتاقان مشاهده می شود با افزایش چنین نسبتی، سیستم می تواند نواحی پایدارتری را به ازای مقادیر بالای جرم محور داشته باشد.

۳- در سیستم یاتاقان های گازی غیرمدور دو-لب، سه-لب و چهار-لب، پریلود می تواند نقش موثری بر روی رفتار سیستم داشته باشد. این پارامتر می تواند همچنین اثر غیرمدور بودن یاتاقان را نسبت به یاتاقان مدور روی رفتار دینامیکی سیستم نشان دهد. در حالتی که سیستم به طور کامل بالانس باشد، تغییر در مقدار این پارامتر باعث وقوع رفتارهایی نظیر: بازگشت به موقعیت تعادل استاتیکی، تناوبی و برخورد بین محور و یاتاقان می شود. همچنین وجود نابالانسی در سیستم، وقوع رفتار شبه تناوبی را نیز به رفتارهای مذکور می افزاید.

بررسی های صورت گرفته شده در اشاره به این نوع پارامتر سیستم حاکی از آن است که:

- در هر سه نوع یاتاقان مورد بررسی، بهترین ناحیه از جهت پایداری به ازای مقادیر پایین پریلود می باشد و با افزایش مقدار آن از شدت پایداری رفتار سیستم کاسته می شود. به عبارتی هرچه شکل هندسی یاتاقان به یاتاقان مدور (افزایش در مقدار پریلود) نزدیکتر شود سیستم ناپایدارتر می شود.

- با مقایسه بین سه نوع یاتاقان در نظر گرفته شده، مشاهده می شود، مقدار پریلودی که به ازای آن تغییر وضعیت رفتار سیستم از حالت بازگشت به نقطه تعادل استاتیکی به تناوبی یعنی کاهش پایداری سیستم، صورت می گیرد در یاتاقان چهار-لب بیشتر از یاتاقان سه-لب و یاتاقان سه-لب بیشتر از یاتاقان دو-لب است.

- همچنین، با مقایسه بین سه نوع یاتاقان در نظر گرفته شده، مشاهده می‌شود، مقدار پریلودی که به ازای آن برخورد بین محور و یاتاقان یعنی کاهش پایداری سیستم، صورت می‌گیرد در یاتاقان چهار-لب بیشتر از یاتاقان سه-لب و یاتاقان سه-لب بیشتر از یاتاقان دو-لب است.
- با در نظر گرفتن اثر ابعاد یاتاقان یعنی نسبت طول به قطر برای هر سه نوع یاتاقان مشاهده می‌شود با افزایش چنین نسبتی، یاتاقان‌های غیرمدور دو-لب و سه-لب می‌تواند نواحی پایداری را در اعداد پریلود بالا داشته باشند ولی در مورد با یاتاقان غیرمدور چهار-لب تاثیر قابل ملاحظه‌ای صورت نمی‌گیرد.

۴- سیستم یاتاقان‌های گازی غیرمدور می‌توانند رفتار پایداری به ازای مقادیر پایین هر یک از پارامترهای مذکور داشته باشند. بنابراین، با ترکیب این نتایج می‌توان به رفتار پایداری با در نظر گرفتن هر سه پارامتر مذکور در مقادیر پایین دست‌یافت.

۲-۷ پیشنهادات

- ۱- در رساله حاضر، یکی از فرضیات مهم جهت تحلیل سیستم، صلب در نظر گرفتن محور است. حال پیشنهاد می‌شود که با در نظر گرفتن روتور بر روی محور انعطاف‌پذیر تحلیل رفتار دینامیکی سیستم با اعمال یاتاقان‌های گازی غیرمدور صورت گیرد.
- ۲- تحقیقات در حالت خطی نشان داده که زوایای نصب و انحراف در سیستم یاتاقان‌های گازی غیرمدور می‌تواند نقش بسزایی بر روی مشخصه‌های استاتیکی و دینامیکی داشته باشند. لذا پیشنهاد می‌شود اثرات چنین زوایایی در بررسی تاثیر پارامترهای مورد استفاده در رساله حاضر بر روی رفتار دینامیکی نیز صورت گیرد.

۳- در رساله حاضر از روانکار تراکم‌پذیر استفاده شده است. از آنجا که در بسیاری از موارد از روانکارهای تراکم‌ناپذیر نیوتنی و غیر نیوتنی نظیر میکروپلار بدلیل داشتن خواص ویژه‌ای که دارند، استفاده می‌شود؛ لذا بررسی رفتار دینامیکی در سیستم یاتاقان‌های غیرمدور با بکارگیری چنین روانکارهایی پیشنهاد می‌شود.

۴- بررسی رفتار دینامیکی در سیستم یاتاقان‌های مدور و متخلخل صورت‌گرفته است. لذا پیشنهاد می‌شود با متخلخل در نظر گرفتن یاتاقان‌های غیرمدور، چنین بررسی بر روی این دسته از یاتاقان‌ها نیز صورت گیرد.

۵- بررسی رفتار دینامیکی در سیستم یاتاقان‌های غیرمدور با در نظر گرفتن اثر زوایایی که در گوشه‌های یاتاقان (ابتدا و انتهای هر لب) ایجاد می‌شود از موضوعاتی است که می‌توان در ادامه کار انجام‌شده پیشنهاد داد. در این مورد می‌توان روانکارهای نیوتنی و غیرنیوتنی نیز بکار گرفت.

۶- در رساله حاضر، جریان سیال آرام در نظر گرفته شده است. لذا با فرض آشفته در نظر گرفتن جریان سیال، می‌توان رفتار سیستم را مورد بررسی قرارداد.

۷- مواردی که در بالا اشاره شد را می‌توان با همدیگر ترکیب کرد و اثر ترکیب حالت‌های مختلف را روی چگونگی رفتار سیستم در حالت دینامیکی نشان داد.

ضمیمه الف
بدون بعد کردن معادله رینولدز

معادله رینولدز برای سیستم یاتاقان‌های گازی را می‌توان با در نظر داشتن فرضیات:

- ۱- از نیروهای حجمی^۱ در مقابل نیروهای لزجت و فشار صرف نظر می‌شود.
- ۲- مقدار فشار در جهت ضخامت ثابت است.
- ۳- لایه روانکار در مقایسه با انحنای سطوح یاتاقان آنقدر نازک است که می‌توان از انحنای آن چشم-پوشی کرد.
- ۴- فرض عدم لغزش بین روانکار و سطوح مرزی وجود دارد.
- ۵- روانکار سیال نیوتنی است.
- ۶- جریان آرام و یکنواخت می‌باشد.
- ۷- نیروهای اینرسی روانکار ناچیز است.
- ۸- لزجت روانکار در سرتاسر فیلم سیال ثابت است.

به صورت

$$\frac{\partial}{\partial \theta} \left\{ \bar{h}^3 \bar{P}^* \frac{\partial \bar{P}^*}{\partial \theta} \right\} + \frac{\partial}{\partial \xi} \left\{ \bar{h}^3 \bar{P}^* \frac{\partial \bar{P}^*}{\partial \xi} \right\} = 6\bar{\mu} \left[\bar{U} \frac{\partial}{\partial \theta} + 2 \frac{\partial}{\partial t} \right] (\bar{P}^* \bar{h}) \quad (\text{الف-۱})$$

به دست آورد [۱۱۳]. متغیرهای به کار گرفته شده در فهرست اسامی تعریف شده است.

معادله (الف-۱) تحت شرط مرزی

$$\bar{P}^* = \bar{P}_a \quad (\text{الف-۲})$$

بر روی همه لبه‌های آزاد یاتاقان در نظر گرفته می‌شود. در این رابطه \bar{P}_a فشار محیط می‌باشد. با اعمال

فشار نسبی \bar{P} به صورت

$$\bar{P}^* = \bar{P}_a + \bar{P} \quad (\text{الف-۳})$$

در رابطه (الف-۱)، معادله رینولدز به صورت زیر نوشته می‌شود:

^۱. Body force

$$\frac{\partial}{\partial \bar{\theta}} \left\{ \bar{h}^3 (\bar{P}_a + \bar{P}) \frac{\partial \bar{P}}{\partial \bar{\theta}} \right\} + \frac{\partial}{\partial \bar{\xi}} \left\{ \bar{h}^3 (\bar{P}_a + \bar{P}) \frac{\partial \bar{P}}{\partial \bar{\xi}} \right\} = 6\bar{\mu} \left[\bar{U} \frac{\partial}{\partial \bar{\theta}} + 2 \frac{\partial}{\partial \bar{t}} \right] \{ (\bar{P}_a + \bar{P}) \bar{h} \} \quad (\text{الف-۴})$$

در این صورت شرط مرزی همگن زیر بر روی همه لبه‌های آزاد یاتاقان نوشته می‌شود.

$$\bar{P} = 0 \quad (\text{الف-۵})$$

روابط زیر به منظور بی‌بعدسازی رابطه (الف-۴) تعریف می‌شود.

$$\begin{aligned} \bar{\theta} &= \bar{R} \theta \\ \bar{\xi} &= \bar{R} \xi \\ \bar{h} &= \bar{C}_m h \\ \bar{P} &= \bar{P}_a P \\ \bar{U} &= \bar{U}_0 U = \bar{R} \bar{\omega}_0 U \\ \bar{t} &= \frac{t}{\bar{\omega}_0} \end{aligned} \quad (\text{الف-۶})$$

با جایگذاری متغیرهای (الف-۶) در معادله (الف-۴) و ساده‌سازی آن، معادله رینولدز در حالت بدون

بعد به صورت

$$\frac{\partial}{\partial \theta} \left\{ h^3 (P+1) \frac{\partial P}{\partial \theta} \right\} + \frac{\partial}{\partial \xi} \left\{ h^3 (P+1) \frac{\partial P}{\partial \xi} \right\} = A \left[U \frac{\partial}{\partial \theta} + 2 \frac{\partial}{\partial t} \right] \{ (P+1) h \} \quad (\text{الف-۷})$$

بدست می‌آید. در این رابطه

$$A = \frac{6\bar{\mu}\bar{\omega}_0\bar{R}^2}{\bar{P}_a\bar{C}_m^2} \quad (\text{الف-۸})$$

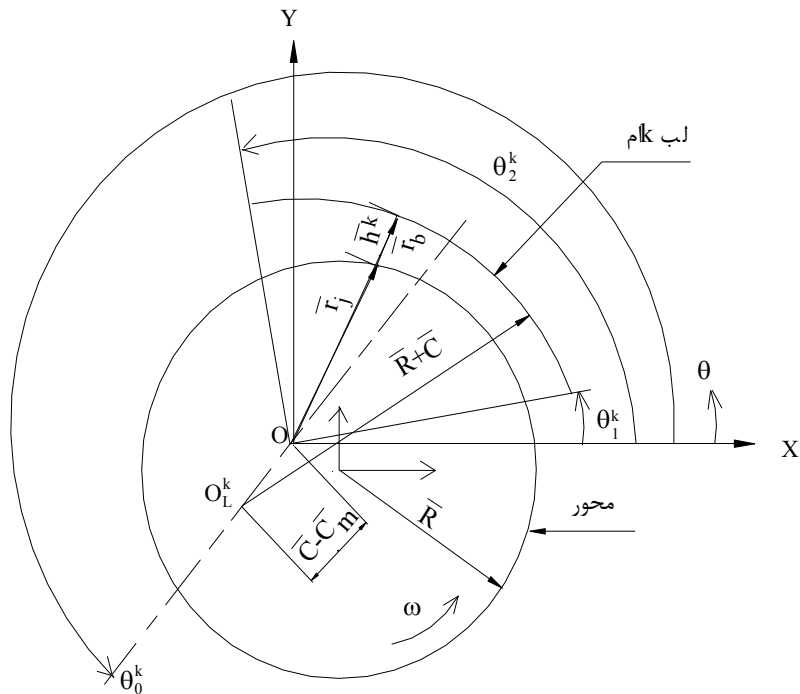
متغیر بدون بعد می‌باشد و آنرا عدد تراکم‌پذیری یا عدد یاتاقان می‌خوانند.

ضمیمهٔ ب

بدست آوردن رابطه ضخامت فیلم سیال در حالت های استاتیکی و دینامیکی

هندسه فضای لقی بین لب k ام یاتاقان و محور در شکل (ب-۱) نشان داده شده است. O_L^k مرکز کمان لب k ام می‌باشد و مختصات آن به صورت زیر بیان می‌شود.

$$\begin{aligned} \bar{X}_L^k &= (\bar{C} - \bar{C}_m) \cos \theta_0^k \\ \bar{Y}_L^k &= (\bar{C} - \bar{C}_m) \sin \theta_0^k \end{aligned} \quad (ب-۱)$$



شکل (ب-۱): هندسه فضای لقی لب k ام با محور

که θ_0^k موقعیت خط OO_L^k را نشان می‌دهد. O مرکز هندسی یاتاقان می‌باشد.

مطابق با شکل (ب-۱)، \bar{r}_j, \bar{r}_b به ترتیب بردارهای شعاعی روی کمان لب و دایره محور تعریف می‌شوند. در این صورت ضخامت فیلم فضای لقی عبارت است از:

$$\bar{h}^k = \bar{r}_b - \bar{r}_j \quad (ب-۲)$$

از طرفی معادله کمان لب k ام را می‌توان به صورت

$$(\bar{X} - \bar{X}_L^k)^2 + (\bar{Y} - \bar{Y}_L^k)^2 = (\bar{R} + \bar{C})^2 \quad (\text{ب-۳})$$

نوشت که $(\bar{R} + \bar{C})$ شعاع کمان لب و

$$\begin{aligned} \bar{X} &= \bar{r}_b \cos \theta \\ \bar{Y} &= \bar{r}_b \sin \theta \end{aligned} \quad (\text{ب-۴})$$

می‌باشد. با جایگذاری رابطه (ب-۴) در رابطه (ب-۳)، رابطه

$$\bar{r}_b^2 - 2(\bar{X}_L^k \cos \theta + \bar{Y}_L^k \sin \theta)\bar{r}_b - (\bar{R} + \bar{C})^2 + (\bar{X}_L^k)^2 + (\bar{Y}_L^k)^2 = 0 \quad (\text{ب-۵})$$

بدست می‌آید. از آنجا که $X_L^k, Y_L^k \ll \bar{R} + \bar{C}$ ، معادله (ب-۵) ساده می‌شود و

$$\bar{r}_b = \bar{R} + \bar{C} + \bar{X}_L^k \cos \theta + \bar{Y}_L^k \sin \theta \quad (\text{ب-۶})$$

بدست می‌آید. به طور مشابه؛

$$\bar{r}_j = \bar{R} + (\bar{X}_j) \cos \theta + (\bar{Y}_j) \sin \theta \quad (\text{ب-۷})$$

با جایگذاری روابط (ب-۶) و (ب-۷) در معادله (ب-۲) و سپس استفاده از رابطه (ب-۱)

$$\bar{h}^k = \bar{C} - (\bar{X}_j) \cos \theta - (\bar{Y}_j) \sin \theta + (\bar{C} - \bar{C}_m) \cos(\theta - \theta_0^k) \quad (\text{ب-۸})$$

معادله ضخامت فیلم سیال بدست می‌آید.

با در نظر گرفتن روابط

$$\begin{aligned} \bar{h} &= \bar{C}_m h \\ \bar{C}_m &= \bar{C} \delta \\ (\bar{X}_j, \bar{Y}_j) &= \bar{C}_m (X_j, Y_j) \end{aligned} \quad (\text{ب-۹})$$

و جایگذاری آن در رابطه (ب-۸) معادله ضخامت فیلم سیال در حالت بدون بعد بدست می‌آید.

$$h^k = \frac{1}{\delta} - (X_j) \cos \theta - (Y_j) \sin \theta + \left(\frac{1}{\delta} - 1\right) \cos(\theta - \theta_0^k) \quad (\text{ب-۱۰})$$

در حالت استاتیکی ضخامت فیلم سیال به صورت

$$h_0^k = \frac{1}{\delta} - (X_{j_0}) \cos \theta - (Y_{j_0}) \sin \theta + \left(\frac{1}{\delta} - 1\right) \cos(\theta - \theta_0^k) \quad (\text{ب-۱۱})$$

می باشد.

با در نظر گرفتن مختصات اغتشاشی

$$\begin{aligned} X_j &= X_{j_0} + x \\ Y_j &= Y_{j_0} + y \end{aligned} \quad (\text{ب-۱۲})$$

و اعمال آن در رابطه (ب-۱۰) معادله ضخامت فیلم سیال به صورت

$$h^k = \frac{l}{\delta} - (X_{j_0} + x) \cos \theta - (Y_{j_0} + y) \sin \theta + \left(\frac{l}{\delta} - l \right) \cos(\theta - \theta_0^k) \quad (\text{ب-۱۳})$$

یا به عبارتی

$$h^k = h_0^k - x \cos \theta - y \sin \theta \quad (\text{ب-۱۴})$$

نوشته می شود.

ضمیمه ج

معرفی المان خطی مستطیلی و محاسبه نیروهای فیلم سیال روی محور

توابع شکل برای المان‌های مستطیلی، خطی و ایزوپارامتریک بر حسب مختصات محلی (η, ζ) شکل (ج-۱) به صورت

$$N_i(\eta, \zeta) = \frac{1}{4}(1 + \zeta\zeta_i)(1 + \eta\eta_i) \quad (\text{ج-۱})$$

می باشد [۱۲۶].

مشتقات کلی توابع شکل مورد نیاز در اجزاء محدود را از مشتقات محلی با بکارگیری ماتریس انتقال به

صورت

$$\begin{Bmatrix} \frac{\partial N_i}{\partial \theta} \\ \frac{\partial N_i}{\partial \xi} \end{Bmatrix}_e = [j]_e^{-1} \begin{Bmatrix} \frac{\partial N_i}{\partial \zeta} \\ \frac{\partial N_i}{\partial \eta} \end{Bmatrix}_e \quad (\text{ج-۲})$$

که

$$[j]_e = \begin{bmatrix} \frac{\partial \theta}{\partial \zeta} & \frac{\partial \xi}{\partial \zeta} \\ \frac{\partial \theta}{\partial \eta} & \frac{\partial \xi}{\partial \eta} \end{bmatrix}_e \quad (\text{ج-۳})$$

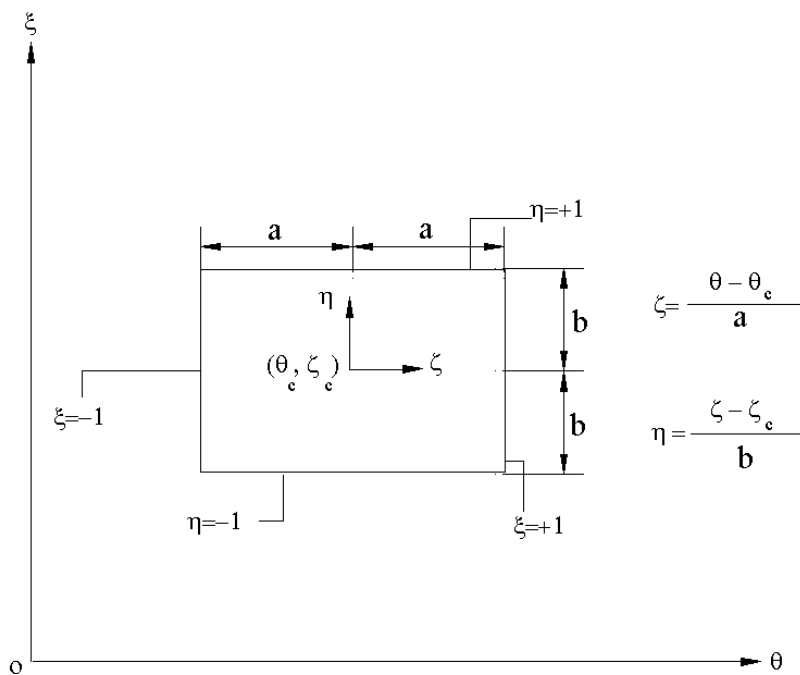
می باشد، محاسبه می شوند. مساحت المان را نیز می توان با رابطه

$$dA_e = (d\theta d\xi)_e = \det[j]_e d\eta d\zeta \quad (\text{ج-۴})$$

بیان کرد. با ترکیب روابط (ج-۱)، (ج-۲) و (ج-۳) می توان روابط را به صورت زیر بدست آورد.

$$\begin{aligned} \frac{\partial N_i}{\partial \theta} &= \frac{1}{a} \frac{\partial N_i}{\partial \zeta} \\ \frac{\partial N_i}{\partial \xi} &= \frac{1}{b} \frac{\partial N_i}{\partial \eta} \\ dA_e &= abd\eta d\zeta \end{aligned} \quad (\text{ج-۵})$$

در این روابط a, b نصف اندازه‌های المان در جهت محورهای ζ, η مطابق با شکل (ج-۱) می باشند.



شکل (ج- ۱): مختصات طبیعی (η, ζ) المان مستطیلی

نیروهای فیلم سیال روی محور

عکس‌العملهای نیروهای فیلم سیال روی محور در جهات X, Y برای یک المان از ناحیه مش‌بندی شده را با انتگرال‌گیری از مولفه‌های فشار روی آن بدین صورت بدست می‌آید.

$$F_X^e = - \int_{-1}^{+1} \int_{-1}^{+1} P^e \cos \theta |j| d\eta d\zeta \quad (\text{ج- ۶})$$

$$F_Y^e = - \int_{-1}^{+1} \int_{-1}^{+1} P^e \sin \theta |j| d\eta d\zeta$$

با در نظر گرفتن تمام المان‌ها، عکس‌العملهای نیروهای فیلم سیال روی محور در جهات X, Y به صورت

$$F_X = - \sum_{e=1}^{e_f} \int_{-1}^{+1} \int_{-1}^{+1} P^e \cos \theta |j| d\eta d\zeta \quad (\text{ج- ۷})$$

$$F_Y = - \sum_{e=1}^{e_f} \int_{-1}^{+1} \int_{-1}^{+1} P^e \sin \theta |j| d\eta d\zeta$$

بیان می‌شود.

- [1] Kingsbury A. (1897) "Experiments with an air lubricated journal" **J. Am. Soc., Nav. Eng., 9**, pp 267.
- [2] Harrison W. J. (1913) "The hydrodynamical theory of lubrication with special reference to air as a lubricant" **Trans. Cambridge Philos. Soc., 22**, pp 39.
- [3] Katto Y. and Soda N. (1952) "Theory of lubrication by compressible fluid with special reference to air bearings" **Proc. Second Jap. Congress App. Mech.**, pp 267.
- [4] Ausman J. S. (1957) "The fluid dynamic theory of gas-lubricated bearings" **Trans. ASME, 79, 6**, pp 1218.
- [5] Ausman J. S. (1957) "Finite gas-lubricated journal bearings", Proc. of the conference on lub. and wear, Inst. Mech. Eng., pp 39, London, England.
- [6] Ausman J. S. (1961) "An improved analytical solution for self-acting gas-lubricated journal bearings of finite length", **Trans. ASME, J. Basic Eng., 83**, pp 188.
- [7] Elrod H. G. and Burgdorfer A. (1959) "Refinements of the theory of the infinitely long self-acting gas-lubricated journal bearing", Proc. of the first international symposium on gas-lubricated bearings, Washington, pp 93, Washington, USA.
- [8] Raimondi A. A. (1961) "A numerical solution for the gas lubricated full journal bearing of finite length", **Trans. ASLE, 4**, pp 131.
- [9] Sternlicht B. (1961) "Gas-lubricated cylindrical journal bearings of the finite length", **Trans. ASLE, J. App. Mech., 83**, pp 535.
- [10] Reddi M. M. (1969) "Finite-element solution of the incompressible lubrication problem", **Trans. ASLE, J. Lub. Tech., 91**, pp 524.
- [11] Reddi M. M. and Chu T. Y. (1970) "Finite-element solution of the steady-state compressible lubrication problem", **Trans. ASLE, J. Lub. Tech., 92**, pp 495.
- [12] Wada S., Hayaski H. and Migita M. (1971) "Application of finite element

method to hydrodynamic lubrication problems (part I, Infinite-width bearings)", **Bulletin of JSME**, **14**, **77**, pp **1222**.

- [13] Wada S., Hayashi H. and Migita M. (1971) "Application of finite element method to hydrodynamic lubrication problems (part II, finite-length bearings)", **Bulletin of JSME**, **14**, **77**, pp **1234**.
- [14] Booker J. F. and Huebner K. H. (1972) "Application of finite element methods to lubrication: an engineering approach", **Trans. ASME, J. Lub. Tech.**, **94**, **4**, pp **313**.
- [15] Allaire P. E., Nicholas J. C., and Gunter E. J. (1977) "System of finite elements for finite bearings", **Trans. ASME, J. Lub. Tech.**, **99**, **2**, pp **187**.
- [16] Malik M., Sinhasan R. and Chandra M. (1982) "Finite element analysis of porous thrust slider", **Wear**, **76**, pp **1**.
- [17] Rohde S. M. and Oh K. P. (1975) "Higher order finite element methods for the solution of compressible porous bearing problem", **Int. J. Numer. Meth, Eng.**, **9**, pp **903**.
- [18] Oh K. P. and Rohde S. M. (1977) "Theoretical analysis of a compliant shell air bearing", **Trans. ASLE, J. Lub. Tech.**, **99**, **1**, pp **75**.
- [19] Wu E. R. (1979) "gas-lubricated porous bearings of finite length self-acting journal bearings", **Trans. ASME, J. Lub. Tech.**, **101**, pp **338**.
- [20] Majumdar B. C. (1972) "On the general solution of externally pressurized gas journal bearings", **Trans. ASME, J. Lub. Tech.**, **94**, **4**, pp **291**.
- [21] Rahmatabadi A. D. and Rashidi R. (2006) "Effect of geometric parameter on power loss of gas-lubricated noncircular journal bearings", The 14th Mech. Eng. conf., pp 139, Isfahan, Iran.
- [22] Rahmatabadi A. D. and Rashidi R. (2006) "Effect of mount angle on static and dynamic characteristics of gas-lubricated, noncircular journal bearings", **IJST**, **B3**, pp **27**.
- [23] Rahmatabadi A. D. and Rashidi R. (2007) "Investigation of preload effects on noncircular gas bearing systems performance", **JAST**, **4**, **1**, pp **33**.

[۲۴] رشیدی ر و دشتی ا، (۱۳۸۷) " بررسی اثرات پارامترهای طراحی بر عملکرد سیستم یاتاقانهای

- گازی غیرمدور"، **مجله علمی و پژوهشی دانشگاه امام حسین**، جلد ۴، شماره ۱، ص ۱.
- [۲۵] کرمی محمدی ا، دشتی رحمت‌آبادی ا، کرمی محمدی ا و رشیدی ر، (۱۳۸۷) "بررسی اثر زاویه انحراف بر عملکرد استاتیکی و دینامیکی سیستم یاتاقان گازی سه - لب"، شانزدهمین کنفرانس بین‌المللی مهندسی مکانیک ایران، ص ۱۰۸۵، کرمان، ایران.
- [۲۶] دشتی رحمت‌آبادی ا، کرمی محمدی ا و رشیدی ر، (۱۳۸۸) "بررسی اثر زاویه انحراف بر عملکرد سیستم یاتاقان‌های گازی دو-لب و چهار-لب به روش اجزاء محدود"، **مجله علمی و پژوهشی دانشگاه تربیت مدرس**، در دست چاپ.
- [27] Lund J. W. (1965) "Rotor bearing dynamic tech. part. III: design handbook for fluid film type bearings", **Tech. Report, AFAPL TR**, pp 65.
- [28] Smalley A. J. and Malanoski S. B. (1976) "the use of the computer in the design of rotor-bearing systems", Winter annual Meeting of ASME, pp 1, New york, USA.
- [29] Ruddy A. V. and Summers-Smith D. (1980) "An introduction to the influence of the bearings on the dynamics of rotating machinery", **Tribology Int.**, 13, 5, pp 199.
- [30] Newkirk B. L. and Taylor, H. D. (1925) "Shaft whirling due to oil action in journal bearings" **General Electric Review**, 28, pp 559.
- [31] Hagg A. C. (1946) "The influence of oil-film journal bearings on the stability of rotating machines", **Trans. ASME J. App. Mech.**, 68, pp 211.
- [32] Whitley S. and Betts C. (1959) "A study of gas-lubricated hydrodynamic full journal bearings", **Br. J. Appl. Phys.**, 10, pp 455.
- [33] Reynolds D. B. and Gross W. A. (1962) "Experimental investigation of whirl in self-acting air-lubricated journal bearings", **Trans. ASLE**, 5, 2, pp 392.
- [34] Whitely S., Bowhill A. J. and Mcewan P. (1962) "Half-speed whirl and load capacity of hydrodynamic gas journal bearings", **Proc. Lub. and Wear, Inst. Mech. Eng.**, 176, 22, pp 554.
- [35] Sternlicht B. and Winn L. W. (1963) "On the load capacity and stability of rotors in self-acting gas lubricated plain cylindrical journal bearings", **Trans. ASME, J. Basic Eng.**, 85, 3, pp 503.
- [36] Sternlicht B. and Winn L. W. (1964) "Geometric effects on the threshold of

- half-frequency whirl in self-acting, gas-lubricated journal bearings”. **Trans. ASME, J. Basic Eng.**, **86, 2**, pp 313.
- [37] Simmons J. E. L. (1979) “An experimental method for the determination of journal bearing stability parameters, part 2: experiment”, **J. Mech. Eng. Sci.**, **21, 3**, pp 187.
- [38] Dayton R. D. and Chasman M. R. (1972) “Experimental rotor unbalance response using hydrodynamic gas lubrication”, **Trans. ASME, J. Lub. Tech.**, **94**, pp 74.
- [39] Ausman J. S. (1963) “Linearized stability theory for translatory half-speed whirl of long self-acting gas-lubricated journal bearings”, **Trans. ASME. J. Basic Eng.**, **83**, pp 611.
- [40] Chen H. S. and Pan C. H. T. (1965) “Stability analysis of gas-lubricated, self-acting, plain, cylindrical, journal bearings of finite length, using galerkin’s method”, **Trans. ASME, J. Basic Eng.**, **87**, pp 185.
- [41] Lund J. W. (1976) “Linear transient response of a flexible rotor supported in gas-lubricated bearings”, **Trans. ASME, J. Lub. Tech**, **98**, pp 57.
- [42] Marsh H. and Simmons J. E. L. (1979) “An experimental method for the determination of journal bearing stability parameters, part 1: Theory”, **J. Mech. Eng. Sci.**, **21, 3**, pp 179.
- [43] Flack R. D. and Lanes R. F. (1980) “Effects of three lobe bearing geometries on rigid rotor stability”, **Trans. ASLE**, **23**, pp 431.
- [44] Garner D. R. Lee C. S. and Martin F. A. (1980) “Stability of profile bore bearings: influence of bearing type selection”, **Tribology Int.**, **13, 5**, pp 204.
- [45] Glienicke J. Han D. C. and Leonhard M. (1980) “Practical determination and use of bearing dynamic coefficient”, **Tribology Int.**, **13, 6**, pp 297.
- [46] Napel W. E. F and Bosma R. (1980) “Sinusoidal three-lobe bearings optimization and stability charts”, **Trans. J. Lub. Tech.**, **102**, pp 416.
- [47] Malik M. (1983) “The analysis of symmetric and tilted four-lobed journal bearing configurations”, **Trans. ASLE**, **26, 2**, pp 264.
- [48] Akkok M. and Ettles C. M (1983) “The onset of whirl instability in journal

- bearings of various bore shapes and groove sizes”, **Trans. ASME, J. Lub. Tech.**, **105, 3**, pp 342.
- [49] Brindley J. Elliott L. and Mckay J. T. (1985) “The effects of bearing geometry on rotor stability”, **Trans. ASLE**, **29**, pp 160.
- [50] Lin J. R and Hwang C. C. (1994) “Static and dynamic characteristic of long porous journal bearings: use of the Brinkman-extended Darcy model”, **J. Phys. D: Appl. Phys.**, **27, 3**, pp 634.
- [51] Kang K. Rhim Y. and Sung K. (1996) “A study of the oil-lubricated herringbone-grooved journal bearing. Part 1: Numerical analysis”, **J. Tribology**, **118, 4**, pp 906.
- [52] Rao T. V. V. L. Biswas S. Hirani H. and Athre K. (2001) “A methodology for dynamic coefficients and nonlinear response of multi-lobe journal bearings”, **Tribology Trans.**, **44, 1**, pp 111.
- [53] Saha N. and Majumdar B. C. (2004) “Steady-state and stability characteristics of hydrostatic two-layered porous oil journal bearing”, **Proc. Ins. Mech. Eng. Part J: J. Eng. Tribology**, **218, 2**, pp 99.
- [54] Lund J. W. (1968) “Calculation of stiffness and damping properties of gas bearings”, **Trans. ASME, J. Lub. Tech.**, **90**, pp 793.
- [55] Pinkus O. (1975) “Analysis of noncircular gas journal bearings”, **Trans. ASME, J. Lub. Tech.**, **97**, pp 616.
- [56] Chandra M., Malik M. and Sinhasan R. (1983) “Gas bearing, part I: Dynamic analysis and solution method”, **WEAR**, pp 255.
- [57] Chandra M., Malik M. and Sinhasan R. (1983) “On the dynamic behavior of two gas-lubricated two-lobe journal bearing configuration”, **Tribology Int.**, **16, 2**, pp 103.
- [58] Chandra M., Malik M. and Sinhasan R. (1983) “Comparative study of four gas-lubricated noncircular journal bearing configurations”, **Tribology Int.**, **16, 2**, pp 26.
- [59] Heller S., Shapiro W. and Decker O. (1971) “A porous hydrostatic gas bearing for use in miniature turbomachinery”, **Tribology Trans.** **14, 2**, pp

144.

- [60] Shigeka Y. and Hiroki T. (2000) “Dynamic characteristics of aerostatic porous journal bearings”, The Manufacturing & Machine Tool Conf., pp 71. Tokyo, Japan.
- [61] Masaaki M, Shigeka Y and Kazuyuki Y. (2003) “Dynamic characteristic and instability at high speeds of aerostatic porous journal bearings”, **JSME Annual Meeting, 4**, pp 99.
- [62] Sneck H. J. and Yen K. T. (1964) “The externally pressurized, porous wall, gas-lubricated journal bearing, I”, **ASME Trans. 7**, pp 288.
- [63] Sneck H. and Elwell R. C. (1965) “The externally pressurized, porous wall, gas-lubricated journal bearing, II”, **ASME Trans. 8**, pp 339.
- [64] Sina P. Chandra P. and Bhartiya S. S. (2001) “Thermal effects in externally pressurized porous conical bearing variable viscosity”. **Acta Mech. 149**, pp 215.
- [65] Vohr J. and Pan C. (1963) “On the spiral-grooved, self-acting gas bearings”, **MTI Technical Report, MTI63TR52**.
- [66] Vohr J. and Chow C. (1965) “Characteristics of herringbone - grooved, gas – lubricated journal bearings”, **ASME J. Basic Eng. 87, 3**, pp 568.
- [67] Hamrock B. and Fleming D. (1971) “Optimization of self-acting herringbone grooved journal bearing for maximum radial load capacity”, In: 5th gas bearing symp. 1.
- [68] Kobayashi T. (1999) “Numerical analysis of herringbone-grooved gas-lubricated journal bearings using a multigrid technique”, **J. Tribology 121, 1**, pp 148.
- [69] Faria M. T. C. (2000) “Some performance characteristics of high speed gas lubricated herringbone groove journal bearing”, **JSME Int. J. Series C, 44, 3**, pp 775.
- [70] Reddi M. M. and Trumpler P. R. (1962) “Stability of the high-speed journal bearing under steady load, part 1: The incompressible film”, **Trans. ASME J. Lub. Tech., 84**, pp 351.

- [71] Badgley R. H. and Booker J. F. (1969) "Turborotor instability: effect of initial transients on plane motion", **Trans. ASME J. Lub. Tech.**, **91**, pp 625.
- [72] Kirk R. G. and Gunter E. J. (1974) "Transient response of rotor-bearing systems", **Trans. ASME J. Lub. Tech.**, **96**, pp 682.
- [73] Singh D. V. Sinhasan R. and Tayal S. P. (1976) "Theoretical prediction of journal center motion trajectory", **Trans. ASME J. Lub. Tech.**, **98**, pp 620.
- [74] Li D. F. Choy K. C. and Allaire P. E. (1980) "Stability and transient characteristics of four multi-lobe journal bearing configuration", **Trans. ASME J. Lub. Tech.**, **102**, pp 291.
- [75] Akkok M. and Ettles C. M. M. (1984) "Journal bearing response to excitation and behavior in the unstable region", **Trans. ASLE**, **27**, pp 341.
- [76] Jain S. C. Sinhasan R. and Pill S. C. (1989) "A study on the dynamic response of compliant shell journal bearings", **Trans. STLE Tribology Trans.**, **32**, pp 297.
- [77] Bargava S. K. and Malik M. (1991) "The transient response of a journal in plane hydrodynamic bearing with flexible damped supports during acceleration and deceleration periods", **STLE, Tribology Trans.**, **34**, pp 63.
- [78] Tieu A. K. and Qiu Z. L. (1995) "Stability of finite journal bearings-from linear and nonlinear bearing forces", **Tribology Trans.**, **38**, **3**, pp 627.
- [79] Rao T. V. V. L. N. and Biswas S. (2000) "An analytical approach to evaluate dynamic coefficients and nonlinear transient analysis of a hydrodynamic journal bearing", **Tribology Trans.**, **43**, **1**, pp 109.
- [80] Rao T. V. V. L. N. and Biswas S. (2001) "A methodology for dynamic coefficients and nonlinear of a multi-lobe journal bearing", **Tribology Trans.**, **44**, **1**, pp 111.
- [81] Saha N. and Majumdar B. C. (2003) "Stability of oil-lubricated externally pressurized two-layered porous journal bearings: a nonlinear transient analysis", **Proc. Inst. Mech. Eng., part J: J. Eng. Tribology**, **217**, **3**, pp 223.
- [82] Castelli V. and Elrod H. G. (1965) "solution of the stability problem for 360

- degree self-acting, gas-lubricated bearing”, **Trans. ASME, J. Basic Eng.**, **87**, pp 199.
- [83] Rahmatabadi A. D. (1992) “Dynamic response of gas-lubricated journal bearing systems”, Ph. D. Thesis, Department of Mechanical & Industrial Engineering, University of Roorkee, India.
- [84] Piekos, E. S. (2000) “Numerical Simulation of Gas-Lubricated Journal Bearings for Microfabricated Machines”, Ph. D. Thesis, Department of Aeronautics and Astronautics, University of M.I.T, U.S.A.
- [85] Yang P., Zhu K. Q. and Wang X. L. (2009) “On the non-linear stability of self-acting gas journal bearing”, **Tribology Int.** **42, 1**, pp 71.
- [86] Al-Bender F. (2009) “On the modeling of the dynamic characteristics of aerostatic bearing films: From stability analysis to active compensation”, **Precision Eng.** **33, 2**, pp 117.
- [87] Colombo F., Raparelli T and Viktorov V. (2009) “Externally pressurized gas bearing: A comparison between two supply holes configurations”, **Tribology Int.** **42, 2**, pp 303.
- [88] Gross W. A. and Zachmanaglou E. C. (1961) “Perturbation solutions for gas-lubricating films”, **Trans. ASME J. Basic Eng.**, **83**, pp 139.
- [89] Holmes A. G., Ettles C. M. and Mayes I. W. (1978) “The aperiodic behavior of a rigid shaft in short journal bearings”, **Int. J. Numer. Meth. Eng.**, **12**, 695.
- [90] Zhao J. Y. Linnett I. W. and Mclean L. J. (1994) “Subharmonic and quasi-periodic motion of an eccentric squeeze film damper-mounted rigid rotor”, **Trans. ASME J. Vibr. Acoust.**, **116**, pp 357.
- [91] Adileta G. Guido A. Rossi C. (1996) “Chaotic motions of a rigid rotor in short journal bearings”, **Nonlinear dynamic**, **10**, pp 251.
- [92] Adileta G. Guido A. and Rossi C. (1997) “Nonlinear dynamics of a rigid unbalanced rotor in short bearings, part I: Theoretical analysis”, **Nonlinear Dynamics**, **14**, pp 57.
- [93] Adileta G. Guido A. and Rossi C. (1997) “Nonlinear dynamics of a rigid

- unbalanced rotor in short bearings, part II: Theoretical analysis”, **Nonlinear Dynamics**, **14**, pp 157.
- [94] Beatty R. (1985) “Differentiating rotor response due to radial rubbing”, **ASME J. Vibr. Acoust. Stress and Reliability in Design**, **107**, pp 151.
- [95] Adams M. and Abu-Mahfouz I. (1994) “Exploratory research on chaos concepts as diagnostic tools for assessing rotating machinery vibration signatures”, Inc. Proc. of IFTOMN 4th Int. Conf. on Rotor Dynamic, pp 29.
- [96] Brown R. D. Addison p. and Chan A. H. C. (1994) “Chaos in the unbalance response of journal bearings”, **Nonlinear Dynamic**, **5**, pp 421.
- [97] Czolczynski K. and Kapitaniak T. (1997) “Hopf bifurcation in rotors supported in gas bearing”, **Chaos, Solitons & Fractals**, **8**, 4, pp 499.
- [98] Fulel C. and Zhengsong Z. (1997) “Periodic, quasi-periodic and chaotic vibrations of a rub-impact rotor system supported on oil film bearings”, **Int. J. Engng. Sci.**, **35**, 10-11, pp 963.
- [99] Chen C. and Yau H. (1998) “Chaos in the imbalance response of a flexible rotor supported by oil film bearings with non linear suspension”, **Nonlinear Dynamic**, **16**, 1, pp 71.
- [100] Wang C. C. and Chen C. K. (2001) “Bifurcation analysis of self-acting gas journal bearing”, **J. Tribology**, **123**, 4, pp 755.
- [101] Karpenko E. V. Wiercigroch M. and Cartmell M. P. (2002) “Regular and chaotic dynamics of a discontinuously nonlinear rotor system”, **Chaos, Solitons & Fractals**, **13**, 6, pp 1231.
- [102] Karpenko E. V. Pavlovskaia E. E. and Wiercigroch M. (2003) “Bifurcation analysis of a preloaded Jeffcott rotor”, **Chaos, Solitons & Fractals**, **15**, 2, pp 407.
- [103] Jian-Ping J. Guang M. Yi S. and Song-Bo X. (2004) “On the non-linear dynamic behavior of a rotor-bearing system”, **J. Sound and Vibration**, **274**, pp 1031.
- [104] Qin W. Chen G. and Meng G. (2004) “Nonlinear responses of a rub-impact overhung rotor”, **Chaos, Solitons & Fractals**, **19**, 5, pp 1161.

- [105] Wang C. C. Jang M. J. and Chen C. K. (2004) “Nonlinear dynamic analysis of a flexible rotor supported by self-acting gas journal bearing”, **Proce. Inst. Mech. Eng.**, **218**, **12**, pp 1527.
- [106] Wang J. S. and Wang C. C. (2005) “Nonlinear dynamic and bifurcation analysis of short aerodynamic journal bearings”, **Tribology Int.**, **38**, pp 740.
- [107] Inayat-Hussain J. I. (2005) “Bifurcations of a flexible rotor responses in squeeze-film dampers without centering springs”, **Chaos, Solitons & Fractals**, **24**, **2**, pp 583.
- [108] Inayat-Hussain J. I. (2009) “Bifurcations in the response of a flexible rotor in squeeze-film dampers with retainer springs”, **Chaos, Solitons & Fractals**, **39**, **2**, pp 519.
- [109] Wang J. K. and Khonsari M. M. (2006) “Application of hopf bifurcation theory to rotor-bearing systems with consideration of turbulent effects”, **Tribology Int.**, **39**, **7**, pp 701.
- [110] Wang C. C. (2006) “Nonlinear dynamic behavior and bifurcation analysis of a rigid rotor supported by relatively short externally pressurized porous gas journal bearing system”, **Acta Mech.** **183**, pp 41.
- [111] Zhang W. M. and Meng G. (2006) “Stability, bifurcation and chaos of a high-speed rub-impact rotor system in MEMS”, **Sensors and Actuators A**, **127**, **1**, pp 163.
- [112] Wang C. C. (2007) “Bifurcation analysis of an aerodynamic journal bearing system considering the effect of stationary herringbone grooves”, **Chaos, Solitons & Fractal**, **33**, **5**, pp 1532.
- [113] Wang C. C. Yau H. T. Jang M. J. and Yeh Y. L. (2007) “Theoretical analysis of the nonlinearity behavior of a flexible rotor supported by herringbone grooved gas journal bearings”, **Tribology Int.**, **40**, pp 533.
- [114] Wang C. C. (2008) “Theoretical and nonlinear behavior analysis of a flexible rotor supported by a relative short herringbone-grooved gas journal-bearing system”, **Physica D-Nonlinear Phenomena**, **237** pp 2282.
- [115] Wang C. C. Jang M. J. and Yeh Y. L. (2007) “Bifurcation and nonlinear

- dynamic analysis of flexible rotor supported by relative short gas journal bearings”, **Chaos, Solitons & Fractals**, **32**, **2**, pp **566**.
- [116] Wang C. C. (2009) “Application of a hybrid method to the nonlinear dynamic analysis of a flexible rotor supported by a spherical gas-lubricated bearing system”, **Nonlinear Analysis**, **70**, **5**, pp **2035**.
- [117] Chang-Jian C. W. and Chen C. K. (2007) “Chaos and bifurcation of a flexible rub-impact rotor supported by oil film bearings with nonlinear suspension”, **Mechanism and Machine Theory**, **42**, **3**, pp **312**.
- [118] Chang-Jian C. W. and Chen C. K. (2007) “Bifurcation and chaos analysis of a flexible rotor supported by turbulent long journal bearings”, **Chaos, Solitons & Fractals**, **34**, **4**, pp **1160**.
- [119] Chang-Jian C. W. and Chen C. K. (2008) “Non-linear dynamic analysis of rub-impact rotor supported by turbulent journal bearings with non-linear suspension”, **Int. J. Mech. Sci.**, **50**, **6**, pp **1090**.
- [120] Chang-Jian C. W. and Chen C. K. (2009) “Chaotic response and bifurcation analysis of a flexible rotor supported by porous and non-porous bearings with nonlinear suspension”, **Nonlinear Analysis**, **10**, **2**, pp **1114**.
- [121] Shen X. Jia J. and Zhao M. (2007) “Numerical analysis of a rub-impact rotor-bearing system with mass unbalance”, **J. Vibration and Control**, **13**, **12**, pp **1819**.
- [122] Chang-Jian C. W. and Chen C. K. (2006) “Nonlinear dynamic analysis of a flexible rotor supported by micropolar fluid film journal bearings”, **Int. J. Eng. Sci.**, **44**, **15-16**, pp **1050**.
- [123] Chang-Jian C. W. and Chen C. K. (2008) “bifurcation analysis of flexible rotor supported by couple stress fluid film journal bearings with non-linear suspension systems”, **Tribology Int.**, **41**, **5**, pp **367**.
- [124] Lo C. Y. and Chang-Jian C. W. (2008) “Nonlinear dynamics of a flexible rotor supported by turbulent journal bearings with couple stress fluid”, **Chaos, Solitons & Fractals**, **37**, **4**, pp **1002**.
- [125] Chang-Jian C. W. and Chen C. K. (2008) “Chaos and bifurcation of a flexible

rotor supported by porous squeeze couple stress fluid film journal bearings with non-linear suspension”, **Chaos, Solitons & Fractals**, **35, 2**, pp **358**.

- [126] Reddy J. (1984), “**An Introduction to the Finite Element Method**”, McGraw-Hill, U.S.A.

ABSTRACT

During the past few decades gas-lubricated bearings have received great attention from practical and analytical tribologists. The rapid growth of gas bearing technology is mainly due to its wide range of engineering applications such as precision machine tools, high speed aircrafts, nuclear reactors, textile spindles, dental drills, etc. Gas-lubricated journal bearings have the advantage of negligible friction, cleanliness and easy availability of air as the lubricant. However, poor dynamic stability due to low viscosity is a major problem. Therefore, the investigation of dynamic behavior is necessary to avoid settling of the system in a region where its control is severe.

In this dissertation the dynamic analysis of a rigid rotor supported by noncircular gas-lubricated journal bearings is studied. Three types of noncircular gas bearings such as two, three and four-lobe bearings have been considered. To obtain pressure variable a finite element method is employed to solve the nonlinear Reynolds equation in dynamic state. Initial conditions for dynamical state are selected from the equilibrium position of the rotor center in the static state and the related pressure variable. The motion equations of the rotor and the Reynolds equation are solved together using the Runge-Kutta method to estimate position, velocity and acceleration at each time step. The solutions are regarded as initial conditions for the next time step. To analyze the behavior of the rotor center in the horizontal and vertical directions under different operating conditions, the dynamic trajectory, the power spectra, the Poincare maps and the bifurcation diagrams are used. Parameters such as rotor mass, bearing number and preload have been considered to investigate nonlinear dynamic behavior of system at two aspect ratios of 1 and 1.5.

Results of this study show how the complex dynamic behavior of these types of system comprise the return to equilibrium position of the rotor center in the static state, KT -periodic and quasi-periodic of the rotor center and contact between the rotor and bearing with changes in the system parameters. Therefore, undesirable behavior can be avoided for the rotor center by choosing suitable values for these parameters. Results indicate that the three types of noncircular bearings will rank from the stability standpoint with four-lobe having the highest stability, and two-lobe the lowest.

Keywords: Dynamic Behavior, Gas-Lubricated Journal Bearings, Dynamic Orbit, Poincare Map, Bifurcation.